

Facultad de
Ingeniería
Universidad Nacional de Mar del Plata

Modelado Constitutivo Multiescala de Matrices Nanofibrosas Electrohiladas

Ing. Daniel Enrique Caballero

Tesis presentada para optar por el título de
Doctor en Ingeniería, Orientación Mecánica

Director: Dr. Santiago A. Urquiza

Codirector: Dr. Guillermo A. Lombera

Mar del Plata, Argentina

Agosto 2020



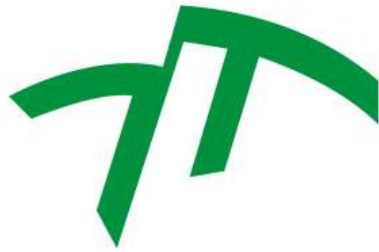
RINFI se desarrolla en forma conjunta entre el INTEMA y la Biblioteca de la Facultad de Ingeniería de la Universidad Nacional de Mar del Plata.

Tiene como objetivo recopilar, organizar, gestionar, difundir y preservar documentos digitales en Ingeniería, Ciencia y Tecnología de Materiales y Ciencias Afines.

A través del Acceso Abierto, se pretende aumentar la visibilidad y el impacto de los resultados de la investigación, asumiendo las políticas y cumpliendo con los protocolos y estándares internacionales para la interoperabilidad entre repositorios



Esta obra está bajo una [Licencia Creative Commons Atribución-
NoComercial-CompartirIgual 4.0 Internacional](https://creativecommons.org/licenses/by-nc-sa/4.0/).



Facultad de
Ingeniería
Universidad Nacional de Mar del Plata

Modelado Constitutivo Multiescala de Matrices Nanofibrosas Electrohiladas

Ing. Daniel Enrique Caballero

Tesis presentada para optar por el título de
Doctor en Ingeniería, Orientación Mecánica

Director: Dr. Santiago A. Urquiza
Codirector: Dr. Guillermo A. Lombera

Mar del Plata, Argentina

Agosto 2020

A mis viejos

Agradecimientos

Esta tesis es el producto de mi esfuerzo y formación durante los últimos años de mi vida. Sin embargo, haber llevado a cabo esta labor no hubiera sido posible sin la participación, sea en el ámbito profesional o personal, de muchas personas que me han guiado y apoyado en el camino.

Agradezco en primer lugar a mi familia, a mis padres, y mis hermanos, por haberme brindado su amor, una infancia feliz, su apoyo incondicional siempre, y la formación más importante como ser humano. Gracias a ellos crecí en quien soy hoy, y todo se los debo a ellos.

Asimismo, gracias a todos mis amigos de cada etapa de mi vida, esa otra familia que fui eligiendo a cada paso. Con ellos compartí vivencias, viajes, aventuras, risas, charlas, reflexiones y más, todas cuestiones esenciales para mi felicidad. También compartí, vale decirlo, momentos difíciles, pero que con su cariño y apoyo pude atravesar con éxito, y hoy forman parte de mi crecimiento personal. Gracias particulares a mis amigos cercanos durante mi doctorado, que me acompañaron en estos años, prestándome un gran apoyo moral y humano, necesarios en los momentos difíciles de este trabajo y esta profesión.

En igual medida, gracias a Luli, mi compañera, por compartir su vida con la mía en los últimos años de mi doctorado. Realmente no debe ser sencillo convivir con un doctorando, especialmente en los últimos años cuando el intenso trabajo de tesis se traduce en largas jornadas de trabajo que incluso se extienden a los días de descanso. Todo su amor y su apoyo me fueron indispensables para recargar energías luego de cada día y semana de trabajo.

En el plano profesional, agradezco a mi director, el Dr. Santiago Urquiza, por haberme ayudado para resolver cada duda y guiado para sortear cada obstáculo que crucé durante mi doctorado. Por su calidad humana y profesional de las que aprendí tanto durante estos años. Asimismo, a mi codirector, el Dr. Guillermo Lombera, por su inspiradora presencia, su confianza en mí y su apoyo desde el inicio de este trabajo. Agradezco también a mis compañeros del Grupo de Ingeniería Asistida por Computadora, por haber creado un gran ambiente para el trabajo. En especial a mis compañeros de box, Nico y Manu, por su buena onda de todos los días, haciendo que ir diariamente a trabajar sea también un encuentro ameno y alegre.

Por su invaluable colaboración desde el punto de vista experimental, agradezco a la Dra. Florencia Montini Ballarin, de la División de Polímeros Biomédicos (INTEMA). Este trabajo de tesis se vio enriquecido en gran medida por su aporte de los materiales

necesarios para realizar los ensayos experimentales, además de compartir su vasto conocimiento acerca de los mismos. También al Grupo de Propiedades Mecánicas de Polímeros, y en especial a su directora, la Dra. Patricia Frontini, por facilitarnos las máquinas y elementos necesarios para llevar a cabo los ensayos mecánicos. Además a la División Ciencia e Ingeniería de Polímeros (INTEMA) por la colaboración prestada en la realización de los estudios mecánicos. En especial al Dr. Nahuel Rull por compartir su tiempo, conocimiento y experiencia para la operación de los equipos.

Resumen

La ingeniería de tejidos busca proveer a las aplicaciones biomédicas de injertos hechos a medida que logren exhibir propiedades mecánicas biomiméticas. En este contexto, el electrohilado ha surgido como una técnica con características prometedoras para la producción de injertos vasculares nanofibrosos. Sin embargo, para mejorar la biomímesis de los injertos electrohilados, con miras a la producción de reemplazos vasculares paciente específicos, es necesario mejorar la comprensión del comportamiento mecánico de las matrices electrohiladas teniendo en cuenta las características morfológicas microestructurales y las propiedades mecánicas de las nanofibras de acuerdo con el material seleccionado. Para este fin, el modelado constitutivo multiescala aparece como una poderosa herramienta, capaz de vincular los mecanismos microscópicos subyacentes bajo deformación con la respuesta mecánica observada a nivel macroscópico. Además, su empleo en ciclos de optimización puede hacer posible identificar las propiedades constitutivas de las nanofibras así como la microtopología de la matriz capaces de alcanzar un comportamiento macroscópico con aceptable grado de aceptación. En base a estas consideraciones, se presenta en este trabajo de tesis doctoral el desarrollo de modelos constitutivos multiescala para matrices nanofibrosas electrohiladas, teniendo en cuenta las características esenciales de la microestructura de los injertos, las propiedades constitutivas de las nanofibras y la interacción entre las mismas.

En primera instancia se presenta el modelo en dos escalas, adoptando una descripción clásica de un sólido continuo para la escala macroscópica, y un Elementos de Volumen Representativos (RVE) discreto conformado por fibras individuales agrupadas en fascículos. El modelo se validó con datos experimentales de ensayos de inflado de tubos electrohilados. Además se estudió el efecto de variar las propiedades microscópicas sobre la respuesta macroscópica y se utilizó esta información para obtener los parámetros necesarios para un injerto capaz de imitar la respuesta en presión-diámetro de una arteria intracranial humana.

A continuación se explora la generación de geometrías realistas que reproduzcan los aspectos más importantes de la microestructura electrohilada. Se desarrolló un algoritmo de deposición virtual de fibras, con inspiración en la deposición de nanofibras durante el proceso de electrohilado, capaz de generar mallas de fibras interconectadas. Para evaluar la aptitud de estas geometrías para servir como RVE de los modelos multiescala, se estudió la variabilidad estadística en función del tamaño de las mallas. Además, se muestra la capacidad de diseño del algoritmo para generar geometrías que reproduzcan microestructuras con diferentes grados de alineamiento y con distintos niveles de enrulamiento de las fibras.

Por último, se desarrolló un modelo micromecánico para ser aplicado a las mallas generadas anteriormente. Este modelo microscópico lleva en consideración la interacción de las fibras en los puntos de intersección, así como la posibilidad de deformación plástica y rotura de las mismas. Por otra parte, se llevaron a cabo ensayos de tracción uniaxial sobre matrices electrohiladas para obtener las curvas de tensión-deformación experimentales necesarias para su validación. Los resultados obtenidos muestran que el modelo logra reproducir exitosamente la respuesta macroscópica elastoplástica de las matrices a partir de parámetros microscópicos realistas.

Abstract

Biomedical applications need tailor-made scaffolds that exhibit biomimetic mechanical properties. In this context, electrospinning has emerged as a technique with promising features for their production, able to yield nanofibrous mats with similar microstructure to the tissues they intend to replace. However, in order to improve the biomimetic capabilities of electrospun scaffolds, their mechanical behavior as a function of the microstructure and nanofiber properties needs to be better understood and controlled. To that end, multiscale constitutive modeling appears as a powerful design tool, not only able to characterize electrospun structures, but also to determine the fiber properties and scaffold microstructure that would achieve the objective response. With focus in this matters, this dissertation presents multiscale constitutive models for nanofibrous structures that takes into account the scaffold microstructure, the material constitutive properties of the nanofibers and their interaction.

As a first step, a two-scale model is presented, adopting a classical description of a continuous three-dimensional body for the macro-scale, and a discrete RVE consisting of individual nanofibers grouped in bundles or fascicles. Experimental data from pressure vs diameter inflation tests of electrospun PLLA tubular scaffolds was used to validate the model. In addition, the influence of the microstructural parameters upon the macroscopic constitutive behavior was studied. Then, the model parameters were adjusted to obtain a vascular graft able to reproduce the mechanical response of a human intracranial artery.

Next, the generation of realistic fiber mesh geometries is explored, aiming to reproduce the most important aspects of the electrospun microstructure. Consequently, a virtual fiber deposition algorithm was developed, that draws inspiration in the actual deposition of nanofibers during the electrospinning process. Then, to assess the aptitude of the obtained geometries to serve as Representative Volume Elements (RVE), the statistical dependence of the mesh with respect to its size was studied. Furthermore, the design capabilities of the algorithm are shown by assembling geometries with different levels of alignment as well as increasing tortuosity of the nanofibers.

Finally, a micromechanic model for the previously generated meshes is established, thus obtaining a complete mechanical representation of the electrospun microstructure. This microscopic model takes into account the interaction between nanofibers at contact points, and the possibility of fiber plastic deformation or even breakage. Uniaxial traction tests of electrospun scaffolds were also performed in order to obtain the necessary experimental data for the validation. The results show that the model successfully reproduces the macroscopic elastic-plastic response of the scaffolds employing realistic values for the geometric and constitutive parameters.

Índice

Agradecimientos	II
Resumen	IV
Abstract	V
Índice	VII
Índice de tablas	X
Índice de figuras	XI
1. Introducción	1
1.1. Motivación	1
1.2. Objetivos	5
1.3. Organización	6
1.4. Marco Teórico	8
1.4.1. Tejidos arteriales	8
1.4.2. Tipos de injertos vasculares	11
1.4.3. Matrices electrohiladas	16
1.4.4. Modelado multiescala	20
1.5. Antecedentes	22
1.6. Hipótesis de trabajo	29
2. Modelo constitutivo multiescala para matrices nanofibrosas con reclutamiento progresivo	30
2.1. Introducción	30
2.2. Descripción macroscópica	33
2.2.1. Cinemática	33
2.2.2. Equilibrio Mecánico	35
2.3. Descripción Microscópica	37

2.3.1.	RVE	37
2.3.2.	Cinemática	38
2.3.3.	Ecuaciones Constitutivas	38
2.3.4.	Homogeneización	43
2.4.	Materiales y Métodos	47
2.4.1.	Materiales	47
2.4.2.	Ensayos de inflado	48
2.4.3.	Simulaciones computacionales	49
2.5.	Resultados y discusión	49
2.5.1.	Comparación con datos experimentales	50
2.5.2.	Efecto de las propiedades microestructurales sobre la respuesta macroscópica	53
2.5.3.	Determinación de parámetros de un injerto vascular	55
2.6.	Conclusiones	57
3.	Algoritmo de generación de geometrías para matrices fibrosas	60
3.1.	Introducción	60
3.2.	Descripción geométrica	62
3.3.	Construcción del RVE	64
3.3.1.	Algoritmo de deposición virtual de fibras	64
3.3.2.	Variabilidad estadística de las mallas	67
3.4.	Resultados	69
3.4.1.	Variabilidad estadística y calibración del RVE	69
3.4.2.	Diseño de RVEs	75
3.5.	Conclusiones	82
4.	Modelo micromecánico para matrices fibrosas	84
4.1.	Introducción	84
4.2.	Métodos experimentales	85
4.2.1.	Materiales	85
4.2.2.	Caracterización morfológica	86
4.2.3.	Caracterización mecánica	86
4.3.	Resultados Experimentales	88
4.4.	Modelo micromecánico de mallas fibrosas	89
4.4.1.	Cinemática	91

4.4.2.	Equilibrio	95
4.4.3.	Condiciones de contorno y ecuaciones constitutivas	97
4.5.	Resultados	98
4.5.1.	Comparación con datos experimentales	98
4.5.2.	Análisis de la respuesta mecánica del RVE	99
4.6.	Conclusiones	102
5.	Conclusiones generales	105
5.1.	Conclusiones y resultados obtenidos	105
5.2.	Trabajos futuros	108
	Referencias	127
	Apéndices	128
A.	Principio de Potencia Virtual	129
A.1.	Introducción	129
A.2.	Cinemática	130
A.2.1.	Configuración material y espacial	130
A.2.2.	Deformación de un elemento infinitesimal	131
A.2.3.	Movimiento y tasa de deformación	132
A.3.	Dualidad	134
A.3.1.	Entre fuerzas y acciones de movimiento	134
A.3.2.	Entre esfuerzos internos y tasas de deformación	135
A.3.3.	Operador de equilibrio	135
A.4.	Principio de Potencia Virtual	136
A.5.	Linealización	138
A.5.1.	Expresión del PPV en la configuración material	138
A.5.2.	Linealización	139
B.	Código desarrollado	141
B.1.	RVE de celdas triangulares	141
B.2.	Deposición virtual de fibras	166
B.3.	Cálculo de intersecciones, simplificación y equilibrio	184

Índice de tablas

2.1. Tabla de dimensiones de injertos de PLLA.	50
2.2. Parámetros ajustados para reproducir curvas experimentales de presión- diámetro.	52
2.3. Parámetros optimizados para biomímesis de una arteria intracranial humana.	57
4.1. Propiedades constitutivas de las matrices electrohiladas de PLLA ensayadas.	89
4.2. Parámetros del algoritmo de deposición virtual de fibras para validar el modelo micromecánico.	99
4.3. Parámetros optimizados para ajustar la respuesta en tensión-deformación con datos experimentales.	99

Índice de figuras

1.1. Estructura de la pared arterial	9
1.2. Tromboembolismo	10
1.3. Injertos de Dacron® y Goretex®	13
1.4. Método de fabricación de injerto diseñado a partir de un andamio desce- lularizado	16
1.5. Proceso de electrohilado	19
1.6. Comparación microestructural de una matriz electrohilada con la matriz extracelular arterial	20
1.7. Alineación de las nanofibras según la velocidad de rotación del mandril .	21
1.8. Concepto de muestra representativa	23
1.9. RVE de Stylianopoulos y colaboradores.	25
1.10. RVE de Pai y colaboradores.	26
1.11. RVE de Wei y colaboradores.	26
1.12. RVE de Carleton y colaboradores.	27
2.1. Esquema de una microestructura y RVEs de distinto tamaño	31
2.2. Modelado constitutivo convencional y multiescala	32
2.3. Esquema de la cinemática del continuo aplicada a la escala macroscópica	34
2.4. Esquema del equilibrio macroscópico	36
2.5. Idealización de la microestructura como una superposición de redes trian- gulares.	38
2.6. Deformación del RVE prototipo.	39
2.7. Respuesta bilineal de una nanofibra.	40
2.8. Esquema de un haz de fibras.	41
2.9. Distribución de enrutamiento y respuesta en tensión-elongación del haz de fibras.	43
2.10. Micrografías SEM de las tubuladuras de PLLA.	48
2.11. Curvas presión-diámetro experimentales para las tres muestras de injertos de PLLA electrohilado.	49

2.12. Modelo de elementos finitos de membrana cilíndrica.	50
2.13. Curvas de presión-diámetro ajustadas mediante el modelo multiescala. . .	52
2.14. Efecto de los parámetros microscópicos sobre la respuesta mecánica ma- croscópica.	54
2.15. Curvas presión-diámetro de una arteria intracranial humana y un injerto biomimético.	57
3.1. Medición de orientaciones y enrulamientos de fibras a partir de una ima- gen SEM.	62
3.2. Distribución de orientaciones para una malla de fibras isotrópica y otra moderadamente alineada.	63
3.3. Algoritmo de deposición virtual de una fibra.	65
3.4. Comparación cualitativa entre una imagen SEM de una malla electrohi- lada de PLLA y una malla obtenida mediante el algoritmo de deposición virtual.	67
3.5. Mallas generadas mediante el algoritmo de deposición virtual.	68
3.6. Variabilidad estadística de la densidad superficial de intersecciones en función del tamaño de una malla de fibras de una sola capa.	70
3.7. Dependencia de la densidad superficial de intersecciones respecto del nú- mero de capas de una malla virtual.	71
3.8. Dependencia de la densidad superficial de intersecciones respecto del nú- mero de capas de una malla virtual con periodicidad en intersecciones. . .	71
3.9. Variabilidad estadística de la densidad superficial de intersecciones en función del tamaño de una malla de fibras de diez capas.	72
3.10. Variabilidad estadística de la densidad superficial de intersecciones en función del tamaño de una malla de fibras enruladas.	72
3.11. Variabilidad estadística de la distribución de orientaciones en función del número de fibras en la malla.	74
3.12. Número de fibras en función del tamaño de la malla.	76
3.13. Variabilidad estadística de la distribución de reclutamiento en función del ángulo de desviación máximo.	76
3.14. Diseño de geometrías con creciente nivel de alineamiento a lo largo de una dirección.	77
3.15. Diseño de geometrías con creciente grado de enrulamiento.	79

3.16. Comparación de la distribución de enrollamiento obtenida en mallas virtuales con datos experimentales.	80
3.17. Densidad superficial de intersecciones vs. fracción de volumen.	80
3.18. Densidad superficial de intersecciones vs. alineamiento de la malla. . . .	81
4.1. Esquema de una probeta de PLLA electrohilado para ensayos tracción uniaxial	86
4.2. Ensayos de tracción uniaxial con Correlación Digital de Imágenes (DIC).	87
4.3. Ensayos de tracción uniaxial con Correlación Digital de Imágenes (DIC).	88
4.4. Curvas experimentales de tensión-deformación de ensayos de tracción uniaxial de matrices electrohilada de PLLA.	89
4.5. Caracterización morfológica de las muestras electrohiladas de PLLA.	90
4.6. Malla de unas pocas fibras virtualmente depositadas y sus subdivisiones.	91
4.7. Esquema de una malla de nanofibras interconectadas	92
4.8. Esquema de una fibra	93
4.9. Esquema de nodo de la malla con las fibras conectadas al mismo.	95
4.10. Comparación de la respuesta homogeneizada con datos experimentales.	100
4.11. Deformación de la malla bajo tracción uniaxial.	101
4.12. Evolución de los parámetros de la malla bajo tracción uniaxial.	103
A.1. Espacios y subespacios vectoriales propios de la cinemática del PPV.	134
A.2. Espacios y subespacios vectoriales del PPV.	136
A.3. Esquema del cuerpo sometido a esfuerzos externos.	138

Capítulo 1

Introducción

1.1. Motivación

Los implantes vasculares cumplen un rol cada vez más importante en el tratamiento de un amplio rango de patologías tales como aterosclerosis, aneurismas, malformaciones congénitas, vasculitis y traumas, entre otras [1]. Este rol cobra mayor preponderancia teniendo en cuenta que las enfermedades cardiovasculares representan la principal causa de muerte a nivel mundial [2], incluyendo a los países latinoamericanos y Argentina en particular [3].

Actualmente la primera elección para injertos arteriales es el trasplante autólogo. Sin embargo, debido a condiciones médicas previas, muchas veces no es posible conseguir un tejido adecuado, además que la extracción puede causar nueva morbilidad [1]. A su vez, la obtención de tejidos alogénicos resulta aún más complicada debido a la dificultad agregada de la biocompatibilidad entre donante y huésped. Como consecuencia de esta problemática, actualmente existe una creciente demanda de injertos vasculares para reemplazo de arterias de pequeño porte con buena adaptación a largo plazo. Los injertos sintéticos actualmente disponibles en la práctica clínica carecen de potencial de crecimiento y remodelado, por lo que sus resultados a largo plazo son insatisfactorios por el surgimiento de complicaciones graves como trombosis, hiperplasia, estenosis e infecciones, entre otros [4, 5]. En respuesta a estas limitaciones surge la ingeniería de tejidos, entendida como “un campo multidisciplinario que aplica los principios de la ingeniería y las ciencias biológicas hacia el desarrollo de sustitutos que restauren, mantengan y mejoren la función de los tejidos” [6]. Dentro de la ingeniería de tejidos vasculares, se investigan tres aproximaciones diferentes, la ingeniería de tejidos sin soportes porosos, el empleo de matrices descellularizadas y el uso de matrices porosas [7]. En base a este enfoque se desarrollaron vasos autólogos en ambientes ex-vivo, a través del uso de biorreactores. De esta manera se evitan los problemas de biocompatibilidad, pero aparecen importantes limitaciones desde

el punto de vista del alto costo implicado y del largo tiempo requerido para la obtención del injerto [8].

Un enfoque novedoso de la ingeniería de tejidos consiste en la fabricación de andamios (*scaffolds*) vasculares sintéticos bioabsorbibles capaces de permitir la regeneración de tejido autólogo al mismo tiempo que se produce la degradación del material artificial, concluyendo en la generación de una neoarteria compuesta completamente por tejido endógeno, capaz de alcanzar un estado de homeostasis con capacidad de remodelado, crecimiento y, consecuentemente, de reparación [9]. Para esto, es necesario que el injerto sea capaz de proveer temporalmente un microambiente que permita la infiltración celular y de nutrientes, que sea capaz de soportar las cargas hemodinámicas y que provea de condiciones similares a las fisiológicas que permitan el adecuado desarrollo de los nuevos tejidos [10]. Muchos tipos importantes de tejidos naturales poseen una microestructura de red nanofibrosa. Materiales biológicos como las células citoesqueléticas, redes de fibras de colágeno, elastina, y otras proteínas naturales con forma de fibras son los componentes estructurales principales de tejidos como el cartílago, tendones, vasos sanguíneos, válvulas cardíacas, entre otros. Dentro de los materiales utilizados para la construcción de andamios bioabsorbibles se destacan las matrices nanofibrosas electrohiladas, ampliamente exploradas en esta área de aplicación y que serán objeto de estudio de este trabajo de tesis [4, 5, 9, 11].

La tecnología de electrohilado constituye uno de los métodos de procesamiento de vanguardia que presenta mayores ventajas para la producción de nanofibras. La técnica tiene la habilidad única de producir nanofibras de diferentes materiales y geometrías, bajo costo, relativamente alta velocidad de producción y simplicidad en el diseño del equipamiento. En los últimos años, se han electrohilado numerosos tipos de materiales que incluyen prácticamente todos los polímeros (sintéticos y naturales, que sean solubles o puedan fundirse) y nanocompuestos, para obtener fibras continuas de unos pocos nanómetros hasta algunos micrones que generan una matriz hilada no tejida altamente porosa [12]. Esta es una técnica versátil, que permite la producción de fibras de nano y microescala que presentan un gran potencial para imitar el microambiente fibroso de la matriz extracelular natural presente en las arterias [13]. El electrohilado ofrece la posibilidad de ajustar finamente las propiedades mecánicas durante la fabricación, controlando la microarquitectura porosa, tamaño y la orientación de las fibras, logrando comportamientos anisotrópicos como los observados en los vasos sanguíneos. Particularmente, las grandes deformaciones y rotaciones que experimentan las nanofibras elastoméricas consiguen que

los andamios electrohilados puedan soportar deformaciones del mismo nivel que los tejidos blandos que buscan reemplazar [14–16]. Además, la posibilidad de usar un colector rotatorio de pequeño diámetro, resulta en la obtención de una tubuladura sin costura ideal para aplicaciones vasculares.

La respuesta mecánica que manifiesta el injerto vascular una vez implantado es una característica fundamental para su diseño por dos razones principales: en primer lugar, es necesario que el injerto soporte la presión hemodinámica a la que se vea sometido sin sufrir fallas; en segundo lugar, las tensiones son un fuerte estímulo para el control mecanobiológico de la función celular y extracelular [17]. Además, la interacción del andamio con el tejido vivo adyacente al que se lo conecta debe también ser considerada, ya que un desfase entre las propiedades mecánicas de los vasos circundantes y el injerto pueden derivar en un remodelado patológico de las arterias vecinas [18, 19].

En vista de estas cuestiones y con el objetivo de contribuir al diseño de injertos vasculares de este tipo, tanto a nivel microscópico como macroscópico, surge la necesidad de modelar el comportamiento mecánico de los materiales involucrados. Con este fin se emplea el modelado constitutivo de materiales, pudiendo realizarse desde varios enfoques. Los distintos modelos pueden clasificarse según la complejidad con que abordan el problema microscópico. Los modelos fenomenológicos se restringen a relacionar la tensión y deformación macroscópicas sin introducir de manera alguna información sobre la microestructura. Son los más usuales en la literatura pero la simplicidad de no requerir información de entrada sobre la microestructura se traduce en la limitación de no poder relacionar propiedades microscópicas con la respuesta macroscópica. Se trata, en última instancia, de un ajuste matemático sobre datos experimentales. Los modelos multiescala, en cambio, proponen predecir la respuesta constitutiva macroscópica a partir de la microestructura subyacente, resultando especialmente útil en materiales heterogéneos donde el comportamiento mecánico depende del tamaño, forma, propiedades, y distribución espacial de los constituyentes microestructurales. Este tipo de modelos surgen dada la dificultad de modelar un componente teniendo en consideración características geométricas de dimensiones muy disímiles entre sí¹. La solución que se plantea en estos modelos es la separación de escalas, donde el componente macroscópico se trata como un continuo pero a cada punto material se le asigna alguna representación de la microestructura. Si bien lo más usual es la implementación de dos escalas (macro- y micro-), esta separación

¹En el caso de las matrices electrohiladas, un modelado exhaustivo debe tener en cuenta a escala macroscópica las dimensiones del componente (cm) y a escala microscópica las dimensiones de las nanofibras (μm)

puede realizarse recursivamente, obteniendo modelos con tres (macro-, meso- y micro-) o más escalas. Una gran ventaja reside en poder separar el tipo de modelado empleado en diferentes escalas, pudiendo plantear, por ejemplo, un modelo macroscópico continuo discretizado por el método de elementos finitos con un RVE de naturaleza discreta formado por un conjunto de fibras interconectadas [20]. En el caso más completo, se busca calcular una respuesta macroscópica en cada punto de integración de la escala macroscópica a partir de un dominio detallado de la microestructura asociada a ese punto. El dominio microscópico debe ser lo suficientemente representativo de la microestructura real del material, y se lo denomina Elemento de Volumen Representativo (*Representative Volume Element*: RVE). Las técnicas de este tipo poseen las siguientes ventajas: (i) no requieren suposiciones de carácter constitutivo sobre la macroescala, (ii) permiten tratar grandes deformaciones y rotaciones tanto en la escala macro como micro, (iii) son apropiadas para respuestas no lineales de carácter físico, geométrico, y temporal, (iv) habilitan incorporar detalles microestructurales en el análisis macroscópico, y (v) dado que las relaciones obtenidas se derivan de un entendimiento de los mecanismos microscópicos que tienen lugar en el material durante la deformación, permiten una comprensión de las relaciones constitutivas entre las distintas escalas [20]. Esta característica es muy prometedora en ingeniería de tejidos, ya que se pretende diseñar una microestructura en función de un comportamiento macroscópico buscado.

Como herramienta complementaria, la simulación hemodinámica permite evaluar las condiciones de trabajo del segmento original a ser reemplazado y predecir el desempeño mecánico del injerto una vez implantado [21, 22]. Dentro de estos modelos se destacan los modelos heterodimensionales que acoplan submodelos 0D, 1D y 3D y que han emergido como una novedosa herramienta para el modelado del árbol arterial completo [23, 24]. Estos modelos heterodimensionales pueden analizarse como la interacción de dos o tres submodelos. El modelo 1D trata con ecuaciones reducidas de flujo en tubos compliantes, al cual se le acoplan modelos de parámetros concentrados 0D que representan los lechos periféricos y otras singularidades del sistema arterial. Estos modelos son los responsables de considerar las interacciones a nivel sistémico y consecuentemente, de proveer apropiadas condiciones de borde a un modelo detallado y complejo (3D) de un distrito vascular específico. Luego, el modelo 3D aborda la interacción fluido-estructura entre el flujo sanguíneo y la pared arterial con el mayor grado de detalle posible. De esta forma, el modelo 1D da cuenta del comportamiento sistémico integrado del árbol arterial, mientras el modelo local 3D produce gran cantidad de información mecánica en una zona puntual del

mismo. Así, es posible alcanzar un alto grado de realismo en las simulaciones sorteando la imposibilidad actual de manejar modelos completos tridimensionales de todo el sistema vascular [25]. Es necesario aquí resaltar la potencialidad de los modelos heterodimensionales para proveer la infraestructura que hace posible la implementación de los ensayos virtuales (*in silico*) para evaluar el comportamiento de injertos, permitiendo considerar de manera económica la amplia gama de condiciones prevalecientes a lo largo del árbol arterial. Así es posible adaptar la respuesta mecánica del material de acuerdo a la zona específica en la que este será implantado. Estas condiciones marcan, por un lado, la necesidad de adaptar en cada caso la composición y propiedades de los implantes sustitutos y, por otro lado, evidencian la imposibilidad de realizar ensayos que puedan abarcar todas las situaciones mencionadas [26]. La simulación computacional resulta, por lo tanto, una herramienta excelente para asistir el diseño de matrices nanofibrosas para ingeniería de tejidos.

1.2. Objetivos

Este trabajo tiene como objetivo general el desarrollo de modelos constitutivos multi-escala para matrices nanofibrosas electrohiladas con aplicaciones en ingeniería de tejidos que lleven en consideración las características microscópicas del material y su influencia sobre el comportamiento mecánico macroscópico con el fin de su aplicación en un ciclo de modelado fabricación-experimentación para ingeniería de tejidos. Para esto se plantean los siguientes objetivos específicos:

- Derivar una relación constitutiva multiescala cuyos parámetros característicos sean propiedades microestructurales con sentido físico.
- Obtener los parámetros constitutivos microscópicos a partir de datos experimentales macroscópicos de ensayos mecánicos locales para matrices poliméricas para ingeniería de tejidos.
- Obtener un RVE para matrices nanofibrosas a partir del análisis de la microestructura en base a micrografías y detalles técnicos del método de fabricación.
- Evaluar mediante simulación computacional el comportamiento de las matrices bajo condiciones de carga hemodinámicas mediante un modelo de membrana discretizado mediante el método de elementos finitos.

1.3. Organización

La tesis se organiza en 4 capítulos:

- El capítulo 1 (actual) introduce las bases para el trabajo siguiente, consistiendo en un marco teórico donde se presenta una descripción general de los tejidos arteriales, sus afecciones más comunes y los tratamientos correspondientes, donde surge la importancia de los injertos vasculares. A continuación se realiza una descripción de los distintos tipos de injertos vasculares utilizados, haciendo hincapié en los injertos electrohilados de ingeniería de tejidos, su proceso de fabricación y su caracterización morfológica y mecánica. También se establecen las bases del modelado multiescala y su importancia para el diseño de materiales biomiméticos en la ingeniería de tejidos. Finalmente, a partir de los conceptos revisados, se formulan las hipótesis de trabajo a seguir durante el transcurso del trabajo.
- En el capítulo 2 se presenta un modelo multiescala para matrices electrohiladas isotrópicas donde se utilizó un enfoque estadístico sobre la distribución de enrulamientos de las fibras. El modelo se validó mediante comparación con datos experimentales de ensayos de inflado sobre injertos electrohilados. También se estudian los efectos que variaciones microestructurales provocan sobre la respuesta macroscópica con el objetivo de mejorar la biomimesis desde la perspectiva biomecánica. Finalmente se utilizó el modelo como herramienta de diseño, optimizando los parámetros de un injerto electrohilado capaz de imitar la respuesta en presión-diámetro de una arteria intracraneal humana.
- En el capítulo 3 se detalla un método para generar elementos de volumen representativos de geometría fibrosa que reproducen en detalle y con fidelidad los aspectos más importantes de la microestructura de las matrices electrohiladas. Se estudió la variabilidad estadística de las mallas virtuales generadas en función de su tamaño para evaluar su representatividad. También se realizó, mediante el análisis de mallas virtuales, una estimación sobre la densidad superficial de intersecciones, siendo una variable de importancia para el comportamiento mecánico y de difícil medición experimental. Por último, se muestra la versatilidad del método para obtener geometrías que reproducen fielmente las microestructuras típicas de matrices electrohiladas.
- En el capítulo 4 se presenta un modelo micromecánico para mallas fibrosas interco-

nectadas con el objetivo de aplicarse a los RVE generados en el capítulo 3, conformando así un modelo microscópico de alta fidelidad para matrices electrohiladas. La descripción cinemática de la malla admite grandes desplazamientos y rotaciones de las fibras, mientras que para las fibras se admite la posibilidad de deformación plástica y de rotura al ser traccionadas. Luego, el modelo se valida mediante comparación con ensayos experimentales de tracción uniaxial donde se consigue buen acuerdo bajo geometría y parámetros realistas. Finalmente, se estudia la evolución de la microestructura de la malla bajo tracción uniaxial.

1.4. Marco Teórico

1.4.1. Tejidos arteriales

Las enfermedades cardiovasculares son la principal causa de muerte a nivel mundial. Cada año se pierden 17 millones de vidas por causa de estas enfermedades, lo que representa un 29 % de la totalidad de las muertes globales. En particular, las enfermedades coronarias representan un 50 % de las causas de muerte por enfermedades cardiovasculares [8].

Los tejidos arteriales son un subgrupo de los tejidos vasculares, que incluyen también a los capilares y las venas. Dado que las afecciones arteriales representan un mayor riesgo en términos de salud y poseen mayor impacto e incidencia que las enfermedades vasculares venosas y capilares, considerables esfuerzos se han aplicado en el estudio y la búsqueda de estrategias para su reemplazo y regeneración.

Dado que, en gran medida, las afecciones de la pared arterial están en relación a sus propiedades mecánicas, a lo que se suma que las probabilidades de éxito en las intervenciones aumentan cuando los materiales de reemplazo muestran propiedades biomiméticas con los tejidos fisiológicos, es necesario caracterizar el comportamiento mecánico y constitutivo de dichos tejidos. En un sentido descriptivo macroscópico, la estructura de la pared arterial se compone de tres capas distintas: la íntima, la media, y la adventicia (figura 1.1). La íntima es la capa interna y se compone de una capa de células endoteliales soportada por una fina membrana basal y una capa subendotelial. Cumple la función de controlar la transferencia molecular desde el flujo sanguíneo hacia el interior de la pared y evitar la trombogénesis, además de estar involucrada en el mantenimiento de la homeostasis, la regulación del tono muscular, y la regulación inmunogénica e inflamatoria. La media, como su nombre lo indica, es la capa del medio de la pared arterial, y está compuesta por células de músculo liso orientadas circunferencialmente en conjunto con un arreglo doble helicoidal de fibras de colágeno embebidas en una matriz de elastina. La adventicia es la capa externa de la arteria y consiste principalmente de fibroblastos y fibrocitos (células que sintetizan colágeno y elastina), sustancia fundamental y haces de fibrillas de colágeno conformando un tejido fibroso [27].

Resulta importante resaltar que, desde el punto de vista mecánico, los elementos constituyentes relevantes son las células de músculo liso, la matriz de elastina y las fibras de colágeno. Las células de músculo liso poseen capacidad contráctil y son las responsables, por lo tanto, de regular el tamaño del vaso. La elastina es altamente distensible y le confiere

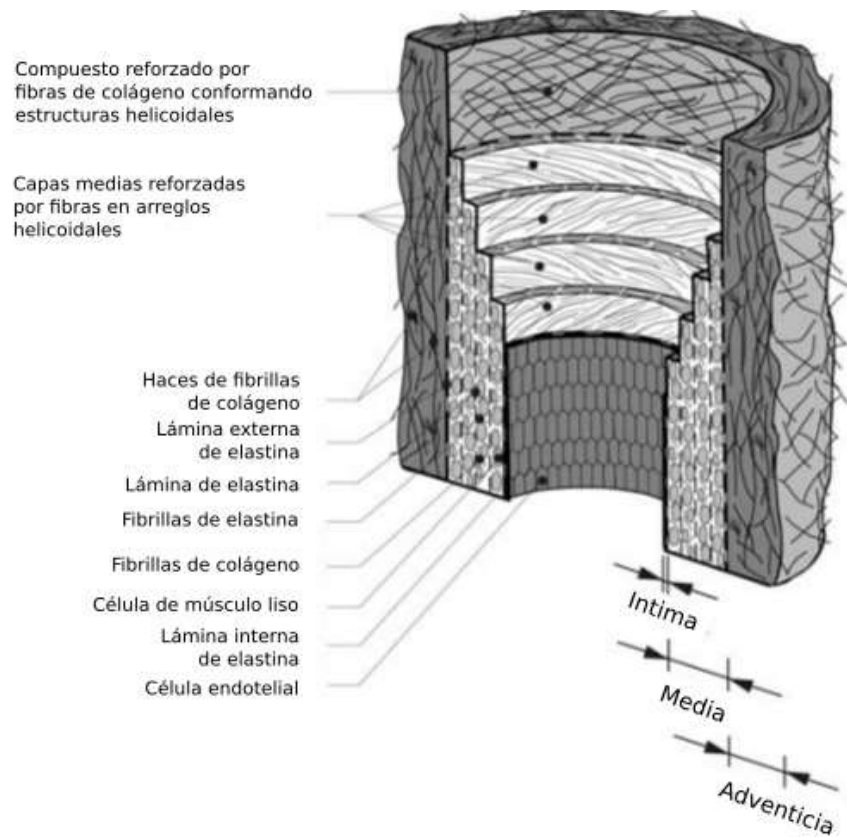


Figura 1.1: Diagrama de la estructura en capas de las arterias, indicando los principales elementos constituyentes de cada una de las tres capas: intima, media y adventicia. Figura adaptada de [28]

re a las arterias una capacidad de deformación elástica elevada a bajas presiones, mientras que las fibras de colágeno, que se encuentran enrolladas en reposo, devienen rectas y mecánicamente activas a altas presiones, protegiendo y reforzando el vaso [29, 30].

Hoy en día, se concentra el mayor esfuerzo sobre el estudio de las arterias musculares (que poseen un diámetro menor a 6 mm), haciendo especial foco en las arterias coronarias, dado que los tratamientos actuales frente a enfermedades coronarias presentan serios inconvenientes.

Las principales causas de enfermedad coronaria son la trombosis y aterosclerosis. La trombosis es la obstrucción del flujo sanguíneo en algún sector del sistema circulatorio debido a la formación de un coágulo en el interior de un vaso sanguíneo. La formación de un coágulo toma lugar normalmente como respuesta natural frente a una lesión del endotelio, aunque puede ocurrir también frente a factores hereditarios o debido a enfermedades de la sangre. Cuando un coágulo se libera en el torrente sanguíneo se lo denomina émbolo, por lo cual es también usual la denominación tromboembolismo cuando se produce

la oclusión del flujo. Cuando la trombosis ocurre en arterias (trombosis arterial) se ve afectada la irrigación sanguínea de los tejidos, pudiendo derivar en isquemias y necrosis [31]. La aterosclerosis, en cambio, consiste en el crecimiento de placas de ateroma dentro de la capa intima de la pared arterial, compuestas de grasa, colesterol, calcio y otras sustancias provenientes de la sangre. El material acumulado engrosa la pared arterial que se proyecta hacia el interior del vaso, reduciendo la luz arterial (estenosis) y restringiendo el flujo sanguíneo. En casos severos puede devenir en enfermedad coronaria, infarto, enfermedad vascular periférica o problemas renales, dependiendo de la arteria afectada. Aunque generalmente comienza a edades tempranas, prácticamente todas las personas sufren algún grado de aterosclerosis a partir de los 65 años de edad, tratándose además, de la principal causa de muerte y morbilidad en el mundo desarrollado [32]. Evidentemente, estas afecciones no son mutuamente excluyentes y pueden ocurrir en simultáneo con efectos sinérgicos: la estenosis generada por la acumulación de ateroma resulta un lugar propicio para el alojamiento de un émbolo trombótico, derivando en un tromboembolismo (ver figura 1.2). El infarto de miocardio ocurre cuando disminuye bruscamente el flujo coronario después de una oclusión trombótica de una arteria coronaria, ya estrechada por aterosclerosis (figura 1.2).

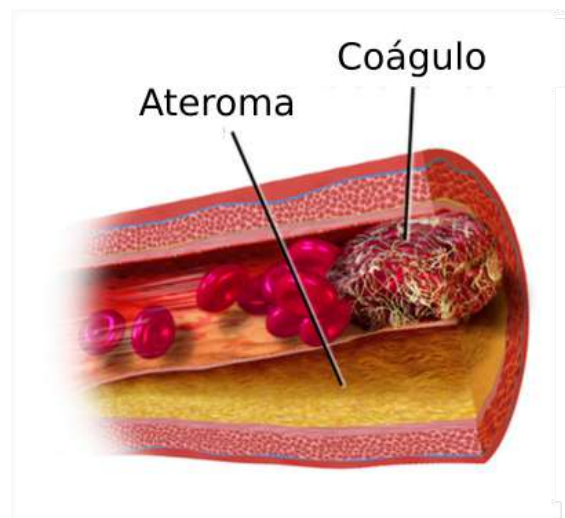


Figura 1.2: El diagrama muestra el bloqueo del flujo sanguíneo provocado por un coágulo suelto en el torrente sanguíneo (émbolo trombótico) alojado en la reducción del lumen (estenosis) provocada por la acumulación de materia grasa (placa de ateroma) en la capa intima de la pared arterial.

Si bien el principal foco de ataque contra estas enfermedades es la prevención, en los casos en que la oclusión o estenosis son severos existen una serie de tratamientos que se pueden realizar. Cuando es posible, se realiza un tratamiento de trombólisis con el fin de

reestablecer de forma inmediata la permeabilidad de la arteria coronaria, mediante la administración intravenosa de agentes trombolíticos de activación tisular del plasminógeno (tPA), estreptoquinasa y complejo anisoilado del activador del plasminógeno y la estreptoquinasa (APSAC). Estos agentes facilitan la conversión del plasminógeno en plasmina, que posteriormente disuelve los trombos de fibrina. En cambio, cuando los medicamentos trombolíticos se encuentran contraindicados, se requiere de intervenciones invasivas de revascularización como la angioplastia o la técnica de *bypass*.

La angioplastia busca recuperar la luz arterial en arterias con estenosis causadas, típicamente, por aterosclerosis. Es un tratamiento invasivo endovascular que consiste en la introducción remota, a través de las arterias femoral o radial, de una guía flexible con un balón inflable dentro de la arteria coronaria afectada. El balón se infla repetidas veces en la zona de la estenosis hasta que la obstrucción desaparece o disminuye. Bajo ciertas condiciones se puede colocar, en el mismo procedimiento, un conducto expansible de metal denominado *stent* que refuerza mecánicamente la zona afectada para evitar estenosis residual y, al mismo tiempo, reducir la probabilidad de futuras reestenosis [33, 34]. Otra posible solución es la cirugía de derivación arterial coronaria (o *bypass* coronario), que consiste en reestablecer el flujo sanguíneo en una arteria obstruida por medio de una conexión artificial por medio de un injerto vascular entre la aorta y la arteria coronaria afectada.

1.4.2. Tipos de injertos vasculares

Como se mencionó, un *bypass* coronario requiere de un injerto vascular. Para este procedimiento se emplean injertos a partir de venas o arterias autólogas, homólogas y heterólogas, e injertos sintéticos de similares dimensiones. De estos injertos, los autólogos siguen siendo hoy en día el *gold standard*, tratándose de vasos sanguíneos del propio paciente que son extraídos de zonas no comprometidas. En particular, la vena safena mayor y la arteria torácica interna (también denominada arteria mamaria interna) son los injertos que han presentado mejores resultados en el tiempo. La vena safena mayor presenta una tasa de permeabilidad (grado de apertura) del 80-90 % luego de un año de implantada. No obstante, a largo tiempo es propensa a sufrir el desarrollo de aterosclerosis y el 50 % de los injertos se cierran luego de 10 años de la operación. La arteria torácica interna presenta una tasa de permeabilidad de 90 % a los 10 años después de la operación. Las causas de este mejor rendimiento no son completamente conocidas. Sin embargo, la vena safena sigue siendo el injerto más elegido por los cirujanos. En los casos que la vena safena y

la arteria torácica interna no se encuentran disponibles para su utilización como injertos, otros vasos sanguíneos tales como la arteria radial, la arteria gastro-omental derecha, la arteria epigástrica inferior, la vena safena corta y venas de las extremidades superiores, son utilizados [35].

Si bien los injertos autólogos presentan un buen desempeño, estos resultan inadecuados o inaccesibles en aproximadamente un tercio de los pacientes, requiriendo la utilización de alternativas como, por ejemplo, el uso de materiales sintéticos [36, 37]. Los injertos sintéticos aprobados para su uso en *bypass* coronario son bioestables y presentan una alta rigidez, siendo los más comunes el Dacron® y el Goretex® (figura 1.3). Las tubuladuras de PET (polietileno tereftalato), patentadas como Dacron®, se forman mediante el tejido de múltiples filamentos de poliéster y poseen alta cristalinidad, alto módulo elástico y alta resistencia a la tracción. Estos injertos se utilizan con éxito para *bypass* de aorta y en la revascularización de injertos de gran diámetro periféricos. Por otra parte, los injertos de ePTFE (politetrafluoroetileno expandido), conocidos comercialmente como Goretex® también presentan alta cristalinidad y alta rigidez, aunque menor que la del Dacron®. El Goretex® se usa con excelentes resultados en injertos para las extremidades inferiores de diámetros internos entre 7-9 mm. Respecto del desempeño de estos injertos como reemplazos para *bypass* coronario, el injerto de ePTFE posee una tasa de permeabilidad media del 14 % a 45 meses de la operación y el de PET resulta en vasos abiertos luego de 17 meses de implantados, no habiendo resultados reportados a mayor tiempo de seguimiento.

Sin embargo, tanto los injertos de Dacron® como de Goretex® fallan en la revascularización de arterias de pequeño diámetro (<6 mm) [38, 39], debido principalmente a la trombogenicidad de la superficie sintética y al desacuerdo en las propiedades mecánicas entre injerto y tejido nativo en la zona de anastomosis² [36, 40, 41]. En el campo de la fisiología cardiovascular, la propiedad mecánica en juego se denomina elastancia o compliancia y cumple un rol fundamental ya que determina la respuesta en presión-diámetro a nivel de componente. Es necesario, entonces, que la compliancia injerto pueda asemejar a la del vaso nativo. Dado que los poliuretanos tienen una naturaleza más distensible y elastomérica que el PET y el ePTFE, son candidatos excelentes para reducir los problemas asociados a la rigidez de los injertos y el desacuerdo mecánico con los tejidos nativos [36, 42]. Si bien se han reportado algunos resultados preliminares con injertos poliuretánicos, no existen datos de seguimiento a tiempo prolongados desde la implantación.

Ninguno de los injertos convencionales (sintéticos, autólogos, provenientes de un do-

²Anastomosis: zona de unión o costura entre dos vasos

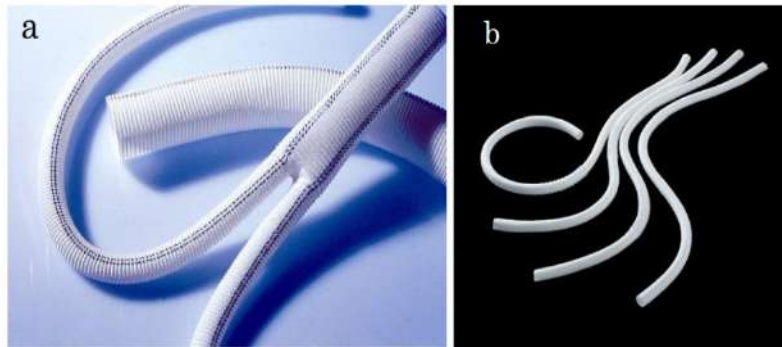


Figura 1.3: Fotografías de injertos vasculares sintéticos comerciales de a) Dacron® y b) Goretex®.

nante o de origen animal) ofrece potencial de regeneración y, más aún, todos están asociados con diferentes niveles de trombogenicidad, reestenosis y susceptibilidad a infecciones. Además, las intervenciones quirúrgicas tratan solamente la manifestación de la aterosclerosis, sin tratar las causas de la condición, por lo que los síntomas tienden a reaparecer y los pacientes con frecuencia requieren una nueva intervención [8, 43].

En este contexto entra la Ingeniería de Tejidos, entendida como el uso combinado de métodos de ingeniería y de las ciencias biológicas para el desarrollo de reemplazos que restauren, mantengan o mejoren la función de los tejidos vivos [44]. Un objetivo de la ingeniería de tejidos es el diseño de injertos vasculares vivos, capaces de responder a estímulos y con propiedades similares a los tejidos nativos [45]. En este sentido, el enfoque de la cirugía vascular emergente ha evolucionado de ‘reemplazar’ a ‘regenerar’ el tejido vascular.

Idealmente un injerto vascular debe carecer de características trombogénicas, tóxicas, cancerígenas e infecciosas, a la vez que debe poseer una adecuada compliancia, facilidad de manejo quirúrgico para su implantación, facilidad de sutura, facilidad de fabricación, disponibilidad en diversos tamaños, capacidad para liberar localmente agentes terapéuticos, capacidad funcional biológica y potencial de regeneración de tejidos. La relación estructura-función de los tejidos vasculares coronarios plantea un criterio de diseño exigente para los sustratos requeridos. Por lo tanto, a la hora de diseñar un injerto vascular hay que tener en cuenta su estructura y funciones tanto a escala macroscópica como microscópica.

La ingeniería de tejidos vasculares plantea dos enfoques diferenciados: los injertos de láminas celulares autoensambladas y los injertos regenerados mediante el uso de andamios (*scaffolds*).

El enfoque de láminas celulares autoensambladas utiliza células humanas exclusiva-

mente para fabricar vasos sanguíneos a partir de células autólogas sin el uso de sustratos externos al paciente. En un biorreactor se cultivan células de músculo liso y fibroblastos *in vitro* propias del paciente, luego se retiran de las placas y se ensamblan sobre un mandril del diámetro deseado, colocando primero células de músculo liso, siguiendo con fibroblastos y culminando con un recubrimiento de células endoteliales. Estos injertos vasculares resisten presiones superiores a los 2000 mmHg³, resistencia a la sutura adecuada y un endotelio funcional. Incluso estudios *in vivo* demostraron que soportan las condiciones de flujo fisiológico [46, 47]. Si bien los resultados obtenidos son exitosos, las láminas celulares requieren de un tiempo considerable para su fabricación, volviendo a este método poco prometedor para su traslado a la práctica clínica, en especial para los casos en que el injerto se necesita con cierta urgencia. Más aún, existe la dificultad de obtener células funcionales capaces de regenerar el tejido vascular en un biorreactor, lo cual resulta una tarea dificultosa en pacientes de edad avanzada [48].

Como alternativa, los injertos vasculares reconstruidos a partir de matrices soporte, o andamios, surgen como continuación natural en la investigación de injertos vasculares sintéticos, donde se adiciona el procedimiento *in vitro* de infiltración y maduración de células vasculares previamente a la implantación. Un andamio es una estructura tridimensional que provee el soporte mecánico y un ambiente propicio para el desarrollo y crecimiento de un tejido, al tiempo que facilita las funciones celulares como adhesión, diferenciación, migración, proliferación y secreción de los componentes de la matriz extracelular [49, 50]. Para que la infiltración y maduración celular sea exitosa, los andamios deben poseer estructuras altamente porosas e interconectadas, de modo de permitir el transporte de sustancias así como la migración celular [51, 52]. Además, para lograr la proliferación de tejido celular se utilizan biorreactores que simulen condiciones hemodinámicas fisiológicas, incluyendo las señales bioquímicas y biomecánicas que regulen correctamente el desarrollo tisular [53].

Las primeras alternativas para la obtención de injertos mediante esta metodología se basaron en andamios constituidos de materiales naturales propios de los tejidos vasculares como el colágeno y presembrados con células vasculares. Sin embargo presentaron propiedades mecánicas inferiores a las requeridas y, contrariamente al objetivo inicial, necesitaron de refuerzos sintéticos para su uso clínico, generando nuevas complicaciones por rechazo o desacuerdo en compliancia [54–56]. La utilización de biorreactores para favorecer la regeneración del tejido vascular con el soporte mecánico del andamio mejora

³Como referencia, la resistencia de la vena safena se estima en 1700 mmHg.

sustancialmente las propiedades mecánicas de estos injertos, logrando pruebas con cierto grado de éxito en animales [57]. Otra opción es la utilización de andamios sintéticos, siendo los más empleados los poliésteres biodegradables compuestos de glicolida y lactida, sus copolímeros (como el ácido poli-L-láctido, el ácido poliglicólico y la policaprolaptona) y los poliuretanos [58]. En comparación con los materiales naturales, los sintéticos presentan grandes ventajas respecto de su amplia disponibilidad y bajo costo, además de permitir mayor control en etapa de producción tanto a nivel de propiedades mecánicas como de porosidad y microestructura, lo que los vuelve candidatos muy atractivos para su fabricación para uso clínico [49, 50, 59]. Como desventaja, los materiales sintéticos sufren de una baja bioactividad respecto de favorecer la implantación y proliferación natural, además de la importancia de tomar en consideración el efecto de la degradación del andamio sobre el tejido celular [60, 61]. Por otro lado, se exploró el uso de andamios a partir de matrices descelularizadas provenientes de donantes o animales (figura 1.4). Se trata de tejidos naturales a los que se los despoja, mediante el uso de diferentes técnicas, de las células pero manteniendo las proteínas de la matriz estructural, como colágeno y elastina, que son predominantemente no inmunogénicas. De esta manera se obtiene un andamio que permitiría ser recelularizado con células del paciente reduciendo drásticamente el riesgo de rechazo inmune, pero aún así existe el riesgo de transmitir patógenos del animal o donante al paciente. Además, las propiedades biomecánicas de la matriz son variables debido a la variabilidad de especies donantes, así como también las distintas edades o sexo de la misma, reduciendo la repetibilidad en la producción con lo cual se ve afectado el resultado clínico [8, 29].

En todo caso, si bien este tipo de injertos ha mostrado resultados interesantes y alentadores, poseen la importante limitación de necesitar un tiempo de cultivo *in vitro* previo a la implantación, y más aún, existe la dificultad de obtener células funcionales capaces de regenerar el tejido vascular en un biorreactor, lo cual resulta una tarea difícil en pacientes de edad avanzada [48]. Hasta la fecha tanto las alternativas sintéticas como las diseñadas por ingeniería de tejidos no consiguen igualar ni mejorar a los injertos autólogos para la cirugía vascular de pequeños vasos. En los últimos 30 años poco ha cambiado en relación a los injertos sintéticos, y la obtención de un injerto vascular de pequeño diámetro (< 6 mm) con un comportamiento apropiado y permanente aún representa un gran desafío. El desarrollo de un conducto para operaciones de *bypass* coronario que pueda estar inmediatamente disponible, sin tiempos prolongados de cultivos *in vitro*, con las propiedades mecánicas y biológicas necesarias es el centro de las investigaciones actuales

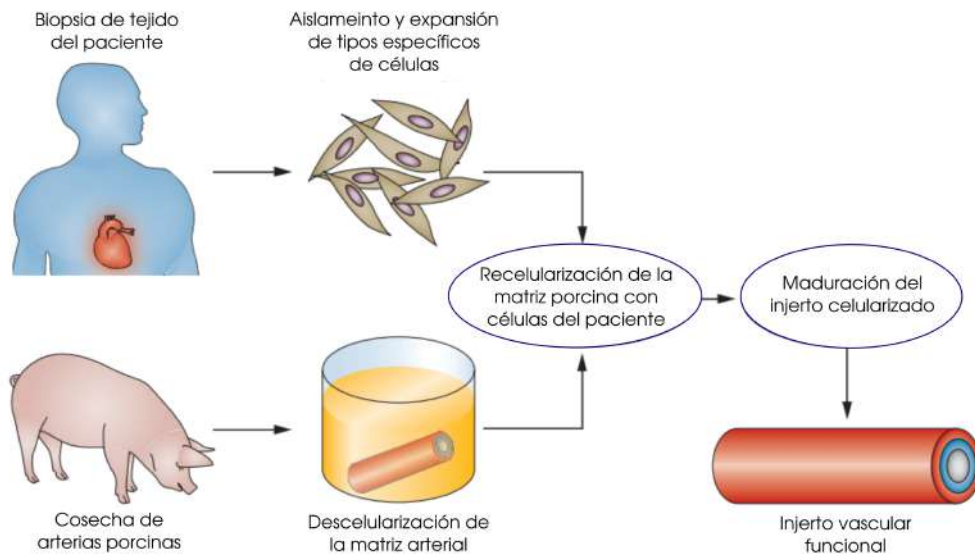


Figura 1.4: Método de obtención de un injerto diseñado por ingeniería de tejidos a partir de un andamio descelularizado. Se obtienen células vasculares del paciente y se cultivan *in vitro*. Al mismo tiempo se extrae una arteria de una fuente alogénica, heterogénica o xenogénica, y se la descelulariza dejando solamente la matriz soporte. Luego se recelulariza el andamio con las células del paciente y se lo madura en un biorreactor, obteniendo un injerto vivo funcional. Imagen adaptada de [8].

en el campo de la ingeniería de tejidos vasculares.

1.4.3. Matrices electrohiladas

Como se mencionó en la sección previa, un requisito fundamental para un *scaffold* de ingeniería de tejidos es que presente una microestructura altamente porosa e interconectada, de modo de permitir el transporte de sustancias así como la migración, adhesión y proliferación celular. Consecuentemente, el número de publicaciones científicas relacionadas con andamios para aplicaciones biomédicas se incrementó notablemente en los últimos años, hecho que revela un alto y sostenido interés en el diseño y preparación de matrices porosas[62]. Teniendo en cuenta los requisitos indispensables que debe reunir una matriz extracelular artificial, la tecnología de procesamiento para su producción debe poseer un control importante de las propiedades macro y microestructurales. El comportamiento viscoso de los polímeros por encima de su temperatura de transición vítrea o temperatura de fusión y su solubilidad en diferentes solventes orgánicos, determina la aplicación de una amplia variedad de técnicas para preparar matrices poliméricas porosas a partir de polímeros sintéticos y naturales, en algunos casos se realizan compuestos con materiales cerámicos [63–65]. No existe una metodología única para crear matrices po-

rosas, la elección de la técnica más apropiada resulta entonces crítica y depende de cada material polimérico y la aplicación específica [66].

La microestructura, porosidad, y topografía del injerto poroso son factores fundamentales para su desempeño exitoso. La producción de injertos vasculares se puede abordar mediante la utilización de diferentes técnicas. P.M. Crapo y colaboradores fabricaron injertos vasculares de poli(ácido láctico-co-glicólico) (PLGA) y poli(glicerol sebacato) (PGS) mediante la técnica de evaporación de solvente y disolución de partículas [67, 68]. El grupo de D.A. Vorp desarrolló injertos de poli(éster uretano)urea (PEUU) obtenidos mediante la técnica de separación de fases inducida por temperatura (TIPS) [69]. Otros grupos utilizaron polímeros naturales, C.E. Ghezzi y colaboradores produjeron injertos densos de colágeno simplemente al envolver circunferencialmente láminas de gel de colágeno densas, comprimidas plásticamente, alrededor de un soporte cilíndrico [70]. S. Liu y colaboradores desarrollaron injertos bicapa reforzados de fibrina de seda con heparina [71].

Si bien se han logrado injertos con propiedades interesantes mediante las técnicas mencionadas, la tecnología de electrohilado resulta una técnica más prometedora para la producción de injertos vasculares. Esta es una técnica versátil, que permite la producción de fibras de nano/microescala que presentan un gran potencial para imitar el microambiente fibroso de la matriz extracelular natural presente en las arterias [13]. El electrohilado ofrece la posibilidad de ajustar finamente las propiedades mecánicas durante la fabricación, controlando la microarquitectura porosa, tamaño y la orientación de las fibras, logrando comportamientos anisotrópicos como los observados en los vasos sanguíneos. Además, la posibilidad de usar un colector rotatorio de pequeño diámetro, resulta en la obtención de una tubuladura sin costura ideal para aplicaciones vasculares. Todas estas ventajas, en conjunto con las ya mencionadas en la sección previa, posicionan a la técnica de electrohilado como una técnica ideal para la producción de injertos vasculares de pequeño diámetro.

Proceso de electrohilado

La tecnología de electrohilado constituye uno de los métodos de procesamiento de vanguardia que presenta mayores ventajas para la producción de nanofibras. La técnica tiene la habilidad única de producir nanofibras de diferentes materiales y geometrías, bajo costo, relativamente alta velocidad de producción y simplicidad en el diseño del equipamiento. En los últimos años, se han electrohilado numerosos tipos de materiales que

incluyen prácticamente todos los polímeros sintéticos y naturales que sean solubles o puedan fundirse, y nanocompuestos, para obtener fibras continuas de unos pocos nanómetros hasta algunos micrones que generan una matriz hilada no tejida altamente porosa [12].

Aunque la técnica de electrohilado constituye una vía versátil para la producción de nanofibras, el proceso es sumamente complejo y depende de numerosos parámetros. El diseño experimental básico para electrohilado de soluciones consta de cuatro componentes (figura 1.5): un reservorio de solución o material fundido, una bomba de infusión que permite suministrar un flujo constante y controlado de solución, una fuente de alta tensión y un sistema colector sobre el que se deposita el material electrohilado. Al aplicar una tensión de 5-30 kV, la solución polimérica se electrifica fuertemente. Se inducen cargas eléctricas que se distribuyen sobre la superficie de la gota de solución polimérica que pende de una boquilla. La gota experimenta un conjunto de fuerzas: fuerza de repulsión eléctrica entre las cargas inducidas, fuerza electrostática producto del campo eléctrico externo generado al aplicar la tensión, fuerza gravitatoria, fuerzas viscoelásticas que dependen del polímero y solvente, y la tensión superficial que se opone al estiramiento y afinamiento de la gota. Bajo la acción de estas interacciones, la gota se distorsiona en forma cónica, fenómeno conocido como cono de Taylor. En estas condiciones el balance de fuerzas llega a un equilibrio. Luego, cuando las fuerzas electrostáticas repulsivas superan la tensión superficial del polímero, se produce una situación inestable que provoca la expulsión de un microchorro líquido cargado desde la boquilla del capilar. Este microchorro electrificado sufre estiramiento y movimientos tipo látigo, dando lugar a la formación de hilos largos y delgados. A medida que el chorro líquido se deforma continuamente y se evapora el solvente (o solidifica el fundido), las cargas superficiales aumentan conduciendo a una disminución drástica del diámetro de las fibras. Los entrecruzamientos físicos de las cadenas poliméricas permiten dar continuidad al microchorro, formando fibras que se depositan en el sistema colector que, por otra parte, se encuentra conectado eléctricamente a tierra [72, 73].

Microestructura

En el proceso de electrohilado el solvente se evapora casi completamente en la trayectoria que recorre el microchorro entre los electrodos durante el tiempo de proyección. Las nanofibras así formadas se depositan de manera continua sobre el colector, ya sea plano o rotatorio, debido a la atracción eléctrica por el campo inducido. La estructura resultante

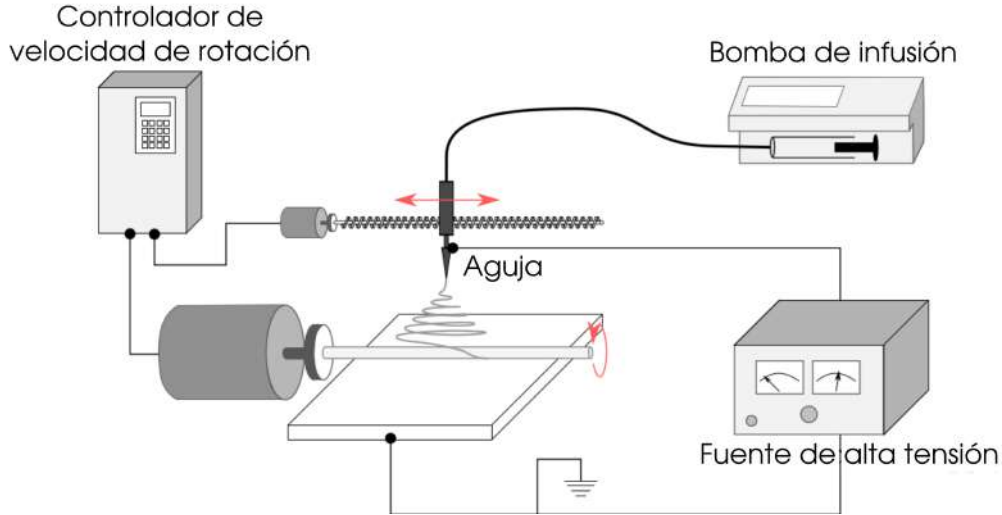


Figura 1.5: Esquema básico de los componentes necesarios para el electrohilado de soluciones sobre un colector cilíndrico.

es la de una malla de nanofibras muy largas, onduladas, no tejidas, con uniones de tipo soldadura en los puntos de contacto donde ha quedado solvente residual. Además, dado que las fibras se van superponiendo unas a otras, se obtiene una estructura de capas en la dirección normal al plano colector (dirección radial en el caso de un colector cilíndrico). Esta morfología microscópica se asemeja a la de los tejidos arteriales (figura 1.6), dando lugar a la idea de que las matrices electrohiladas son buenos candidatos para su utilización como andamios vasculares.

Se puede lograr cierto nivel de control sobre la distribución de orientaciones de las nanofibras variando las velocidades angular y axial del mandril colector (figura 1.7) [78], mientras que otros aspectos de la geometría de la malla pueden controlarse mediante otros parámetros del proceso como el caudal de infusión, la distancia entre la boquilla y el colector, la tensión aplicada, la introducción de terceras fases, etc. De esta manera se obtienen mallas con nanofibras de distinto diámetro y curvatura, así como también se puede variar la densidad de uniones entre fibras y el grado de alineamiento sobre una dirección preferencial.

Es relevante señalar que se ha observado experimentalmente bajo carga, las grandes rotaciones y deformaciones sufridas por las fibras elastoméricas permiten a estos *scaffolds* de microestructura nanofibrosa soportar el mismo nivel de deformaciones que experimentan los tejidos vasculares que pretenden reemplazar [14–16].

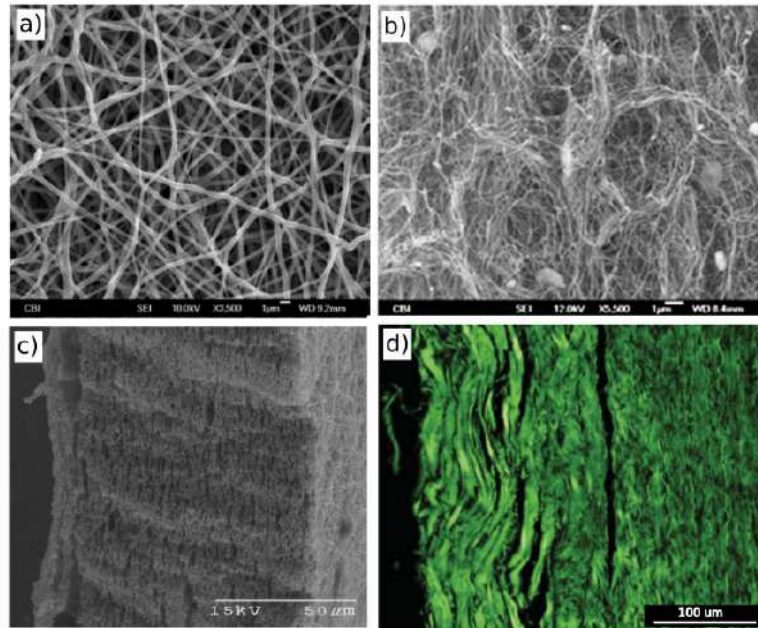


Figura 1.6: Comparación visual entre la microestructura de la matriz extracelular arterial y las matrices producidas mediante la técnica de electrohilado, incluyendo la morfología plana y la estructura de capas: (a) Imagen SEM de la capa superior de un andamio de PEUU electrohilado (adaptada de [74]), (b) Imagen SEM de la superficie de la capa adventicia descelularizada (adaptada de [75]), (c) Imagen SEM transversal de PEUU electrohilado mostrando la estructura de capas (adaptada de [76]) y (d) Imagen SHG (*second-harmonic generation*) transversal de las capas adventicia y media (de izquierda a derecha) mostrando su estructura de capas (adaptada de [77]).

1.4.4. Modelado multiescala

Para alcanzar las demandas mecánicas y funcionales necesarias para el éxito de un andamio para ingeniería de tejidos, se necesitan modelos y simulaciones que otorguen un mayor entendimiento de los procesos microestructurales que ocurren durante la deformación y su relación con la respuesta macroscópica observada. El modelado constitutivo de un material es el proceso de análisis mediante el cual se establece un modelo que representa algunos, sino todos, los aspectos de importancia involucrados, mientras que la simulación es el proceso que utiliza el modelo establecido para determinar la respuesta del material bajo condiciones específicas de carga y/o deformación.

En la realidad, los materiales presentan naturalmente una gran interacción multiescala, desde el comportamiento atómico y molecular, pasando por la microestructura, hasta lo macroscópicamente observado. El modelado convencional restringe su alcance y validez a una sola escala, sin considerar los fenómenos que ocurren por fuera de la misma, excepto sólo por sus efectos observables en el nivel estudiado. Si bien enfocarse en una sola

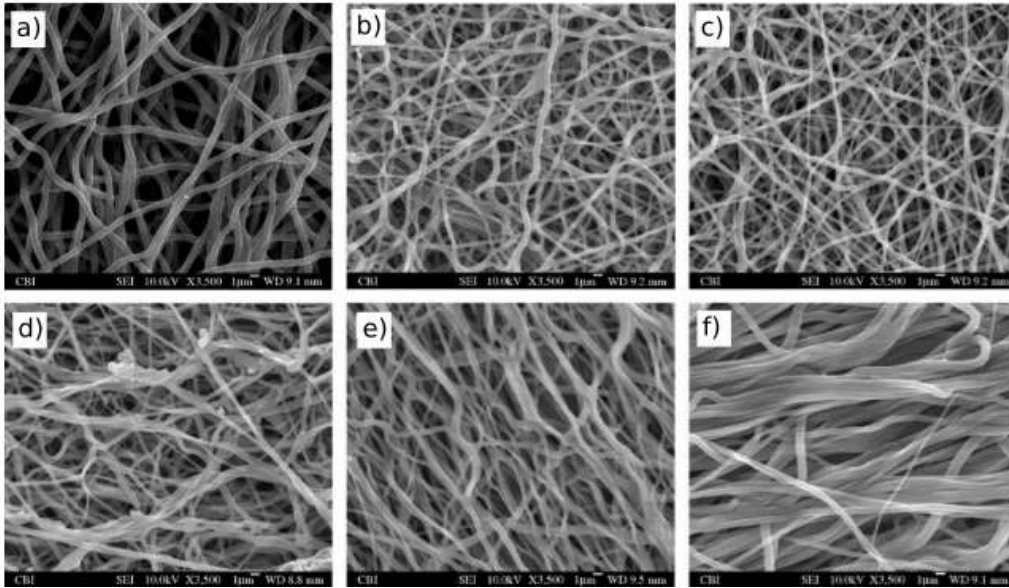


Figura 1.7: Mediante la velocidad de rotación aplicada al mandril colector pueden obtenerse mallas con diferente grado de alineación a lo largo de la dirección circunferencial. (a) Malla isotrópica con $v \approx 0$, (b) $v = 0.3$ m/s, (c) $v = 1.5$ m/s, (d) $v = 4.5$ m/s, (e) $v = 9.0$ m/s, (f) $v = 13.8$ m/s. Imagen adaptada de [79].

escala simplifica el proceso de modelado, el advenimiento de la nanotecnología permite la fabricación de materiales con la posibilidad de controlar las características microscópicas. Por lo tanto, si se desea optimizar la respuesta macroscópica del material mediante la modificación de su microestructura, se requieren modelos que lleven en consideración el acoplamiento entre las observaciones macroscópicas y los fenómenos microscópicos subyacentes con el fin de lograr un mayor entendimiento de los mecanismos microscópicos subyacentes y su acoplamiento con la escala macroscópica.

Los modelos multiescala surgen dada la necesidad de modelar simultáneamente aspectos estructurales en dos escalas bien diferenciadas⁴. El modelado convencional implicaría el planteo de la escala macroscópica incorporando los aspectos microestructurales únicamente por sus efectos fenomenológicos mediante una ecuación constitutiva, se trata de un modelo eficiente pero se pierde información relevante sobre el comportamiento mecánico de la microestructura. Otra opción es plantear un modelo en escala única cuya resolución permita considerar los aspectos microestructurales al mismo tiempo que la geometría macroscópica, pero se trataría de un problema con un altísimo costo computacional para su implementación. En cambio, el modelado multiescala implica el planteo

⁴En rigor puede tratarse más de dos escalas, en cuyo caso el concepto no presenta mayores diferencias, por lo que se mantuvo el caso de dos escalas para dar mayor claridad a la explicación.

de diferentes modelos para cada escala de manera simultánea con algún método de acoplamiento entre ellos, consiguiendo un equilibrio razonable entre eficiencia y resolución. Los modelos de las distintas escalas pueden originarse de leyes de comportamiento bien diferentes. Mientras que la macroescala suele plantearse como un sólido continuo, la microestructura puede representarse mediante modelos continuos, discretos, estadísticos, de dinámica molecular, entre otros [80].

El modelado multiescala plantea, por lo tanto, que el modelado constitutivo de un material puede plantearse como una jerarquía de modelos de simple escala con diferentes grados de complejidad y acoplados entre sí. Para poder llevar a cabo esta técnica se debe cumplir con la separación de escalas, es decir, que las longitudes características típicas de la microescala sean órdenes de magnitud menores que las longitudes características propias de la macroescala. Bajo esta consideración, siempre será posible encontrar una muestra representativa microscópica del material sobre la cual se puedan realizar y calcular propiedades que resulten estadísticamente representativas del comportamiento del material macroscópico. A una muestra con esas características se la denomina Elemento de Volumen Representativo (*Representative Volume Element*, RVE). Dicho de otra manera, un RVE asociado a un punto material macroscópico de un cuerpo es un volumen material estadísticamente representativo del entorno infinitesimal (desde el punto de vista macroscópico) de ese punto material.

1.5. Antecedentes

El interés en el modelado mecánico de los biomateriales fibrosos ha crecido sostenidamente en las últimas décadas, sin embargo todavía no se ha establecido una base teórica sólida y consensuada al respecto. Como una primera aproximación, el desarrollo de modelos fenomenológicos específicos para biomateriales representó un importante avance al lograr capturar la respuesta no lineal en tensión-deformación típica de estos materiales, compuesta por una región de baja rigidez y una de alta rigidez [79, 81, 82]. Sin embargo, en estos modelos la relación en tensión-deformación consiste en ecuaciones matemáticas macroscópicas cuyos parámetros se ajustan para predecir la respuesta constitutiva del material correspondiente. Por lo tanto, no aportan información acerca de la relación entre los fenómenos microscópicos subyacentes en el material y la respuesta macroscópica observada.

Los modelos microestructuralmente inspirados, en cambio, representan un avance res-

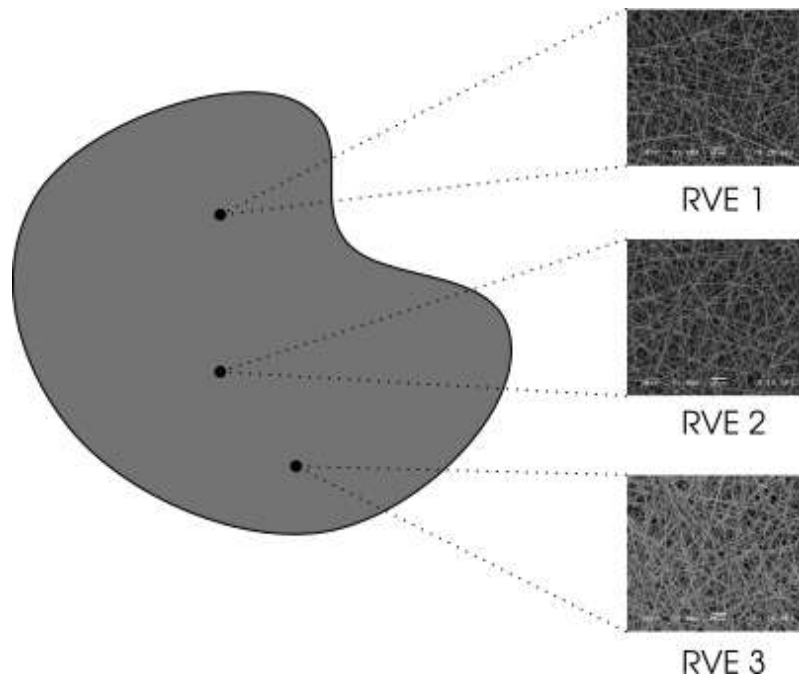


Figura 1.8: Ejemplo de la idea de un tamaño de muestra estadísticamente representativo del material. Las tres muestras microscópicas son diferentes en un sentido estricto, pero no lo son estadísticamente hablando: las distribuciones de probabilidad de diámetro, orientación, enrutamiento son similares, así como la porosidad y otros parámetros que se puedan medir.

pecto de los fenomenológicos, ya que permiten derivar las ecuaciones constitutivas macroscópicas a partir de un análisis de los procesos microscópicos bajo deformación. Estos modelos, en base a suponer deformación afín de la microescala, han permitido vislumbrar que el comportamiento macroscópico anisotrópico y altamente no lineal de los biomateriales se debe en gran medida a la rotación y reclutamiento de las nanofibras, además de a la no linealidad propia del material constituyente [16, 83–87]. En el campo del modelado de materiales fibrosos artificiales, una gran cantidad de trabajos se abocaron a encontrar las propiedades mecánicas macroscópicas efectivas en base a un análisis microestructural. Bajo esta perspectiva, se desarrollaron modelos para diferentes materiales fibrosos como papel, lana, hilados, y otros materiales textiles, con creciente grado de complejidad geométrica [88–92]. Si bien la microestructura se tiene en cuenta en estos modelos para derivar una relación constitutiva, no deja de tratarse de ecuaciones matemáticas que presuponen a priori los modos de deformación microscópicos. Por lo tanto, no logran capturar la heterogeneidad cinemática a escala de cada nanofibra, ya que su deformación estará determinada por las posiciones y deformaciones de las nanofibras circundantes.

La necesidad de una mejor comprensión de los fenómenos microestructurales de las matrices electrohiladas ha llevado el campo de estudio en la dirección del modelado multi-

escala, entendiendo al mismo como una técnica de modelado en la que múltiples modelos en diferentes escalas se plantean de manera simultánea para resolver un mismo sistema [80]. Resulta pertinente aclarar que si bien sería teóricamente posible abordar el problema mediante simulación directa, es decir un modelo del componente macroscópico con un nivel de detalle que alcance hasta la microestructura, tal enfoque resulta prácticamente irrealizable por el alto costo computacional asociado. Un importante primer paso para la realización de simulaciones confiables de este tipo consiste en identificar las características geométricas microscópicas que describen la microestructura nanofibrosa. Algunos de los procesos microestructurales bajo deformación han podido ser observados mediante imágenes SEM de matrices electrohiladas [93, 94]. Aún así, dicha información está restringida a la superficie exterior del material, y poco se puede inferir acerca de cuestiones tridimensionales como la densidad de vínculos cruzados entre las nanofibras, o el largo promedio de los segmentos entre vínculos [95]. Como consecuencia, el modelado multi-escala se presenta como una oportunidad no sólo de reproducir la micromecánica de los materiales electrohilados, sino también de elucidar cuáles y cómo son los mecanismos microscópicos que no pueden ser observados experimentalmente. Los modelos basados en el concepto de RVE se encuentran con diversos grados de complejidad, incluyendo composiciones de unas pocas fibras discretas hasta redes fibrosas de geometrías aleatorias tridimensionales. En todo caso, las suposiciones sobre las que se basa la construcción del RVE y el comportamiento mecánico de las fibras resultan esenciales para el comportamiento mecánico obtenido. Los modelos más sencillos requieren mayor número de hipótesis simplificadoras, pero permiten focalizar el análisis sobre unas pocas características de interés a la vez que su resolución es muy eficiente. Los modelos más complejos, en cambio, poseen un alto número de variables acopladas que derivan en la respuesta conjunta, conllevando un alto costo computacional asociado. Dependiendo de la aplicación, por lo tanto, se debe hacer un balance entre eficiencia computacional y complejidad del modelo. En las últimas décadas han proliferado los modelos basados en RVEs discretos, encontrando una gran variedad de modelos dependiendo de la combinación de los parámetros que determinan la topología microscópica, así como el comportamiento mecánico individual de las fibras y de sus enlaces.

Stylianopoulos y colaboradores [96] investigaron la influencia de la distribución de orientaciones de las nanofibras sobre la respuesta mecánica macroscópica. Para ello, utilizaron un modelo multiescala computacional para simular matrices electrohiladas de poliuretano bajo tracción uniaxial. Generando geometrías con diferentes grados de alinea-

ción a lo largo de la dirección de carga, encontraron que el módulo de elasticidad a la tracción aumenta considerablemente con la alineación debido a un mayor número de fibras compartiendo la carga. Si bien ese modelo otorgó buena concordancia con resultados experimentales, los parámetros ajustados mostraron discrepancias para la rigidez de las nanofibras y el módulo de rigidez transversal a la dirección de alineación de las fibras. Estas discrepancias se deben, posiblemente, a la falta de consideración por una distribución de enrulamiento inicial así como por el método artificial de determinación de uniones entre fibras.

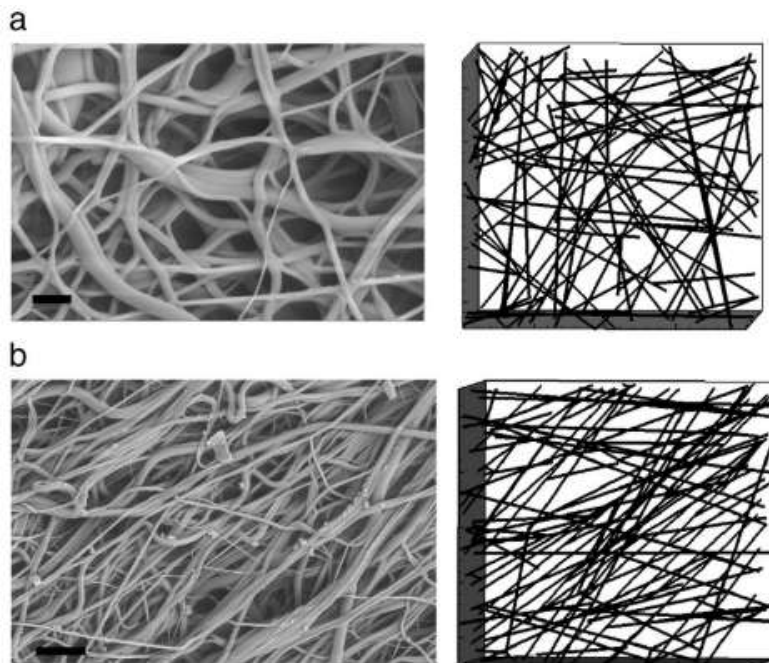


Figura 1.9: RVE de Stylianopoulos y colaboradores [96] para: a) una malla isotrópica, b) una malla alineada.

Para estudiar el efecto de la curvatura de las fibras sobre el módulo de elasticidad de matrices electrohiladas, Pai y colaboradores [97] propusieron un RVE conformado por un arreglo de 4 fibras con curvatura variable. Además de la resistencia de las fibras a la tracción, tuvieron en cuenta también la energía de deformación de las fibras bajo flexión. Encontraron que la curvatura de las fibras es una característica esencial y que su desenrullamiento durante la deformación resulta en un comportamiento más compliant para geometrías con fibras más enruladas. Además, se determinó que otros factores de importancia son la porosidad, el diámetro de las fibras, y la distancia entre uniones.

Wei y colaboradores [98] tomaron un enfoque diferente modelando la mecánica microscópica con métodos de dinámica molecular. Plantearon un RVE compuesto por cien-

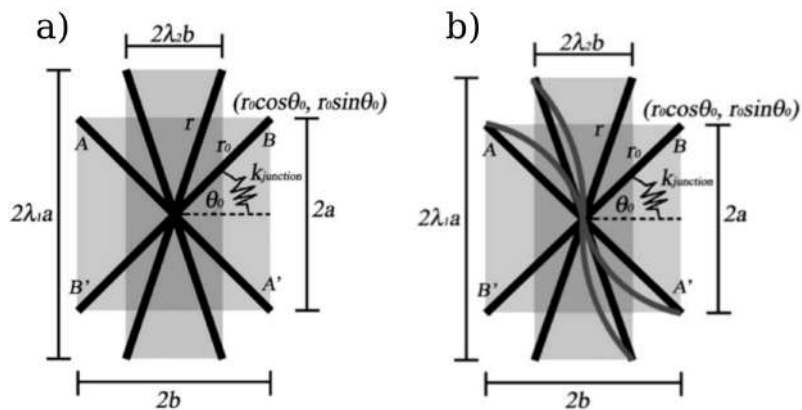


Figura 1.10: RVE de Pai y colaboradores [97]: a) fibras rectas y b) fibras con curvatura.

tos de fibras aleatoriamente distribuidas en un dominio cuadrado, donde cada fibra se representa de forma análoga a una cadena polimérica, con masas esféricas unidas por enlaces covalentes simulados mediante barras elásticas y juntas elásticas. Con este método, se focalizaron en el análisis de las uniones entre las fibras sobre la respuesta macroscópica, pudiendo considerar uniones soldadas e interacciones por proximidad de tipo van der Waals. Realizaron simulaciones con uniones soldadas, mitad soldadas, y no soldadas, encontrando que la densidad de uniones incrementa sensiblemente el módulo de rigidez y la resistencia a la rotura, aunque un exceso de fusiones deriva en la disminución de la energía de fractura. Un resultado interesante es la pequeña diferencia entre uniones soldadas y mitad soldadas, ya que indica que si bien controlar la densidad de puntos de fusión resulta crucial, no es necesario que esa fusión sea total, pudiendo concluir que la resistencia del propio punto de unión se vuelve irrelevante por encima de un determinado valor umbral.

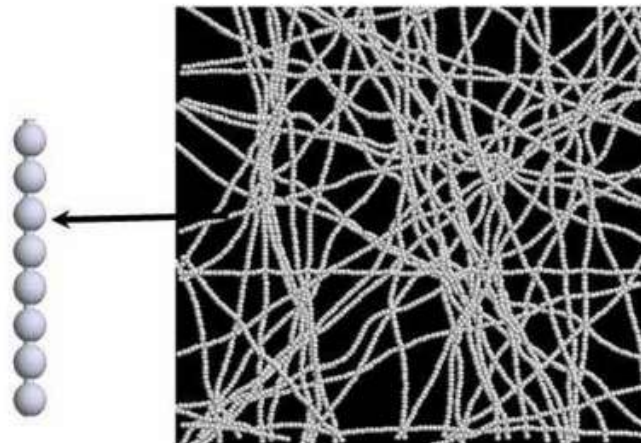


Figura 1.11: RVE de Wei y colaboradores [98].

Rizvi y colaboradores [99, 100] presentaron un modelo matemático en el que se representan las propiedades microestructurales mediante funciones estadísticas, planteando un paralelismo entre un RVE formado por fibras discretas y una descripción probabilística con tres variables de estado: diámetro, longitud de contorno y separación lateral entre los extremos. En esta descripción, la curvatura y la orientación se hallan implícitos como funciones de los tres parámetros de control, pudiendo efectivamente obtener microestructuras con diferentes grados de alineación y tortuosidad. Los resultados de simulaciones bajo tracción uniaxial refuerzan la idea de que las variables microestructurales determinan en gran medida la respuesta macroscópica, destacando que la resistencia a la rotura macroscópica de la matriz depende principalmente de la población de fibras inicialmente curvadas.

Carleton y colaboradores [74] implementaron un algoritmo estocástico de *Random Walk* capaz de obtener RVEs formados por capas bidimensionales con nanofibras de geometrías variables en orientación y tortuosidad. En su modelo, hicieron uso de técnicas de muestreo estadístico para conformar las fibras como una concatenación de segmentos lineales, imponiendo además la condición de periodicidad en los bordes por considerar al RVE como una celda unitaria. Comparando estimaciones matemáticas con simulaciones geométricas obtuvieron una buena concordancia para la fracción de volumen ocupado por las fibras así como para la densidad de intersecciones. En un trabajo subsiguiente [101], modelaron la respuesta mecánica de este RVE donde fibras fueron representadas como vigas de Euler-Bernoulli compuestas de un material hiperelástico de Yeoh, obteniendo buena concordancia con datos experimentales. Adicionalmente, estudiaron el efecto de las variables microscópicas (orientación y tortuosidad de las fibras) sobre la respuesta macroscópica, aunque la utilización de un material no lineal puede haber ocultado los efectos no lineales debidos a estas características.

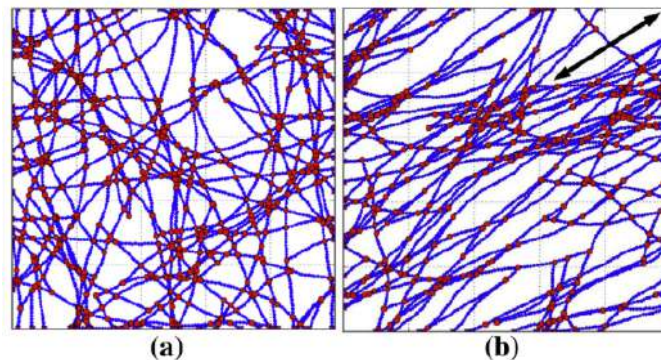


Figura 1.12: RVE de Carleton y colaboradores [74]: a) malla isotrópica, b) malla alineada.

Zundel y colaboradores [95] formularon un modelo basado en un RVE también conformado por capas bidimensionales, introduciendo el concepto de capa de interacción como una distancia normal entre las fibras para la cual se produce una unión. En su trabajo, las fibras se describieron mediante curvas sinusoidales y se les asignó un comportamiento mecánico elástico lineal seguido por plasticidad con endurecimiento lineal, lo cual se asemeja al comportamiento real observado experimentalmente para nanofibras poliméricas. Las simulaciones mostraron muy buena concordancia con datos de ensayos experimentales bajo carga uniaxial sobre matrices electrohiladas de PA6(3)T previamente reportados por Silberstein y colaboradores [94]. Además llevaron a cabo un análisis sobre la realineación de las fibras y la relación entre la orientación y el estiramiento de las nanofibras bajo deformación. Estos resultados permitieron obtener una diferencia sustancial en el estiramiento de las fibras entre el modelo discreto y modelos afines, algo que en trabajos previos no se había podido elucidar. Posteriormente, Domaschke y colaboradores [102] llevaron a cabo una extensión del modelo en tres dimensiones, encontrando que el modelo bidimensional es una aproximación válida para matrices con porosidades del orden de las encontradas en materiales electrohilados.

1.6. Hipótesis de trabajo

Sobre la base de la revisión bibliográfica presentada acerca de las características experimentales observadas en las mallas electrohiladas, se formulan las siguientes hipótesis de trabajo:

- La microestructura de las mallas electrohiladas es la de un arreglo de nanofibras largas, no tejidas, pero fuertemente unidas en los puntos de contacto por uniones de tipo soldadura debido a solvente residual durante el proceso de deposición.
- Se admite la separación de escalas, permitiendo la implementación de modelos mediante el concepto de RVE.
- En la escala macroscópica la malla puede considerarse como un sólido continuo sujeto a grandes deformaciones donde la tensión depende de la deformación en el caso elástico, y puede incluir dependencia de la tasa de deformación en el caso plástico o viscoelástico.
- La escala microscópica no es factible de ser modelada como un continuo por la presencia predominante de poros entre las fibras. Por lo tanto, es necesario que se modele como un RVE discreto compuesto de un número finito de nanofibras con interacción entre ellas.
- La comunicación entre las escalas puede efectuarse aplicando principios de conservación entre las escalas, resultando en una ley de homogeneización que permite obtener la tensión macroscópica mediante la resolución de un problema microscópico.

Capítulo 2

Modelo constitutivo multiescala para matrices nanofibras con reclutamiento progresivo

2.1. Introducción

El modelado convencional, en el marco de la mecánica del continuo, trata con materiales idealizados en los que se asume que la distribución de tensiones y deformaciones puede considerarse homogéneo en el entorno infinitesimal de una dada partícula material (elemento material infinitesimal). En este caso, además, los esfuerzos internos en un punto material cualquiera del continuo queda determinado por la historia de las deformaciones en ese punto. Adicionalmente, en ciertos casos, como el de materiales hiperelásticos, se puede prescindir de las deformaciones pasadas, pudiendo establecer leyes constitutivas que sólo dependen de la deformación actual.

Sin embargo, la homogeneidad aparente a nivel macroscópico suele no ser tal a nivel de microescala, donde el entorno de un punto resulta ser una región que incluye distintos elementos constituyentes con diferentes propiedades y formas. Es decir, el elemento material infinitesimal tiene su propia complejidad bajo la forma de una microestructura no homogénea que, además, evoluciona según la deformación a la que se somete. Por lo tanto, los campos de tensión y deformación dentro del elemento material son igualmente no uniformes a escala microscópica [103]. El planteo de un marco teórico en más de una escala surge debido a la necesidad de modelar con precisión materiales que naturalmente presentan esta separación de escalas, siendo ejemplos típicos: las aleaciones metálicas, combinaciones de polímeros, materiales compuestos, medios porosos, materiales policristalinos y materiales biológicos. Para estos casos, la respuesta macroscópica depende

del tamaño, forma, propiedades y distribución espacial de sus constituyentes microestructurales [104].

La teoría multiescala tiene sus inicios en los trabajos pioneros de Hill [105–108], Hashin y Shtrikman [109], Budiansky [110] y Mandel [111], entre otros. Mayormente se ha enfocado la atención en el desarrollo de modelos basados en el concepto de Elemento de Volumen Representativo (*Representative Volume Element*, RVE): a cada punto material de la macroescala se lo asocia con un dominio de la microescala apropiadamente identificado, que representa la configuración de referencia de la microestructura en ese punto. Es importante que la longitud característica de la microescala sea considerablemente menor a la longitud característica de la macroescala, y que el tamaño del dominio microscópico sea lo suficientemente grande para ser verdaderamente representativo de la microestructura (figura 2.1). Dadas estas condiciones, existe separación de escalas y el dominio asociado a la microescala es considerado estadísticamente representativo del material en el punto material macroscópico asociado, y en consecuencia se lo denomina RVE.

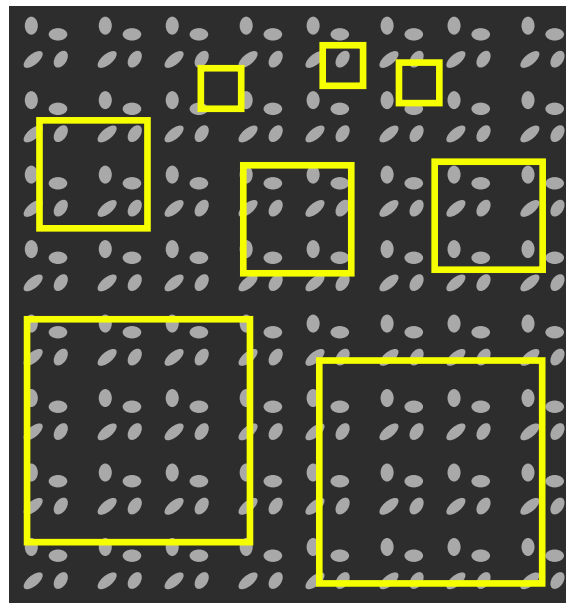


Figura 2.1: Esquema de una microestructura y dominios microscópicos de distinto tamaño. Se ve claramente que a medida que se aumenta el tamaño, el dominio encuadrado contiene en su interior mayor número de constituyentes haciéndolo más representativo de la microestructura.

Esta disociación de un punto material macroscópico de su entorno, detallado en el RVE, requiere de dos operaciones para completar el sistema: la inserción y la homogeneización. La inserción se refiere a la comunicación de la deformación macroscópica sobre el dominio microscópico, derivando generalmente en un problema de valores de contorno

donde se suele optar por condiciones de borde homogéneas o periódicas, aunque otras alternativas son posibles. Inversamente, la homogeneización es la obtención de la tensión macroscópica a partir del campo de tensiones en el RVE, siendo lo más usual considerar el promedio de las tensiones en el volumen microscópico (figura 2.2).

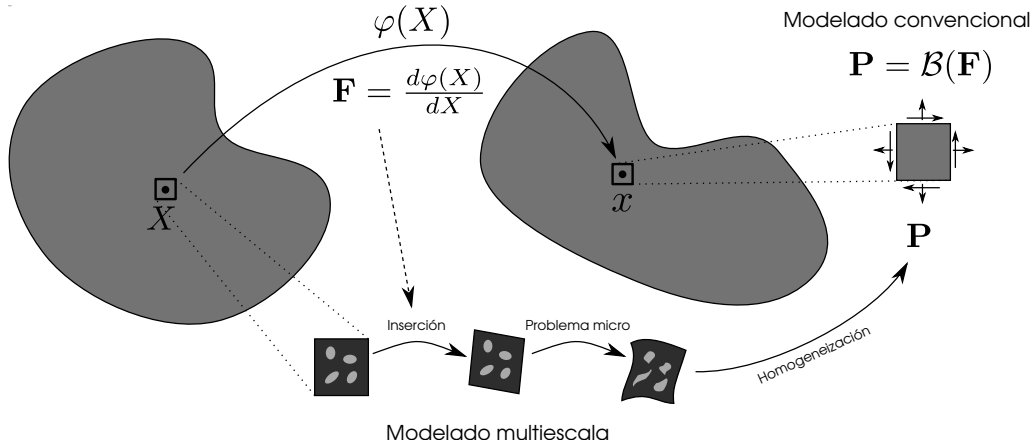


Figura 2.2: Esquema de los dos tipos de modelado constitutivo: convencional y multiescala. El modelado constitutivo convencional plantea un sola escala en la cual se establece una relación entre la tensión y la deformación en la forma de una ecuación matemática ($\mathbf{P}(\mathbf{F})$). El modelado multiescala, en cambio, asocia a cada punto material \mathbf{X} un dominio microscópico que se resuelve simultáneamente a partir de la inserción de información desde la escala macroscópica, y como resultado se obtiene, mediante alguna técnica de homogeneización, la tensión aparente desde la macroescala.

En las últimas décadas, la utilización de modelos multiescala en aplicaciones prácticas se ha basado casi exclusivamente en técnicas de homogeneización computacional [112–123]. Esta técnica no busca la obtención de leyes constitutivas bajo la forma de un sistema cerrado de ecuaciones matemáticas, sino que promueve un análisis local-global en el que la tensión en cada punto de integración del modelo macroscópico se deriva de la resolución del problema microscópico en un RVE suficientemente detallado. Esta metodología presentan una serie de ventajas:

- No requieren de ningún tipo de suposición constitutiva a nivel macroscópico.
- Permiten la incorporación de grandes deformaciones y rotaciones tanto a nivel microscópico como macroscópico.
- Habilitan la posibilidad de incorporar al análisis macroscópico información detallada de la microestructura y su evolución geométrica y física durante la deformación macroscópica.

- Permiten la utilización de diferentes técnicas de modelado para cada escala, pudiendo combinar, por ejemplo, un modelo de continuo a escala macroscópica con un modelo microscópico de componentes discretos.

Consistentemente con las consideraciones previas, se plantea la base general del modelo multiescala para mallas electrohiladas. El punto de partida es considerar el ensamble de nanofibras como una estructura con comportamiento mecánico regular, capaz de ser descrito en términos de los aspectos esenciales de su microestructura. El modelo consiste de dos escalas: la escala microscópica que provee una representación de la microestructura y la escala macroscópica que representa el material homogeneizado con las propiedades emergentes de la malla electrohilada como un todo. Conjuntamente se presentan los operadores de inserción y homogeneización que permiten el acoplamiento entre escalas. A continuación se implementa esta formulación en un RVE prototipo relativamente sencillo que sirve como ejemplo de aplicación de la teoría formulada y se valida mediante comparación con datos experimentales. También se estudia el efecto de las propiedades microestructurales más relevantes sobre la respuesta macroscópica observada. Finalmente se ajustan los parámetros microscópicos para el diseño virtual de una malla electrohilada biomimética de una arteria intracranial humana.

2.2. Descripción macroscópica

La malla electrohilada se modela a nivel macroscópico como un sólido continuo sujeto a grandes deformaciones. En esta sección se presenta la base cinemática de este modelo junto con las ecuaciones de equilibrio mecánico haciendo uso del Principio de Potencias Virtuales [124]. Además, se detalla la linealización de las ecuaciones de equilibrio mediante el método de Newton-Rapshon, necesaria para su implementación en algoritmos computacionales.

2.2.1. Cinemática

Configuración material y espacial

Se tiene un cuerpo β ocupando inicialmente la región Ω_m del espacio. En esta configuración, llamada configuración material o configuración de referencia, el cuerpo se encuentra libre de sollicitaciones externas y se asume también como libre de esfuerzos internos.

Luego, bajo una dada deformación, el cuerpo pasa a ocupar en un tiempo t la región Ω , y se dice que se encuentra en su configuración espacial. Esta deformación está caracterizada por el mapeo continuo φ que relaciona la posición \mathbf{X} de las partículas materiales en la configuración de referencia, con la posición \mathbf{x} que ocupan en la configuración espacial (figura 2.3):

$$\begin{aligned} \varphi : \Omega_m &\rightarrow \Omega \\ \mathbf{X} &\mapsto \mathbf{x} = \varphi(\mathbf{X}) \end{aligned} \quad (2.1)$$

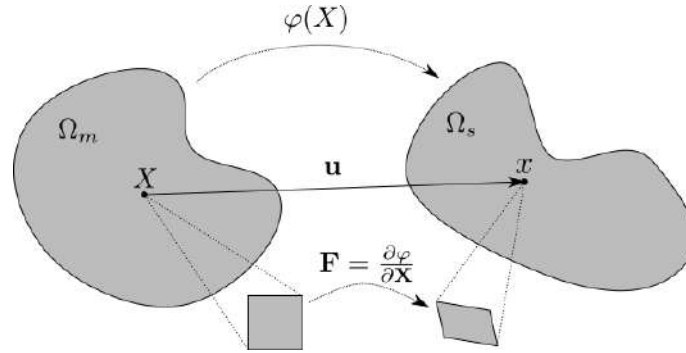


Figura 2.3: Cinemática del continuo aplicada a la escala macroscópica: el mapeo φ define la deformación del cuerpo de la configuración inicial Ω_m a la configuración Ω , y su gradiente \mathbf{F} caracteriza la transformación del elemento diferencial material. Queda definido también el campo de desplazamientos \mathbf{U} como la diferencia entre las posiciones espaciales \mathbf{x} y materiales \mathbf{X} de las partículas del cuerpo.

Luego, se define el campo vectorial de desplazamientos \mathbf{U} como la diferencia entre la posición espacial y material para cada partícula. Por lo tanto, se puede caracterizar la deformación de Ω_m a Ω y su inversa mediante las expresiones:

$$\mathbf{U}(\mathbf{X}) = \varphi(\mathbf{X}) - \mathbf{X} \quad (2.2)$$

$$\mathbf{x} = \varphi(\mathbf{X}) = \mathbf{X} + \mathbf{U}(\mathbf{X}) \quad (2.3)$$

$$\mathbf{X} = \varphi^{-1}(\mathbf{x}) = \mathbf{x} - \mathbf{u}(\mathbf{x}) \quad (2.4)$$

donde φ^{-1} indica el mapeo inverso que relaciona la posición material de las partículas a partir de su posición espacial y $\mathbf{u}(\mathbf{x})$ es el mismo campo de desplazamientos $\mathbf{U}(\mathbf{X})$ pero expresado en función de las posiciones espaciales como variables independientes: $\mathbf{u}(\mathbf{x}) = \mathbf{U}(\mathbf{X} = \varphi^{-1}(\mathbf{x}))$.

Es válido notar que ambos dominios, Ω_m y Ω , coinciden para el instante inicial cuando

el campo de desplazamientos es nulo.

Tensor gradiente de deformaciones

El gradiente del mapeo φ se conoce como tensor gradiente de deformaciones (\mathbf{F}), y puede expresarse como:

$$\mathbf{F}(\mathbf{X}) = \nabla\varphi = \frac{\partial\mathbf{x}}{\partial\mathbf{X}} \quad (2.5)$$

$$\mathbf{F}(\mathbf{U}) = \mathbf{I} + \nabla\mathbf{U} \quad (2.6)$$

donde ∇ denota el operador gradiente respecto de las coordenadas materiales \mathbf{X} .

Es pertinente notar que el tensor gradiente de deformación \mathbf{F} es el que caracteriza la transformación de un segmento diferencial material $d\mathbf{X}$ en el segmento espacial $d\mathbf{x}$, mientras que su determinante $|\mathbf{F}|$ es una medida de la dilatación o contracción del elemento de volumen diferencial material $d\Omega_m$ al transformarse en su contraparte espacial $d\Omega$:

$$d\mathbf{x} = \mathbf{F}d\mathbf{X} \quad (2.7)$$

$$d\Omega = |\mathbf{F}| d\Omega_m \quad (2.8)$$

Resulta evidente que el mapeo φ debe cumplir con la condición $|\mathbf{F}| > 0$ para evitar la posibilidad de la desaparición de un volumen material. Además, para materiales incompresibles surge la restricción:

$$|\mathbf{F}| = 1 \quad (2.9)$$

que resulta una condición cinemática razonable en el modelado de tejidos biológicos [125].

2.2.2. Equilibrio Mecánico

Se designa mediante $\partial\Omega$ al contorno del cuerpo en su configuración espacial Ω . A su vez, se divide este contorno en $\partial\Omega^D$ y $\partial\Omega^N$, denotando respectivamente al borde de

Dirichlet y al borde de Neumann, de forma que $\partial\Omega = \partial\Omega^D \cup \partial\Omega^N$, cumpliéndose también que $\partial\Omega^D \cap \partial\Omega^N = \emptyset^1$. En $\partial\Omega^D$ se prescriben los valores de los desplazamientos $\bar{\mathbf{u}}$, mientras que en $\partial\Omega^N$ se prescribe el valor de la tracción $\bar{\mathbf{t}}^N$ (figura 2.4).

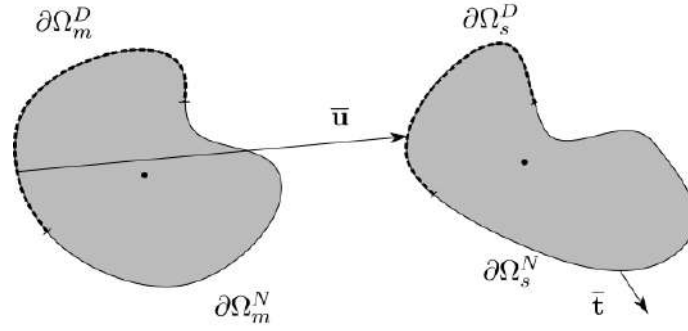


Figura 2.4: Equilibrio del cuerpo continuo de la escala macroscópica: el borde $\partial\Omega$ se subdivide en sus partes de Dirichlet $\partial\Omega^D$ y Neumann $\partial\Omega^N$. En el borde de Dirichlet se prescribe el campo de desplazamientos $\bar{\mathbf{u}}$ y en el borde de Neumann se prescriben las tracciones $\bar{\mathbf{t}}^N$.

Luego, se plantea el equilibrio mecánico en términos del Principio de Potencias Virtuales (PPV), que a su vez se enmarca en el campo de la mecánica variacional [126–128]. En este contexto resulta fundamental definir los conjuntos de desplazamientos cinemáticamente admisibles: el campo de desplazamientos espacial \mathbf{u} que caracteriza la deformación del cuerpo, pertenece a un espacio funcional \mathcal{U}_s , con funciones suficientemente regulares para que las operaciones matemáticas estén correctamente definidas. Generalmente se tiene que $\mathcal{U}_s = \mathbf{H}^1(\Omega)$, es decir, el espacio de funciones con gradientes de cuadrado integrable en Ω .

Se define, además, a $\text{Kin}_s^{\mathcal{U}} \in \mathcal{U}_s$ como el conjunto de desplazamientos cinemáticamente admisibles, siendo los desplazamientos que satisfacen las restricciones cinemáticas sobre la frontera de Dirichlet:

$$\text{Kin}_s^{\mathcal{U}} = \{\mathbf{w} \in \mathcal{U}_s; \mathbf{w}|_{\partial\Omega^D} = \bar{\mathbf{w}}\} \quad (2.10)$$

Este espacio puede considerarse como la traslación de otro subespacio $\text{Var}_s^{\mathcal{U}}$, llamado espacio de desplazamientos variacionalmente admisibles, cuyos elementos son nulos en

¹ \emptyset denota a un conjunto de medida nula.

la frontera de Dirichlet:

$$\text{Var}_s^{\mathcal{U}} = \{\mathbf{w} \in \mathcal{U}_s; \mathbf{w}|_{\partial\Omega^D} = \mathbf{0}\} \quad (2.11)$$

Una vez correctamente definidos estos conjuntos, según el PPV, el problema de equilibrio mecánico queda planteado en la configuración espacial como:

$$\int_{\Omega} \boldsymbol{\sigma} \cdot \text{grad}^S \hat{\mathbf{u}} \, d\Omega = \int_{\Omega} \mathbf{g} \cdot \hat{\mathbf{u}} \, d\Omega + \int_{\partial\Omega^N} \mathbf{t}^N \cdot \hat{\mathbf{u}} \, d\partial\Omega^N \quad \forall \hat{\mathbf{u}} \in \text{Var}_s^{\mathcal{U}} \quad (2.12)$$

donde $\boldsymbol{\sigma}$ es el tensor de tensiones de Cauchy, $\hat{\mathbf{u}}$ una acción de movimiento variacionalmente admisible (también llamada velocidad virtual), $\text{grad}^S \hat{\mathbf{u}}$ el gradiente simétrico de $\hat{\mathbf{u}}$ con respecto a las coordenadas espaciales, \mathbf{t}^N la tracción impuesta en la frontera de Neumann y \mathbf{g} las fuerzas externas de volumen.

Cabe notar que la condición de incompresibilidad ($|\mathbf{F}| = 1$) no ha sido impuesta ya que se va a tratar con materiales altamente porosos en los que la variación a nivel microscópico del tamaño de los poros resultará en una contracción o dilatación volumétrica a nivel macroscópico. Además no se han tenido en cuenta efectos inerciales. Su incorporación al problema podría efectuarse con relativa facilidad en caso de ser necesario, aunque esto iría en perjuicio de la claridad en el desarrollo subsiguiente.

En el apéndice A se da una descripción completa del PPV, incluyendo su linealización para la implementación en esquemas de Newton-Raphson.

2.3. Descripción Microscópica

2.3.1. RVE

A nivel microscópico se considera a la malla como un ensamble de nanofibras individuales, pudiendo encontrar en la literatura diversas representaciones de la microestructura electrohilada en base a unas pocas fibras [94, 97, 129]. Siguiendo a Silberstein et. al. [94], se asume aquí una idealización de la microestructura compuesta por capas superpuestas de nanofibras conformadas en redes triangulares de diferente orientación. Luego, se adopta como RVE una celda compuesta por dos triángulos superpuestos, dando cuenta de la naturaleza de capas propia de las matrices electrohiladas (figura 2.5). El modelo original

de Silberstein et. al. asume que cada miembro del RVE (lado de triángulo) se corresponde con una fibra, teniendo la desventaja de contar con un número reducido de fibras. Para compensar esta limitación, se propone en esta tesis modificar la formulación de Silberstein et a. considerando que el RVE está formado por triángulos cuyos lados representan haces o fascículos de fibras y no fibras individuales. Así, cada lado se considera como un haz de fibras con orientación compartida pero con diferente grado de enrollamiento.

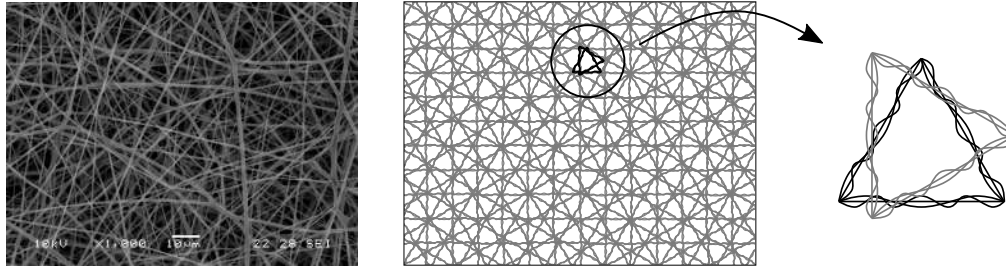


Figura 2.5: Imagen SEM de la microestructura de una malla electrohilada de PLLA (izquierda). La microescala se modela como un arreglo idealizado de dos capas de redes triangulares (centro). El RVE se compone de dos celdas triangulares superpuestas con un desfase de orientación de 30° .

2.3.2. Cinemática

Una de las principales ventajas del RVE propuesto es que se determina la deformación directamente a partir del tensor gradiente de deformaciones macroscópico \mathbf{F} . En reposo, la orientación de cada miembro i está dada por un versor \mathbf{a}_i^0 . El vector deformado $\mathbf{a}_i = \mathbf{F}\mathbf{a}_i^0$ da cuenta tanto de la orientación del miembro deformado así como de su elongación (figura 2.6), definida como la relación entre la longitud deformada del segmento y su longitud inicial: $\lambda_i = l_i/l_i^0$, o equivalentemente:

$$\lambda_i = \sqrt{\mathbf{a}_i \cdot \mathbf{a}_i} \quad (2.13)$$

2.3.3. Ecuaciones Constitutivas

Fibra individual

Las nanofibras son elementos de gran esbeltez que presentan una alta rigidez a la tracción pero al querer comprimirlas se enrollan con facilidad debido a su baja resistencia a

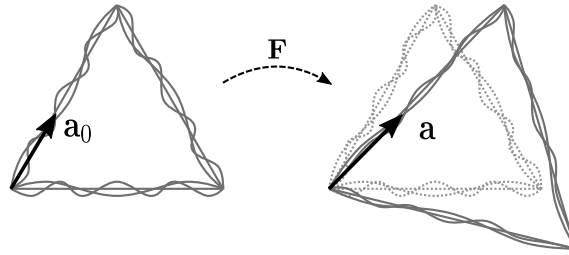


Figura 2.6: Deformación del RVE prototipo compuesto de dos celdas triangulares superpuestas. Aquí se muestra una sola celda triangular bajo deformación afín en la frontera: la deformación de cada haz queda determinada directamente por el tensor macroscópico \mathbf{F} de forma que el versor de orientación inicial \mathbf{a}^0 de cada haz transforma en el vector deformado $\mathbf{a} = \mathbf{F}\mathbf{a}^0$.

la flexión [130]. Por lo tanto, su comportamiento elástico puede representarse adecuadamente por medio de una ley bilineal en tensión-deformación caracterizada por un módulo de rigidez fuerte (E_t) y uno débil (E_b) como se muestra en la figura 2.7. E_t representa la resistencia de la fibra recta y tensa a la tracción, mientras que E_b representa la débil resistencia de la fibra enrollada [131].

Además, las fibras en su estado inicial no se hallan necesariamente rectas, sino que pueden presentar diferentes niveles de enrollamiento. Luego, a medida que se la estira (es decir, que sus extremos se alejan entre sí) se va desenrollando hasta que, en un determinado valor de elongación, la fibra deviene recta. Debido a que en ese instante la nanofibra incrementa considerablemente su capacidad de tomar carga, se dirá que es reclutada. Se define como elongación de reclutamiento (λ^r) al valor de elongación para el cual esto ocurre. También, en ocasiones, se referirá a λ^r como el nivel o grado de enrollamiento inicial que presenta una fibra, entendiendo que mayores valores de λ^r se corresponden de forma biunívoca con mayores enrollamientos iniciales.

Luego, se puede expresar la tensión ingenieril (t) de la fibra de la siguiente manera:

$$t(\lambda) = \begin{cases} E_b (\lambda - 1) & \text{if } \lambda < \lambda^r \\ E_b (\lambda^r - 1) + E_t \left(\frac{\lambda}{\lambda^r} - 1 \right) & \text{if } \lambda \geq \lambda^r \end{cases} \quad (2.14)$$

Es válido aclarar que la ecuación constitutiva para una nanofibra se define en términos de la tensión ingenieril, es decir, carga soportada por unidad de área de la sección de referencia. De esta forma se tiene la ventaja de poder correlacionar directamente la curva tensión-deformación con datos de mediciones experimentales.

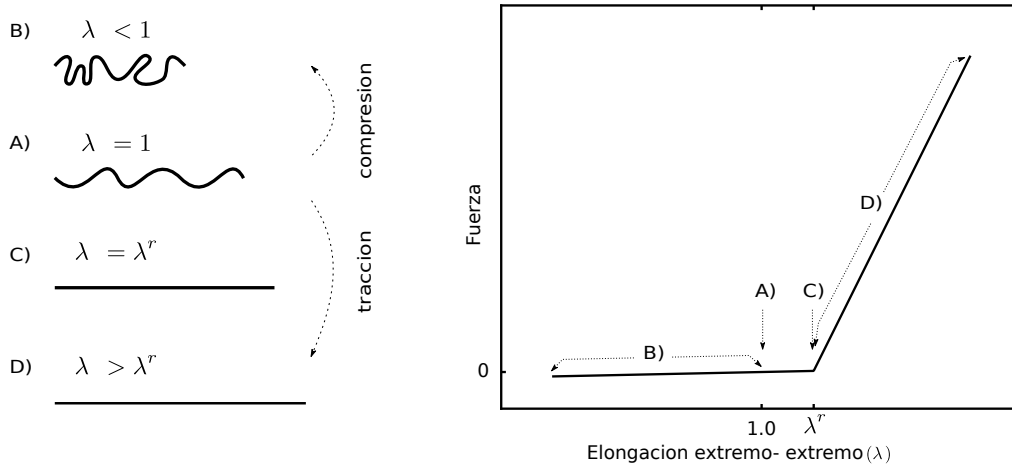


Figura 2.7: Respuesta mecánica bilineal individual de una fibra. La nanofibra se deposita enrollada en su estado de reposo (A). Si se la comprime (acercando sus extremos) o estira (alejando sus extremos) sin llegar a rectificarla, ejerce una leve resistencia flexural. Si se la estira hasta devenir recta (C), su rigidez a la tracción se incrementa considerablemente.

Haz de fibras

La matriz electrohilada se compone de fibras individuales que se depositan con orientaciones, en general, aleatorias y con distintos niveles de enrollamiento. De acuerdo con la cinemática adoptada, todas las fibras que comparten una orientación, están sometidas a igual deformación. Por lo tanto, englobar a todas las fibras que tienen una misma orientación en un solo objeto permite simplificar el análisis y las expresiones que se obtienen. Para ello, se introduce el concepto de haz de fibras como un cierto número de fibras con orientación compartida y que en lugar de encontrarse rectas en su estado inicial, presentan una variabilidad estadística en sus niveles de enrollamiento.

Como se detalló previamente, las fibras enrolladas poseen una rigidez a la elongación mucho menor que las que se hayan rectas. Es por eso que a medida que el haz es sometido a tracción, el subconjunto de fibras de la matriz que se encuentran rectas soporta la mayor parte de la carga, en cuanto que el aporte a la resistencia de las fibras enrolladas es prácticamente despreciable. Mientras se incrementa la carga, las nanofibras enrolladas van progresivamente deviniendo rectas, aumentando en gran medida su resistencia a incrementos de elongación. Este proceso de reclutamiento progresivo de fibras provoca que el módulo de rigidez del haz dependa no solamente de la rigidez de las fibras individuales, sino también de la distribución estadística de enrollamientos de las fibras que componen al haz. Para ejemplificar esto, la figura 2.8 muestra un haz esquemático compuesto por tres fibras con tres elongaciones de reclutamiento diferentes. Bajo una determinada elon-

gación (dada por el alejamiento de los extremos), la fibra f_1 se mantiene enrollada y su resistencia a la tracción es despreciable, la fibra f_2 está deviniendo recta en su elongación de reclutamiento y la fibra f_3 se encuentra recta y tensa, por encima de su elongación de reclutamiento, por lo que ejerce una tensión mucho mayor que f_1 y f_2 .

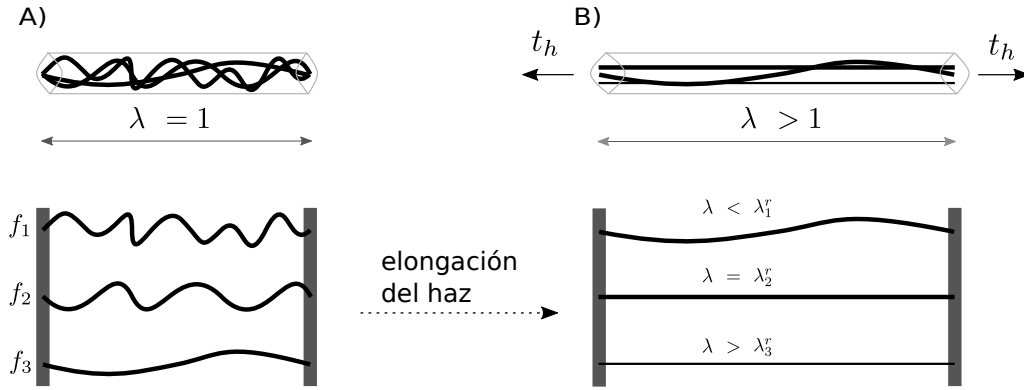


Figura 2.8: Esquema de un haz sencillo compuesto de tres fibras con diferentes valores de reclutamiento. En la parte superior, las nanofibras que componen el haz se encuentran encerradas por un cilindro imaginario. En la configuración de reposo (A) las nanofibras (f_1 , f_2 y f_3) se encuentran enrolladas según su estado de deposición con distintos valores de reclutamiento ($\lambda^r_1 > \lambda^r_2 > \lambda^r_3$). En la configuración deformada (B) la fibra f_1 se mantiene enrollada, la fibra f_2 se encuentra en su elongación de reclutamiento y la fibra f_3 se encuentra recta y estirada. Bajo esta configuración, la resistencia de las fibras f_1 y f_2 es marginal respecto de la fibra f_3 .

Si se asume un gran número de fibras por cada haz, es posible realizar un enfoque estadístico para incorporar la dispersión en las elongaciones de reclutamiento de las fibras al análisis bajo la forma de una función densidad de probabilidad de reclutamiento $p^r(\lambda)$. En tal caso, puede considerarse que la cantidad de fibras poseen niveles de enrollamiento entre λ^r y $\lambda^r + d\lambda^r$ viene dada por $p^r(\lambda)d\lambda$. Para implementar esta distribución en el RVE propuesto, se asume una distribución de enrollamientos normal truncada, dada por:

$$p^r(\lambda^r) = \begin{cases} 0 & \text{if } \lambda^r < \lambda^r_{min} \\ \left(\frac{1}{C}\right) e^{\left[-\frac{(\lambda^r - \mu^r)^2}{2(\sigma^r)^2}\right]} & \text{if } \lambda^r_{min} \leq \lambda^r \leq \lambda^r_{max} \\ 0 & \text{if } \lambda^r > \lambda^r_{max} \end{cases} \quad (2.15)$$

donde μ^r es el valor medio de la distribución, σ^r es el valor de desviación estándar, λ^r_{min} y λ^r_{max} son los valores mínimo y máximo de reclutamiento de las fibras en el haz, y C es una constante que toma el valor necesario para asegurar la condición de normalización

2.16:

$$\int_{\lambda^r_{min}}^{\lambda^r_{max}} p^r(\lambda^r) d\lambda^r = 1 \quad (2.16)$$

Consecuentemente, la tensión desarrollada por el haz bajo una determinada deformación está dada por el promedio de las tensiones de las fibras que lo componen bajo esa misma deformación:

$$t_h(\lambda) = \int_{\lambda^r_{min}}^{\lambda^r_{max}} t(\lambda, \lambda^r) p^r(\lambda^r) d\lambda^r \quad (2.17)$$

donde se ha explicitado la dependencia de la tensión de las fibras de sus correspondientes elongaciones de reclutamiento.

A causa de la dispersión en los enrulamientos de las nanofibras, la cantidad de fibras reclutadas para cada valor de deformación varía de forma gradual como se muestra en la figura 2.9a. En su configuración inicial, el haz posee ninguna o pocas fibras que se encuentran efectivamente rectas, y ninguna está aún soportando carga ya que se trata del estado de reposo. En cuanto el haz se somete a tracción, las fibras comienzan a desenrullarse, por lo cual progresivamente van deviniendo rectas e incrementan sustancialmente su aporte a la resistencia frente a la carga externa. A este fenómeno gradual se lo denominará reclutamiento progresivo, y se evidencia en la respuesta en tensión-elongación del haz por una curva en forma de “J”, donde el módulo tangente efectivo se incrementa continuamente desde ≈ 0 hasta un valor final constante cuando todas las fibras están reclutadas (2.9b).

Para mayor abundancia, es posible identificar tres regiones bien diferenciadas en la respuesta mecánica del haz: i) una región inicial floja que corresponde a una configuración en la que muy pocas o todas las fibras se hallan enruladas ($\lambda < \mu^r - \sigma^r$), ii) una región de transición donde se produce el reclutamiento progresivo de las fibras a medida que se incrementa la deformación del haz ($\mu^r - \sigma^r < \lambda < \mu^r + \sigma^r$) y iii) una región final de respuesta lineal o cuasilineal donde todas o prácticamente todas las fibras se encuentran reclutadas ($\lambda > \mu^r + \sigma^r$). Queda en evidencia que el rango de elongación en el cual ocurre la transición, es decir la severidad con que se incrementa el módulo tangente del haz, está determinado en mayor medida por la dispersión de la distribución normal truncada (σ^r). En todos los casos, sin embargo, la aplicación de una distribución continua de enrulamientos resulta en curvas de tensión-deformación suaves a pesar de haber adop-

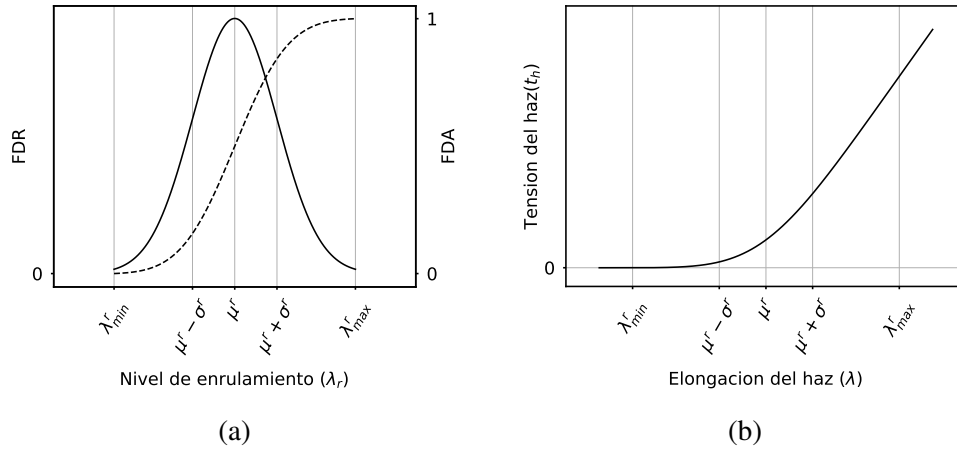


Figura 2.9: a) Distribución de reclutamiento normal truncada esquemática, incluyendo la función densidad de reclutamiento $p^r(\lambda^r)$ (línea sólida, indicada como FDR) y la función de distribución acumulada (línea punteada, indicada como FDA) del haz. b) Curva de tensión-elongación correspondiente, donde se evidencia el reclutamiento progresivo en la forma “J”.

tado, para las fibras individuales, una ley constitutiva bilineal de derivada discontinua en $\lambda = \lambda^r$.

2.3.4. Homogeneización

Dado que el dominio del RVE se corresponde con una partícula material macroscópica, se asume como ley de homogeneización que en cada punto macroscópico el tensor de tensiones de Cauchy (σ) equivale al promedio en volumen de su contraparte microscópica (σ_μ) sobre el volumen deformado del RVE (V_μ) [103].

$$\sigma = \frac{1}{V_\mu} \int_{V_\mu} \sigma_\mu dV_\mu \quad (2.18)$$

Sin embargo, para un RVE discreto con espacios vacíos carentes de partículas materiales tanto la deformación como el tensor de tensiones no están definidos. En este caso conviene expresar el promedio sobre el volumen microscópico efectivamente ocupado por material. Particularmente para el caso de una microestructura fibrosa, esto resulta en una

sumatoria sobre los volúmenes de las nanofibras, obteniendo:

$$\boldsymbol{\sigma} = \frac{1}{V_\mu} \sum_{i=1}^{N_f} \int_{V_i} \boldsymbol{\sigma}_\mu dV_i \quad (2.19)$$

donde N_f es el número de fibras en el RVE y V_i es el volumen ocupado por cada nanofibra i .

Luego, resulta necesario establecer una expresión para el tensor de tensiones dentro de cada fibra i , en función de la tensión ingenieril desarrollada por la fibra (t_i), de su elongación extremo-extremo (λ_i) y de su vector orientación (\mathbf{a}_i):

$$\boldsymbol{\sigma}_\mu|_{V_i} = \frac{t_i}{\lambda_i} (\mathbf{a}_i \otimes \mathbf{a}_i) \quad (2.20)$$

Cabe resaltar que esta expresión implica una tensión constante en la fibra, lo cual tiene sentido para fibras reclutadas (rectas). Para fibras enruladas se mantiene esta expresión a modo de aproximación, considerando despreciable el error que se introduce dado que el aporte de estas fibras a la tensión macroscópica es marginal.

Resulta de interés explicitar como variable, por su importancia experimental, a la fracción de volumen material de la malla (η), definida como la fracción del volumen del RVE (V_μ) que se halla ocupado por las nanofibras.

$$\eta = \frac{V_f}{V_\mu} \quad (2.21)$$

donde $V_f = \sum_{i=1}^{N_f} V_i$ es el volumen del RVE ocupado por las nanofibras.

Además, dada la condición de deformación afín en la frontera, es posible expresar el volumen deformado del RVE en función del tensor gradiente de deformaciones macroscópico y del volumen inicial del RVE (V_μ^0):

$$V_\mu = |\mathbf{F}| V_\mu^0 \quad (2.22)$$

Incorporando las expresiones 2.20, 2.21 y 2.22 en 2.19, la fórmula de homogeneiza-

ción adopta la forma:

$$\boldsymbol{\sigma} = \frac{\eta}{|\mathbf{F}| V_f} \sum_{i=1}^{N_f} \frac{t_i}{\lambda_i} (\mathbf{a}_i \otimes \mathbf{a}_i) V_i \quad (2.23)$$

La ecuación 2.23 admite la posibilidad de mallas con estructuras aleatorias bajo modos de deformación diferentes para cada fibra. Sin embargo, es posible incorporar la deformación del RVE propuesta donde $\mathbf{a}_i = \mathbf{F} \mathbf{a}_i^0$, pudiendo reescribir la fórmula de homogeneización en función de las orientaciones iniciales de las fibras:

$$\boldsymbol{\sigma} = \frac{\eta}{|\mathbf{F}| V_f} \mathbf{F} \left[\sum_{i=1}^{N_f} \frac{t_i}{\lambda_i} (\mathbf{a}_i^0 \otimes \mathbf{a}_i^0) V_i \right] \mathbf{F}^T \quad (2.24)$$

A continuación, para hacer surgir naturalmente el concepto de haz de fibras, se reordena la sumatoria agrupando en una segunda sumatoria a todas las fibras que comparten una misma orientación:

$$\boldsymbol{\sigma} = \frac{\eta}{|\mathbf{F}| V_f} \mathbf{F} \left\{ \sum_{j=1}^{N_h} \left[\sum_{k=1}^{N_f^j} \frac{t_{jk}}{\lambda_j} (\mathbf{a}_j^0 \otimes \mathbf{a}_j^0) V_{jk} \right] \right\} \mathbf{F}^T \quad (2.25)$$

donde N_h es el número de haces que componen al RVE (en el caso propuesto $N_h = 6$), N_f^j es el número de fibras que componen el haz j y el sobreíndice jk indica a la fibra k del haz j .

Al igual que para la distribución de enrulamiento, también es posible, mediante un enfoque estadístico, llevar en consideración una distribución uniforme sobre los volúmenes de las fibras que componen cada haz. De modo que el volumen ocupado por las fibras puede expresarse según:

$$V_f = \sum_{j=1}^{N_h} \sum_{k=1}^{N_f^j} V_{jk} \quad (2.26)$$

Luego, si todas las fibras poseen idéntico diámetro y, por lo tanto, misma sección

transversal A_f :

$$V_f = \sum_{j=1}^{N_h} \int_{\lambda^{r_{min}}}^{\lambda^{r_{max}}} A_f \lambda^r l^0 p^r(\lambda^r) d\lambda^r \quad (2.27)$$

Además, se asume que todos los haces presentes en el RVE se componen de igual manera, es decir, que todos tienen la misma función distribución de probabilidad $p^r(\lambda^r)$. Luego, es posible llegar a una expresión relativamente sencilla para el volumen ocupado por las fibras cuando éstas se agrupan en haces:

$$V_f = N_h A_f l^0 \mu^r \quad (2.28)$$

Aplicando esta simplificación a la ecuación 2.25, la fórmula de homogeneización puede reexpresarse la tensión macroscópica en función de la deformación macroscópica y de los parámetros geométricos y constitutivos microscópicos:

$$\boldsymbol{\sigma}(\mathbf{F}) = \frac{\eta}{|\mathbf{F}| N_h \mu^r} \mathbf{F} \left[\sum_{j=1}^{N_h} \int_{\lambda^{r_{min}}}^{\lambda^{r_{max}}} \frac{t(\lambda, \lambda^r)}{\lambda_j} (\mathbf{a}^0_j \otimes \mathbf{a}^0_j) p^r(\lambda^r) d\lambda^r \right] \mathbf{F}^T \quad (2.29)$$

Finalmente, se condensa la expresión anterior haciendo surgir la tensión del haz (ecuación 2.17):

$$\boldsymbol{\sigma}(\mathbf{F}) = \frac{\eta}{|\mathbf{F}| N_h \mu^r} \mathbf{F} \left[\sum_{j=1}^{N_h} \frac{t_h^j(\lambda)}{\lambda_j} (\mathbf{a}^0_j \otimes \mathbf{a}^0_j) \right] \mathbf{F}^T \quad (2.30)$$

Cabe resaltar que aunque se aplicó la noción de un haz compuesto por un gran número de fibras, es posible mantener esta última expresión para haces con número reducidos de fibras. En estos casos la tensión de haz debe calcularse como el promedio de las tensiones de las fibras ponderado con las secciones transversales, en lugar de aplicar la ecuación 2.17, utilizada bajo la aproximación de infinitas fibras.

La fórmula de homogeneización 2.30 tiene la ventaja adicional de poder transformarse fácilmente para ser utilizada tanto con el primer tensor de tensiones de Piola-Kirchhoff (\mathbf{P}) como con el segundo (\mathbf{S}), según las clásicas definiciones $\boldsymbol{\sigma} = \frac{1}{|\mathbf{F}|} \mathbf{P} \mathbf{F}^T$ y $\mathbf{P} = \mathbf{F} \mathbf{S}$:

$$\mathbf{P} = \frac{\eta}{N_h \lambda^r} \mathbf{F} \left[\sum_{j=1}^{N_h} \frac{t_h^j}{\lambda^j} (\mathbf{a}^0_j \otimes \mathbf{a}^0_j) \right] \quad (2.31)$$

$$\mathbf{S} = \frac{\eta}{N_h \lambda^r} \left[\sum_{j=1}^{N_h} \frac{t_h^j}{\lambda^j} (\mathbf{a}^0_j \otimes \mathbf{a}^0_j) \right] \quad (2.32)$$

2.4. Materiales y Métodos

Para validar el modelo propuesto se realizó una comparación con datos experimentales de ensayos de inflado donde un injerto vascular es sometido a presión interior monótonamente creciente a medida que se registra el cambio en diámetro. Los datos experimentales se tomaron de un trabajo externo reportado por Suarez Bagnasco et. al. [132]. A continuación se realiza una breve descripción de los materiales y métodos allí reportados.

2.4.1. Materiales

Los injertos ensayados son tubuladuras de ácido poli-L-láctico (PLLA)² de pequeño diámetro producidos mediante la técnica de electrohilado por Montini Ballarin et. al. [133]. Los parámetros del proceso son: concentración de solución 10 %wt/V, caudal 0.5 mL/h, distancia aguja-colector 15 cm, diferencia de potencial aplicada 13 kV y velocidad de rotación de colector 1000 rpm. El equipo utilizado consiste de una fuente de alto voltaje³, una aguja de acero inoxidable de punta roma⁴, una bomba de infusión a jeringa⁵ y un colector cilíndrico rotativo de acero inoxidable de 5mm de diámetro. Para cada tubuladura, el proceso de electrohilado se llevó a cabo durante 2 h, cambiando la posición de la boquilla cada 15 min para lograr un espesor uniforme según el largo del injerto. Las tubuladuras obtenidas son de 8 a 11 cm de largo y espesores alrededor de 0.04 mm. Dado el reducido espesor respecto del diámetro del colector, el largo de los especímenes no es una variable de influencia en el estado tensional de las muestras durante los ensayos de inflado. Adicionalmente, se llevaron a cabo micrografías SEM de las paredes interior y exterior de los injertos (figura 2.10) y se midió el diámetro medio de las fibras en ambas superficies, reportando 0.48 μm ($\pm 0.14 \mu\text{m}$) y 0.36 μm ($\pm 0.07 \mu\text{m}$) respectivamente. Es-

²PLA2002D, $M_n = 78.02 \text{ kg/mol}$, Natureworks MN, USA

³Gamma High Voltage Research Inc., Ormond Beach, Florida, USA

⁴18 gauge, Aldrich®

⁵Activa® A22 ADOX, Ituzaingó, Argentina

tos valores, si bien presentan una variación, son cercanos entre sí y se puede observar en las micrografías SEM microestructuras similares.

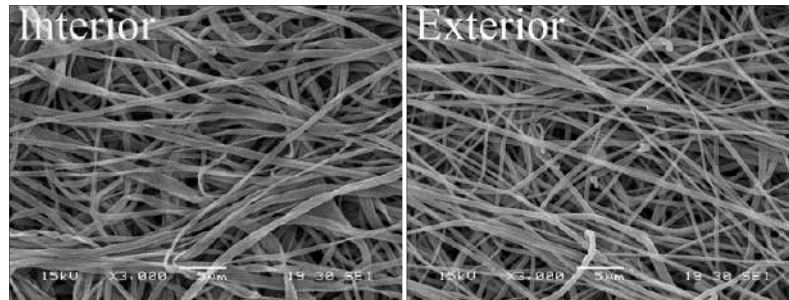


Figura 2.10: Imágenes SEM de las microestructuras nanofibras de las paredes interior y exterior de un injerto tubular de PLLA electrohilado.

2.4.2. Ensayos de inflado

Los datos experimentales de los ensayos de inflado se toman de lo reportado por Suarez Bagnasco y colaboradores [132]. Los ensayos mecánicos se llevaron a cabo en un banco de prueba de simulación hemodinámica diseñado para medir presiones y diámetros instantáneos en vasos sanguíneos e injertos vasculares. El aparato consiste básicamente de una bomba programable especialmente diseñada para suministrar un caudal de líquido en un circuito hidráulico cerrado, y un reservorio de fluido (solución fisiológica) donde las muestras se conectan mientras permanecen inmersas en el líquido. El circuito hidráulico se compone de conducciones de silicona, constricciones variables, la muestra a ensayar y el reservorio de fluido. Se pueden llevar a cabo ensayos estáticos, de presión en aumento monótono o simulaciones con pulsos de frecuencia variable para realizar ensayos dinámicos que imiten el pulso cardíaco de pacientes normales o hipertensos [134]. La medición *in vitro* de presión interna se realiza mediante transductores de estado sólido de alta frecuencia⁶. La variación temporal del diámetro se consigue mediante la técnica de sonomicrometría con transductores (pequeños cristales de ultrasonido)⁷ fijados de forma diametralmente opuesta sobre las paredes del injerto. Para estos ensayos la presión intraluminal se incrementó gradualmente desde aproximadamente 50 mmHg hasta 150 mmHg (figura 2.11).

⁶Konigsberg Inc., PA, USA

⁷Triton Technology Inc., SD, USA

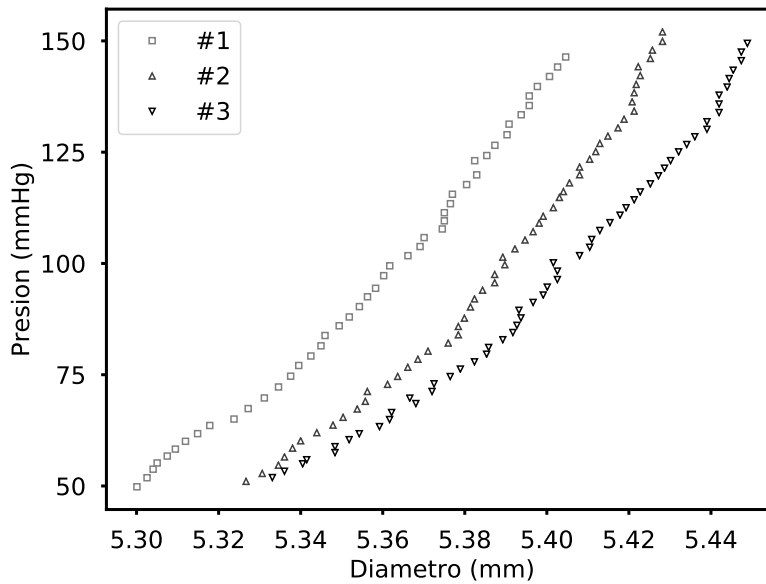


Figura 2.11: Curvas presión-diámetro experimentales para las tres muestras de injertos de PLLA electrohilado.

2.4.3. Simulaciones computacionales

Para simular computacionalmente los ensayos de inflado, se utiliza un modelo macroscópico de membrana tridimensional con geometría cilíndrica discretizado por elementos finitos (figura 2.12) [135]. Sobre los extremos se imponen condiciones de desplazamiento acorde a cómo se sujetan los injertos en el banco de pruebas [132]. A cada punto de integración se le asigna una instancia del RVE propuesto y previamente detallado, componiendo así el modelo multiescala. Si bien se reportó una leve diferencia entre la morfología de las paredes interior y exterior del andamio, se asumirá que la microestructura es uniforme según el espesor de la pared del injerto. La tabla 2.1 lista las dimensiones en reposo de las muestras ensayadas. El largo de los tubos se tomó en 8 cm para todos los casos, habiendo conducido pruebas a diferentes largos sin encontrar variaciones apreciables en la respuesta constitutiva. Esto tiene sentido dado que la elevada delgadez de la pared respecto del diámetro de los injertos conlleva una muy baja rigidez flexural de la misma.

2.5. Resultados y discusión

En esta sección se presentan los resultados de la aplicación de la teoría desarrollada bajo el RVE prototípico propuesto. En primera instancia se valida el modelo ajustando sus parámetros y realizando una comparación de la respuesta constitutiva del modelo

Tabla 2.1: Dimensiones de los injertos vasculares de PLLA electrohilado utilizados para validar el modelo.

Muestra de PLLA	Espesor de pared (mm)	Diámetro interno (mm)
#1	0.0410	4.9294
#2	0.0385	4.9271
#3	0.0375	4.9324

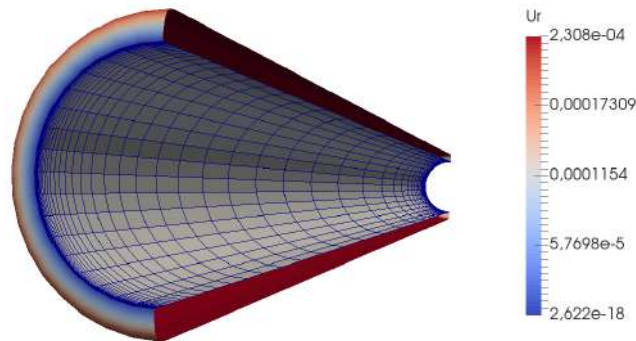


Figura 2.12: Modelo computacional de elementos finitos para simular los ensayos de inflado. La geometría inicial y la discretización se muestra en gris. La geometría deformada se muestra coloreada según la magnitud de los desplazamientos radiales (unidad: m).

con datos experimentales de ensayos de inflado de tubuladuras de PLLA electrohilado. Además, se realiza una serie de simulaciones para evaluar los efectos sobre la respuesta macroscópica que se obtiene mediante variaciones de los parámetros microestructurales, incluyendo tanto el módulo elástico de las fibras como los parámetros de la distribución de reclutamiento. Finalmente, los parámetros se vuelven a ajustar para obtener una respuesta de un posible andamio vascular capaz de imitar la respuesta mecánica de un tejido vascular objetivo, mostrando la capacidad del modelo constitutivo multiescala propuesto en este capítulo como herramienta de diseño de materiales biomiméticos dada su buena capacidad para predecir el comportamiento macroscópico a partir de parámetros microscópicos que podrían manipularse convenientemente durante la fabricación.

2.5.1. Comparación con datos experimentales

Los parámetros microscópicos del modelo constitutivo multiescala se ajustaron para reproducir las curvas experimentales de presión-diámetro reportadas para los injertos vasculares de PLLA electrohilado (figura 2.11). Estas curvas presentan una respuesta en

forma de “J” frente al aumento de la presión interna: la variación en diámetro del injerto frente al aumento de la presión es relativamente menor en el rango de presiones más bajas (≈ 50 mmHg) respecto del rango de presiones más altas (≈ 150 mmHg), con una transición gradual en el medio. El modelo constitutivo logra capturar apropiadamente esta característica para los tres conjuntos de datos, tal como se muestra en la figura 2.13. Los valores correspondientes a los parámetros que ajustan la respuesta de cada muestra están listados en la tabla 2.2. A medida que se incrementa la presión interna, las curvas de presión-diámetro capturadas en las simulaciones muestran la misma respuesta con forma de “J”, con la pendiente aumentando como resultado de un creciente número de fibras que van siendo reclutadas a medida que avanza la deformación. Este cambio en pendiente se reduce a medida que el número de fibras pendientes de reclutar es menor y finalmente se llega a una región prácticamente lineal al tener a todas las fibras rectas y reclutadas.

Mayores deformaciones podrían provocar fenómenos de rotura de nanofibras o de plasticidad, conllevando adicionales efectos no lineales. Estos escenarios no fueron contemplados en este primer RVE prototipo, donde el objetivo ha sido modelar el comportamiento elástico de un injerto vascular en el rango fisiológico de presiones. Es importante notar que un injerto que busque reemplazar tejido biológico mecánicamente no lineal, debe mostrar un comportamiento semejante no lineal sin incurrir en deformación plástica o rotura de fibras que conlleven a subsecuentes mecanismos de falla. Sin embargo, estos fenómenos son tenidos en cuenta en los capítulos siguientes con RVEs de mayor complejidad geométrica.

La mayoría de los modelos publicados, incluidos los recientes, no llevan en consideración la tortuosidad de las fibras o su dispersión estadística, por lo que no logran capturar el proceso de reclutamiento progresivo de las fibras durante la deformación [94, 96, 101, 136, 137]. Adicionalmente, la respuesta macroscópica no lineal suele reproducirse en los modelos multiescala mediante la adopción de leyes constitutivas hiperelásticas no lineales para las fibras en la microescala. Sin embargo, son numerosos los trabajos experimentales que reportan un comportamiento mecánico lineal para las nanofibras sometidas a deformaciones bajas como las fisiológicas [136, 138–143]. En el modelo aquí presentado, la adopción de una distribución estadística para la tortuosidad de las fibras permite reproducir exitosamente la respuesta constitutiva macroscópica no lineal, aún contemplando un material mecánicamente lineal para las nanofibras individuales.

Tabla 2.2: Parámetros del modelo ajustados para reproducir las curvas de presión-diámetro experimentales de las tres muestras de PLLA. El valor medio (VM) y la desviación estándar (DE) de cada parámetro también se encuentra listado.

	η	$E_t(\text{GPa})$	$E_b(\text{MPa})$	μ^r	σ^r	λ^r_{min}	λ^r_{max}
#1	0.3	2.9	5.186	1.1091	0.0313	1.00	1.40
#2	0.3	2.9	7.961	1.1079	0.0265	1.00	1.40
#3	0.3	2.9	9.625	1.1190	0.0328	1.00	1.40
VM	0.3	2.9	7.591	1.1120	0.0302	1.00	1.40
DE	0.0	0.0	1.831	0.0050	0.0027	0.00	0.00

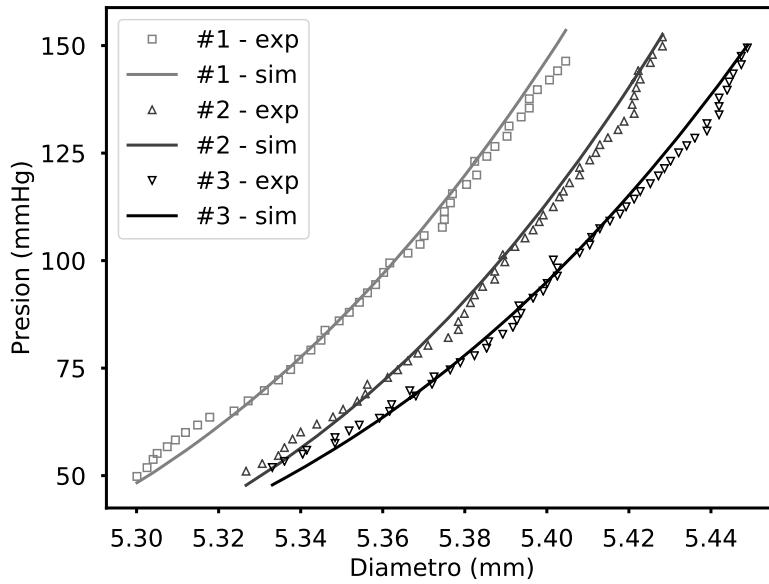


Figura 2.13: Curvas de presión-diámetro experimentales y simuladas para las tres muestras de injertos vasculares de PLLA. Los coeficientes R^2 del ajuste son 0,989 para el ensayo #1 y 0,990 para los ensayos #2 y #3.

2.5.2. Efecto de las propiedades microestructurales sobre la respuesta macroscópica

Las propiedades microscópicas son las que determinan la respuesta macroscópica del material. Dado que es posible acceder a algún grado de control sobre estas propiedades durante el proceso de electrohilado, resulta de interés estudiar el efecto macroscópico producido por variaciones de estos parámetros microestructurales. Para hacerlo, se toma como punto de partida los valores obtenidos para el ajuste con datos experimentales (tabla 2.2). Se seleccionaron los parámetros más significativos: la orientación del RVE para evaluar el nivel de anisotropía, el módulo elástico de las nanofibras como variable más importante relacionada con la rigidez del material y los parámetros de la distribución de reclutamiento para evaluar su función en la respuesta no lineal con forma “J”. Luego se llevó a cabo una serie de simulaciones considerando variaciones en estos parámetros y los resultados se compararon entre sí en términos de tensión circunferencial versus elongación circunferencial, cuya relevancia es fundamental en arterias, por ejemplo, si se quieren desarrollar matrices biomiméticas.

Orientación del RVE

Para evaluar la anisotropía del RVE se estudia la sensibilidad de la respuesta mecánica frente a cambios en la dirección de deformación uniaxial. Se realizan dos simulaciones con direcciones de deformación de 90° y 75° respecto de la horizontal (ver figura 2.5). Dada la geometría de dos celdas triangulares superpuestas (con simetría angular cada 30°), las dos direcciones de carga elegidas maximizan la variación en la respuesta del RVE. La comparación entre las dos simulaciones se muestra en la figura 2.14a, donde puede verse que ambas curvas están prácticamente solapadas, significando que los efectos de anisotropía son despreciables para este RVE prototipo. En consecuencia, este RVE es un buen candidato para simular mallas de orientación isotrópica de fibras, pero necesitaría modificaciones para poder simular correctamente mallas de fibras alineadas.

Módulo elástico de las nanofibras

El módulo tangente elástico macroscópico, medido sobre el final de la curva cuando todas las fibras se encuentran reclutadas, depende principalmente del módulo elástico a la tracción de las nanofibras. La figura 2.14b muestra cómo varía la curva en tensión-elongación circunferencial para el injerto acorde a variaciones de E_t . Un incremento en la

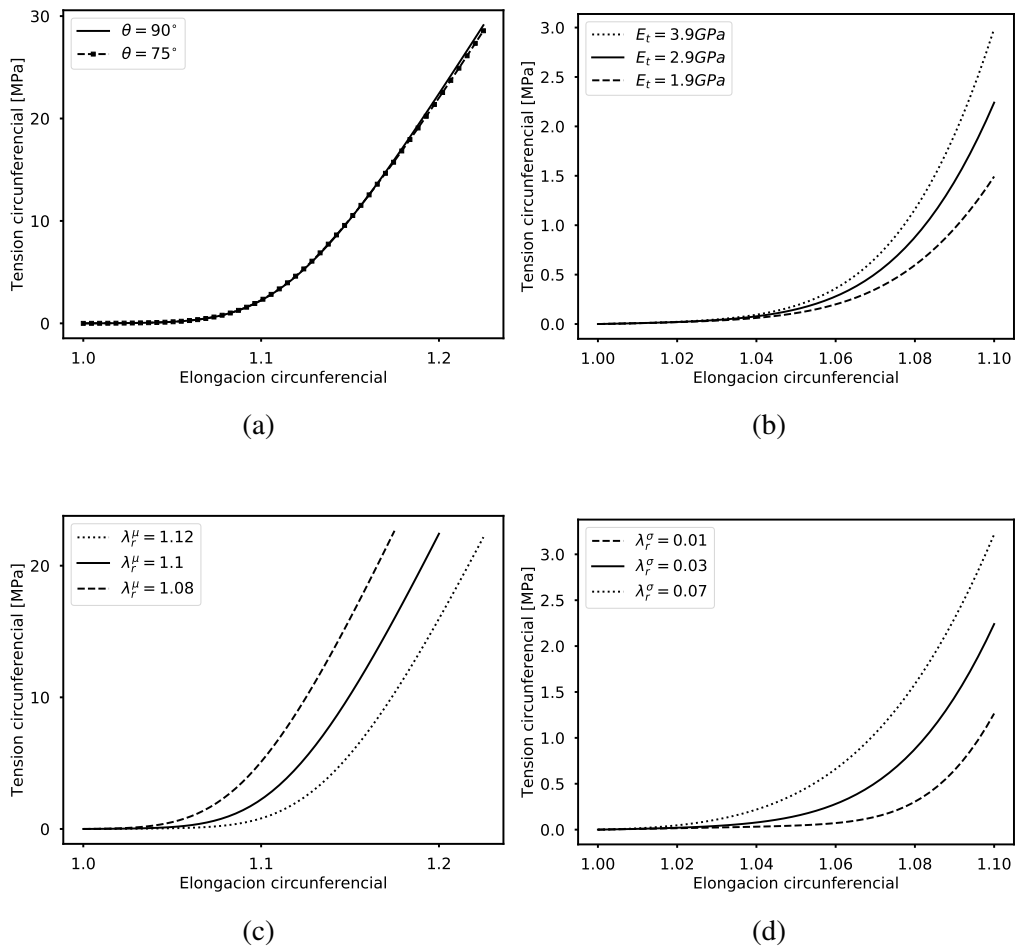


Figura 2.14: Efecto de los parámetros microscópicos sobre la respuesta mecánica macroscópica. Se muestran curvas simuladas de tensión-elongación circunferencial como resultado de variaciones de la dirección de deformación uniaxial (θ) (a), módulo elástico de las fibras a la tracción (b), valor medio de la distribución de reclutamiento (c) y valor de dispersión de la distribución de reclutamiento (d).

rigidez de las nanofibras resulta en un módulo tangente macroscópico mayor, sin modificar la forma “J” de la curva e incluso manteniendo inalterados los valores de elongación para los cuales comienza y termina el reclutamiento de las fibras y, por ende, la transición del módulo tangente desde el pequeño valor inicial hasta su valor final. En consecuencia, controlar la rigidez de las nanofibras (por ejemplo por medio de seleccionar diferentes polímeros base) permite modificar la compliancia del injerto electrohilado en su estado deformado. Este aspecto es esencial para el objetivo de alcanzar la biomímesis, aunque no resulta suficiente por cuenta propia, ya que la respuesta mecánica del material en reposo se mantiene inalterada.

Parámetros de la distribución de tortuosidades

La distribución de enrulamiento cuasi normal adoptada permite controlar dos parámetros: el valor medio μ^r y la dispersión σ^r . En primera instancia se realizó la variación del valor medio de reclutamiento con el objetivo de aumentar la tortuosidad de todas las nanofibras sin alterar su dispersión. Esto resultó en una traslación de la curva de tensión-elongación circunferencial, sin cambios en su forma (figura 2.14c). En otras palabras, valores más altos de μ^r conllevan valores más altos de elongación circunferencial macroscópica para los cuales las nanofibras devienen rectas y se reclutan. En segunda instancia, se varió el valor de dispersión, generando distribuciones de reclutamiento con mayor o menor número de nanofibras con valores de reclutamiento alejados del valor medio. En este caso, se observó que a mayores valores de σ^r se obtienen curvas de tensión-elongación macroscópicas con una transición de módulo elástico más suave y prolongada (figura 2.14d). En consecuencia, modificar la FDR, es decir generar microestructuras con diferentes distribuciones de enrulamiento de las nanofibras, conlleva un cambio en la transición de la respuesta mecánica debido al proceso de reclutamiento progresivo. Por lo tanto, en el diseño de materiales biomiméticos, la posibilidad de controlar la FDR puede ser un factor crucial, ya que su efecto resulta complementario al de seleccionar diferentes polímeros base para controlar la rigidez de las fibras.

2.5.3. Determinación de parámetros de un injerto vascular

Como se discutió previamente, una gran ventaja del modelado multiescala es la posibilidad de vincular propiedades microscópicas con la respuesta mecánica macroscópica, y por ende brindar una herramienta para el diseño de microestructuras de materiales bio-

miméticos. Como ejemplo de esto, el modelo propuesto en este capítulo se utilizó para determinar las propiedades microestructurales de un injerto vascular electrohilado capaz de imitar la respuesta en presión-diámetro para una arteria intracranial humana en el rango de presiones fisiológicas (60-140 mmHg), cuyos datos experimentales se obtienen de la literatura [Hayashi1980].

Entonces, para poner a prueba la capacidad del modelo como herramienta de diseño, se optimizaron los parámetros en el modelo de membrana (figura 2.12), tomando un diámetro interno en reposo de 2.5 mm y un espesor de 0.04 mm. Los parámetros elegidos para ser optimizados fueron los módulos de elasticidad de las fibras (E_t y E_b) y su distribución de reclutamiento (μ^r y σ^r), mientras que la fracción de volumen se mantuvo en 0.3 y los límites de la FDR quedaron inalterados en 1.0 y 1.4, respectivamente. Cabe notar que los parámetros optimizados corresponden, en la práctica, a la selección de un material de base para las nanofibras que cumpla con la respuesta elástica pedida y la determinación de la morfología de la malla electrohilada para que cumpla con la FDR dada por los valores μ^r y σ^r optimizados.

La figura 2.15 muestra las curvas de presión-diámetro para la arteria intracranial humana y para el injerto optimizado para biomímesis, mientras que los parámetros obtenidos se listan en la tabla 2.3. La curva simulada muestra un buen acuerdo en la región de presión fisiológica, a la vez que se mantiene similar en comportamiento para bajas presiones (0-60 mmHg). Este injerto necesitaría estar constituido por nanofibras menos rígidas, una propiedad que puede controlarse mediante la selección de un polímero diferente para el electrohilado. Entre los valores de E_t hallados en la literatura para nanofibras aisladas, se encuentra que para PCL (poli- ϵ -caprolactona) un diámetro aproximado de 0.5 nm, el módulo de Young reportado de 0.3 GPa se corresponde adecuadamente con el obtenido aquí mediante optimización [143]. También podrían probarse otros materiales conocidos que son menos rígidos que el PLLA, como por ejemplo poliuretano segmentado de grado médico, seda, poliglicerol sebacato (PGS), colágeno, entre otros. Otra estrategia podría ser la combinación de diferentes materiales, regulando la relación de cada polímero para obtener la propiedad deseada. Adicionalmente, la distribución de reclutamiento obtenida implica la necesidad de fibras tanto con un mayor valor medio de tortuosidad así como una mayor dispersión de la misma, para poder imitar, mediante el proceso de reclutamiento progresivo, la débil compliancia de los materiales biológicos a bajas presiones junto con una rigidez similar a presiones fisiológicas. Vale mencionar que, de todas maneras, fuera del rango fisiológico no se hace necesaria la biomímesis.

Tabla 2.3: Parámetros del modelo optimizados para un injerto electrohilado capaz de imitar la respuesta mecánica de una arteria intracranial humana.

η	$E_t(\text{GPa})$	$E_b(\text{MPa})$	μ^r	σ^r	λ^r_{min}	λ^r_{max}
0.3	0.303	6.824	1.3338	0.0710	1.00	1.40

η	0.3
$E_t(\text{GPa})$	0.303
$E_b(\text{MPa})$	6.824
μ^r	1.3338
σ^r	0.0710
λ^r_{min}	1.0
λ^r_{max}	1.4
$SE(\text{mmHg})$	1.92

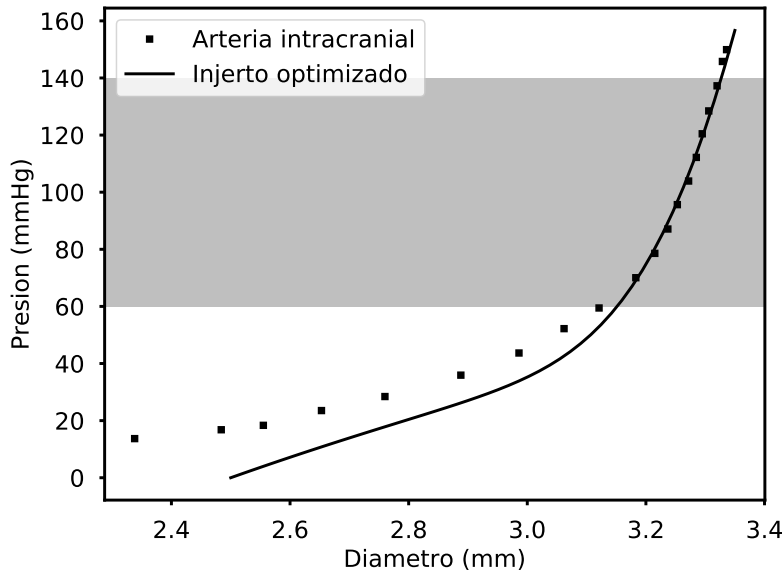


Figura 2.15: Respuesta en presión-dímetro para una arteria intracranial humana y para un injerto simulado biomimético capaz de reproducir la respuesta mecánica en presión-dímetro en el rango fisiológico (indicado por la zona gris). El coeficiente de ajuste R^2 para el rango completo de presiones es de 0,89, mientras que para el rango fisiológico mejora a 0,98.

2.6. Conclusiones

En este capítulo se presentó un modelo constitutivo multiescala para el comportamiento mecánico elástico de injertos vasculares electrohilados de ingeniería de tejidos. A escala macroscópica se adoptó un modelo de membrana tridimensional siguiendo los conceptos clásicos de la mecánica del continuo en grandes deformaciones. La microestructura se idealizó como una red triangulada de haces de fibras, mientras que la morfología de capas superpuestas de las mallas electrohiladas se capturó mediante un elemento de volumen representativo compuesto por capas superpuestas de celdas triangulares.

Se reprodujo exitosamente el comportamiento mecánico macroscópico experimental

de tubos electrohilados de PLLA bajo ensayos mecánicos de inflado, obteniendo además el comportamiento macroscópico a partir de las características microscópicas del material electrohilado. La forma de “J” de la curva constitutiva observada experimentalmente fue reproducida apropiadamente por el modelo como resultado de un enderezamiento de un número creciente de fibras, y su reclutamiento progresivo, acorde al avance de la deformación.

La utilización de un enfoque multiescala implica una contribución al entendimiento y la exploración de las características microscópicas relevantes que resultan en el comportamiento mecánico macroscópico característico de los materiales electrohilados, aportando información sobre el comportamiento mecánico a partir de parámetros naturales que además admiten ser fácilmente reconocidos, medidos y controlados en la fabricación. El modelado computacional también permitió analizar los efectos de estos parámetros de forma individual (por ejemplo el módulo elástico de las nanofibras o el valor medio de enrulamiento) sobre la respuesta en tensión-deformación de los injertos electrohilados. Se encontró que la implementación de una distribución de reclutamiento permite obtener una respuesta macroscópica no lineal incluso haciendo uso de una ley constitutiva bilineal para las nanofibras en la microescala, evitando introducir complejidades no lineales artificiosas como la aplicación de leyes constitutivas hiperelásticas no lineales a nivel de fibras.

Dependiendo en la aplicación objetivo de un biomaterial nanofibroso, los parámetros del proceso de fabricación podrían ajustarse para obtener injertos vasculares realizados a medida, es decir, paciente específicos y de acuerdo al distrito vascular a reemplazar. Esta posibilidad se ejemplificó para el caso de un injerto biomimético respecto de una arteria intracranial humana, obteniendo los parámetros microscópicos necesarios para reproducir la respuesta en presión-diámetro macroscópica de la arteria en el rango de presiones fisiológicas. Además, los resultados indican que una distribución de reclutamiento con alta dispersión y el proceso de reclutamiento progresivo de las fibras son ingredientes clave para reproducir la curva constitutiva con forma de “J” típica de los materiales biológicos. Por lo tanto, poder ejercer control sobre la distribución de reclutamiento de un injerto nanofibroso puede ser crucial en el esfuerzo por conseguir injertos eficazmente biomiméticos.

Dentro de las limitaciones, el RVE prototipo aquí estudiado admite una cinemática sencilla que no permite considerar otros fenómenos que puedan aportar al comportamiento no lineal del material, como por ejemplo el realineamiento de las fibras bajo carga o su

interacción en los puntos de unión. Además, la ley constitutiva de las fibras se mantuvo puramente elástica, evitando incorporar efectos de plasticidad o rotura de las fibras en el RVE. Es importante notar que estos fenómenos no son deseados desde el punto de vista de un injerto biomimético, ya que deben considerarse como mecanismos de falla a ser evitados en el rango de trabajo, prolongando el adecuado desempeño en servicio del reemplazo. Sin embargo, su incorporación se estudia en capítulos subsiguientes resultando en modelos micromecánicos más complejos y completos para las mallas electrohiladas.

Capítulo 3

Algoritmo de generación de geometrías para matrices fibrosas

3.1. Introducción

Las matrices electrohiladas, como se mencionó en el capítulo 1, poseen una morfología de múltiples capas planas superpuestas, siendo cada una de ellas un ensamble bidimensional no tejido de nanofibras [144]. Para poder actuar como sustitutos de materiales biológicos en ingeniería de tejidos, estas membranas deben ser capaces de soportar grandes deformaciones a nivel macroscópico, lo que implica que las fibras sobrelleven grandes desplazamientos y rotaciones, y eventualmente grandes deformaciones, a nivel microscópico. Más aún, es necesario que un injerto pretendidamente biomimético pueda desarrollar múltiples funciones, incluyendo la de permitir la adhesión y proliferación celular, brindar soporte mecánico para el neotejido, ser permeable al transporte de sustancias para promover la síntesis celular, entre otros [144]. Para alcanzar estos requisitos diversos y complementarios, es necesario incrementar el conocimiento actual acerca de los procesos físicos que ocurren a escala de las fibras bajo modos de deformación macroscópicos.

Además, se ha establecido fehacientemente que la geometría microscópica de las matrices nanofibrosas afecta significativamente la respuesta mecánica macroscópica [145, 146]. En concordancia, se ha dedicado un esfuerzo considerable a la caracterización de la geometría fibrosa, haciendo énfasis en la medición de la distribución de orientaciones de las fibras dentro del plano de cada capa, y estableciendo la correspondiente relación con la anisotropía mecánica observada mediante ensayos [78, 79, 145, 147–149].

La distribución de orientaciones es una medida muy usual para las mallas electrohiladas y da cuenta de la anisotropía lograda durante la fabricación, pudiendo obtenerse mallas totalmente isotrópicas, moderadamente alineadas o incluso completamente alineadas.

das. Además, se ha reportado que bajo tracción uniaxial se produce un incremento en la alineación de las fibras en la dirección de carga [94], un fenómeno para el cual el modelado multiescala puede resultar de gran ayuda para su comprensión. Por otro lado, no se encuentran reportados datos de distribuciones de reclutamiento, a pesar de que sí se considera al enrulamiento de las fibras como una variable de importancia. Incluso en los artículos en los que se construyen RVEs con fibras curvadas o enruladas, suele adoptarse un valor único de curvatura [94, 97] o se establece de forma cualitativa [74, 95, 101].

Un modelo multiescala que pretenda proporcionar un avance en la comprensión de los mecanismos microscópicos subyacentes reales de las matrices electrohiladas debe, por lo tanto, partir de la base de una geometría lo más cercana posible a la que arrojan las imágenes SEM detalladas en la sección 1.4.3. Las grandes dimensiones planas y estructura en forma de capas de las matrices electrohiladas, en comparación con su bajo espesor (típicamente en el orden de unas pocas décimas de mm), ha motivado la aplicación de modelos de mallas bidimensionales [101, 147, 150, 151]. Algunos métodos empleados para la construcción de geometrías de mallas fibrosas incluyen a la generación de polígonos de Thiessen (también conocidos como diagramas de Voronoi o teselación de Dirichlet) [152], generación de arreglos de fibras con orientación y curvatura prescritas [94, 97, 153, 154], posprocesamiento de imágenes SEM para segmentar las fibras [147] y aplicación de algoritmos aleatorios de *random walk* bidimensionales [74, 95, 102]. Estos últimos permiten la construcción de geometrías que se asemejan en gran medida a las observadas en mallas electrohiladas mediante SEM.

En este capítulo se presenta un método para la generación de geometrías realistas de mallas de fibras con el objetivo de ser utilizadas para su aplicación como RVE en un modelo multiescala. Para ello se desarrolla un algoritmo de deposición virtual con la posibilidad de controlar la distribución de orientación y la distribución de enrulamiento de las fibras, entre otros parámetros de importancia, conllevando la posibilidad de obtener mallas isotrópicas o alineadas, con fibras rectas o con diferentes grados de tortuosidad. Finalmente, las geometrías obtenidas se comparan con imágenes SEM, comparando las distribuciones de orientación y de enrulamiento, para evaluar la capacidad del método para reproducir la geometría real de la microestructura electrohilada.

3.2. Descripción geométrica

En el capítulo 1 se mostró que una matriz electrohilada puede idealizarse como una superposición de capas bidimensionales (figura 1.6), donde cada capa se conforma de una malla interconectada de fibras largas y posiblemente enrolladas, que adicionalmente se conectan a las fibras de capas adyacentes en los puntos de intersección. La caracterización topológica se realiza experimentalmente mediante imágenes SEM de matrices electrohiladas (figura 3.1) de donde se puede estimar el diámetro, curvatura y orientación de las fibras.

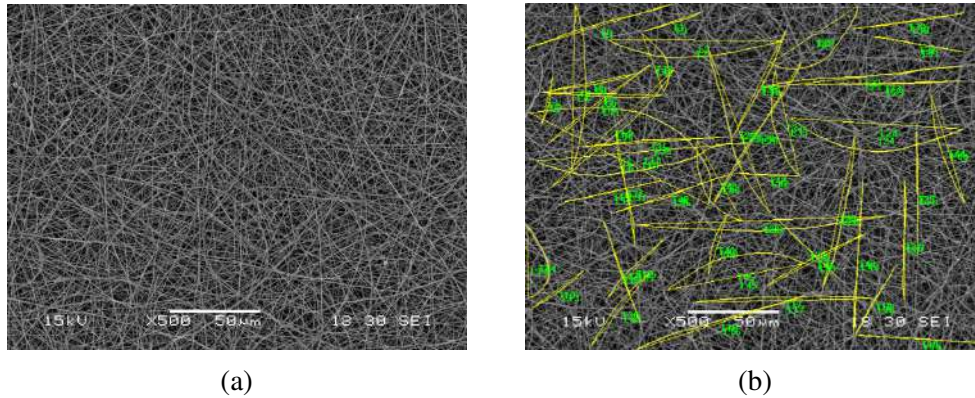


Figura 3.1: Medición de orientaciones y enrollamientos de fibras a partir de una imagen SEM. Para llevarlo a cabo se seleccionan de la imagen fibras de manera aleatoria y se traza su línea de contorno abarcando la mayor longitud posible que la imagen permita sin perder la identificación de la fibra. Luego se traza la línea de extremo-extremo para poder medir su orientación y el valor de elongación de reclutamiento.

Si se realiza la medición de cada una de estas propiedades sobre un número suficientemente elevado de fibras, entonces se puede considerar que se trata de una muestra representativa de toda la población. De esta forma puede calcularse un valor medio y dispersión estándar para la distribución de orientaciones obtenida ($\hat{\mu}^\theta$ y $\hat{\sigma}^\theta$, respectivamente), así como un valor medio y dispersión estándar para la distribución de reclutamiento ($\hat{\mu}^r$ y $\hat{\sigma}^r$, respectivamente)¹. Otra opción más detallada consiste en graficar el histograma normalizado correspondiente para visualizar la distribución discreta que caracteriza la geometría de la malla.

Sin embargo, es de importancia para la caracterización topológica de una malla fibrosa, disponer de una noción de interconectividad, ya que el comportamiento final va a

¹En el capítulo 2 se presentó un modelo de haz de fibras donde se prescriben una distribución de enrollamientos p^r en base a parámetros de valor medio μ^r y dispersión σ^r . Aquí, en cambio, se trata con las variables $\hat{\mu}^r$ y $\hat{\sigma}^r$, correspondientes a una distribución de enrollamientos obtenida a partir de mediciones experimentales.

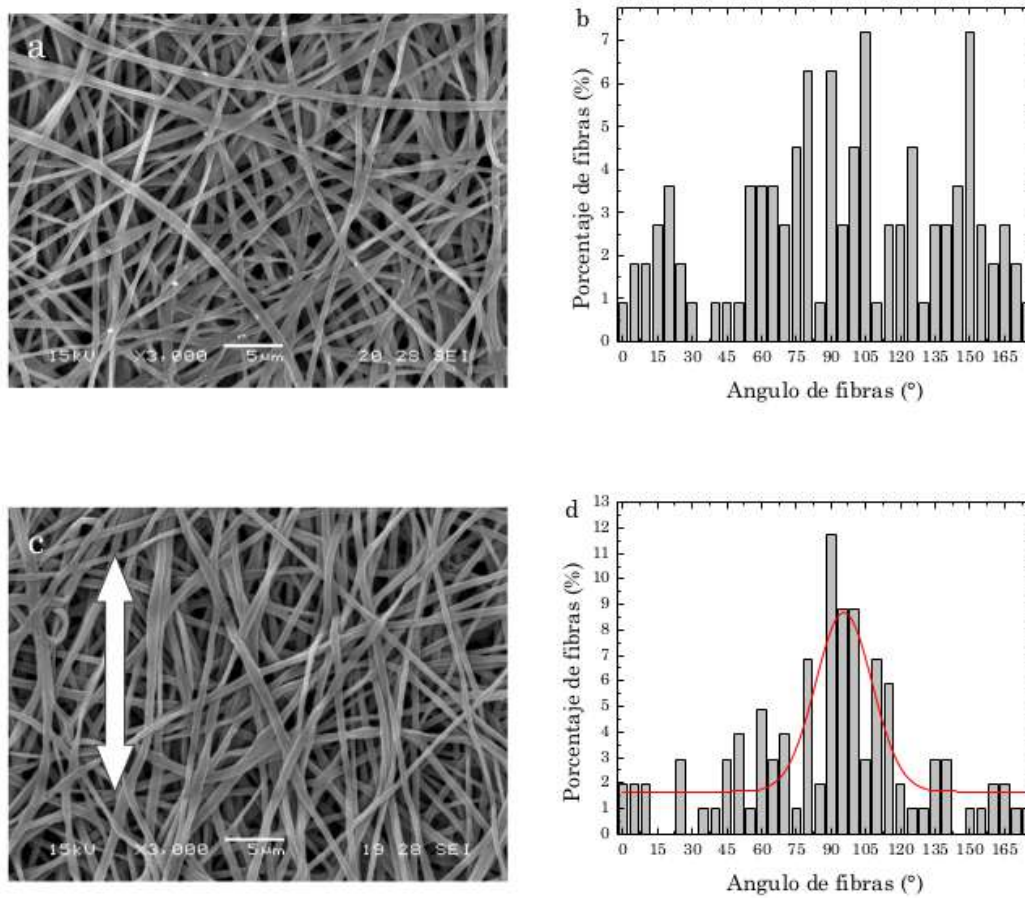


Figura 3.2: Imágenes SEM de matrices electrohiladas y sus respectivos histogramas de orientaciones. a) Imagen SEM de una matriz isotrópica y b) su histograma de orientaciones. c) Imagen SEM de una matriz moderadamente alineada en la dirección vertical (se indica en la figura) y d) su histograma junto con una regresión gaussiana (línea roja). Imagen adaptada de [155]

depender no sólo de la suma de las nanofibras, sino también de la interacción entre las mismas. Se adopta entonces una medida usual: la densidad superficial de intersecciones δ definida como la cantidad de intersecciones por unidad de superficie en una capa de fibras. No obstante, la información que puede extraerse a partir de microscopía es limitada ya que está restringida a la superficie exterior de la matriz y se presenta como una proyección bidimensional donde resulta difícil distinguir entre intersecciones aparentes e intersecciones reales donde las fibras se encuentran unidas entre sí. En este punto resulta de utilidad el modelo geométrico propuesto en esta sección, ya que permite estimar las intersecciones reales entre las fibras, considerando como puntos de unión donde se cruzan fibras que se encuentran en una misma capa o de capas adyacentes entre sí.

3.3. Construcción del RVE

3.3.1. Algoritmo de deposición virtual de fibras

En esta sección se presenta un algoritmo de deposición virtual de fibras para generar geometrías de matrices fibrosas planas simulando la deposición de las fibras en el proceso de electrohilado descrito en la sección 1.4.3, para luego conformar una geometría de matriz fibrosa tridimensional mediante la superposición de muchas capas planas.

El algoritmo busca reproducir la geometría a escala microscópica de la malla de fibras, por lo cual se delimita mediante un recinto cuadrado Ω_μ de tamaño L_μ , dentro del cual se simulará la deposición de las fibras. Cada fibra es inicialmente una curva continua lineal por tramos que se construye mediante la concatenación de segmentos lineales de igual longitud l_s . Además, como se consideran fibras muy largas con respecto al tamaño del recinto, se asume que su deposición, desde la perspectiva microscópica, comienza y termina siempre en un borde Ω_μ . Luego, el algoritmo para la deposición de una sola fibra se detalla de la siguiente manera:

1. Se selecciona de forma aleatoria un punto \mathcal{P}_1 sobre el borde de Ω_μ como punto inicial para la construcción de la fibra.
2. Se deposita el primer segmento de la fibra, de largo l_s , con origen en \mathcal{P}_1 y orientación dada por el ángulo θ_1 que se obtiene de muestrear una función distribución de orientación (FDO) prescripta (p^θ), consistiendo en una función de densidad de probabilidad de manera que la probabilidad de que el segmento inicial de una fibra cualquiera posea una orientación entre θ y $\theta + d\theta$ es $p^\theta(\theta)d\theta$. Por tratarse del ángulo que forma un segmento recto con la horizontal, la FDO es periódica tal que $p^\theta(\theta) = p^\theta(\theta + \pi)$, por lo que conviene restringir al ángulo θ al intervalo $[0, \pi)$.
3. Subsecuentemente, se concatena un segundo segmento con punto de origen en el punto final del segmento anterior, con un ángulo θ_2 igual a θ_1 más una posible desviación θ_{d2} que se obtiene de forma aleatoria a partir del intervalo $I_d = [-\theta_d^{max}, \theta_d^{max}]$. Por lo tanto el ángulo de orientación de este segmento es $\theta_2 = \theta_1 + \theta_{d2}$.
4. Se continua el proceso de concatenación para cada segmento subsiguiente hasta que un segmento eventualmente sale del recinto Ω_μ . Este segmento es el último de la

fibra y es recortado en el borde del recinto, de forma que la fibra recorre un camino lineal por tramos entre dos puntos del borde.

De esta forma, los parámetros del algoritmo de deposición virtual para una sola fibra son: la FDO prescrita ($p^\theta(\theta)$), la longitud de segmento (l_s) y el ángulo de desviación máximo (θ_d^{max}). Es válido resaltar que la curva así conformada es continua pero de derivada discontinua y que, de ser necesario, se podría realizar una interpolación mediante *splines* para culminar con una curva de mayor grado de continuidad. La figura 3.3 muestra una fibra compuesta de pocos segmentos con el objetivo de esquematizar el algoritmo previo.

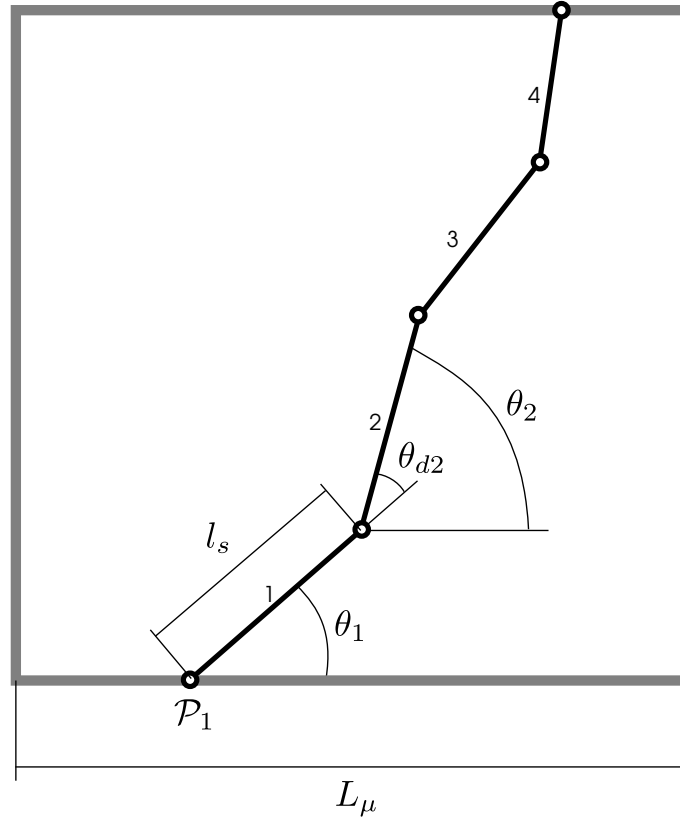


Figura 3.3: Deposición virtual de una fibra según el algoritmo detallado. Se muestra la deposición de 4 segmentos donde se detalla el punto de origen \mathcal{P}_1 , el ángulo del primer segmento θ_1 , el ángulo de desviación del segundo segmento θ_{d2} y el ángulo del segundo segmento $\theta_2 = \theta_1 + \theta_{d2}$. El cuarto y último segmento (que sale del recinto cuadrado de largo L_μ) es recortado de forma que su longitud es menor a la del resto de los segmentos (l_s).

Es importante notar que el valor de θ_d^{max} está relacionado con la tortuosidad de las fibras, cumpliéndose que para un valor nulo se obtendrán fibras rectas. Además, dado que las fibras observadas no poseen cambios bruscos de orientación en puntos cercanos a lo largo de su línea media, es razonable admitir que el valor de θ_d^{max} será pequeño ($\theta_d^{max} < 90^\circ$).

Resulta útil formular el algoritmo respecto de longitudes adimensionales, utilizando el diámetro promedio \bar{D} de las fibras como medida de normalización. Los parámetros adimensionales se denotan mediante el símbolo $(\tilde{\cdot})$. Entonces, el largo adimensional de cada lado del recinto es $\tilde{L}_\mu = L_\mu/\bar{D}$, mientras que cada fibra i tiene una longitud de contorno adimensional $\tilde{L}_i = L_i/\bar{D}$, una longitud extremo-extremo adimensional $\tilde{l}_i = l_i/\bar{D}$ y un diámetro adimensional $\tilde{D}_i = D_i/\bar{D}$. Cabe mencionar que en el caso particular que todas las fibras posean un mismo diámetro, todas tendrán diámetro adimensional unitario. Además, durante la construcción de las fibras, cada segmento lineal se construye con una longitud adimensional $\tilde{l}_s = l_s/\bar{D}$.

Ya establecidos los pasos para la generación de cada fibra mediante un camino aleatorio, puede ahora resumirse el algoritmo para la construcción de la geometría total de la malla como sigue:

1. Seleccionar los parámetros del algoritmo: el diámetro promedio de las fibras \bar{D} , la FDO prescrita $p^\theta(\theta)$, el ángulo de desviación máximo θ_d^{max} , el tamaño de recinto \tilde{L}_μ , la longitud de segmento \tilde{l}_s y la fracción de volumen objetivo η .
2. Generar una capa depositando fibras mediante los pasos descritos previamente hasta alcanzar la fracción de volumen η . Se asume que el espesor de cada capa es equivalente al diámetro medio de las fibras \bar{D} , por lo que el volumen de la capa es $L_\mu \times L_\mu \times \bar{D}$. Luego, la fracción de volumen de la capa k es:

$$\eta_k = \frac{\sum_{i=1}^{N_i^k} V_i}{(L_\mu)^2 \bar{D}} \quad (3.1)$$

donde $V_i = L_i \frac{\pi D_i^2}{4}$ es el volumen de la fibra i .

3. Repetir el paso 2 hasta tener el número deseado de capas (N_c), considerando cada capa nueva superpuesta sobre la capa anterior. De esta forma se tiene que la capa k está en contacto directo con las capas $k - 1$ y $k + 1$ (figura 3.5b).
4. Calcular los puntos de intersección entre las fibras dentro de cada capa y entre capas adyacentes. De esta forma se evita la inclusión de intersecciones aparentes en la proyección bidimensional (entre fibras que se encuentran distanciadas entre sí más de un diámetro medio en la dirección normal al plano colector) (figura 3.5c).

5. Con los puntos de intersección identificados, realizar la subdivisión de las fibras originales (fibras largas) en los puntos de unión, obteniendo así las fibras finales (fibras cortas) como elementos estructurales entre dos puntos de unión (figura 3.5c).
6. Calcular la longitud de contorno, longitud extremo-extremo y elongación de reclutamiento para cada una de las fibras cortas (figura 3.5d).

Como resultado se obtiene una geometría de red de fibras interconectadas como se muestra en la figura 3.4, donde puede observarse gran similitud de forma en una primera observación entre una geometría generada mediante el algoritmo (parámetros: $\bar{D} = 1 \mu\text{m}$, $N_c = 10$, $\tilde{L}_\mu = 100$, $\tilde{l}_s = 10$, $\theta_d^{max} = 20^\circ$, $\eta = 0,2$, $p^\theta(\theta) = \pi^{-1}$) y la que se ve en imágenes SEM de matrices electrohiladas.

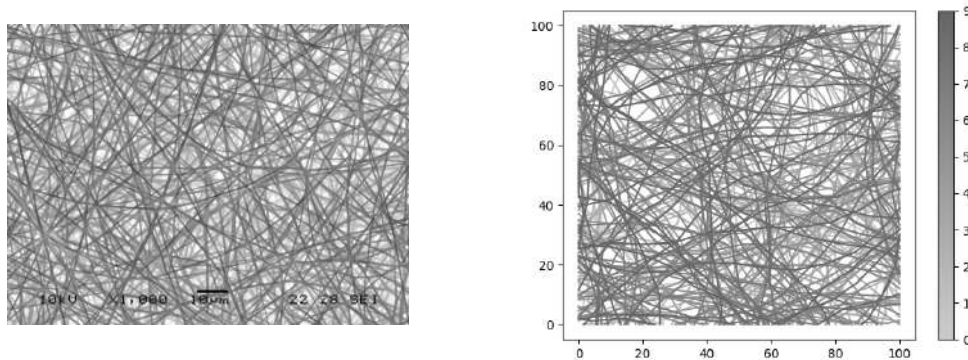


Figura 3.4: Comparación cualitativa entre una imagen SEM de una malla electrohilada de PLLA (izq., colores invertidos para mejor visualización) y una malla obtenida mediante el algoritmo de deposición virtual (der.) donde la escala de grises indica la capa de cada fibra. Puede observarse a primera vista una gran similitud entre la geometría de la malla simulada y la microestructura electrohilada.

3.3.2. Variabilidad estadística de las mallas

Por la naturaleza estocástica de la deposición de las fibras durante el electrohilado, las matrices obtenidas poseen un grado de variabilidad apreciable incluso cuando son procesadas mediante los mismos parámetros de fabricación. Aún así, desde un punto de vista macroscópico el material resulta prácticamente homogéneo y evidencia características que engloban a una población de fibras suficientemente grandes como para poder establecer la separación de escalas. De forma equivalente se desea que las geometrías generadas, para su posterior aplicación como RVE, posean un número de fibras mínimo necesario. Para ello se buscará encontrar el tamaño de las mallas lo suficientemente alto

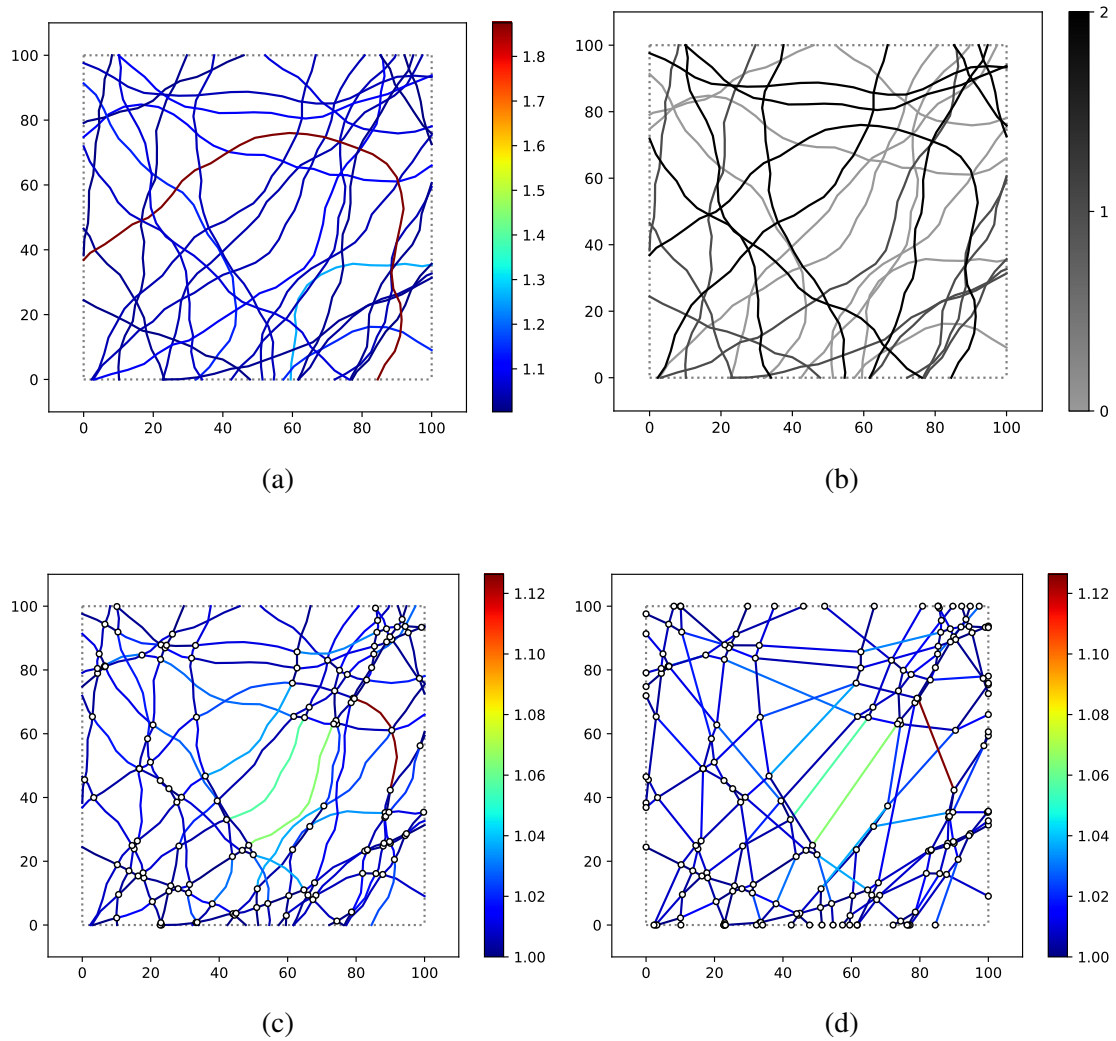


Figura 3.5: Ejemplo de una malla sencilla de tres capas y reducido número de fibras (para su mejor visualización) generada mediante el algoritmo de deposición virtual descrito ($\tilde{L}_\mu = 100$, $\tilde{l}_s = 5$, $\theta_d^{max} = 20^\circ$).
 a) Las fibras en su estado de deposición, sin intersecciones (barra de color indicando λ^r).
 b) Idem pero con escala de grises indicando a qué capa corresponde cada fibra.
 c) Las fibras intersectadas (barra de color indicando λ^r para cada fibra comprendida entre dos puntos de unión).
 d) Líneas extremo-extremo de las fibras entre puntos de unión (barra de color indicando λ^r).

para poder realizar observaciones representativas del material macroscópico y no de una muestra microscópica específica.

Naturalmente, dado un valor para la fracción de volumen, el número de fibras en cada capa va a depender del tamaño de la malla, que está determinado por L_μ , \bar{D} y N_c . Para evaluar si las muestras de determinado tamaño pueden ser consideradas RVEs se puede analizar la variación estadística de alguna determinada magnitud característica de la malla en un conjunto de geometrías construidas bajo los mismos parámetros. Por ejemplo, si se toma como magnitud a evaluar la densidad superficial de intersecciones (δ), entonces todos los RVE deben tener, esencialmente, el mismo valor de δ . Es decir, que si bien habrá variaciones entre distintas muestras, la variabilidad debe ser lo suficientemente pequeña para poder considerar que se trata de dos representaciones de un mismo material. Particularmente, puede requerirse que el coeficiente de variación (la relación entre la dispersión estándar y el valor medio) caiga por debajo de un umbral establecido.

3.4. Resultados

3.4.1. Variabilidad estadística y calibración del RVE

En esta sección se establece el tamaño mínimo de malla para que la misma pueda ser tratada como un RVE. Para cada tamaño de malla se construye un conjunto de 10 mallas generadas mediante el algoritmo de deposición virtual, utilizando los mismos parámetros de entrada. Luego, se estudia la variabilidad estadística de las variables de interés para cada set de parámetros calculando su valor medio y dispersión estándar dentro de cada conjunto, tomando el tamaño de RVE como la variable independiente.

En primera instancia se desea determinar el tamaño mínimo de recinto \tilde{L}_μ que permite obtener geometrías estadísticamente repetitivas. Para ello, se selecciona como variable a medir la densidad superficial de intersecciones (δ) y se mide el coeficiente de variación estadística como la relación entre la desviación estándar (μ^d) y el valor medio (σ^d) en un conjunto de 10 geometrías generadas bajo un mismo set de parámetros.

Para el primer conjunto se toman mallas isotrópicas de fibras rectas de $1 \mu\text{m}$ de diámetro: $\theta_d^{max} = 0$, $p^\theta(\theta) = \pi^{-1}$, $\bar{D} = 1 \mu\text{m}$, mientras que el tamaño de recinto \tilde{L}_μ se adopta como variable independiente. Para este caso la longitud de cada segmento \tilde{l}_s se vuelve irrelevante. La figura 3.6 muestra los resultados obtenidos para μ^d vs. \tilde{L}_μ y para c_v versus \tilde{L}_μ , donde puede observarse que la dispersión estándar disminuye a medida que se

aumenta el tamaño de recinto. Este resultado es importante ya que sugiere que se puede obtener menor variabilidad estadística en la construcción de las geometrías controlando el tamaño de las mismas. De esta forma es posible alcanzar una repetitividad estadística deseada dependiendo de la aplicación. Por ejemplo, para obtener $c_v < 4\%$ es necesario que $\tilde{L}_\mu \geq 100$.

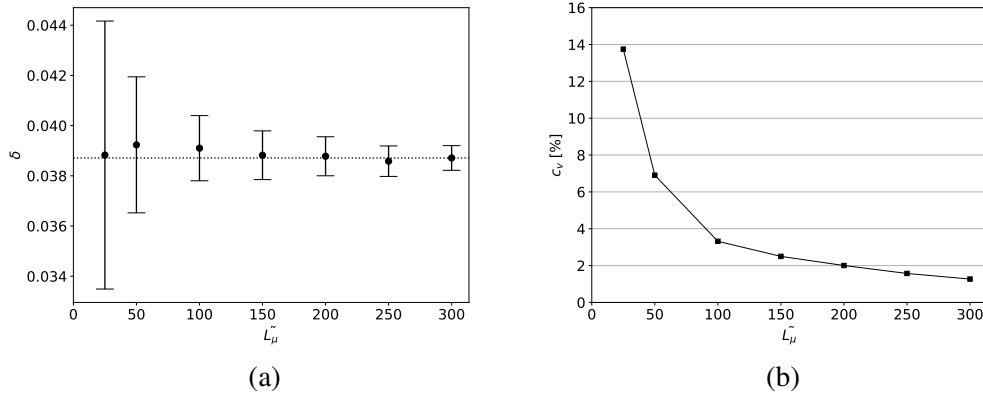


Figura 3.6: Variabilidad estadística de la densidad superficial de intersecciones en función del tamaño de una malla de fibras de una sola capa. a) Valor medio μ^d (círculos) y dispersión estándar σ^d (barras de error) de la densidad de intersecciones. Se observa que la dispersión se reduce a medida que se aumenta \tilde{L}_μ . b) Coeficiente de variación $c_v = \sigma^d/\mu^d$ versus \tilde{L}_μ . Se observa que para $\tilde{L}_\mu = 100$ la variabilidad cae por debajo de 4 %.

Si se consideran mallas conformadas por más capas, las intersecciones que se producen entre capas adyacentes entre sí, no incluidas en el caso de una sola capa, provoca valores más elevados para δ . La figura 3.7 muestra este aumento en función del número de capas para mallas generadas con $\eta = 0,3$, $\bar{D} = 1 \mu\text{m}$, $L_\mu = 50$, $\theta_d^{max} = 0$, $\tilde{l}_s = 1$. Es interesante notar que las capas intermedias incrementan en mayor medida el número de intersecciones que las capas exteriores, puesto que cada capa intermedia es adyacente a dos capas mientras que cada capa exterior es adyacente a solo una. Como resultado se tiene que al aumentar el número de capas, el valor de δ aumenta de forma monótona pero asintóticamente a un valor límite. Este comportamiento conlleva la necesidad de generar mallas con un elevado número de capas (en el caso de la figura, mayor a 20) para mantener una buena representación de una matriz real respecto de la densidad de intersecciones. No obstante, también hay que mantener en consideración el costo computacional asociado, tanto para la generación de la geometría como para su posterior análisis numérico y su implementación en un modelo multiescala mecánico.

Como solución es posible tomar un número reducido de capas, pero aplicando una condición de periodicidad sobre las intersecciones, de forma que las fibras de la capa

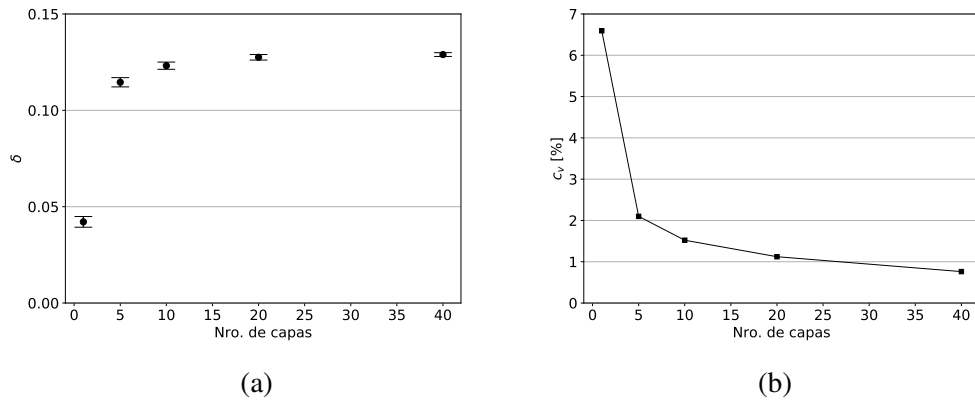


Figura 3.7: Dependencia de la densidad superficial de intersecciones respecto del número de capas de una malla virtual considerando 1, 5, 10, 20 y 40 capas ($\tilde{L}_\mu = 50$). a) Valor medio (círculos) y dispersión estándar (barras de error) de δ versus N_c . b) Coeficiente de variación de δ versus N_c .

inferior intersecten a las fibras de la capa superior. De esta manera se obtiene un valor de δ independiente del número de capas, con excepción del caso obvio de una sola capa (figura 3.8).

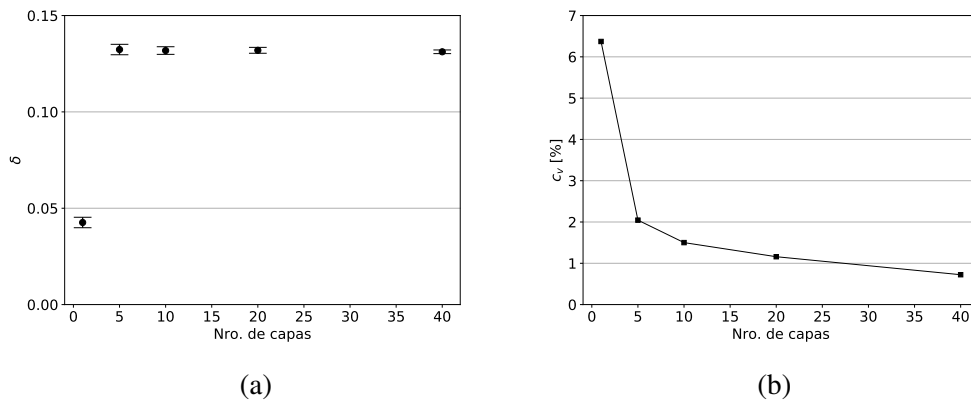


Figura 3.8: Dependencia de la densidad superficial de intersecciones respecto del número de capas de una malla virtual con la condición periódica de intersecciones, considerando 1, 5, 10, 20 y 40 capas ($\tilde{L}_\mu = 50$). a) Exceptuando el caso de una sola capa, se observa que, debido a la periodicidad en intersecciones, el valor de δ se mantiene constante sin importar el número de capas b) La variabilidad estadística se mantiene respecto del caso sin periodicidad.

Además, dado que un mayor número de capas implica un mayor número de fibras, se observa una marcada disminución en la variabilidad estadística al aumentar el número de capas. Esto puede apreciarse en la figura 3.9b donde se ve que para $L_\mu = 100$ el valor de c_v cae por debajo del 1%, mientras que para una sola capa se mantenía por encima del 3%.

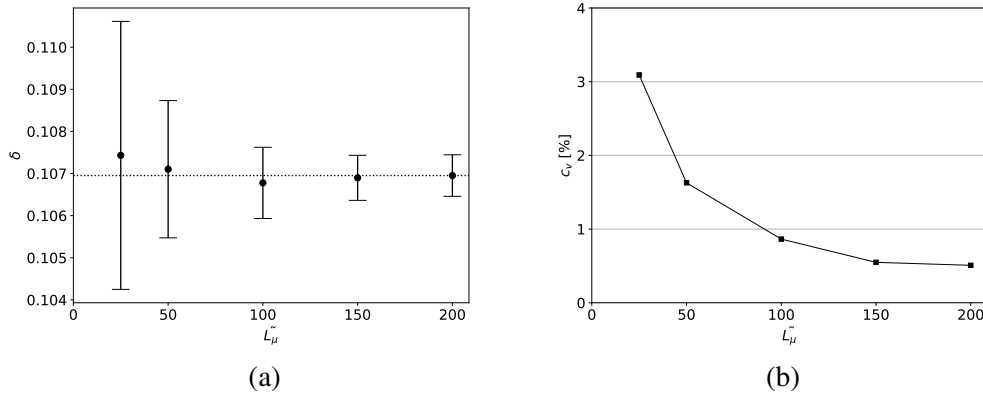


Figura 3.9: Variabilidad estadística de la densidad superficial de intersecciones en función del tamaño de una malla de fibras de diez capas. a) Valor medio (círculos) y dispersión estándar (barras de error) de δ vs. \tilde{L}_μ . b) Coeficiente de variación vs. \tilde{L}_μ .

Adicionalmente, puede introducirse como variable la tortuosidad de las fibras considerando mallas generadas con $\theta_d^{max} > 0$. En este caso, como se mostró en la figura 3.12), el número de fibras es menor para un mismo L_μ dado que cada fibra encurvada ocupa más volumen que una fibra recta. Aún así, el efecto de la disminución de N_f no es apreciable en la variabilidad estadística de las geometrías generadas desde el punto de vista de δ (figura 3.10).

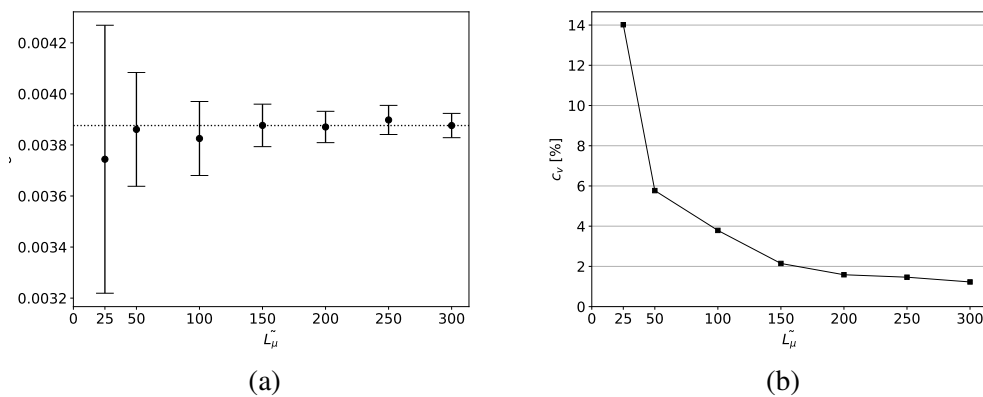


Figura 3.10: Variabilidad estadística de la densidad superficial de intersecciones en función del tamaño de una malla de fibras encurvadas ($\theta_d^{max} = 10^\circ$). Comparando con 3.6 puede observarse que la tortuosidad de las fibras no afecta la variabilidad estadística de la geometría generada respecto de la densidad superficial de intersecciones.

Distribución de orientaciones

También es importante calibrar el tamaño mínimo del RVE para obtener baja variabilidad en la distribución de orientaciones obtenida. Para ello se generan mallas de fibras rectas tomando una FDO prescripta (p^θ) normal truncada:

$$p^\theta(\theta) = \begin{cases} 0 & \text{if } \theta < 0 \\ \left(\frac{1}{C}\right) e^{\left[-\frac{(\theta-\mu^\theta)^2}{2(\sigma^\theta)^2}\right]} & \text{if } 0 \leq \theta \leq \pi \\ 0 & \text{if } \theta > \pi \end{cases} \quad (3.2)$$

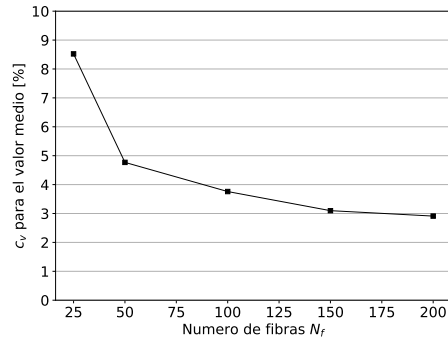
tomando $\mu^\theta = \pi/2$ y $\sigma^\theta = \pi/5$.

Para este análisis se toma como variable independiente el número de fibras y se evalúa el coeficiente de variación para los dos parámetros de la distribución obtenida ($\hat{\mu}^\theta$ y $\hat{\sigma}^\theta$) para 10 geometrías por cada valor de N_f . Los resultados muestran cómo disminuye la variabilidad estadística de las geometrías generadas a medida que se aumenta el número de fibras en la malla, siendo mayor la variabilidad para $\hat{\sigma}^\theta$ que para $\hat{\mu}^\theta$. También se observa que para $N_f = 200$ se obtienen coeficientes de variación por debajo de 5% para los dos parámetros (figura 3.11).

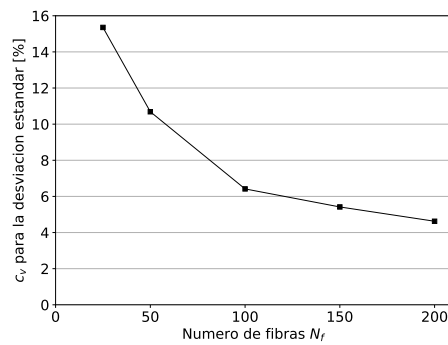
En este caso se tomó como variable independiente al número de fibras N_f que a su vez depende del tamaño de recinto L_μ y del número de capas tal como indica la figura 3.12. Para $\eta = 0,3$, El número de fibras puede estimarse de forma aproximada como $N_f = 0,4\tilde{L}_\mu N_c$, de forma que para una geometría de 200 fibras se puede realizar generando mallas de 10 capas con $\tilde{L}_\mu = 50$. Este tamaño cumple además con una baja variabilidad para la densidad superficial de intersecciones (3.9b).

Distribución de reclutamiento

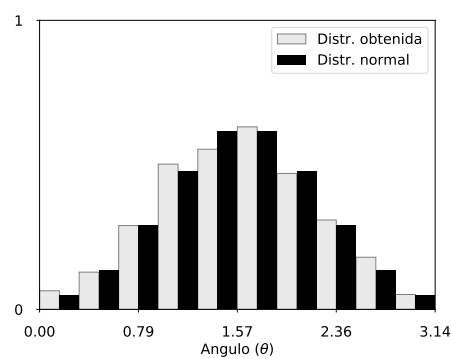
La variabilidad estadística de la distribución de reclutamiento obtenida depende en gran medida del valor de θ_d^{max} . Valores pequeños implican mallas con fibras más rectas y baja variabilidad mientras que valores más altos generan mallas con fibras más enru-ladas, dando lugar también a mayor variabilidad tanto dentro de una malla como entre mallas generadas bajo los mismos parámetros (figura 3.13). Mientras que $\hat{\mu}^r$ posee muy baja variabilidad para todos los valores de θ_d^{max} estudiados, el coeficiente de variación para $\hat{\sigma}^r$ se mantiene por debajo de 5% hasta $\theta_d^{max} = 30^\circ$. Esto indica que si se quieren



(a)



(b)



(c)

Figura 3.11: Variabilidad estadística de la distribución de orientaciones en función del número de fibras en la malla. a) Coeficiente de variación para $\hat{\mu}^\theta$ versus N_f . b) Coeficiente de variación para $\hat{\sigma}^\theta$ versus N_f . c) Comparación entre la FDO prescrita (negro) y la obtenida (histograma normalizado, gris) para una malla de 200 fibras.

construir RVEs con distribuciones de tortuosidad más elevadas que las que se obtienen para $\theta_d^{max} = 30^\circ$, será necesario incrementar el tamaño de las mismas para mejorar la representatividad estadística.

3.4.2. Diseño de RVEs

El algoritmo de deposición virtual descrito puede generar mallas con un diverso rango de geometrías, permitiendo controlar la fracción de volumen, el grado de alineación de las fibras, su enrulamiento y diámetro. También el proceso de electrohilado permite, a pesar de las limitaciones inherentes a la práctica experimental, ejercer cierto grado de control sobre algunas de estas propiedades y obtener gran diversidad en la topología microscópica. En esta sección se estudia la microestructura obtenida y se exploran las posibilidades del algoritmo de generar distintos tipos de geometrías capaces de ser utilizadas como RVEs para modelos multiescala de matrices electrohiladas.

Alineamiento de la malla

Un ejemplo es la posibilidad de controlar la velocidad de rotación del mandril colector para conseguir microestructuras con diferente nivel de alineamiento de las fibras a lo largo de la dirección circunferencial. A su vez, en el algoritmo de deposición virtual, para generar fibras con diferente grado de alineamiento a lo largo de una dirección se puede controlar la FDO prescrita. La figura 3.14 muestra mallas ($\eta = 0,3$, $\bar{D} = 1 \mu\text{m}$, $\tilde{L}_\mu = 50$ y $N_c = 10$, $\theta_d^{max} = 5^\circ$) con diferente grado de alineación graficadas junto con su respectiva distribución de orientaciones, donde puede observarse la capacidad del algoritmo de reproducir geometrías con creciente nivel de alineamiento.

Distribución de enrulamiento

Asimismo, es posible obtener geometrías virtuales con fibras más rectas o más enruladas controlando el ángulo de desviación máxima con la que se concatenan los segmentos lineales θ_d^{max} y la longitud de los segmentos l_s (figura 3.15). En todos los casos, la tendencia de la distribución es decreciente, indicando que la mayoría de las fibras posee valores de λ^r pequeños (cerca de 1). Aún así, con ángulos θ_d^{max} más grandes se consiguen distribuciones con valores de reclutamiento más elevados en promedio, sin afectar la tendencia decreciente.

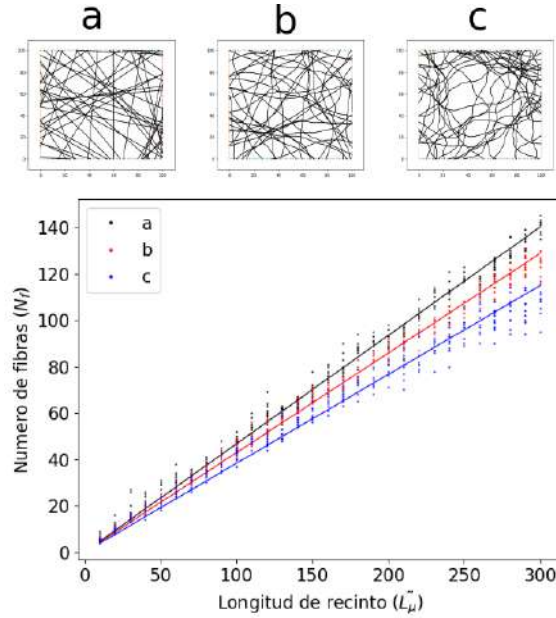


Figura 3.12: Número de fibras en una capa de fibras (N_f) en función del largo del recinto cuadrado (L_μ) y de la tortuosidad de las fibras, tomando constante la fracción de volumen como $\eta = 0,3$. Se observa que la cantidad de fibras sigue una relación lineal con cierta variabilidad propia del algoritmo, y que mallas con fibras más tortuosas (c) poseen en general un menor número de fibras que mallas con fibras rectas (a).

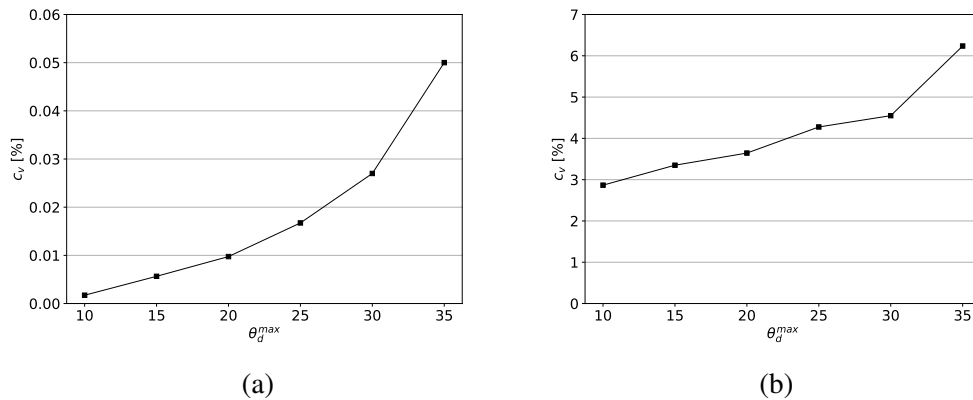


Figura 3.13: Variabilidad estadística de la distribución de reclutamiento en función del ángulo de desviación máximo del algoritmo de deposición virtual. a) Coeficiente de variación para el valor medio de la distribución de reclutamiento. b) Coeficiente de variación para la dispersión estándar de la distribución de reclutamiento.

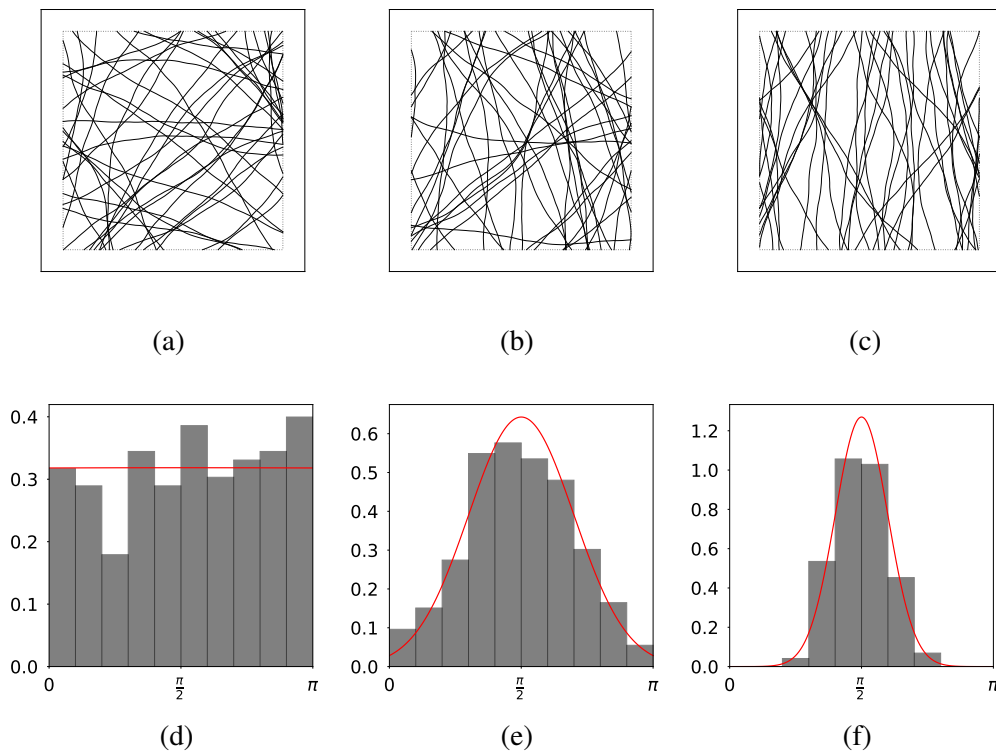


Figura 3.14: Diseño de geometrías con creciente nivel de alineamiento a lo largo de una dirección. a), b) y c) Mallas generadas con $\eta = 0,3$, $N_c = 10$, $\bar{D} = 1 \mu\text{m}$, $\tilde{L}_\mu = 50$, $\tilde{l}_s = 1$, $\theta_d^{max} = 5^\circ$. Se muestran solo dos capas para una mejor visualización. a) FDO uniforme. b) Alineamiento moderado: FDO normal truncada con $\sigma^\theta = \pi/5$. c) Alineamiento alto: FDO normal truncada con $\sigma^\theta = \pi/10$. b), d) y e) muestran las correspondientes distribuciones de orientaciones obtenidas (histogramas normalizados, gris) junto con la FDO prescrita (línea sólida, rojo).

Es posible diferenciar entre la población de fibras largas (tal cual son depositadas) y la población de fibras cortas (subdivididas en los puntos de unión). En el segundo caso, aunque se mantiene la misma tendencia en la distribución de λ^r , los valores son marcadamente menores en general. Esto se debe a que las intersecciones provocan la división de una fibra enrollada en varias fibras más rectas. Este resultado es muy interesante si se tiene en cuenta la posible importancia de la distribución de reclutamiento en el comportamiento no lineal de las matrices nanofibrosas como se determinó en el capítulo 2, ya que una mayor densidad de intersecciones afectaría a la distribución de reclutamiento y, consecuentemente, a la no linealidad de la respuesta mecánica.

Para verificar la posibilidad de generar geometrías que asemejen a las reales para matrices electrohiladas, se compara la distribución de reclutamiento extraída a partir de análisis óptico de imágenes SEM (figura 3.1) con la distribución obtenida para una malla virtual generada con $\bar{D} = 1 \mu\text{m}$, $\tilde{L}_\mu = 250$, $l_s = 5$, $\theta_d^{max} = 17^\circ$ y $N_c = 5$, obteniendo una buena concordancia entre los histogramas (figura 3.16).

Densidad superficial de intersecciones

Finalmente, mediante el parámetro de la fracción de volumen (η) también es posible controlar el número de fibras que conforma cada capa, dado que con un menor número de fibras por capa, se generan menos intersecciones entre fibras de una misma capa y de capas adyacentes. La figura 3.17 muestra resultados de δ versus η para mallas generadas con $\bar{D} = 1 \mu\text{m}$, $\tilde{L}_\mu = 50$, $\tilde{l}_s = 1$, $\theta_d^{max} = 0$ y $N_f \approx 200$ ($N_c = 10$ para $\eta = 0,3$, $N_c = 15$ para $\eta = 0,2$ y $N_c = 30$ para $\eta = 0,1$). Se observa un aumento significativo de δ respecto de la fracción de volumen (3.17a) al mismo tiempo que disminuye la variabilidad estadística (3.17b).

Luego, también es posible estudiar la influencia del grado de alineamiento sobre la densidad superficial de intersecciones. A medida que se incrementa el alineamiento de la malla a lo largo de una dirección preferencial, se generan más fibras que son paralelas entre sí y que, por lo tanto, no generarán intersecciones. La figura 3.18 muestra esta disminución para mallas generadas con $\eta = 0,3$, $\bar{D} = 1 \mu\text{m}$, $\tilde{L}_\mu = 50$ y $N_c = 10$, $\theta_d^{max} = 5^\circ$ y diferente grado de alineamiento (figura 3.14): isotrópica (FDO uniforme $p^\theta(\theta) = \pi^{-1}$), moderada ($p^\theta(\theta)$ normal truncada con $\sigma^\theta = \pi/5$) y alta ($p^\theta(\theta)$ normal truncada con $\sigma^\theta = \pi/10$).

Tanto la dependencia de la densidad superficial de intersecciones respecto de la fracción de volumen como del grado de alineamiento de la malla resulta de importancia a la

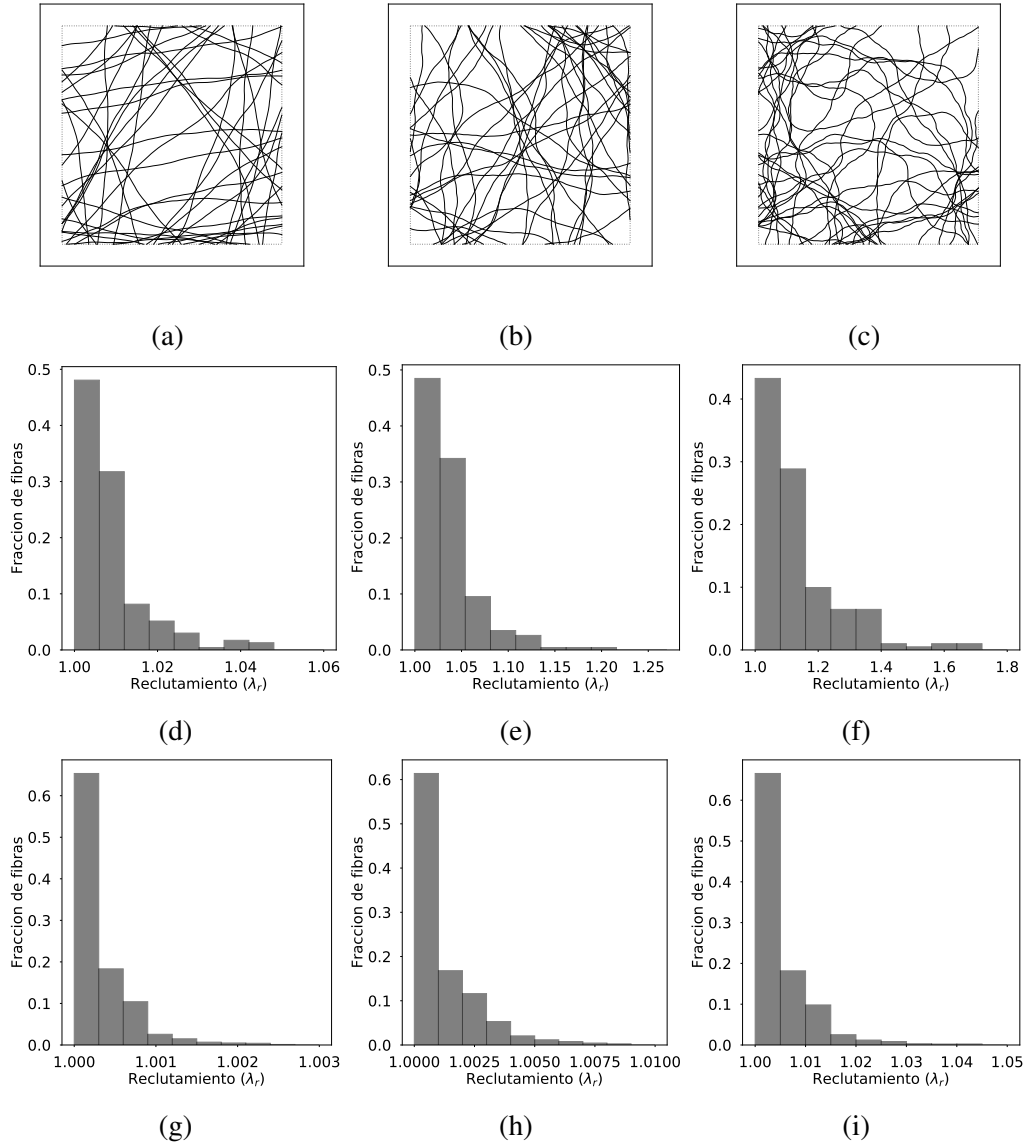


Figura 3.15: Diseño de geometrías con creciente nivel de enrutamiento. a), b) y c) Mallas generadas con $\eta = 0,3$, $N_c = 10$, $\bar{D} = 1 \mu\text{m}$, $\tilde{L}_\mu = 50$, $\tilde{l}_s = 1$ y $p^\theta(\theta) = \pi^{-1}$. Se muestran solo dos capas para mejor visualización. a) $\theta_d^{max} = 5^\circ$. b) $\theta_d^{max} = 10^\circ$. c) $\theta_d^{max} = 20^\circ$. d), e) y f) Distribuciones de reclutamiento correspondientes a cada malla, midiendo los valores de reclutamiento para cada fibra larga tal como fue depositada, sin subdividir las fibras en las intersecciones. g), h) y i) Distribuciones de reclutamiento correspondientes a cada malla, midiendo los valores de reclutamiento para cada fibra comprendida entre dos puntos unión.

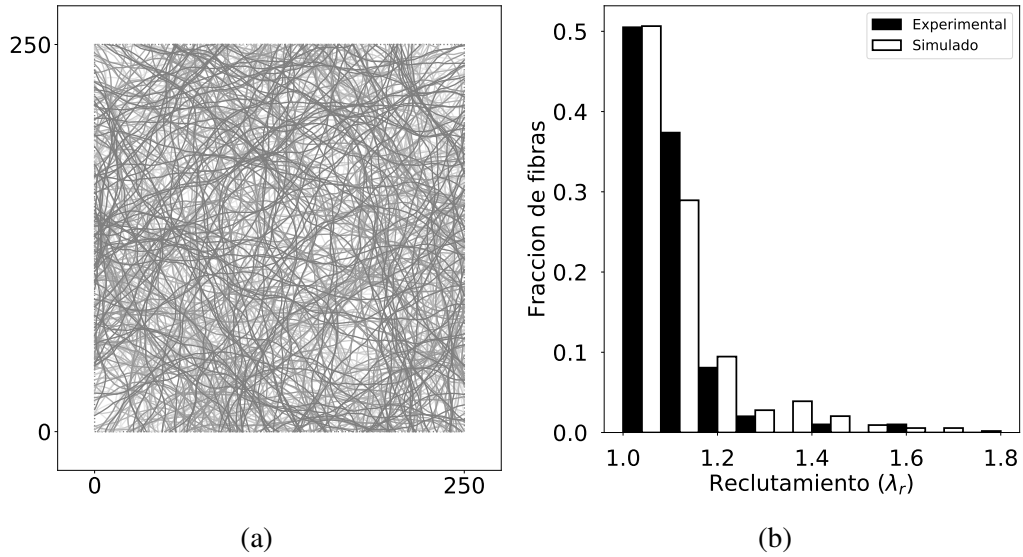


Figura 3.16: Comparación de la distribución de enrulamiento obtenida para mallas generadas mediante el algoritmo de deposición virtual con datos experimentales obtenidos a partir de análisis óptico de imágenes SEM.

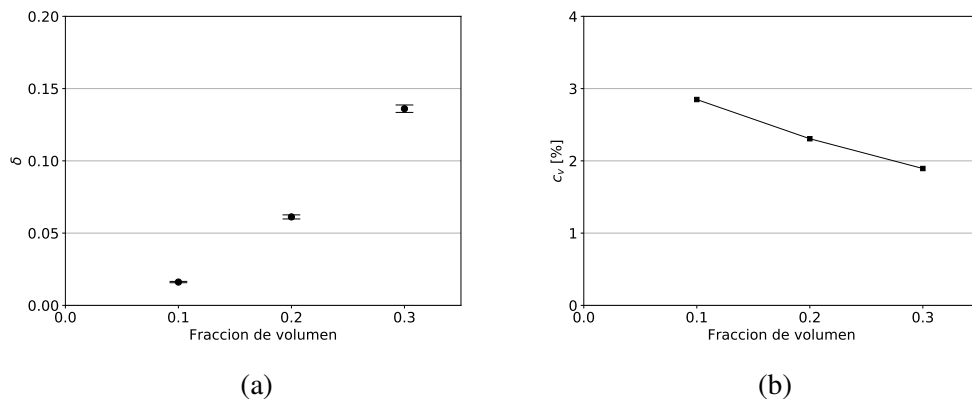


Figura 3.17: Dependencia de la densidad superficial de intersecciones respecto de la fracción de volumen. a) Valor medio de δ en un conjunto de 10 mallas vs. η . b) Coeficiente de variación para δ versus η .

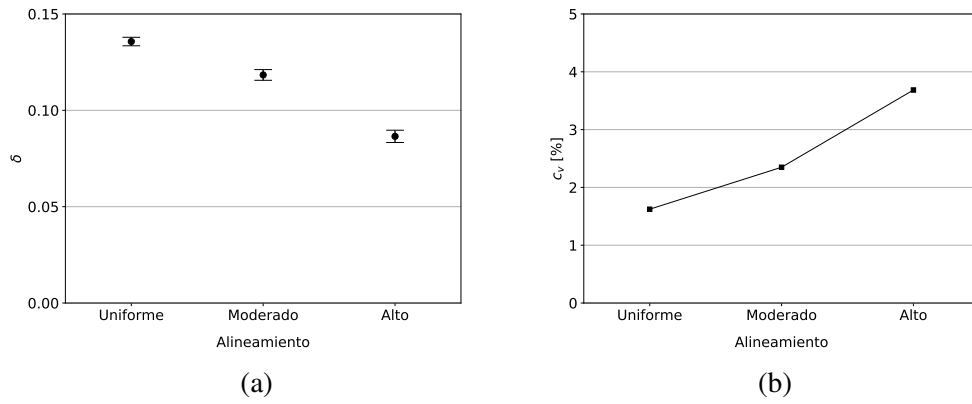


Figura 3.18: Dependencia de la densidad superficial de intersecciones respecto del grado de alineamiento de la malla. a) Valor medio de δ en un conjunto de 10 mallas vs. alineamiento. b) Coeficiente de variación para δ vs. alineamiento.

hora del diseño de microestructuras con fines específicos, dado que se trata de un parámetro predominante para la respuesta mecánica de las matrices fibrosas.

3.5. Conclusiones

En este capítulo se presentó un método para generar geometrías capaces de reproducir los aspectos más importantes de la microestructura de las matrices electrohiladas, pudiendo incluso ser extendido a otros materiales con microtopología de matriz fibrosa. El método se basa en la idea fundamental del electrohilado para simular la deposición virtual de fibras en un recinto preestablecido. En consecuencia, las geometrías obtenidas poseen aspectos fundamentales de las matrices electrohiladas como fibras de gran longitud y elevada relación de aspecto, estructura de capas planas superpuestas, alineamiento controlable, distribución de tortuosidad similar y puntos de unión en las intersecciones.

Debido a la naturaleza estocástica del proceso de deposición virtual de fibras, diferentes geometrías generadas bajo los mismos parámetros evidenciaron cierto grado de variabilidad. Se realizó el estudio del coeficiente de variación estadística para los parámetros más importantes que caracterizan la geometría fibrosa, encontrando que en todos los casos la variabilidad disminuye a medida que se aumenta el tamaño de malla. Consecuentemente, se llevó a cabo la calibración del tamaño mínimo necesario para que una malla pueda considerarse un RVE, requiriendo que la variabilidad caiga por debajo de un umbral preestablecido

Por la naturaleza estocástica de la deposición de las fibras durante el electrohilado, las matrices obtenidas poseen un grado de variabilidad apreciable incluso cuando son procesadas mediante los mismos parámetros de fabricación. Aún así, desde un punto de vista macroscópico el material resulta prácticamente homogéneo y evidencia características que engloban a una población de fibras suficientemente grandes como para poder establecer la separación de escalas (es decir, la existencia de propiedades bien definidas a nivel macroscópico). De forma equivalente se desea que las geometrías generadas, para su posterior aplicación como RVEs, sean del tamaño necesario para disponer de la población de fibras suficiente tal que la variabilidad estadística entre distintas mallas caiga por debajo de un umbral preestablecido.

Un aspecto interesante del modelo propuesto es la posibilidad de estimar la densidad superficial de intersecciones, así como su interdependencia con las otras variables. La identificación experimental de las intersecciones a partir de imágenes SEM resulta difícil, ya que las imágenes se limitan a las superficies exteriores de las matrices, además de la posibilidad de incurrir en errores en diferenciar intersecciones reales de intersecciones aparentes. Las pruebas llevadas a cabo mostraron que la densidad de intersecciones

aumenta al incrementar la fracción de volumen y disminuye para mallas alineadas. Esta información puede resultar de gran importancia a la hora de querer fabricar matrices electrohiladas con distinto grado de interconectividad.

La tecnología de biomateriales actual permite ejercer cierto grado de control sobre las microestructuras obtenidas, no siendo el electrohilado una excepción. De la misma manera, se mostró cómo el algoritmo de deposición virtual puede ser utilizado para obtener geometrías de diversas características para ajustarse a diferentes casos de materiales electrohilados, incluyendo fibras de diferente diámetro, mallas de diferente fracción de volumen de fibras, isotrópicas o alineadas y mayor o menor grado de enrulamiento de las fibras. Esta capacidad del algoritmo permite la realización de ensayos *in silico* que guíen a los estudios experimentales, sugieran nuevos desarrollos y optimicen el número de casos a ensayar, señalando a qué parámetros se les debe prestar especial atención y cuáles deberían estar bajo mayor control, a la hora de lograr microestructuras específicas con el objetivo de alcanzar la biomímesis.

La geometría fibrosa obtenida puede resultar una buena idealización para muchos materiales de interés en el campo de los biomateriales, teniendo como limitación más importante la naturaleza bidimensional de las mallas, consiguiendo la tridimensionalidad solo a partir de la superposición de capas planas. Sin embargo, la estructura de capas resulta una buena aproximación para las matrices electrohiladas además de otros biomateriales como las membranas basales presentes en muchos tejidos vivos. En tales materiales, las deflexiones de las fibras por fuera de su capa resultan como máximo de unos pocos diámetros de amplitud. En el modelo propuesto las fibras se mantienen invariablemente dentro de su capa, pero forman intersecciones con fibras de capas adyacentes, es decir, a un diámetro de distancia. Esta aproximación, aunque imperfecta, es una representación razonable de la topología real. De todas maneras, la metodología presentada, puede extenderse fácilmente para considerar la interacción de capas no adyacentes, si se introduce una probabilidad de contacto entre fibras en función de la distancia entre capas.

Capítulo 4

Modelo micromecánico para matrices fibrosas

4.1. Introducción

Los reemplazos de las arterias naturales, al igual que éstas, se encuentran sometidos a una presión fluctuante impuesta por el corazón que influye en el comportamiento de las células y los tejidos. Además, la implantación de injertos o prótesis altera la hemodinámica local y la distribución de tensiones en la pared arterial en la zona de anastomosis, causando restricciones mecánicas perjudiciales en la deformación de la arteria receptora durante el ciclo cardíaco [156]. Por lo tanto, en el campo de la ingeniería de tejidos, las propiedades mecánicas de los materiales que constituyen los injertos vasculares son un factor de relevancia en su diseño [157].

Actualmente, los injertos sintéticos aprobados clínicamente presentan una alta probabilidad de falla in vivo, debido en la mayoría de los casos a una discrepancia mecánica con la arteria nativa [157]. La discrepancia en la zona de anastomosis causa hiperplasia intimal y una reducción en la tasa de permeabilidad [18]. En particular, la discrepancia entre la compliancia del injerto vascular y la arteria nativa conduce a una falla para períodos prolongados de implantación, especialmente para conductos de pequeño diámetro [158]. En términos del comportamiento biomimético, un injerto vascular necesita una compliancia mecánica que logre un acuerdo geométrico, de tensiones y de deformaciones durante todo el ciclo pulsátil [18]. Teniendo en cuenta esto, la caracterización del desempeño mecánico de los injertos electrohilados juega un papel clave en el diseño y desarrollo de los mismos.

La utilización de simulaciones mecánicas realistas que logren vincular los fenómenos que ocurren a diferentes escalas puede resultar de gran ayuda para el diseño y manufactura de injertos vasculares de ingeniería de tejidos, especialmente si se considera

la capacidad de los métodos de fabricación actuales de ejercer control sobre propiedades microestructurales de relevancia. Más aún, un modelo multiescala que permita especificar una geometría microscópica que resulte en un comportamiento mecánico macroscópico deseado habilitaría la posibilidad de fabricar, en tiempos razonables, injertos vasculares hechos a medida no sólo desde un punto de vista geométrico sino también constitutivo.

Como se mencionó en el capítulo 1, las matrices electrohiladas poseen, al igual que muchos tejidos biológicos, una microestructura conformada por capas fibrosas superpuestas. Además, al igual que en los tejidos nativos, la heterogeneidad y anisotropía a nivel microscópico afecta el comportamiento mecánico macroscópico y la funcionalidad de los correspondientes biomateriales sintéticos. La respuesta constitutiva en tensión-deformación a nivel macroscópico es un resultado del promedio de las tensiones y deformaciones que se producen a nivel microscópico, y a su vez, la deformación de cada fibra a escala microscópica resulta de las posiciones y deformaciones de las fibras circundantes a través de las interconexiones de la malla fibrosa [159]. Claramente, para obtener un entendimiento detallado de estos fenómenos multiescala, es necesario proveer simulaciones mecánicas multiescala con un alto nivel de detalle a nivel microscópico.

En este capítulo se presenta un modelo micromecánico para mallas de fibras con el objetivo de ser implementado en un modelo multiescala para injertos vasculares electrohilados. Inicialmente se da una descripción detallada de la cinemática de una malla de fibras interconectadas y se explicitan las expresiones del equilibrio mecánico. Luego el modelo se valida con datos de ensayos experimentales de tracción uniaxial sobre matrices electrohiladas de PLLA. Finalmente, se efectúa un análisis de la evolución de la microestructura durante la tracción, evidenciando los mecanismos microscópicos que tienen lugar durante la deformación macroscópica.

4.2. Métodos experimentales

4.2.1. Materiales

Se utilizaron matrices nanofibras electrohiladas de PLLA (PLA2002D, M_n 78.02 kg/mol, M_w 129.91 kg/mol, IP 1.67) obtenidas empleando un colector plano. Las propiedades de la solución (10 % w/v PLLA en diclorometano (DCM) y dimetilformamida (DMF) en proporción 60:40 v/v), los parámetros de procesamiento (Voltaje 10 kV, distancia aguja-colector 10 cm y el caudal (0.5 ml/h) fueron optimizados por Montini Ballarin y colabo-

radores para obtener microestructuras nanofibras libres de defectos [133].

A partir de las membranas de PLLA, se separaron y prepararon muestras para ser recubiertas con oro y obtener su caracterización morfológica mediante análisis de imágenes SEM. Además se prepararon probetas tipo “hueso” para ser sometidas a ensayos de tracción uniaxial (figura 4.1).

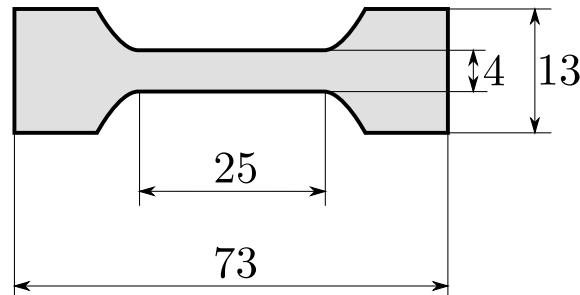


Figura 4.1: Esquema de una probeta de PLLA electrohilado para ensayos de tracción uniaxial. Las medidas se hayan en mm. El espesor se midió para cada probeta, con valores comprendidos entre 0.05 mm y 0.07 mm.

4.2.2. Caracterización morfológica

La caracterización morfológica de las matrices electrohiladas de PLLA se realizó a partir de micrografías tomadas en un microscopio electrónico de barrido (JSM-6460LV, JEOL, Akishima, Tokio, Japón) luego de recubrir las muestras con oro. Las imágenes obtenidas se analizaron utilizando un software de procesamiento digital de imágenes (Image Pro Plus, Media Cybernetics Inc., USA) para medir el diámetro, la orientación y el enrutamiento de las fibras. A fin de obtener datos estadísticamente significativos se midieron 100 fibras para cada muestra, obteniendo histogramas correspondientes a cada variable medida.

4.2.3. Caracterización mecánica

Se llevaron a cabo ensayos de tracción uniaxial con probetas tipo “hueso” con dimensiones $25 \times 4 \times 0,06-0,08$ mm (alto \times ancho \times espesor del área calibrada) y $12,5 \times 12,5$ mm (alto \times ancho de área de sujeción), como indica la figura 4.1. Se utilizó una máquina de ensayos universales Instron EMIC 23-50 de control de desplazamiento, imponiendo una velocidad de mordaza de 6 mm/min.

Debido a la no linealidad esperada en la deformación del material, se optó por determinar la deformación de la probeta a través de la técnica de Correlación Digital de

Imágenes (*Digital Image Correlation, DIC*) [160]. La técnica DIC, como se implementa en este trabajo de tesis doctoral, puede entenderse como una técnica de identificación de imágenes aplicada a la medición de la deformación de un objeto. Esta técnica es capaz de correlacionar las imágenes digitales de un objeto antes y después de la deformación y, aún más, determinar el desplazamiento y el campo de deformación de dicho objeto en función de la posición correspondiente en la imagen actual y la de referencia. También tiene ventajas de obtención de campo completo, sin contacto con la muestra y una precisión considerablemente alta para mediciones de desplazamiento y deformación [161, 162].



Figura 4.2: Ensayos de tracción uniaxial con Correlación Digital de Imágenes (DIC). La obtención del campo de deformaciones de la probeta permite establecer la deformación real de la probeta en su punto de encuellamiento, donde consecuentemente se produce la rotura.

Para este fin, previo a los ensayos, se le realiza a cada probeta un tratamiento de *speckle* con tinta para obtener un patrón de puntos distribuidos por todo su área. Se filmó la totalidad de la duración de cada ensayo empleando un sistema con una cámara de fotos de alta calidad¹ (figura 4.2 (Correlated Solutions Inc., Irmo, USA)). Luego, de manera posterior al ensayo, se realizó el procesamiento de las imágenes para obtener los campos de desplazamientos y deformaciones correspondientes utilizando el sistema Vic-2D®(Correlated Solutions Inc., Irmo, SC 29063, USA) (figura 4.3).

Luego, se utilizó esta información para conformar las curvas de tensión-deformación, utilizando la deformación en la sección de falla. Sin embargo, al momento preciso de la rotura, las grandes distorsiones que toman lugar impiden que el software logre el seguimiento de los puntos materiales, por lo que a partir de ese instante se continúa la curva mediante una extrapolación empleando la información del desplazamiento de las mordazas.

¹Resolución 2448×2048 , *Frame Rate* 75 Hz

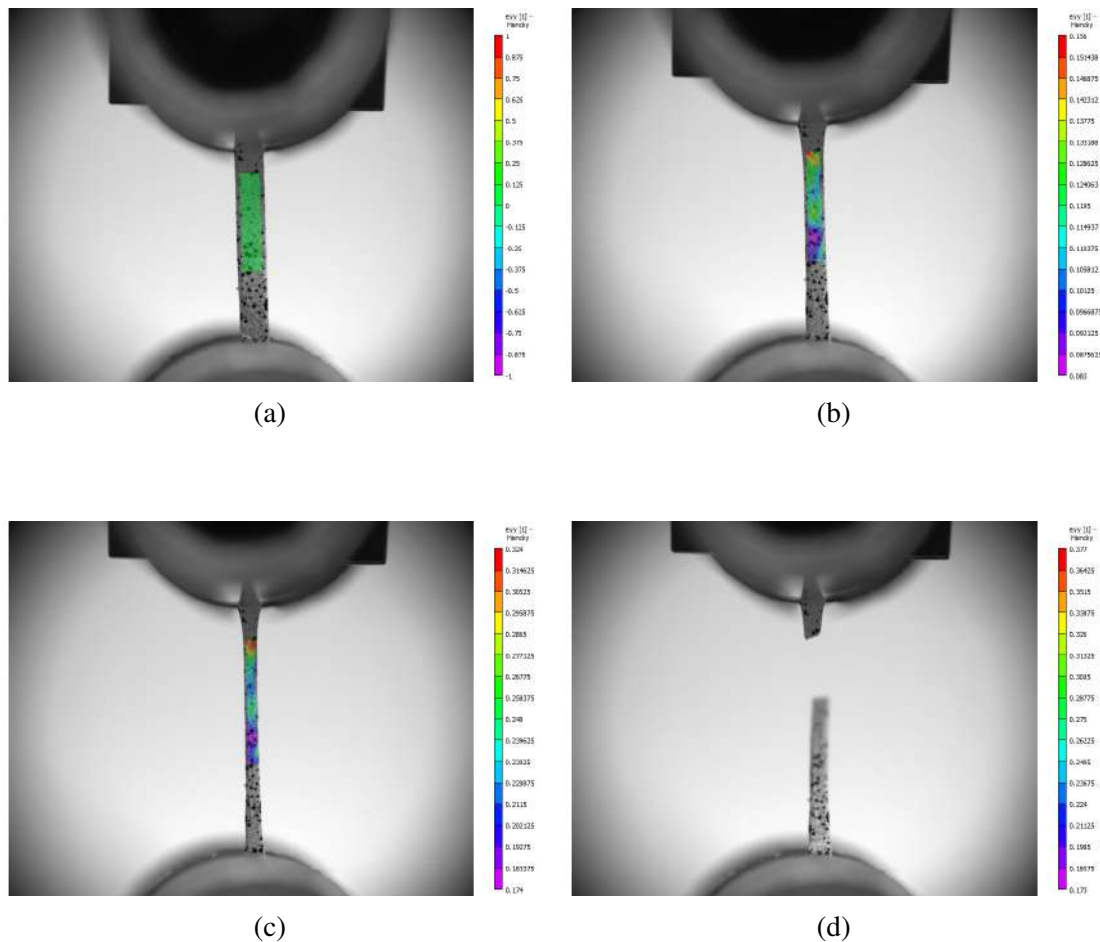


Figura 4.3: Ensayos de tracción uniaxial con Correlación Digital de Imágenes (DIC). La obtención del campo de deformaciones de la probeta permite establecer la deformación real de la probeta en su punto de encuellamiento, donde consecuentemente se produce la rotura.

4.3. Resultados Experimentales

La respuesta mecánica de las matrices de PLLA mostró un comportamiento elasto-plástico con cierto grado de endurecimiento por fluencia (figura 4.4). La variación entre las curvas de tensión ingenieril versus deformación es relativamente baja, teniendo valores muy similares en el módulo elástico, tensión de fluencia y endurecimiento por plasticidad (tabla 4.1).

Las muestras presentaron una morfología nanofibrosa uniforme, con una distribución de diámetros unimodal (463 ± 131 nm) y una distribución aleatoria de orientaciones ($92^\circ \pm 53^\circ$) (figura 4.5). Por otra parte, el histograma de reclutamiento muestra una distribución asimétrica positiva, típico de variables que presentan una cota inferior. En este caso, la elongación de reclutamiento de una fibra nunca puede ser menor a 1 (correspondiente

Tabla 4.1: Propiedades constitutivas de las matrices electrohiladas de PLLA ensayadas.

	#1	#2	#3	Promedio	Desv.Est.
Módulo elástico (MPa)	76,7	105,6	127,2	103,2	20,7
Tensión de fluencia (MPa)	1,46	1,33	1,47	1,42	0,06
Módulo post-fluencia (MPa)	6,92	5,63	6,08	6,21	0,54

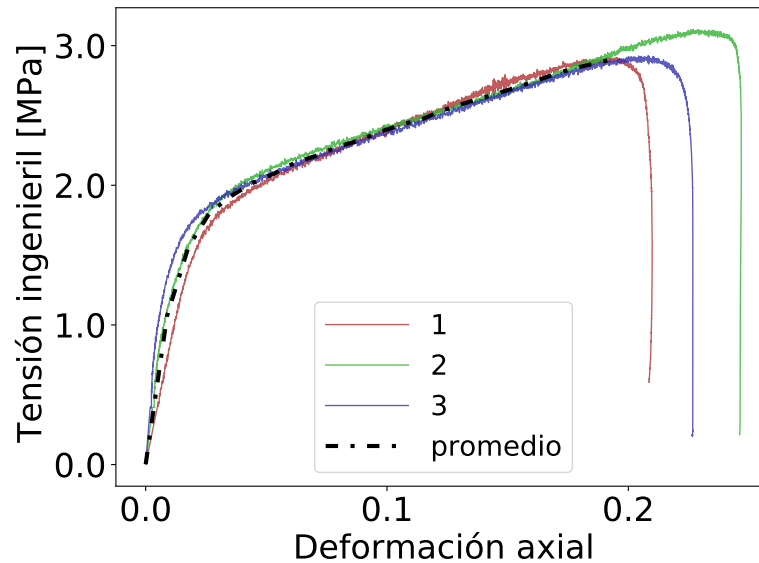


Figura 4.4: Curvas experimentales de tensión versus deformación para las probetas de PLLA. Se ensayaron 3 probetas, obteniendo una baja variación en las curvas. Se muestra también la curva experimental promedio.

a fibras en su estado de reposo) y por eso ocurre la asimetría de la distribución.

4.4. Modelo micromecánico de mallas fibrosas

En el capítulo 3 se estableció una descripción geométrica de una malla fibrosa, así como un algoritmo de deposición virtual capaz de generar geometrías que se asemejan en gran medida a las microestructuras electrohiladas. La base de esta geometría es la deposición, en un recinto previamente delimitado, de fibras largas que abarcan todo el dominio, entrando por un borde y saliendo por otro. Luego, se computan puntos de unión entre las fibras largas en las intersecciones producidas, generando subdivisiones en fibras más cortas comprendidas entre dos puntos de unión, a las que se referirá de aquí en adelante, para mejor claridad, simplemente como fibras.

Esta conceptualización arroja una microestructura virtual que consiste en una red de fibras interconectadas en sus extremos como muestra la figura 4.6, donde los elementos

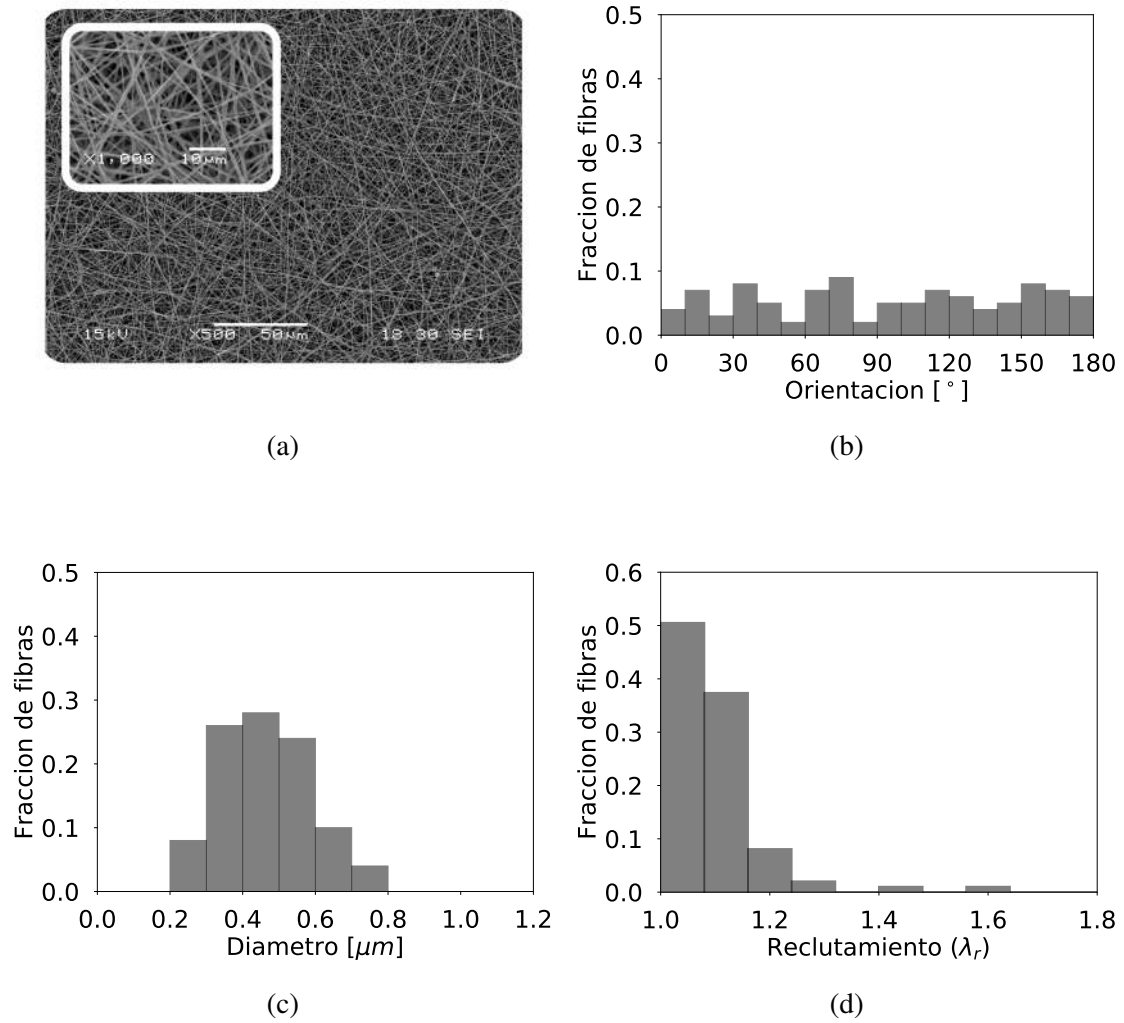


Figura 4.5: Caracterización morfológica de las muestras electrohiladas de PLLA. a) Imagen SEM donde se observa la microestructura nanofibrosa uniforme. b) Histograma de orientaciones (ángulo respecto de la horizontal) con una distribución aleatoria ($92^\circ \pm 53^\circ$). c) Histograma de diámetros con una distribución unimodal (463 ± 131 nm). d) Histograma de elongaciones de reclutamiento con una distribución asimétrica positiva.

constituyentes son fibras y nodos. Los nodos pueden ser fronterizos o interiores: los fronterizos corresponden a los puntos donde las fibras entran o salen del RVE, mientras que los interiores son aquellos donde las fibras originales se intersectan.

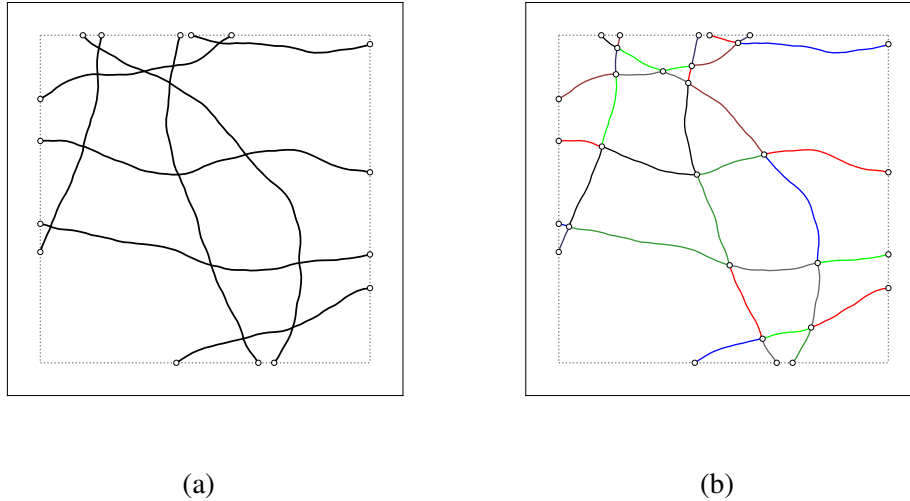


Figura 4.6: Malla de unas pocas fibras virtualmente depositadas. a) Las fibras tal como se depositan durante el proceso de deposición virtual, sin intersecciones. Los círculos indican los nodos fronterizos. b) Las fibras con intersecciones entre sí y subdivididas en fibras más cortas. Los círculos indican los nodos intersección además de los fronterizos. Los colores se introducen sólo para diferenciar entre fibras, sin responder a ningún valor.

En esta sección se presenta un modelo mecánico para este RVE, incluyendo una descripción cinemática y el planteo de las ecuaciones de equilibrio.

4.4.1. Cinemática

Cada fibra de la malla, comprendida entre dos nodos, está determinada por una curva paramétrica en el dominio bidimensional de la capa a la que pertenece. Además, puede darse una representación reducida de la fibra mediante su línea extremo-extremo y su valor de elongación de reclutamiento. De esta forma, la posición y elongación efectiva de cada fibra queda determinada enteramente por las posiciones de sus nodos extremos. Luego, el desplazamiento de la malla queda determinado únicamente por los desplazamientos de sus nodos.

Resulta conveniente establecer numeraciones para el conjunto de nodos (\mathcal{N}) y para el conjunto de fibras (\mathcal{F}) de la malla, para lo cual se establece la siguiente notación:

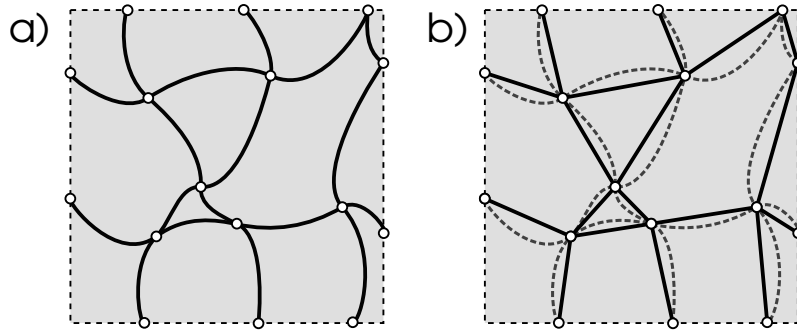


Figura 4.7: Esquema de fibras electrohiladas interconectadas en puntos de unión entre dos fibras: a) Las fibras con su geometría curvada y b) Las fibras descritas por la línea extremo-extremo (sólida) entre nodos, además de un valor de reclutamiento como la relación entre la longitud extremo-extremo y la longitud de contorno de la fibra curva (línea punteada).

$$\mathcal{N} = \{i; i = 1, \dots, N_n\} \quad (4.1)$$

$$\mathcal{F} = \{i; i = 1, \dots, N_f\} \quad (4.2)$$

Cada nodo n de la malla se desplace desde su posición inicial \mathbf{Y}_n hasta su posición actual \mathbf{y}_n , pudiendo definir así al vector desplazamiento nodal como:

$$\mathbf{U}_n^\mu = \mathbf{y}_n - \mathbf{Y}_n \quad (4.3)$$

donde el sobreíndice μ se utiliza para indicar que se trata de desplazamientos a nivel de microescala, para diferenciarlos de los desplazamientos de la macroescala.

Mientras que el desplazamiento de la malla resulta una N_n -*tupla* de vectores, pudiendo definirse como un elemento del siguiente espacio vectorial:

$$\mathcal{U}^\mu = \{\mathbf{U}_\mu = \{\mathbf{U}_n^\mu\}; \mathbf{U}_n^\mu \in \mathbb{R}^3, n = 1, \dots, N_n\} \quad (4.4)$$

Dado que las fibras están definidas siempre entre dos nodos, puede identificarse cada fibra como una dupla ordenada de nodos:

$$\mathcal{F} = \{i \mapsto (i_1, i_2), i_1 \in \mathcal{N}, i_2 \in \mathcal{N}, i = 1, \dots, N_f\} \quad (4.5)$$

donde i_1 e i_2 son los nodos inicial y final, respectivamente, de la fibra i .

Además, cada fibra i de la malla posee un diámetro D_i y una longitud de contorno inicial L_i^0 (longitud de arco entre dos extremos). Adicionalmente, determinados por las posiciones de sus nodos extremos puede definirse su longitud extremo-extremo inicial l_i^0 y su correspondiente versor orientación inicial \mathbf{a}_i^0 (figura 4.8):

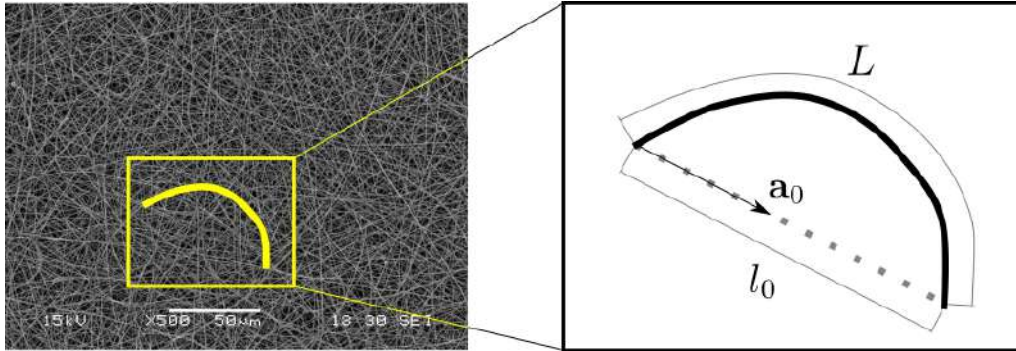


Figura 4.8: En la micrografía se identifica una nanofibra entre dos puntos de unión (izq.) y se muestra un esquema aumentado de la misma con los parámetros que determinan su configuración inicial (der.): longitud de contorno en reposo L^0 , longitud extremo a extremo en reposo l^0 y un versor orientación \mathbf{a}^0 . El diámetro D puede ser medido a partir de una imagen con mayor magnificación.

$$l_i^0 = \|\mathbf{Y}_{i_2} - \mathbf{Y}_{i_1}\| \quad (4.6)$$

$$\mathbf{a}_i^0 = \frac{\mathbf{Y}_{i_2} - \mathbf{Y}_{i_1}}{l_i^0} \quad (4.7)$$

La deformación elástica de la fibra i está determinada por tres parámetros: su longitud de contorno en reposo L_i^0 , su longitud extremo-extremo en reposo l_i^0 y su longitud extremo-extremo actual l_i . Se define como medida de esta deformación a la elongación extremo-extremo:

$$\lambda_i = \frac{l_i}{l_i^0} \quad (4.8)$$

Dado que afecta significativamente su comportamiento mecánico, es importante identificar si la fibra se halla enrollada o recta. Para ello se define el valor de elongación de

reclutamiento, como el valor de λ_i para el cual la fibra deviene recta:

$$\lambda_i^r = \frac{L_i^0}{l_i^0} \quad (4.9)$$

Entonces, la fibra se encuentra: i) curvada o enrulada si $\lambda_i < \lambda_i^r$ ($l_i < L_i^0$) o ii) recta si $\lambda_i \geq \lambda_i^r$ ($l_i \geq L_i^0$).

Luego, en caso de existir deformación plástica, ésta resulta en un alargamiento de la longitud natural de la fibra. Como se han identificado dos medidas de longitud de referencia (L_i^0 y l_i^0), pueden establecerse una medida de elongación plástica para cada una: la elongación plástica de contorno λ_p^c y la elongación plástica extremo-extremo λ_p^e . De esta forma, las longitudes naturales o de reposo de la fibra resultan:

$$L_i^{0'} = \lambda_p^c L_i^0 \quad (4.10)$$

$$l_i^{0'} = \lambda_p^e l_i^0 \quad (4.11)$$

donde $L_i^{0'}$ y $l_i^{0'}$ representan las longitudes de reposo de la fibra luego de sufrir deformación plástica (L_i^0 y l_i^0 son los valores iniciales, previo a toda deformación plástica).

Adicionalmente, se define el vector orientación deformado \mathbf{a}_i según las posiciones actuales de los nodos extremos:

$$\mathbf{a}_i = \frac{\mathbf{y}_{i_2} - \mathbf{y}_{i_1}}{l_i^0} \quad (4.12)$$

de donde puede deducirse además que $\|\mathbf{a}_i\| = \lambda_i$.

Por otro lado, cada nodo n de la malla se encuentra conectado al conjunto de N_f^n fibras \mathcal{F}_n :

$$\mathcal{F}_n = \{i = (i_1, i_2), i_1 \in \mathcal{N}, i_2 \in \mathcal{N}, i = 1, \dots, N_f, \text{ tal que } n \in (i_1, i_2)\} \quad (4.13)$$

Y cada fibra de este conjunto posee un vector orientación que puede ser saliente o entrante al nodo según los siguientes casos (figura 4.9):

$$n = i_1 \implies \text{vector orientación saliente} \quad (4.14)$$

$$n = i_2 \implies \text{vector orientación entrante} \quad (4.15)$$

Luego, resulta útil definir un vector orientación siempre saliente para la fibra i conectada con el nodo n , dado por:

$$\mathbf{a}_i^n = \begin{cases} \mathbf{a}_i & \text{si } n = i_1 \\ -\mathbf{a}_i & \text{si } n = i_2 \end{cases} \quad (4.16)$$

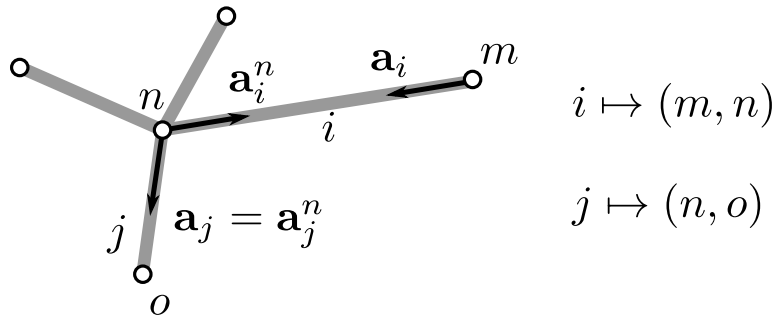


Figura 4.9: Esquema del nodo n de la malla y las fibras que se conectan con el mismo. De las cuatro fibras conectadas se indican dos con numeración i y j respectivamente. De los nodos circundantes se indican dos con la numeración m y o . Para la fibra i , el nodo n es su nodo final ($n = i_2$, su vector orientación \mathbf{a}_i es entrante al nodo), por lo que se da el caso que $\mathbf{a}_i^n = -\mathbf{a}_i$ (ver ecuación 4.16). En cambio, para la fibra j el nodo n es su nodo inicial ($n = j_1$, su vector orientación \mathbf{a}_j es saliente del nodo), por lo que $\mathbf{a}_j^n = \mathbf{a}_j$.

4.4.2. Equilibrio

Bajo una cierta deformación de la malla, cada fibra i desarrolla una tensión ingenieril t_i y, por lo tanto, una fuerza de magnitud $q_i = t_i \pi D_i^2 / 4$. Luego, el vector fuerza que la fibra i desarrolla sobre cada nodo n está dado por:

$$\mathbf{q}_i^n = q_i \frac{\mathbf{a}_i^n}{\lambda_i} \quad (4.17)$$

A su vez, el nodo n está en equilibrio si la suma de todas las fuerzas que ejercen las fibras conectadas con él se anula:

$$\sum_{i \in \mathcal{F}_n} \mathbf{q}_i^n = \mathbf{0} \quad (4.18)$$

Siguiendo con este razonamiento, el equilibrio de la malla ocurre para el elemento $\mathbb{U}_\mu \in \mathcal{U}^\mu$ tal que la sumatoria de fuerzas ejercidas por las fibras sobre cada uno de los nodos interiores sea cero:

$$\sum_{i \in \mathcal{F}_n} \mathbf{q}_i^n = \mathbf{0} \quad \forall n \in \mathcal{N} \quad (4.19)$$

La expresión 4.19 consiste en un sistema de $2N_n$ ecuaciones con $2N_n$ incógnitas si se considera una malla plana bidimensional. Para su implementación computacional resulta útil reexpresar la sumatoria sobre todas las fibras y no solamente las que se encuentran conectadas al nodo n . Para ello, en primer lugar se redefine al vector orientación saliente \mathbf{a}_i^n para admitir el valor nulo en el caso que la fibra i no se encuentre conectada con el nodo n :

$$\mathbf{a}_i^n = \begin{cases} \mathbf{a}_i & \text{si } n = i_1 \\ -\mathbf{a}_i & \text{si } n = i_2 \\ \mathbf{0} & \text{si } n \notin (i_1, i_2) \end{cases} \quad (4.20)$$

Luego, equilibrio mecánico dado por 4.19 equivale a:

$$\sum_{i \in \mathcal{F}} \mathbf{q}_i^n = \mathbf{0} \quad \forall n \in \mathcal{N} \quad (4.21)$$

Finalmente, para resolver este sistema de ecuaciones mediante un sistema iterativo de tipo Newton-Raphson se debe plantear una linealización a partir de posiciones nodales conocidas \mathbf{y}_j^k , que determinan una deformación dada por el elemento \mathbb{U}_μ^k , para obtener

las posiciones nodales de la iteración siguiente \mathbf{y}_j^{k+1} :

$$\sum_{i \in \mathcal{F}} \left[\mathbf{q}_i^n(\mathbb{U}_\mu^k) + \frac{\partial \mathbf{q}_i^n}{\partial \mathbf{y}_j} \Big|_{\mathbb{U}_\mu^k} (\mathbf{y}_j^{k+1} - \mathbf{y}_j^k) \right] = \mathbf{0} \quad \forall n \in \mathcal{N} \quad (4.22)$$

4.4.3. Condiciones de contorno y ecuaciones constitutivas

El problema microscópico necesita vincularse mediante restricciones cinemáticas respecto de la deformación macroscópica. Para lograr esto se postula un modelo afín en la frontera, es decir, que todos los nodos fronterizos se tratan como nodos de Dirichlet cuyos desplazamientos van dados a partir del tensor gradiente de deformaciones macroscópico \mathbf{F} según:

$$\mathbf{U}^\mu = (\mathbf{F} - \mathbf{I}) \mathbf{Y} \quad (4.23)$$

Es necesario, además, proveer de alguna ecuación constitutiva para la tensión t desarrollada por una fibra bajo deformación. Manteniendo la conceptualización realizada en el capítulo 2, y acorde a la cinemática desarrollada en la sección 4.4.1, se asume una ley elasto-plástica según la fibra esté enrutada o recta:

$$t(\lambda) = \begin{cases} E_b \left(\frac{\lambda}{\lambda_p} - 1 \right) & \text{if } \lambda < \lambda^r \lambda_p \\ E_b \left(\frac{\lambda^r}{\lambda_p} - 1 \right) + E_t \left(\frac{\lambda}{\lambda^r \lambda_p} - 1 \right) & \text{if } \lambda \geq \lambda^r \lambda_p \end{cases} \quad (4.24)$$

donde E_b el módulo de rigidez de la fibra enrutada, E_t el módulo de rigidez de la fibra recta a la tracción y se admite para la deformación plástica un único valor $\lambda_p = \lambda_p^e = \lambda_p^c$ (ver ecuaciones 4.10 y 4.11).

Para calcular λ_p se necesita la tasa de deformación plástica $\dot{\lambda}_p$, para la cual se postula una ley constitutiva dependiente de la tensión ingenieril de la fibra:

$$\dot{\lambda}_p = a_p \sinh \left(\frac{t_i}{b_p \lambda_p^c} \right) \quad (4.25)$$

donde a_p es un parámetro de proporcionalidad con unidades s^{-1} , b_p una resistencia a la

fluencia con unidades de tensión y c_p un parámetro de endurecimiento por plasticidad.

Adicionalmente, se introduce una tensión límite t^{rot} para el cual las fibras se rompen. De esta forma, cualquier fibra de la malla que bajo deformación alcance este valor de tensión es identificada como rota y su aporte tensional se vuelve nulo para todo instante posterior. A efectos prácticos, resulta equivalente a retirar las fibras que se rompen del set \mathcal{F} .

4.5. Resultados

4.5.1. Comparación con datos experimentales

Para validar el modelo micromecánico propuesto se comprueba la capacidad de reproducir correctamente la respuesta mecánica de las mallas electrohiladas. Para ello se compara la respuesta homogeneizada obtenida de simulaciones con los datos experimentales ya presentados de ensayos mecánicos de tracción uniaxial (figura 4.4).

Los parámetros geométricos para la construcción del RVE se toman para reproducir correctamente las distribuciones de orientación y reclutamiento, mientras que se adopta para todas las fibras el diámetro medio (tabla 4.2). El módulo elástico de las fibras rectas a la tracción se fija en 3.0 GPa, valor que ha sido reportado en la literatura para fibras de PLLA con diámetros cercanos al valor medido [138, 163]. El módulo elástico de las fibras enrolladas, si bien es crucial para evitar indeterminaciones en los desplazamientos, es mucho menor que el de las fibras rectas y posee una baja incidencia en la respuesta mecánica tal como se vio en el capítulo 2. En este apartado se adopta un valor de 3.0 MPa. El resto de los parámetros (a_p , b_p , c_p , t^{rot}) son optimizados por cuadrados mínimos para obtener un buen ajuste entre la curva tensión-deformación simulada y los datos experimentales (tabla 4.3). La respuesta mecánica simulada reproduce fielmente las curvas de tensión vs. deformación obtenidas experimentalmente, incluyendo el módulo elástico, tensión de fluencia, endurecimiento por plasticidad y tensión de rotura (figura 4.10).

Se halla también una discrepancia en la pendiente de la curva posterior a la rotura de las primeras fibras. Mientras que en las curvas experimentales se tiene un descenso pronunciado de la tensión indicando un rompimiento brusco de un gran número de fibras, en los resultados computacionales se obtiene un rompimiento gradual de fibras, otorgando un descenso igualmente gradual de la tensión. Es factible que esta diferencia se deba al hecho de haber realizado las simulaciones sobre un RVE en lugar de sobre un componen-

te macroscópico que emule macroscópicamente a la probeta ensayada, donde el efecto del encuellamiento genera un aumento localizado de la deformación, resultando en un rompimiento más brusco.

Tabla 4.2: Parámetros del algoritmo de deposición virtual de fibras utilizados para generar los RVE necesarios para validar el modelo micromecánico.

$\bar{D}[\mu\text{m}]$	η	\tilde{L}_μ	\tilde{l}_s	θ_d^{max}	N_c	p^θ
0.45	0.1	250	5	17°	5	π^{-1}

Tabla 4.3: Parámetros optimizados para reproducir la respuesta en tensión-deformación de ensayos experimentales de tracción uniaxial.

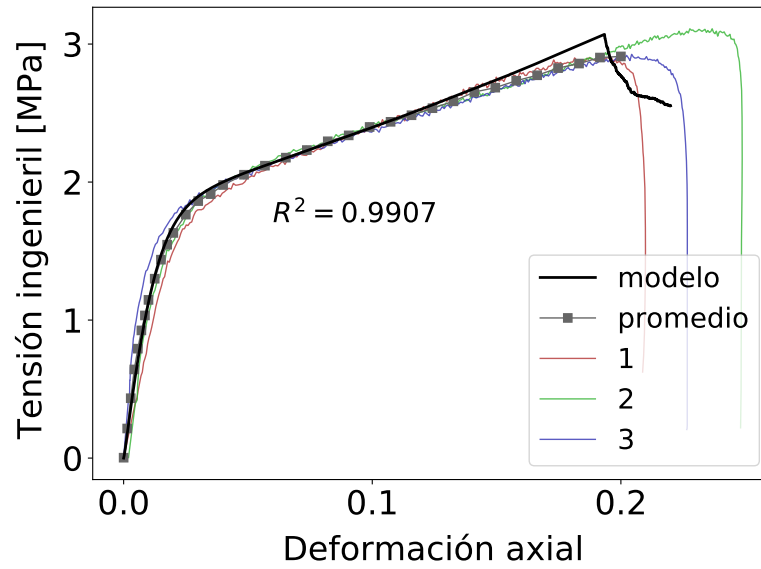
$E_t[\text{MPa}]$	$E_b[\text{MPa}]$	$a_p[1/\text{s}]$	$b_p[\text{MPa}]$	c_p	$t^{rot}[\text{MPa}]$
3.0×10^3	3.0	1×10^{-3}	17.0	0.5	36

Es importante resaltar que esta respuesta se obtiene con una geometría de RVE realista que concuerda con las distribuciones medidas de orientación, diámetro y enrulamiento. Además el valor optimizado para la fracción de volumen resulta razonable ya que se encuentra en el rango reportado por estudios experimentales sobre matrices electrohilada de PLLA ($\eta > 80\%$) [164]. Asimismo, la curva constitutiva para cada nanofibra (figura 4.10b) permanece cercana a lo reportado para nanofibras individuales de PLLA de diámetros similares [138]. Esta cuestión refuerza la capacidad del modelo multiescala como herramienta de diseño, ya que logra relacionar de forma acertada las variables microestructurales y micromecánicas con la respuesta mecánica macroscópica.

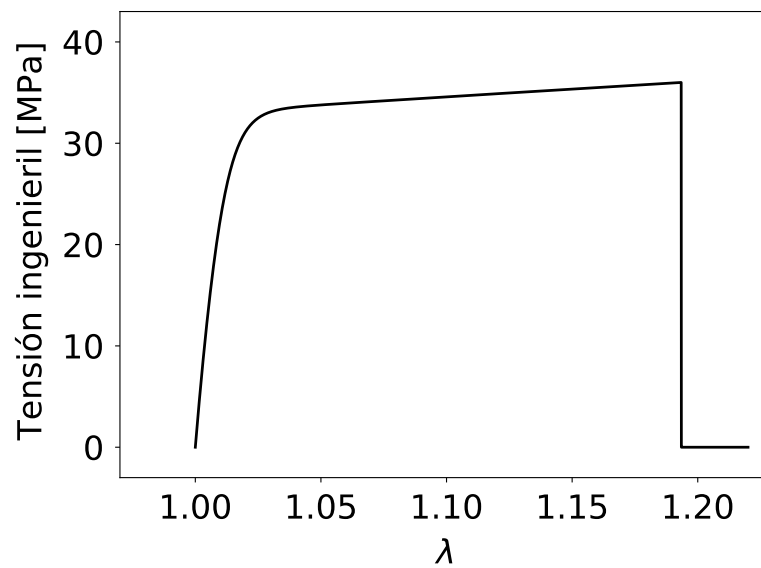
4.5.2. Análisis de la respuesta mecánica del RVE

Análisis de la cinemática microscópica bajo deformación

La deformación de la malla dada por los desplazamientos nodales para cada valor del tensor gradiente de desplazamientos macroscópico resulta muy similar a la deformación afín. En la figura 4.11 puede observarse que las posiciones nodales y las líneas extremo-extremo de las fibras entre puntos de unión mantienen gran coincidencia con sus contrapartes afines. Sólo se advierte una desviación significativa entre la configuración de equilibrio y la afín cuando se producen roturas en las fibras que alteran el balance de fuerzas de sus nodos extremos (4.11).



(a)



(b)

Figura 4.10: Comparación de la respuesta homogeneizada del RVE con curvas de tensión-deformación experimentales. a) La curva tensión-deformación simulada muestra muy buen acuerdo con las curvas obtenidas de ensayos experimentales. El ajuste con la curva promedio arroja un $R^2 = 0.9907$ (sin considerar la sección posterior a la rotura). b) Curva constitutiva correspondiente una fibra individual con los parámetros optimizados.

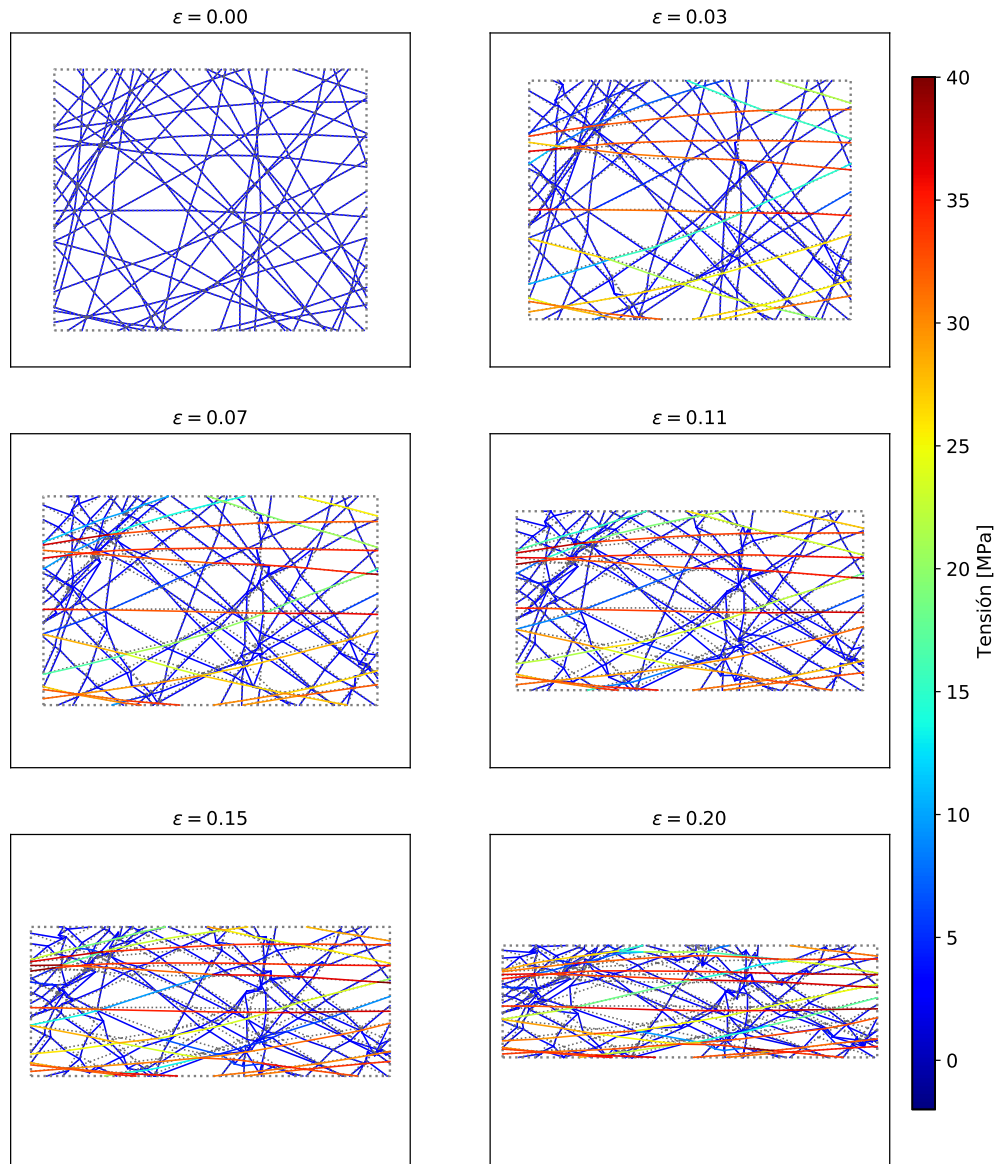


Figura 4.11: Deformación de una malla de pocas fibras (para mejor visualización) bajo tracción uniaxial (en la dirección horizontal). La barra de color indica la tensión de las fibras en MPa. Las líneas punteadas indican la deformación afín para comparación. Puede observarse cómo se forma un subgrupo de fibras alineadas a la dirección de carga que soportan la misma. Además puede verse que las fibras con orientación transversal incrementan su enrutamiento, sin reclutarse.

Adicionalmente, para cuantificar la cercanía entre las configuraciones se presentan resultados de la evolución de diferentes variables propias de la malla a medida que avanza la deformación (figura 4.12).

A medida que aumenta la deformación del RVE bajo tracción uniaxial, las fibras rotan y aumenta la alineación de la malla en la dirección de la carga. Este alineamiento por deformación se da de manera levemente más pronunciada para la malla bajo equilibrio mecánico que para el caso afín.

También puede observarse que sólo las fibras orientadas con la dirección de tracción poseen elongaciones mayores a 1. Más aún, las fibras que se encuentran orientadas transversalmente a la dirección de carga se vuelven cada vez más enruladas. Teniendo en consideración la casi nula resistencia de las fibras enruladas respecto de las que se hallan rectas y estiradas, puede inferirse que existe un subconjunto de fibras que soporta activamente la carga, mientras que el resto no realiza un aporte significativo a la resistencia mecánica.

Es importante destacar que este subconjunto no es estático, sino que por causa del alineamiento por deformación previamente descrito, aumenta en número de fibras acorde avanza la tracción. Esta descripción corresponde a un proceso microscópico de *reclutamiento de fibras por reorientación* que actúa de manera complementaria al reclutamiento de fibras por desenrulamiento ya detallado en el capítulo 2: mientras que el desenrulamiento de las fibras ocurre a bajas deformaciones ($< 0,05$), la reorientación se agudiza justamente a deformaciones más altas.

Es pertinente recordar que la configuración de equilibrio se obtiene de plantear los balances de fuerza nodales, mientras que la configuración afín surge de aplicar el tensor gradiente de deformación macroscópico a todo el RVE. Por ello mismo es sorprendente el alto grado de acuerdo obtenido entre ambas configuraciones bajo deformación. La importancia de este resultado radica en poder considerar como válidos los resultados de modelos afines donde la deformación se determina directamente a partir del \mathbf{F} macroscópico como fue el caso del RVE del capítulo 2.

4.6. Conclusiones

En este capítulo se presentó un modelo micromecánico para mallas de fibras interconectadas susceptible de ser utilizado como herramienta de diseño para reemplazos de ingeniería de tejidos.

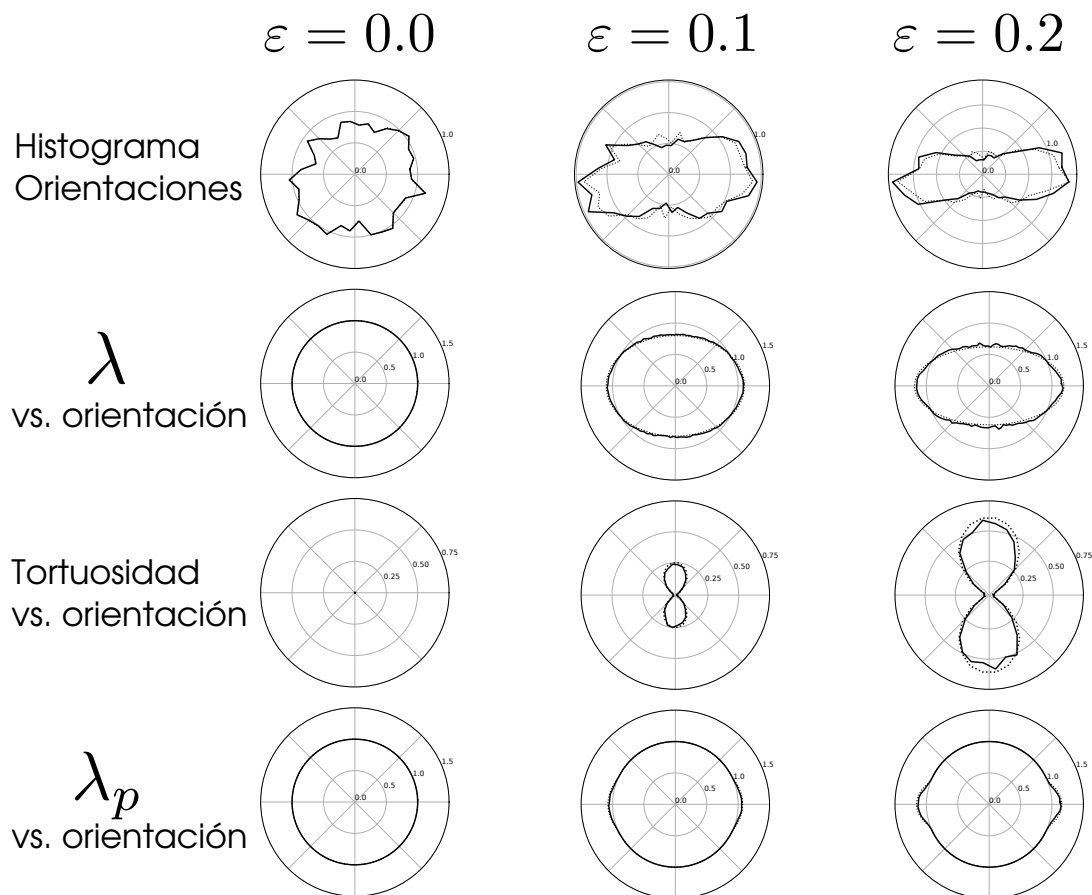


Figura 4.12: Evolución de los parámetros de la malla bajo tracción uniaxial. El histograma de orientaciones presenta, para cada ángulo de orientación, la frecuencia de fibras que ocurre en cada intervalo de 10° . Para el resto de las variables se grafica el valor medio de la misma para las fibras que caen dentro del intervalo. La tortuosidad de cada fibra está definida como $L/l - 1$.

Para validar el modelo, se comparó la respuesta en tensión homogeneizada frente a la tracción uniaxial con datos experimentales para matrices electrohiladas de PLLA, obteniendo un buen acuerdo entre las curvas de tensión versus deformación. Más aún, la respuesta simulada se obtuvo partiendo de una geometría realista con los parámetros adecuados para simular la microestructura observada en las mismas muestras ensayadas, y tomando también una respuesta mecánica realista para las fibras individuales según información reportada en la literatura especializada.

Además, se mostró cómo el modelo permite estudiar, a medida que se produce la deformación, la evolución de los parámetros y sus distribuciones en el conjunto de fibras que caracterizan la microestructura. Este análisis evidencia los mecanismos microscópicos que tienen lugar bajo deformación macroscópica y permite relacionar los grandes desplazamientos y rotaciones de la microescala con la deformación y la respuesta constitutiva observada en la macroescala.

El enfoque multiescala aplicado permite acceder a las variables microscópicas y poder realizar ajustes sobre la microestructura así como sobre las propiedades de las nanofibras. En consecuencia, es capaz de ser utilizado para predecir *in silico* la respuesta mecánica de matrices electrohiladas con diseños a medida con anterioridad a su fabricación y caracterización morfológica y mecánica. Finalmente, es de gran relevancia práctica la baja complejidad computacional del modelo mecánico adoptado para las fibras, dado que sólo se requiere realizar el seguimiento de sus puntos extremos. Lo antedicho hace de este modelo un buen candidato para su implementación en ciclos de optimización para obtener una respuesta objetivo deseada, obteniendo como resultado las propiedades geométricas y/o mecánicas de la microestructura necesarias para fabricar injertos electrohilados paciente específicos.

Capítulo 5

Conclusiones generales

5.1. Conclusiones y resultados obtenidos

Esta tesis introduce métodos para el modelado mecánico multiescala de materiales con microestructuras nanofibras compuestas por capas planas superpuestas. Estos métodos tienen aplicación inmediata en el campo de la ingeniería de tejidos, especialmente en el diseño de injertos nanofibras con pretensiones biomiméticas. Se reseñan a continuación los principales resultados y conclusiones del trabajo:

- Se presentó un modelo constitutivo multiescala para el comportamiento mecánico elástico de matrices nanofibras electrohiladas con el objetivo de servir como herramienta de diseño para injertos vasculares electrohilados de ingeniería de tejidos. La escala macroscópica se modeló como un sólido continuo mientras que en la escala microscópica se implementó un RVE discreto compuesto por celdas triangulares superpuestas, dando cuenta de una microestructura conformada por una superposición de capas planas nanofibras. Cada fibra se modeló en base a una ley elástica bilineal llevando en consideración la diferencia en comportamiento entre fibras enrolladas y rectas bajo tracción, evitándose el uso de modelos micromecánicos complejos. Conjuntamente, se tomó en cuenta el fenómeno de reclutamiento de una fibra al incrementar su módulo elástico tangente a la tracción al devenir recta. Adicionalmente se admitió el agrupamiento de nanofibras individuales en haces o fascículos como el elemento mínimo constituyente del RVE, con la ventaja de lograr implementar de forma sencilla y efectiva la distribución estadística de enrollamientos de las fibras. Mediante este enfoque estadístico se logró evidenciar, además, el fenómeno de reclutamiento progresivo bajo tracción, que toma lugar cuando las nanofibras van deviniendo rectas de manera gradual por causa de sus distintos niveles de enrollamiento. Los principales resultados obtenidos son:

-
- Se validó el modelo mediante comparación con datos experimentales de ensayos mecánicos de inflado de tubos de PLLA electrohilado, consiguiendo un buen ajuste entre las curvas presión-diámetro experimentales y simuladas,
 - Se reprodujo con éxito la curva presión-diámetro (incluyendo la forma “J”) para matrices fibrosas a causa del reclutamiento progresivo de las nanofibras constituyentes.
 - Se estudiaron los efectos de las variaciones microestructurales y constitutivas sobre la respuesta mecánica macroscópica, encontrando que el efecto de controlar la distribución de enrulamientos actúa de manera complementaria al de controlar la rigidez de las fibras mediante la selección de distintos polímeros de base. Esto evidenció que la capacidad de ejercer un mayor control sobre la distribución de enrulamientos de los injertos vasculares electrohilados puede ser un factor crucial en el esfuerzo por conseguir reemplazos verdaderamente biomiméticos.
 - Se optimizaron los parámetros del modelo para un injerto electrohilado capaz de imitar la respuesta mecánica en presión-deformación de una arteria intracranial humana en el rango de presiones fisiológicas. Los resultados indicaron que tal reemplazo debería poseer un mayor valor medio y una mayor dispersión en la distribución de enrulamientos de las fibras.
- Para mejorar el modelo microscópico anterior admitiendo cinemáticas más complejas y realistas, se puso en evidencia la necesidad de contar con geometrías que sean realmente representativas de la microestructura electrohilada. Para ello se desarrolló un algoritmo de deposición virtual capaz de generar geometrías virtuales que reproducen los aspectos más importantes de la microtopología de capas nanofibrosas típica de las matrices electrohiladas. El algoritmo se inspira en la deposición real de las fibras durante el proceso de electrohilado, buscando imitar este fenómeno desde una perspectiva de dominio microscópico, incluyendo la naturaleza estocástica de los caminos que forman las fibras durante su deposición. En consecuencia, se obtienen geometrías que comparten muchos aspectos de la microestructura electrohilada como: fibras de gran longitud y relación de aspecto, estructura de capas planas superpuestas, distribución de enrulamiento similar, uniones entre las fibras en los puntos de contacto y posibilidad de controlar el grado de alineamiento. Los principales resultados alcanzados son los siguientes:

- Para establecer la validez de las geometrías generadas como elementos de volumen representativos, se llevó a cabo un estudio de la variabilidad estadística en los parámetros de importancia de las mallas virtuales, encontrando el tamaño necesario para que el dominio microscópico pueda considerarse un RVE, es decir, que la variabilidad caiga por debajo de un umbral preestablecido.
- Se demostró la capacidad del algoritmo para obtener geometrías que reproduzcan la microestructura de mallas con distinta fracción de volumen, grado de alineamiento, fibras de diferente diámetro y de mayor o menor grado de enrulamiento. Esta versatilidad permite reproducir una amplia gama de microestructuras fibrosas, cumpliendo con dos finalidades bien diferenciadas: por un lado generar RVE específicos para evaluar la respuesta de matrices electrohiladas con microestructuras conocidas, y por otro, realizar ensayos *in silico* sobre la microestructura virtual que permitan guiar a los estudios experimentales en la búsqueda de la biomímesis, optimizando el número de casos a ensayar experimentalmente.
- Se realizó una estimación de la densidad superficial de intersecciones presente en las capas interiores de las matrices electrohiladas. Se analizó también su interdependencia respecto de los demás parámetros geométricos, encontrando que su valor disminuye con el alineamiento de la malla y se incrementa con la fracción de volumen. Este resultado es de particular interés dado que la densidad de intersecciones es una variable de difícil acceso experimental y, a la vez, de relevancia para el comportamiento mecánico global de la matriz.
- En base a los RVE obtenidos mediante el algoritmo de deposición virtual, se desarrolló un modelo micromecánico para mallas de nanofibras interconectadas en puntos de unión o nodos. Para ello se realizó una descripción detallada de la cinemática de la malla y de las relaciones de equilibrio, además se extendió la ley constitutiva previa para contemplar la plasticidad de las fibras y la posibilidad de rotura al superar un valor de tensión límite. Como complemento, se llevaron a cabo ensayos de tracción uniaxial sobre probetas electrohiladas de PLLA para obtener curvas de tensión-deformación experimentales con las cuales validar el modelo. Los principales resultados son:
 - Se comparó la respuesta en tensión homogeneizada frente a la tracción uniaxial con datos experimentales para matrices electrohiladas de PLLA, obte-

niendo un buen acuerdo entre las curvas de tensión versus deformación. El RVE simulado se generó con parámetros geométricos que imitaron la microestructura de las matrices ensayadas. Más aún, los módulos elásticos de las fibras se adoptaron a partir de valores reportados en la bibliografía y el resto de los parámetros, que fueron ajustados para reproducir las curvas experimentales, resultaron en valores adecuados, dentro de los rangos esperados según lo reportado por estudios experimentales.

- Se estudió la evolución de la microestructura y la plasticidad de las fibras a medida que se produce la deformación. Este análisis puso en evidencia la existencia de un subconjunto de fibras, alineadas con la dirección de tracción, que soportan casi en su totalidad a la carga externa. Además, se identificó que este subconjunto crece a medida que se incrementa la deformación, pudiendo explicitar un fenómeno de alineamiento progresivo de la malla.

Como conclusión general, los métodos desarrollados permiten reproducir con alta fidelidad la microtopología nanofibrosa en su estado de deposición y simular adecuadamente la respuesta mecánica de la microestructura, mientras que se emplean parámetros geométricos y constitutivos realistas. Además, la capacidad de controlar tanto la geometría del RVE como la respuesta constitutiva de las fibras, habilita el ensayo *in silico* de matrices electrohiladas con microestructuras diseñadas a medida previamente a su fabricación. Más aún, es posible acoplar el modelo micromecánico desarrollado en ciclos de optimización con el objetivo de producir una respuesta mecánica deseada, obteniendo los parámetros geométricos y/o constitutivos necesarios para procesar injertos electrohilados verdaderamente biomiméticos.

5.2. Trabajos futuros

Durante el desarrollo de este trabajo se han identificado varias posibles direcciones para el trabajo futuro:

- La dirección más relevante para el trabajo futuro es incrementar la capacidad del modelo de reproducir con fidelidad tanto las microestructuras electrohiladas como sus respuestas micromecánicas. Si bien se hizo un avance importante y se alcanzaron resultados prometedores, el RVE propuesto permite su modificación para incorporar aspectos geométricos y constitutivos adicionales. Un punto de mejoría reside

en la determinación de los puntos de unión entre las fibras, que admite diferentes hipótesis para su realización. Por ejemplo, sería posible admitir el contacto entre fibras de capas no adyacentes a partir de una función de probabilidad. Además, la inclusión de fenómenos de fricción o viscoelásticos permitiría simular de manera realista los ciclos de histéresis típicos de estos materiales. Estos fenómenos podrían implementarse tanto a nivel constitutivo de las fibras como a nivel de la interacción, considerando enlaces con resbalamiento con fricción, o incluso falla por rotura en las uniones. Para estos fines resulta necesario proveer al modelado de la información experimental relevante para su validación, lo que requiere un trabajo mancomunado entre simulaciones, caracterización morfológica y ensayos mecánicos.

- Una vez extendida la capacidad del modelo, sería factible avanzar hacia simulaciones que reproduzcan la respuesta mecánica bajo sollicitaciones de índole cíclica, con el fin de simular con fidelidad el comportamiento en condiciones hemodinámicas. La incorporación de esta capacidad permitiría la realización de ensayos *in silico* para evaluar la funcionalidad de diferentes materiales y microestructuras como injertos vasculares reales.
- En línea con lo anterior, aparece la posibilidad de un trabajo coordinado entre el modelado y la experimentación, para realizar ciclos de fabricación-ensayo-optimización utilizando el modelo propuesto como herramienta de diseño para determinar las propiedades microestructurales necesarias de los injertos. En el capítulo 2 se mostró esta capacidad del modelo para el caso de un posible injerto de PCL electrohilado capaz de reemplazar una arteria intracranial humana. Esta metodología podría extenderse a diferentes tejidos arteriales, ya sea para distintos pacientes o distritos vasculares, empleando también un *vademecum* de materiales preestablecido para seleccionar los parámetros constitutivos. Desde el punto de vista experimental sería necesario controlar la distribución de enrulamiento de las nanofibras, lo que podría conseguirse mediante la técnica novedosa de *Melt Electrospinning Writing*.

Referencias

- [1] Chin Siang Ong, Xun Zhou, Chen Yu Huang, Takuma Fukunishi, Huaitao Zhang, and Narutoshi Hibino. Tissue engineered vascular grafts: current state of the field. *Expert Review of Medical Devices*, 14(5):383–392, 2017. ISSN 17452422.
- [2] World Health Organization. *World health statistics 2018: monitoring health for the SDGs, sustainable development goals*. World Health Organization, 2018. ISBN 978-92-4-156558-5. Licence: CC BY-NC-SA 3.0 IGO.
- [3] Ministerio de Salud. Mortalidad, 2013. <http://www.msal.gob.ar/ent/index.php/vigilancia/areas-de-vigilancia/mortalidad>.
- [4] Ramak Khosravi, Cameron A Best, Robert A Allen, Chelsea E T Stowell, Ekene Onwuka, Jennifer J Zhuang, Yong-Ung Lee, Tai Yi, Matthew R Bersi, Toshiharu Shinoka, Jay D Humphrey, Yadong Wang, and Christopher K Breuer. Long-Term Functional Efficacy of a Novel Electrospun Poly(Glycerol Sebacate)-Based Arterial Graft in Mice. *Annals of Biomedical Engineering*, 44(8):2402–2416, aug 2016. ISSN 1573-9686.
- [5] Takuma Fukunishi, Cameron A. Best, Tadahisa Sugiura, Toshihiro Shoji, Tai Yi, Brooks Udelsman, Devan Ohst, Chin Siang Ong, Huaitao Zhang, Toshiharu Shinoka, Christopher K. Breuer, Jed Johnson, and Narutoshi Hibino. Tissue-engineered small diameter arterial vascular grafts from cell-free nanofiber PCL/chitosan scaffolds in a sheep model. *PLoS ONE*, 11(7):1–15, 2016. ISSN 19326203.
- [6] Robert Langer and Joseph P Vacanti. Tissue Engineering. *Science*, 260(5110): 920–926, 1993. ISSN 00368075, 10959203.
- [7] Vincenzo Vindigni, Giovanni Abatangelo, and Franco Bassetto. New developments in tissue engineering of microvascular prostheses. In Rosario Pignatello, editor, *Biomaterials Science and Engineering*, chapter 21. IntechOpen, Rijeka, 2011.

-
- [8] Dawit G. Seifu, Agung Purnama, Kibret Mequanint, and Diego Mantovani. Small-diameter vascular tissue engineering. *Nature Reviews Cardiology*, 10(7):410–421, 2013. ISSN 17595002.
- [9] Wei Wu, Robert A. Allen, and Yadong Wang. Fast-degrading elastomer enables rapid remodeling of a cell-free synthetic graft into a neoartery. *Nature Medicine*, 18(7):1148–1153, 2012. ISSN 10788956.
- [10] Ehsan Benrashid, Christopher C. McCoy, Linda M. Youngwirth, Jina Kim, Roberto J. Manson, James C. Otto, and Jeffrey H. Lawson. Tissue engineered vascular grafts: Origins, development, and current strategies for clinical application. *Methods*, 99:13–19, 2016. ISSN 10959130.
- [11] Wojciech Mrówczyński, Damiano Mugnai, Sarra De Valence, Jean Christophe Tille, Ebrahim Khabiri, Mustafa Cikirikcioglu, Michael Möller, and Beat H. Walpoth. Porcine carotid artery replacement with biodegradable electrospun poly-caprolactone vascular prosthesis. *Journal of Vascular Surgery*, 59(1):210–219, 2014. ISSN 07415214.
- [12] Andreas Greiner and Joachim H. Wendorff. Electrospinning: A fascinating method for the preparation of ultrathin fibers, 2007. ISSN 14337851.
- [13] Anwarul Hasan, Adnan Memic, Nasim Annabi, Monowar Hossain, Arghya Paul, Mehmet R. Dokmeci, Fariba Dehghani, and Ali Khademhosseini. Electrospun scaffolds for tissue engineering of vascular grafts, 2014. ISSN 18787568.
- [14] David L. Butler, Steven A. Goldstein, and Farshid Guilak. Functional Tissue Engineering: The Role of Biomechanics. *Journal of Biomechanical Engineering*, 122(6):570–575, dec 2000. ISSN 0148-0731.
- [15] Y. C. Fung and S. C. Cowin. Biomechanics: Motion, Flow, Stress, and Growth. *Journal of Applied Mechanics*, 60(2):567–567, jun 1993. ISSN 0021-8936.
- [16] Michael S. Sacks. Biaxial mechanical evaluation of planar biological materials, 2000. ISSN 03743535.
- [17] J. D. Humphrey. Vascular adaptation and mechanical homeostasis at tissue, cellular, and sub-cellular levels. *Cell Biochemistry and Biophysics*, 50(2):53–78, 2008. ISSN 10859195.

-
- [18] William M. Abbott, Joseph Megerman, Jonathan E. Hasson, Gilbert L'Italien, and David F. Warnock. Effect of compliance mismatch on vascular graft patency. *Journal of Vascular Surgery*, 5(2):376–382, 1987. ISSN 07415214.
- [19] Richard L. Binns, David N. Ku, Mark T. Stewart, Joseph P. Ansley, and Kellie A. Coyle. Optimal graft diameter: Effect of wall shear stress on vascular healing. *Journal of Vascular Surgery*, 10(3):326–337, 1989. ISSN 07415214.
- [20] V. G. Kouznetsova, M. G. D. Geers, and W. A. M. Brekelmans. Computational homogenisation for non-linear heterogeneous solids. In *Multiscale Modeling in Solid Mechanics*, pages 1–42. Imperial College Press, 2010.
- [21] M. Lei, D. P. Giddens, S. A. Jones, F. Loth, and H. Bassiouny. Pulsatile Flow in an End-to-Side Vascular Graft Model: Comparison of Computations With Experimental Data. *Journal of Biomechanical Engineering*, 2001. ISSN 01480731.
- [22] Fernando Cacho, Manuel Doblaré, and Gerhard A. Holzapfel. A procedure to simulate coronary artery bypass graft surgery. *Medical & Biological Engineering & Computing*, 2007. ISSN 0140-0118.
- [23] S. A. Urquiza, P. J. Blanco, M. J. Vénere, and R. A. Feijóo. Multidimensional modelling for the carotid artery blood flow. *Computer Methods in Applied Mechanics and Engineering*, 2006. ISSN 00457825.
- [24] P. J. Blanco and R. A. Feijóo. A dimensionally-heterogeneous closed-loop model for the cardiovascular system and its applications. *Medical Engineering and Physics*, 2013. ISSN 13504533.
- [25] Pablo J. Blanco, Gonzalo D. Ares, Santiago A. Urquiza, and Raúl A. Feijóo. On the effect of preload and pre-stretch on hemodynamic simulations: an integrative approach. *Biomechanics and Modeling in Mechanobiology*, 15(3):593–627, 2016. ISSN 16177940.
- [26] Tamar B. Wissing, Valentina Bonito, Carlijn V. C. Bouten, and Anthal I. P. M. Smits. Biomaterial-driven in situ cardiovascular tissue engineering—a multidisciplinary perspective. *npj Regenerative Medicine*, 2017. ISSN 2057-3995.

-
- [27] Gerhard A. Holzapfel and Ray W. Ogden. Constitutive modelling of arteries. *Proceedings of the Royal Society A: Mathematical, Physical and Engineering Sciences*, 466(2118):1551–1597, 2010. ISSN 14712946.
- [28] G a Holzapfel, T C Gasser, and R W Ogden. A new constitutive framework for arterial wall mechanics and a comperative study of material models. *J. Elasticity*, 61:1–48, 2000.
- [29] C.V.C. Bouten, P.Y.W. Dankers, A. Driessen-Mol, S. Pedron, A.M.A. Brizard, and F.P.T. Baaijens. Substrates for cardiovascular tissue engineering. *Advanced Drug Delivery Reviews*, 63(4-5):221–241, apr 2011. ISSN 0169409X.
- [30] Johannes A. G. Rhodin. Architecture of the Vessel Wall. In *Comprehensive Physiology*, pages 1–31. John Wiley & Sons, Inc., Hoboken, NJ, USA, dec 1980.
- [31] Bruce Furie and Barbara C. Furie. Mechanisms of thrombus formation. *New England Journal of Medicine*, 359(9):938–949, 2008. ISSN 15334406.
- [32] Eric J. Topol, editor. *The Topol Solution: Textbook of Cardiovascular Medicine, Third Edition*. Lippincot Williams and Wilkins, 2006. ISBN 9780781770125.
- [33] P. Libby, E. N. Antman, E. Braunwald, A. P. Selwyn, D. S. Baim, and W. Grossman. Enfermedades vasculares. In A.S. Fauci, E. Braunwald, K.J. Isselbacher, J.D. Wilson, J.B. Martin, D.L. Kasper, S.L. Hauser, and D.L. Longo, editors, *Harrison - Principios de Medicina Interna, Volumen 1, 14a Edicion*, pages 1546–1574. McGraw Hill, 1998.
- [34] J. T. Willerson and D. C. Sabiston. Trastornos coronarios. In J.B. Wyndgaarden and L.H. Smith, editors, *Cecil - Tratado de medicina interna, Volumen 1, 18a Edicion*, pages 362–379. Interamerica - McGraw Hill, 1991.
- [35] Charles C. Canver. Conduit Options in Coronary Artery Bypass Surgery. *Chest*, 108(4):1150–1155, oct 1995. ISSN 00123692.
- [36] Ruben Y. Kannan, Henryk J. Salacinski, Peter E. Butler, George Hamilton, and Alexander M. Seifalian. Current status of prosthetic bypass grafts: A review. *Journal of Biomedical Materials Research Part B: Applied Biomaterials*, 74B(1):570–581, jul 2005. ISSN 1552-4973.

-
- [37] Christopher D. Owens, Nicole Wake, Michael S. Conte, Marie Gerhard-Herman, and Joshua A. Beckman. In vivo human lower extremity saphenous vein bypass grafts manifest flow mediated vasodilation. *Journal of Vascular Surgery*, 50(5): 1063–1070, nov 2009. ISSN 07415214.
- [38] William M. Abbott, Allan Callow, Wesley Moore, Robert Rutherford, Frank Veith, and Steven Weinberg. Evaluation and performance standards for arterial prostheses. *Journal of Vascular Surgery*, 17(4):746–756, apr 1993. ISSN 07415214.
- [39] R. S. Bennion, R. A. Williams, B. E. Stabile, M. A. Fox, M. L. Owens, and S. E. Wilson. Patency of autogenous saphenous vein versus polytetrafluoroethylene grafts in femoropopliteal bypass for advanced ischemia of the extremity. *Surgery Gynecology and Obstetrics*, 1985. ISSN 00396087.
- [40] Joanne E. McBane, Soroor Sharifpoor, Rosalind S. Labow, Marc Ruel, Erik J. Suuronen, and J. Paul Santerre. Tissue Engineering a Small Diameter Vessel Substitute: Engineering Constructs with Select Biomaterials and Cells. *Current Vascular Pharmacology*, 10(3):347–360, mar 2012. ISSN 15701611.
- [41] Michel R. Hoenig, Gordon R. Campbell, Barbara E. Rolfe, and Julie H. Campbell. Tissue-Engineered Blood Vessels. *Arteriosclerosis, Thrombosis, and Vascular Biology*, 25(6):1128–1134, jun 2005. ISSN 1079-5642.
- [42] Swathi Ravi and Elliot L. Chaikof. Biomaterials for vascular tissue engineering. *Regenerative Medicine*, 5(1):107–120, jan 2010. ISSN 1746-0751.
- [43] Hirotsugu Kurobe, Mark W. Maxfield, Christopher K. Breuer, and Toshiharu Shinoka. Concise Review: Tissue-Engineered Vascular Grafts for Cardiac Surgery: Past, Present, and Future. *STEM CELLS Translational Medicine*, 1(7):566–571, jul 2012. ISSN 21576564.
- [44] R Langer and JP Vacanti. Tissue engineering. *Science*, 260(5110):920–926, 1993. ISSN 0036-8075.
- [45] Toshiharu Shin’oka, Yasuharu Imai, and Yoshito Ikada. Transplantation of a Tissue-Engineered Pulmonary Artery. *New England Journal of Medicine*, 344(7): 532–533, feb 2001. ISSN 0028-4793.

-
- [46] Nicolas L'Heureux, Stéphanie Pâquet, Raymond Labbé, Lucie Germain, and François A. Auger. A completely biological tissue-engineered human blood vessel. *The FASEB Journal*, 12(1):47–56, jan 1998. ISSN 0892-6638.
- [47] Gerhardt König, Todd N. McAllister, Nathalie Dusserre, Sergio A. Garrido, Corey Iyican, Alicia Marini, Alex Fiorillo, Hernan Avila, Wojciech Wystrychowski, Krzysztof Zagalski, Marcin Maruszewski, Alyce Linthurst Jones, Lech Cierpka, Luis M. de la Fuente, and Nicolas L'Heureux. Mechanical properties of completely autologous human tissue engineered blood vessels compared to human saphenous vein and mammary artery. *Biomaterials*, 30(8):1542–1550, mar 2009. ISSN 01429612.
- [48] Gustavo A. Villalona, Brooks Udelsman, Daniel R. Duncan, Edward McGillicuddy, Rajendra F. Sawh-Martinez, Narutoshi Hibino, Christopher Painter, Tamar Mirensky, Benjamin Erickson, Toshiharu Shinoka, and Christopher K. Breuer. Cell-Seeding Techniques in Vascular Tissue Engineering. *Tissue Engineering Part B: Reviews*, 16(3):341–350, jun 2010. ISSN 1937-3368.
- [49] Byung-Soo Kim and David J. Mooney. Development of biocompatible synthetic extracellular matrices for tissue engineering. *Trends in Biotechnology*, 16(5):224–230, dec 1998. ISSN 01677799.
- [50] Wen Jie Zhang, Wei Liu, Lei Cui, and Yilin Cao. Tissue engineering of blood vessel. *Journal of Cellular and Molecular Medicine*, 11(5):945–957, sep 2007. ISSN 1582-1838.
- [51] Joseph D. Berglund and Zorina S. Galis. Designer blood vessels and therapeutic revascularization. *British Journal of Pharmacology*, 140(4):627–636, oct 2003. ISSN 00071188.
- [52] A. Vats, N.S. Tolley, J.M. Polak, and J.E. Gough. Scaffolds and biomaterials for tissue engineering: a review of clinical applications. *Clinical Otolaryngology and Allied Sciences*, 28(3):165–172, jun 2003. ISSN 0307-7772.
- [53] Ivan Martin, David Wendt, and Michael Heberer. The role of bioreactors in tissue engineering. *Trends in Biotechnology*, 22(2):80–86, feb 2004. ISSN 01677799.
- [54] C. Weinberg and Eugene Bell. A blood vessel model constructed from collagen and cultured vascular cells. *Science*, 231(4736):397–400, jan 1986. ISSN 0036-8075.

-
- [55] Lan Yao, Daniel D. Swartz, Sylvia F. Gugino, James A. Russell, and Stelios T. Andreadis. Fibrin-Based Tissue-Engineered Blood Vessels: Differential Effects of Biomaterial and Culture Parameters on Mechanical Strength and Vascular Reactivity. *Tissue Engineering*, 11(7-8):991–1003, jul 2005. ISSN 1076-3279.
- [56] Daniel D. Swartz, James A. Russell, and Stelios T. Andreadis. Engineering of fibrin-based functional and implantable small-diameter blood vessels. *American Journal of Physiology-Heart and Circulatory Physiology*, 288(3):H1451–H1460, mar 2005. ISSN 0363-6135.
- [57] Hao-Fan Peng, Jin Yu Liu, Stelios T. Andreadis, and Daniel D. Swartz. Hair Follicle-Derived Smooth Muscle Cells and Small Intestinal Submucosa for Engineering Mechanically Robust and Vasoreactive Vascular Media. *Tissue Engineering Part A*, 17(7-8):981–990, apr 2011. ISSN 1937-3341.
- [58] Alok Tiwari, Henryk Salacinski, Alexander M. Seifalian, and George Hamilton. New Prostheses for Use in Bypass Grafts with Special Emphasis on Polyurethanes. *Vascular*, 2002. ISSN 17085381.
- [59] Brett C. Isenberg, Chrysanthi Williams, and Robert T. Tranquillo. Small-Diameter Artificial Arteries Engineered In Vitro. *Circulation Research*, 98(1):25–35, jan 2006. ISSN 0009-7330.
- [60] K.-H. Yow, J. Ingram, S. A. Korossis, E. Ingham, and S. Homer-Vanniasinkam. Tissue engineering of vascular conduits. *British Journal of Surgery*, 93(6):652–661, jun 2006. ISSN 0007-1323.
- [61] Steven P. Higgins, Amy K. Solan, and Laura E. Niklason. Effects of polyglycolic acid on porcine smooth muscle cell growth and differentiation. *Journal of Biomedical Materials Research*, 67A(1):295–302, oct 2003. ISSN 0021-9304.
- [62] Dietmar Hutmacher. Design and Fabrication of Scaffolds via Solid Free-Form Fabrication. In *Biodegradable Systems in Tissue Engineering and Regenerative Medicine*. CRC Press, nov 2004.
- [63] Jeffrey M. Karp, Paul D. Dalton, and Molly S. Shoichet. Scaffolds for Tissue Engineering. *MRS Bulletin*, 28(4):301–306, apr 2003. ISSN 0883-7694.

-
- [64] Peter X. Ma and Jennifer Elisseeff. Scaffolding In Tissue Engineering. In Peter X. Ma and Jennifer Elisseeff, editors, *Scaffolding in Tissue Engineering*. CRC Press, aug 2005. ISBN 9780429121272.
- [65] Robert C. Thomson, Albert K. Shung, Michael J. Yaszemski, and Antonios G. Mikos. Polymer Scaffold Processing. In *Principles of Tissue Engineering*, pages 251–262. Elsevier, 2000.
- [66] Gustavo Abel Abraham, Pablo Christian Caracciolo, Fabian Alejandro Buffa, and Teresita Raquel Cuadrado. Diseno y preparacion de matrices polimericas porosas para ingenieria de tejidos biologicos. *Anales de la Academia Nacional de Ciencias Exactas, Fisicas y Naturales de Buenos Aires*, 59:1–15, 2007. ISSN 0365-1185.
- [67] Peter M. Crapo and Yadong Wang. Physiologic compliance in engineered small-diameter arterial constructs based on an elastomeric substrate. *Biomaterials*, 31(7): 1626–1635, mar 2010. ISSN 01429612.
- [68] Jin Gao, Peter Crapo, Robert Nerem, and Yadong Wang. Co-expression of elastin and collagen leads to highly compliant engineered blood vessels. *Journal of Biomedical Materials Research Part A*, 85A(4):1120–1128, jun 2008. ISSN 15493296.
- [69] A Nieponice, L Soletti, J Guan, B Deasy, J Huard, W WAGNER, and D VORP. Development of a tissue-engineered vascular graft combining a biodegradable scaffold, muscle-derived stem cells and a rotational vacuum seeding technique. *Biomaterials*, 29(7):825–833, mar 2008. ISSN 01429612.
- [70] Chiara E. Ghezzi, Benedetto Marelli, Naser Muja, and Showan N. Nazhat. Immediate production of a tubular dense collagen construct with bioinspired mechanical properties. *Acta Biomaterialia*, 2012. ISSN 17427061.
- [71] Shanshan Liu, Chaofei Dong, Guozhong Lu, Qiang Lu, Zhanxiong Li, David L. Kaplan, and Hesun Zhu. Bilayered vascular grafts based on silk proteins. *Acta Biomaterialia*, 2013. ISSN 17427061.
- [72] A. L. Andrady. *Science and technology of polymer nanofibers*. John Wiley and Sons Inc., 2008.

-
- [73] Seeram Ramakrishna, Kazutoshi Fujihara, Wee-Eong Teo, Thomas Yong, Zuwei Ma, and Ramakrishna Ramaseshan. Electrospun nanofibers: solving global issues. *Materials Today*, 9(3):40–50, mar 2006. ISSN 13697021.
- [74] James B. Carleton, Antonio D’Amore, Kristen R. Feaver, Gregory J. Rodin, and Michael S. Sacks. Geometric characterization and simulation of planar layered elastomeric fibrous biomaterials. *Acta Biomaterialia*, 12(1):93–101, 2015. ISSN 18787568.
- [75] C. Williams, J. Liao, E. M. Joyce, B. Wang, J. B. Leach, M. S. Sacks, and J. Y. Wong. Altered structural and mechanical properties in decellularized rabbit carotid arteries. *Acta Biomaterialia*, 5(4):993–1005, 2009. ISSN 17427061.
- [76] James Brian Carleton. *Microscale modeling of layered fibrous networks with applications to biomaterials for tissue engineering*. PhD thesis, 2015.
- [77] Justyna A. Niestrawska, Christian Viertler, Peter Regitnig, Tina U. Cohnert, Gerhard Sommer, and Gerhard A. Holzapfel. Microstructure and mechanics of healthy and aneurysmatic abdominal aortas: Experimental analysis and modelling. *Journal of the Royal Society Interface*, 13(124), 2016. ISSN 17425662.
- [78] Nicholas J. Amoroso, Antonio D’Amore, Yi Hong, William R. Wagner, and Michael S. Sacks. Elastomeric electrospun polyurethane scaffolds: The interrelationship between fabrication conditions, fiber topology, and mechanical properties. *Advanced Materials*, 23(1):106–111, 2011. ISSN 09359648.
- [79] Todd Courtney, Michael S. Sacks, John Stankus, Jianjun Guan, and William R. Wagner. Design and analysis of tissue engineering scaffolds that mimic soft tissue mechanical anisotropy. *Biomaterials*, 27(19):3631–3638, 2006. ISSN 01429612.
- [80] E. Weinan. *Principles of Multiscale Modeling*. Cambridge University Press, first edition, 2011. ISBN 9781107096547.
- [81] Hwa Soon Choi and R. P. Vito. Two-Dimensional Stress-Strain Relationship for Canine Pericardium. *Journal of Biomechanical Engineering*, 112(2):153–159, may 1990. ISSN 0148-0731.
- [82] Pin Tong and Yuang-Cheng Fung. The stress-strain relationship for the skin. *Journal of Biomechanics*, 9(10):649–657, jan 1976. ISSN 00219290.

-
- [83] John C. Criscione, Michael S. Sacks, and William C. Hunter. Experimentally Tractable, Pseudo-elastic Constitutive Law for Biomembranes: I. Theory. *Journal of Biomechanical Engineering*, 125(1):94–99, feb 2003. ISSN 0148-0731.
- [84] Rong Fan and Michael S. Sacks. Simulation of planar soft tissues using a structural constitutive model: Finite element implementation and validation. *Journal of Biomechanics*, 47(9):2043–2054, jun 2014. ISSN 00219290.
- [85] Gerhard A Holzapfel and Ray W Ogden. Constitutive modelling of passive myocardium: a structurally based framework for material characterization. *Philosophical Transactions of the Royal Society A: Mathematical, Physical and Engineering Sciences*, 367(1902):3445–3475, 2009.
- [86] Y. Lanir. A structural theory for the homogeneous biaxial stress-strain relationships in flat collagenous tissues. *Journal of Biomechanics*, 12(6):423–436, jan 1979. ISSN 00219290.
- [87] Michael S Sacks. Incorporation of experimentally-derived fiber orientation into a structural constitutive model for planar collagenous tissues. *J. Biomech. Eng.*, 125(2):280–287, 2003.
- [88] C. M. van Wyk. 20—NOTE ON THE COMPRESSIBILITY OF WOOL. *Journal of the Textile Institute Transactions*, 37(12):T285–T292, dec 1946. ISSN 1944-7027.
- [89] H. L. Cox. The elasticity and strength of paper and other fibrous materials. *British Journal of Applied Physics*, 3(3):72–79, 1952. ISSN 05083443.
- [90] Meltem A. Narter, Subhash K. Batra, and David R. Buchanan. Micromechanics of three-dimensional fibrewebs: Constitutive equations. *Proceedings of the Royal Society A: Mathematical, Physical and Engineering Sciences*, 455(1989):3543–3563, 1999. ISSN 13645021.
- [91] Garth A. Carnaby and N. Pan. Theory of the Compression Hysteresis of Fibrous Assemblies. *Textile Research Journal*, 59(5):275–284, 1989. ISSN 00405175.
- [92] N Pan and Garth A Carnaby. Theory of the Shear Deformation of Fibrous Assemblies. *Textile Research Journal*, 59(5):285–292, may 1989. ISSN 0040-5175.

-
- [93] John A Stella, Jun Liao, Yi Hong, W David Merryman, William R Wagner, and Michael S Sacks. Tissue-to-cellular deformation coupling in cell-microintegrated elastomeric scaffolds. In *IUTAM Symposium on Cellular, Molecular and Tissue Mechanics*, pages 81–89. Springer, 2010.
- [94] Meredith N. Silberstein, Chia Ling Pai, Gregory C. Rutledge, and Mary C. Boyce. Elasticplastic behavior of non-woven fibrous mats. *Journal of the Mechanics and Physics of Solids*, 60(2):295–318, 2012. ISSN 00225096.
- [95] Manuel Zündel, Edoardo Mazza, and Alexander E. Ehret. A 2.5D approach to the mechanics of electrospun fibre mats. *Soft Matter*, 13(37):6407–6421, 2017. ISSN 17446848.
- [96] Triantafyllos Stylianopoulos, Chris A. Bashur, Aaron S. Goldstein, Scott A. Guelcher, and Victor H. Barocas. Computational predictions of the tensile properties of electrospun fibre meshes: Effect of fibre diameter and fibre orientation. *Journal of the Mechanical Behavior of Biomedical Materials*, 1(4):326–335, 2008. ISSN 17516161.
- [97] Chia Ling Pai, Mary C. Boyce, and Gregory C. Rutledge. On the importance of fiber curvature to the elastic moduli of electrospun nonwoven fiber meshes. *Polymer*, 52(26):6126–6133, 2011. ISSN 00323861.
- [98] Xiaofan Wei, Zhenhai Xia, Shing Chung Wong, and Avinash Baji. Modelling of mechanical properties of electrospun nanofibre network. *International Journal of Experimental and Computational Biomechanics*, 1(1):45, 2009. ISSN 1755-8735.
- [99] M. S. Rizvi, P. Kumar, D. S. Katti, and A. Pal. Mathematical model of mechanical behavior of micro/nanofibrous materials designed for extracellular matrix substitutes. *Acta Biomaterialia*, 8(11):4111–4122, 2012. ISSN 18787568.
- [100] Mohd Suhail Rizvi and Anupam Pal. Statistical model for the mechanical behavior of the tissue engineering non-woven fibrous matrices under large deformation. *Journal of the Mechanical Behavior of Biomedical Materials*, 37(June 2013):235–250, 2014. ISSN 18780180.
- [101] James B. Carleton, Gregory J. Rodin, and Michael S. Sacks. Layered Elastomeric Fibrous Scaffolds: An In-Silico Study of the Achievable Range of Mechanical

- Behaviors. *ACS Biomaterials Science and Engineering*, 3(11):2907–2921, 2017. ISSN 23739878.
- [102] Sebastian Domaschke, Manuel Zündel, Edoardo Mazza, and Alexander E. Ehret. A 3D computational model of electrospun networks and its application to inform a reduced modelling approach. *International Journal of Solids and Structures*, 158: 76–89, 2018. ISSN 00207683.
- [103] S. Nemat-Nasse and M. Hori. *Micromechanics: Overall Properties of Heterogeneous Materials*. North Holland, second edition, 1998. ISBN 9780444500847.
- [104] V. Kouznetsova, M. G.D. Geers, and W. A.M. Brekelmans. Multi-scale constitutive modelling of heterogeneous materials with a gradient-enhanced computational homogenization scheme. *International Journal for Numerical Methods in Engineering*, 54(8):1235–1260, 2002. ISSN 00295981.
- [105] R. Hill. Elastic properties of reinforced solids: Some theoretical principles. *Journal of the Mechanics and Physics of Solids*, 1963. ISSN 00225096.
- [106] R. Hill. Continuum micro-mechanics of elastoplastic polycrystals. *Journal of the Mechanics and Physics of Solids*, 1965. ISSN 00225096.
- [107] R. Hill. A self-consistent mechanics of composite materials. *Journal of the Mechanics and Physics of Solids*, 1965. ISSN 00225096.
- [108] R. Hill. On Constitutive Macro-Variables for Heterogeneous Solids at Finite Strain. *Proceedings of the Royal Society A: Mathematical, Physical and Engineering Sciences*, 1972. ISSN 1364-5021.
- [109] Z. Hashin and S. Shtrikman. A variational approach to the theory of the elastic behaviour of multiphase materials. *Journal of the Mechanics and Physics of Solids*, 1963. ISSN 00225096.
- [110] B. Budiansky. On the elastic moduli of some heterogeneous materials. *Journal of the Mechanics and Physics of Solids*, 1965. ISSN 00225096.
- [111] Jean Mandel. Plasticité classique et viscoplasticité: course held... udine, september-october 1971, 1972.

-
- [112] V. G. Kouznetsova, M. G.D. Geers, and W. A.M. Brekelmans. Multi-scale second-order computational homogenization of multi-phase materials: A nested finite element solution strategy. *Computer Methods in Applied Mechanics and Engineering*, 2004. ISSN 00457825.
- [113] J.C. Michel, H. Moulinec, and P. Suquet. Effective properties of composite materials with periodic microstructure: a computational approach. *Computer Methods in Applied Mechanics and Engineering*, 172(1-4):109–143, apr 1999. ISSN 00457825.
- [114] Christian Miehe, Jan Schotte, and Jörg Schröder. Computational micro–macro transitions and overall moduli in the analysis of polycrystals at large strains. *Computational Materials Science*, 16(1-4):372–382, dec 1999. ISSN 09270256.
- [115] K. Terada and N. Kikuchi. A class of general algorithms for multi-scale analyses of heterogeneous media. *Computer Methods in Applied Mechanics and Engineering*, 190(40-41):5427–5464, jul 2001. ISSN 00457825.
- [116] P.M. Suquet. Local and global aspects in the mathematical theory of plasticity. In A. Sawczuk and G. Bianchi, editors, *Plasticity Today: Modelling, Methods and Applications*, pages 279–310. Elsevier Applied Science Publishers, 1985.
- [117] José Miranda Guedes and Noboru Kikuchi. Preprocessing and postprocessing for materials based on the homogenization method with adaptive finite element methods. *Computer Methods in Applied Mechanics and Engineering*, 83(2):143–198, oct 1990. ISSN 00457825.
- [118] K. Terada and N. Kikuchi. Nonlinear homogenization method for practical applications. In *American Society of Mechanical Engineers, Applied Mechanics Division, AMD*, 1995.
- [119] Somnath Ghosh, Kyunghoon Lee, and Suresh Moorthy. Multiple scale analysis of heterogeneous elastic structures using homogenization theory and voronoi cell finite element method. *International Journal of Solids and Structures*, 32(1):27–62, jan 1995. ISSN 00207683.
- [120] Somnath Ghosh, Kyunghoon Lee, and Suresh Moorthy. Two scale analysis of heterogeneous elastic-plastic materials with asymptotic homogenization and Voronoi

- cell finite element model. *Computer Methods in Applied Mechanics and Engineering*, 132(1-2):63–116, may 1996. ISSN 00457825.
- [121] R.j.m. Smit, W.a.m. Brekelmans, and H.e.h. Meijer. Prediction of the large-strain mechanical response of heterogeneous polymer systems: local and global deformation behaviour of a representative volume element of voided polycarbonate. *Journal of the Mechanics and Physics of Solids*, 47(2):201–221, feb 1999. ISSN 00225096.
- [122] Frédéric Feyel and Jean-Louis Chaboche. FE2 multiscale approach for modelling the elastoviscoplastic behaviour of long fibre SiC/Ti composite materials. *Computer Methods in Applied Mechanics and Engineering*, 183(3-4):309–330, mar 2000. ISSN 00457825.
- [123] V. Kouznetsova, W. A. M. Brekelmans, and F. P. T. Baaijens. An approach to micro-macro modeling of heterogeneous materials. *Computational Mechanics*, 27(1):37–48, jan 2001. ISSN 0178-7675.
- [124] P. Germain. The Method of Virtual Power in Continuum Mechanics. Part 2: Microstructure. *SIAM Journal on Applied Mathematics*, 25(3):556–575, nov 1973. ISSN 0036-1399.
- [125] Y. C. Fung. *Biomechanics: Mechanical Properties of Living Tissues*. Springer-Verlag, second edition, 1998. ISBN 978-1-4757-2257-4.
- [126] Pablo J Blanco, Pablo J Sánchez, Eduardo A de Souza Neto, and Raúl A Feijóo. Variational foundations and generalized unified theory of rve-based multiscale models. *Archives of Computational Methods in Engineering*, 23(2):191–253, 2016.
- [127] EA de Souza Neto and RA Feijóo. On the equivalence between spatial and material volume averaging of stress in large strain multi-scale solid constitutive models. *Mechanics of materials*, 40(10):803–811, 2008.
- [128] Eduardo A de Souza Neto, Raúl A Feijóo, and AA Novotny. Variational foundations of large strain multiscale solid constitutive models: kinematical formulation. *Advanced computational materials modeling: from classical to multi-scale techniques-scale techniques*, 2011.

-
- [129] M Arslan and M C Boyce. Constitutive modeling of the finite deformation behavior of membranes possessing a triangulated network microstructure. *Journal of Applied Mechanics-Transactions of the Asme*, 73(4):536–543, 2006. ISSN 00218936.
- [130] K. L. Billiar and M. S. Sacks. Biaxial Mechanical Properties of the Natural and Glutaraldehyde Treated Aortic Valve Cusp—Part I: Experimental Results. *Journal of Biomechanical Engineering*, 122(1):23–30, feb 2000. ISSN 0148-0731.
- [131] M.H. Schwartz, P.H. Leo, and J.L. Lewis. A microstructural model for the elastic response of articular cartilage. *Journal of Biomechanics*, 27(7):865–873, 1994. ISSN 00219290.
- [132] D. Suarez-Bagnasco, F. Montini-Ballarín, L.J. Cymberknop, G. Balay, C. Negreira, G.A. Abraham, and R.L. Armentano. Elasticity assessment of electrospun nanofibrous vascular grafts: A comparison with femoral ovine arteries. *Materials Science and Engineering C*, 45:1–12, 2014.
- [133] F. Montini Ballarín, P. C. Caracciolo, E. Blotta, V. L. Ballarín, and G. A. Abraham. Optimization of poly(l-lactic acid)/segmented polyurethane electrospinning process for the production of bilayered small-diameter nanofibrous tubular structures. *Materials Science and Engineering C*, 42:489–499, 2014. ISSN 09284931.
- [134] G Balay, J Brum, D Bia, R L Armentano, and C A Negreira. Improvement of artery radii determination with single ultra sound channel hardware amp; amp; in vitro artificial heart system. In *2010 Annual International Conference of the IEEE Engineering in Medicine and Biology*, pages 2521–2524, aug 2010.
- [135] G.A. Wempner and D. Talaslidis. *Mechanics of Solids and Shells: Theories and Approximations*. CRC Press, first edition, 1995.
- [136] Haitao Niu, Hongxia Wang, Hua Zhou, and Tong Lin. Ultrafine PDMS fibers: Preparation from in situ curing-electrospinning and mechanical characterization. *RSC Advances*, 4(23):11782–11787, 2014. ISSN 20462069.
- [137] Jed Johnson, Anirban Ghosh, and John Lannutti. Microstructure-property relationships in a tissue-engineering scaffold. *Journal of Applied Polymer Science*, 104(5):2919–2927, 2007.

-
- [138] Ryuji Inai, Masaya Kotaki, and Seeram Ramakrishna. Structure and properties of electrospun PLLA single nanofibres. *Nanotechnology*, 16(2):208–213, 2005. ISSN 09574484.
- [139] E. P.S. Tan, C. N. Goh, C. H. Sow, and C. T. Lim. Tensile test of a single nanofiber using an atomic force microscope tip. *Applied Physics Letters*, 86(7):1–3, 2005. ISSN 00036951.
- [140] E. P.S. Tan, S. Y. Ng, and C. T. Lim. Tensile testing of a single ultrafine polymeric fiber. *Biomaterials*, 26(13):1453–1456, 2005. ISSN 01429612.
- [141] Eunice P S Tan and C. T. Lim. Effects of annealing on the structural and mechanical properties of electrospun polymeric nanofibres. *Nanotechnology*, 17(10):2649–2654, 2006. ISSN 09574484.
- [142] Fei Chen, Xinwen Peng, Tingting Li, Shuiliang Chen, Xiang Fa Wu, Darrell H. Reneker, and Haoqing Hou. Mechanical characterization of single high-strength electrospun polyimide nanofibres. *Journal of Physics D: Applied Physics*, 41(2), 2008. ISSN 00223727.
- [143] Shing-Chung Chung Wong, Avinash Baji, and Siwei Leng. Effect of fiber diameter on tensile properties of electrospun poly(ϵ -caprolactone). *Polymer*, 49(21):4713–4722, oct 2008. ISSN 00323861.
- [144] John A. Stella, Antonio D’Amore, William R. Wagner, and Michael S. Sacks. On the biomechanical function of scaffolds for engineering load-bearing soft tissues. *Acta Biomaterialia*, 6(7):2365–2381, 2010. ISSN 17427061.
- [145] John A. Stella, William R. Wagner, and Michael S. Sacks. Scale-dependent fiber kinematics of elastomeric electrospun scaffolds for soft tissue engineering. *Journal of Biomedical Materials Research Part A*, 93(3):1032–1042, 2010. ISSN 15493296.
- [146] Mohammad F. Hadi and Victor H. Barocas. Microscale fiber network alignment affects macroscale failure behavior in simulated collagen tissue analogs. *Journal of Biomechanical Engineering*, 135(2), feb 2013. ISSN 0148-0731.

-
- [147] Antonio D'Amore, John A. Stella, William R. Wagner, and Michael S. Sacks. Characterization of the complete fiber network topology of planar fibrous tissues and scaffolds. *Biomaterials*, 31(20):5345–5354, 2010. ISSN 01429612.
- [148] E. A. Sander and V. H. Barocas. Comparison of 2D fiber network orientation measurement methods. *Journal of Biomedical Materials Research Part A*, 88(2): 322–331, feb 2009. ISSN 15493296.
- [149] Antonio D'Amore, Nicholas Amoroso, Riccardo Gottardi, Christopher Hobson, Christopher Carruthers, Simon Watkins, William R. Wagner, and Michael S. Sacks. From single fiber to macro-level mechanics: A structural finite-element model for elastomeric fibrous biomaterials. *Journal of the Mechanical Behavior of Biomedical Materials*, 39:146–161, 2014. ISSN 18780180.
- [150] G. Argento, M. Simonet, C. W J Oomens, and F. P T Baaijens. Multi-scale mechanical characterization of scaffolds for heart valve tissue engineering. *Journal of Biomechanics*, 45(16):2893–2898, 2012. ISSN 00219290.
- [151] Alvaro Ridruejo, Carlos González, and Javier Llorca. A constitutive model for the in-plane mechanical behavior of nonwoven fabrics. *International Journal of Solids and Structures*, 49(17):2215–2229, 2012. ISSN 00207683.
- [152] Susan Nachtrab, Sebastian C. Kapfer, Christoph H. Arns, Mahyar Madadi, Klaus Mecke, and Gerd E. Schröder-Turk. Morphology and Linear-Elastic Moduli of Random Network Solids. *Advanced Materials*, 23(22-23):2633–2637, jun 2011. ISSN 09359648.
- [153] Triantafyllos Stylianopoulos and Victor H. Barocas. Volume-averaging theory for the study of the mechanics of collagen networks. *Computer Methods in Applied Mechanics and Engineering*, 196(31-32):2981–2990, 2007. ISSN 00457825.
- [154] F F Rocha, P J Blanco, R A Feijóo, and P J Sanchez. Multi-scale modelling of arterial tissue: Linking networks of fibers to continua. *Computer Methods in Applied Mechanics and Engineering (in Submission Process)*, 341:740–787, 2018. ISSN 0997-7538.
- [155] Florencia Montini Ballarin. *Estructuras poliméricas nanofibrosas biorreabsorbibles para ingeniería de tejidos vasculares*. PhD thesis, Universidad Nacional de Mar del Plata. Facultad de Ingeniería. Argentina, 2015.

-
- [156] Alexander Rachev, Luc Felden, and David N. Ku. Design and Fabrication of a Mechanically Matched Vascular Graft. *Journal of Biomechanical Engineering*, 133(9), sep 2011. ISSN 0148-0731.
- [157] Sang Jin Lee, Jie Liu, Se Heang Oh, Shay Soker, Anthony Atala, and James J Yoo. Development of a composite vascular scaffolding system that withstands physiological vascular conditions. *Biomaterials*, 29(19):2891–2898, 2008.
- [158] Hiromichi Sonoda, Keiichi Takamizawa, Yasuhide Nakayama, Hisataka Yasui, and Takehisa Matsuda. Small-diameter compliant arterial graft prosthesis: Design concept of coaxial double tubular graft and its fabrication. *Journal of Biomedical Materials Research*, 55(3):266–276, jun 2001. ISSN 0021-9304.
- [159] Preethi L. Chandran and Victor H. Barocas. Deterministic Material-Based Averaging Theory Model of Collagen Gel Micromechanics. *Journal of Biomechanical Engineering*, 129(2):137, 2007. ISSN 01480731.
- [160] Satoru Yoneyama and Go Murasawa. Digital Image Correlation, in Experimental Mechanics. *Encyclopedia of Life Support Systems (EOLSS)*, pages 1–10, 2009.
- [161] F. Hild and S. Roux. Digital image correlation: From displacement measurement to identification of elastic properties - A review. *Strain*, 42(2):69–80, 2006. ISSN 00392103.
- [162] X. F. Yao, L. B. Meng, J. C. Jin, and H. Y. Yeh. Full-field deformation measurement of fiber composite pressure vessel using digital speckle correlation method. *Polymer Testing*, 24(2):245–251, 2005. ISSN 01429418.
- [163] Alexandre Morel, Sebastian Domaschke, V Urundolil Kumaran, Dmitry Alexeev, Amin Sadeghpour, Shivaprakash N Ramakrishna, Stephen John Ferguson, René Michel Rossi, Edoardo Mazza, Alexander E Ehret, et al. Correlating diameter, mechanical and structural properties of poly (l-lactide) fibres from needleless electrospinning. *Acta Biomaterialia*, 81:169–183, 2018.
- [164] F. Yang, R. Murugan, S. Ramakrishna, X. Wang, Y. X. Ma, and S. Wang. Fabrication of nano-structured porous PLLA scaffold intended for nerve tissue engineering. *Biomaterials*, 25(10):1891–1900, 2004. ISSN 01429612.
- [165] Morton E Gurtin. *An introduction to continuum mechanics*. Academic press, 1982.

Apéndices

Apéndice A

Principio de Potencia Virtual

A.1. Introducción

En este apéndice se presenta con mayor detalle la formulación variacional de equilibrio utilizado en el problema macroscópico del modelo multiescala del capítulo 2.

En la formulación clásica de la mecánica se admite *a priori* la existencia de los esfuerzos externos [165], definidos a través de campos vectoriales asociados a una medida. De esta forma, se introducen las fuerzas de volumen y fuerzas de superficie, entre otras. En cambio, en la formulación variacional de la mecánica, se admite *a priori* el concepto de potencia o trabajo virtual, mientras que los esfuerzos externos quedarán definidos a través de la dualidad entre los mismos y el movimiento que se realiza sobre el cuerpo, donde dicha dualidad caracteriza la potencia consumida para realizarlos. Este segundo enfoque resulta natural y deviene de una experiencia física muy común: si alguien quiere conocer el peso de un objeto cualquiera, lo que hace es levantarla ligeramente y evaluar el peso por la potencia (o trabajo) que se necesitó para realizar el movimiento.

De manera similar, bajo esta conceptualización los esfuerzos internos surgen *a posteriori* a partir del concepto de potencia consumida para realizar una deformación. Para ejemplificar, si alguien quiere conocer la tensión a la que se encuentra sometida una correa, debe perturbar con los dedos su configuración actual y, a través de la potencia consumida para realizar esa deformación, puede evaluar el valor de la tensión.

A continuación, entonces, se presenta la cinemática de medios continuos desde el punto de vista de la mecánica variacional, así como la dualidad entre esfuerzos y acciones de movimiento como elementos que generan potencia y, finalmente, el equilibrio a partir del Principio de Potencia Virtual como principio fundamental de la mecánica [124].

A.2. Cinemática

A.2.1. Configuración material y espacial

Un cuerpo \mathcal{C} posee una configuración de referencia Ω_m , llamada *configuración material*, dada por la región del espacio determinada por las posiciones \mathbf{X} de todas las partículas materiales que lo componen. Luego, toda otra configuración Ω del cuerpo en un tiempo $t \in [t_0, t_f]$, llamada *configuración espacial*, viene dada por la aplicación:

$$\varphi : \Omega_m \rightarrow \Omega \quad (\text{A.1})$$

$$\mathbf{X} \mapsto \mathbf{x} \quad (\text{A.2})$$

donde \mathbf{x} indica la posición de la partícula que inicialmente se ubicaba en \mathbf{X} .

Siendo $\mathbf{x} = \varphi(\mathbf{X}, t)$, es posible introducir el campo de desplazamientos relativo a la configuración material:

$$\mathbf{U}(\mathbf{X}, t) = \mathbf{x}(\mathbf{X}, t) - \mathbf{X} = \varphi_t(\mathbf{X}, t) - \mathbf{X} \quad (\text{A.3})$$

Por otra parte, la aplicación φ debe satisfacer algunas propiedades para ser considerada una *deformación*: no debe ocurrir interpenetración del material (para lo que φ debe ser biunívoca) y no puede ocurrir la supresión de un volumen material:

$$\det \nabla \varphi(\mathbf{X}, t) > 0 \quad \forall t \in [t_0, t_f] \quad (\text{A.4})$$

donde $\nabla \varphi$ indica el gradiente del mapeo φ , también conocido como *tensor gradiente de deformaciones* \mathbf{F} .

Asimismo, el campo \mathbf{U} debe satisfacer ciertas restricciones para garantizar que se cumpla lo anterior:

$$\mathbf{F} = \nabla \mathbf{X} + \nabla \mathbf{U} = \mathbf{I} + \nabla \mathbf{U} \quad (\text{A.5})$$

donde \mathbf{I} es el tensor identidad.

Es válido aclarar que, dada la configuración de referencia Ω_m , la configuración espacial $\Omega(t)$ puede obtenerse a partir del campo de desplazamientos $\mathbf{U}(\mathbf{X}, t)$ definido en Ω_m . Por lo tanto es equivalente hablar de la configuración $\Omega(t)$ o del campo asociado $\mathbf{U}(\mathbf{X}, t)$. Además, en base a los requerimientos previamente impuestos a la deformación, se define el espacio vectorial \mathcal{U}_m como el conjunto de todas las *configuraciones posibles* que el cuerpo puede tomar.

También es posible definir el campo de desplazamientos $\mathbf{u}(\mathbf{x})$ relativo a la configuración espacial:

$$\mathbf{u}(\mathbf{x}, t) = \mathbf{x} - \varphi_t^{-1}(\mathbf{x}, t) \quad (\text{A.6})$$

$$\mathbf{u}(\mathbf{x}, t) = \mathbf{U}(\varphi(\mathbf{X}), t), \quad \mathbf{u} \in \mathcal{U}_s, \quad \mathbf{U} \in \mathcal{U}_m \quad (\text{A.7})$$

donde \mathcal{U}_s es la contraparte de \mathcal{U}_m en la configuración espacial.

A.2.2. Deformación de un elemento infinitesimal

Dado un entorno suficientemente pequeño de un punto \mathbf{X}_0 , las posiciones de las partículas pertenecientes a ese entorno pueden escribirse como:

$$\mathbf{X} = \mathbf{X}_0 + \mathbf{F}(\mathbf{X}_0, t)(\mathbf{X} - \mathbf{X}_0) + o(\mathbf{X} - \mathbf{X}_0) \quad (\text{A.8})$$

donde $o(\mathbf{X} - \mathbf{X}_0)$ indica términos de orden superior.

Luego, la deformación de un segmento material infinitesimal dado por $d\mathbf{X} = \mathbf{X} - \mathbf{X}_0$ queda definida en este entorno por:

$$d\mathbf{x} = \mathbf{F}d\mathbf{X} \quad (\text{A.9})$$

$$d\mathbf{x} \cdot d\mathbf{x} = \mathbf{F}^T \mathbf{F} d\mathbf{X} \cdot d\mathbf{X} \quad (\text{A.10})$$

Siguiendo, una medida de deformación para el segmento $d\mathbf{X}$ al pasar a la configura-

ción deformada $d\mathbf{x}$ está dado por:

$$d\mathbf{x} \cdot d\mathbf{x} - d\mathbf{X} \cdot d\mathbf{X} = (\mathbf{F}^T \mathbf{F} - \mathbf{I}) d\mathbf{X} \cdot d\mathbf{X} = 2\mathbf{E} d\mathbf{X} \cdot d\mathbf{X} \quad (\text{A.11})$$

donde

$$\mathbf{E} = \frac{1}{2} (\mathbf{F}^T \mathbf{F} - \mathbf{I}) = \frac{1}{2} (\nabla \mathbf{U} + \nabla^T \mathbf{U} + \nabla^T \mathbf{U} \nabla \mathbf{U}) \quad (\text{A.12})$$

es conocido como *tensor de deformación de Green* y el sobreíndice T indica el tensor transpuesto ($\nabla^T \mathbf{U} = (\nabla \mathbf{U})^T$).

Hasta aquí se ha dado la descripción *Lagrangiana* de la deformación, donde se sigue a la partícula material \mathbf{X} durante la deformación. Además, si bien es posible establecer otras medidas de deformación, para el objetivo de este apéndice resulta suficiente contar con la medida dada por el tensor \mathbf{E} , que a su vez depende del tensor \mathbf{F} .

A.2.3. Movimiento y tasa de deformación

El *movimiento* del cuerpo \mathcal{C} está dado por la familia uniparamétrica de configuraciones posibles $\Omega(t)$, $t \in [t_0, t_f]$. A este movimiento, le corresponde en cada instante t una deformación dada por $\varphi(\mathbf{X}, t)$ y un campo de velocidad $\mathbf{v}(\mathbf{x}, t)$ que se denomina *acción de movimiento*¹:

$$\mathbf{v}(\mathbf{x}, t) = \left. \frac{\partial \mathbf{U}(\mathbf{X}, t)}{\partial t} \right|_{\mathbf{X}=\varphi^{-1}(\mathbf{x}, t)} \quad (\text{A.13})$$

Luego, se define el espacio vectorial \mathcal{V} como el conjunto de todas las acciones de movimiento posibles a partir de $\mathbf{U}(\mathbf{X}, t)$. Notar que, bajo esta definición, el campo de velocidad real del cuerpo es en el instante t , un elemento de \mathcal{V} .

Es usual que en un problema de equilibrio mecánico, el cuerpo deba satisfacer ciertas *restricciones cinemáticas*. Las configuraciones posibles del cuerpo que además cumplen con estas restricciones se conocen como *configuraciones admisibles*, y el conjunto de

¹Es válido notar que se trata de un campo en función de las posiciones espaciales \mathbf{x} , por lo que se dice que es la *descripción espacial* de la velocidad

estas define al subespacio vectorial:

$$\text{Kin}_{\mathbf{u}} = \{ \mathbf{u} \in \mathcal{U}_s, \mathbf{u} \text{ es una configuración cinemáticamente admisible} \} \quad (\text{A.14})$$

En función de esta última definición, se dice que todo movimiento a partir de $\mathbf{u}(\mathbf{X}, t) \in \text{Kin}_{\mathbf{u}}$ se considera *movimiento admisible* si todas las configuraciones que lo componen son configuraciones admisibles. Además, a cada movimiento admisible a partir de $\mathbf{u}(\mathbf{X}, t)$ le corresponde una *acción de movimiento admisible* y el conjunto de todas ellas constituye el subconjunto:

$$\text{Kin}_{\mathbf{v}} = \{ \mathbf{v} \in \mathcal{V}, \mathbf{v} \text{ es una acción de movimiento cinemáticamente admisible} \} \quad (\text{A.15})$$

También es posible definir el subconjunto de acciones de movimiento *variacionalmente admisible* $\text{Var}_{\mathbf{v}}$ dado por el conjunto de los campos de velocidad tales que $\mathbf{v} = \mathbf{0}$ en aquellos puntos donde están prescriptas las acciones de movimiento. Se verifica, entonces, que $\text{Kin}_{\mathbf{v}} = \bar{\mathbf{v}} + \text{Var}_{\mathbf{v}}$, donde $\bar{\mathbf{v}} \in \text{Kin}_{\mathbf{v}}$ es una acción de movimiento arbitraria compatible con las restricciones cinemáticas.

Finalmente, se define un operador tasa de deformación (\mathcal{D}) que aplicado sobre el campo de velocidades (\mathbf{v}) otorga el tensor tasa de deformación (\mathbf{D}) definido como:

$$\mathcal{D}(\mathbf{v}) = \mathbf{D} = \text{grad}^S \mathbf{v} \quad (\text{A.16})$$

donde $\text{grad}^S \mathbf{v}$ indica el gradiente simétrico del campo \mathbf{v} .

Esta definición introduce, además, el espacio vectorial \mathcal{W} , cuyos elementos son todos los campos tensoriales simétricos definidos en la configuración $\mathbf{u}(\mathbf{X}, t)$. Es posible notar que no todo $\mathbf{D} \in \mathcal{W}$ está asociado a un campo $\mathbf{v} \in \mathcal{V}$, pues no todo tensor simétrico proviene de un gradiente simétrico sobre \mathbf{v} . En cambio, se indica que, si dado $\mathbf{D} \in \mathcal{W}$, se puede hallar un campo $\mathbf{v} \in \mathcal{V}$ asociado de forma que se verifique la expresión anterior, entonces \mathbf{D} es una tasa de deformación *compatible* cinemáticamente admisible.

Finalmente, se identifica el conjunto de todas las acciones de movimiento posibles *rígidas*, siendo aquellos \mathbf{v} con tasas de deformación nula. Este conjunto se denomina

espacio nulo del operador \mathcal{D} y está dado por:

$$\mathcal{N}(\mathcal{D}) = \{\mathbf{v} \in \mathcal{V}, \mathcal{D}(\mathbf{v}) = \mathbf{0} \quad \forall \mathbf{x} \in \Omega\} \quad (\text{A.17})$$

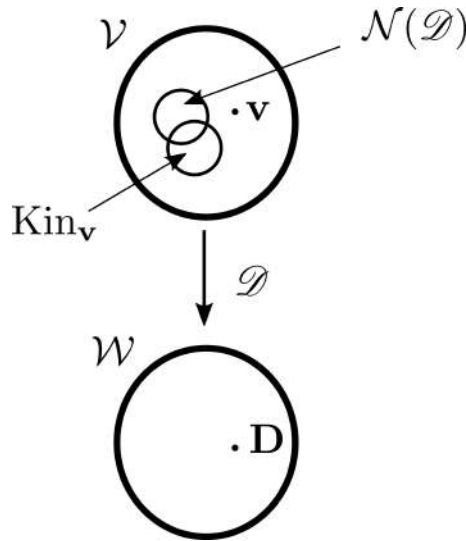


Figura A.1: Espacios y subespacios vectoriales introducidos por la cinemática adoptada.

A.3. Dualidad

A.3.1. Entre fuerzas y acciones de movimiento

La forma “clásica” de caracterizar la acción que un cuerpo realiza sobre otro es a través del concepto *fuerza* como un ente conocido *a priori* y de manera independiente de la cinemática adoptada. En el PPV, en cambio, la fuerza surge sólo como un elemento en *dualidad* a una determinada acción de movimiento, donde la dualidad se define a través del concepto, ahora sí *a priori*, de potencia o trabajo virtual.

Entonces, se define a la *potencia externa* (P_e) como el valor de un funcional lineal y continuo en \mathcal{V} ($\mathcal{P}_e(\mathbf{v})$). Luego, en base al Teorema de la Representación de Riesz, es posible identificar un elemento \mathbf{f} , de la misma naturaleza que \mathbf{v} ².

$$P_e = \langle \mathbf{f}, \mathbf{v} \rangle \quad (\text{A.18})$$

²En este caso, como \mathbf{v} es un campo vectorial, \mathbf{f} también lo es.

El conjunto de todos los sistemas de fuerzas \mathbf{f} (es decir, el conjunto de todos los funcionales lineales y continuos en \mathcal{V}) define al espacio vectorial \mathcal{V}' , denominado *espacio de fuerzas externas*. Este espacio es *dual* al espacio de acciones de movimiento \mathcal{V} : una vez definido el modelo cinemático, el sistema de fuerzas compatible queda totalmente definido por la dualidad a través de la siguiente forma bilineal:

$$\langle \cdot, \cdot \rangle : \mathcal{V}' \times \mathcal{V} \rightarrow \mathbb{R} \quad (\text{A.19})$$

$$(\mathbf{f}, \mathbf{v}) \mapsto P_e = \langle \mathbf{f}, \mathbf{v} \rangle \quad \mathbf{f} \in \mathcal{V}', \quad \mathbf{v} \in \mathcal{V} \quad (\text{A.20})$$

A.3.2. Entre esfuerzos internos y tasas de deformación

En la mecánica del continuo *clásica*, el concepto de tensión se obtiene como una extensión del concepto de fuerza. En el PPV, similarmente a lo expuesto en la sección anterior, los esfuerzos internos se obtienen a partir de un funcional lineal y continuo sobre las tasas de deformación ($\mathcal{P}_i(\mathbf{D})$). Este funcional resulta en un campo escalar p_i definido en Ω . Luego, *potencia interna total* viene dada por:

$$P_i = \int_{\Omega} p_i dV = - \int_{\Omega} \mathbf{T} \cdot \mathbf{D} dV \quad (\text{A.21})$$

En la expresión anterior, el esfuerzo interno \mathbf{T} es el elemento que caracteriza el funcional lineal y continuo sobre las acciones de deformación ($\mathbf{D} \in \mathcal{W}$), es decir, \mathbf{T} es el elemento dual de \mathbf{D} . Por lo tanto, podemos definir el espacio \mathcal{W}' como aquel constituido por todos los funcionales lineales y continuos sobre \mathbf{D} , siendo los mismos representados por campos tensoriales simétricos \mathbf{T}^3 .

A.3.3. Operador de equilibrio

Como se vio, los espacios \mathcal{V}' y \mathcal{W}' son los espacios duales de \mathcal{V} y \mathcal{W} , mientras que las formas bilineales $\langle \cdot, \cdot \rangle$ y (\cdot, \cdot) representan los pares en dualidad de $\mathcal{V}' \times \mathcal{V}$ y $\mathcal{W}' \times \mathcal{W}$, respectivamente. También se definió el operador tasa de deformación $\mathcal{D} : \mathcal{V} \rightarrow \mathcal{W}$.

Ahora, es posible introducir el *operador adjunto* u *operador de equilibrio* $\mathcal{D}^* : \mathcal{W}' \rightarrow$

³Resulta evidente a esta altura que \mathbf{T} se corresponde con el tensor de tensiones de Cauchy.

\mathcal{V}' , que se define de la siguiente manera:

$$(\mathbf{T}, \mathcal{D}(\mathbf{v})) = \langle \mathcal{D}^*(\mathbf{T}), \mathbf{v} \rangle \quad (\text{A.22})$$

Este operador permite, conjuntamente con el Principio de Potencias Virtuales, caracterizar los esfuerzos internos *compatibles* con el modelo cinemático elaborado.

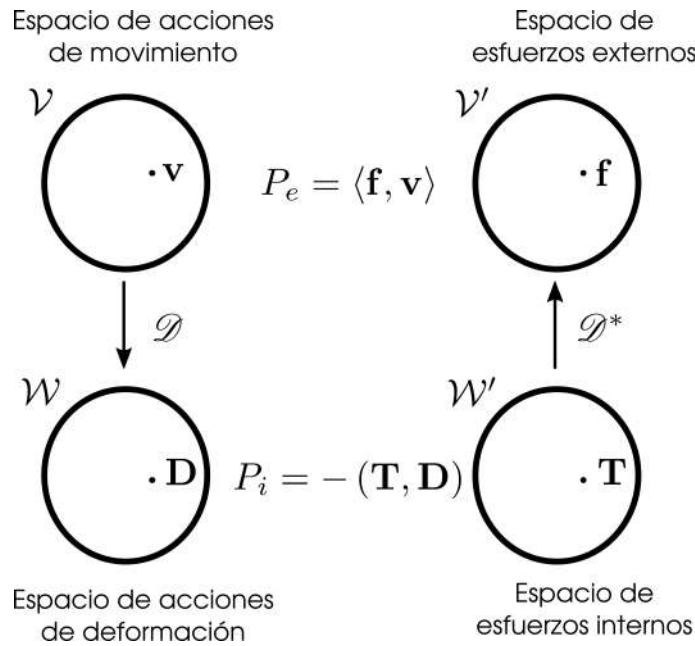


Figura A.2: Espacios y subespacios vectoriales del PPV.

A.4. Principio de Potencia Virtual

Para todo sistema de referencia inercial, y para cada instante de tiempo t , el cuerpo \mathcal{C} se encuentra en equilibrio (estático⁴) en la configuración Ω , con restricciones cinemáticas bilaterales y bajo la acción del sistema de fuerzas externas $\mathbf{f} \in \mathcal{V}$ si la *potencia virtual externa* de dichas fuerzas es nula para toda acción de movimiento virtual rígida a partir de esta configuración:

$$P_e = \langle \mathbf{f}, \hat{\mathbf{v}} \rangle = 0 \quad \forall \hat{\mathbf{v}} \in \text{Var}_{\mathbf{v}} \cap \mathcal{N}(\mathcal{D}) \quad (\text{A.23})$$

⁴La formulación puede extenderse fácilmente al caso de equilibrio dinámico si se incluye en el análisis a las fuerzas de inercia como fuerzas externas adicionales.

Además, se satisface que la suma de las potencias externa e interna es nula para toda acción de movimiento virtual:

$$P_e + P_i = \langle \mathbf{f}, \hat{\mathbf{v}} \rangle - (\mathbf{T}, \mathcal{D}(\hat{\mathbf{v}})) = 0 \quad \forall \hat{\mathbf{v}} \in \text{Var}_{\mathbf{v}} \quad (\text{A.24})$$

La primera parte (A.23) permite caracterizar el sistema de fuerzas compatible con la cinemática adoptada:

$$\langle \mathbf{f}, \hat{\mathbf{v}} \rangle = \langle \mathcal{D}^*(\mathbf{T}), \hat{\mathbf{v}} \rangle = (\mathbf{T}, \mathcal{D}(\hat{\mathbf{v}})) \quad \forall \hat{\mathbf{v}} \in \mathcal{V} \quad (\text{A.25})$$

Específicamente para el caso de la cinemática planteada de cuerpos continuos, se tiene que:

$$\langle \mathbf{f}, \hat{\mathbf{v}} \rangle = (\mathbf{T}, \mathcal{D}(\hat{\mathbf{v}})) = \int_{\Omega} \mathbf{T} \cdot \text{grad}^S \hat{\mathbf{v}} dV \quad (\text{A.26})$$

$$= \int_{\Omega} \mathbf{T} \cdot \text{grad} \hat{\mathbf{v}} dV \quad (\text{A.27})$$

$$= \int_{\Omega} [\text{div}(\mathbf{T} \hat{\mathbf{v}}) - \text{div} \mathbf{T} \cdot \hat{\mathbf{v}}] dV \quad (\text{A.28})$$

$$= \int_{\partial\Omega^N} \mathbf{T} \mathbf{n} \cdot \hat{\mathbf{v}} dS + \int_{\partial\Omega} \text{div} \mathbf{T} \cdot \hat{\mathbf{v}} dV \quad (\text{A.29})$$

$$= \int_{\partial\Omega^N} \mathbf{a} \cdot \hat{\mathbf{v}} dS + \int_{\partial\Omega} \mathbf{b} \cdot \hat{\mathbf{v}} dV \quad (\text{A.30})$$

$$= \langle \mathcal{D}^*(\mathbf{T}), \hat{\mathbf{v}} \rangle \quad (\text{A.31})$$

donde $\partial\Omega^N$ es la frontera de Neumann de Ω , donde no se encuentran prescritas las acciones de movimiento.

Es decir, se ha encontrado la forma del operador de equilibrio para este caso:

$$\mathcal{D}^*(\cdot) = \begin{cases} -\text{div}(\cdot) & \text{en } \Omega \\ (\cdot) \mathbf{n} & \text{en } \partial\Omega^N \end{cases} \quad (\text{A.32})$$

Además, se ha encontrado que el sistema de fuerzas externas que es compatible con

acciones de movimiento $\hat{\mathbf{v}} \in \text{Var}_{\mathbf{v}}$, está caracterizado por una fuerza por unidad de volumen (b) en Ω y por una fuerza por unidad de superficie (a) en $\partial\Omega^N$ (figura A.3).

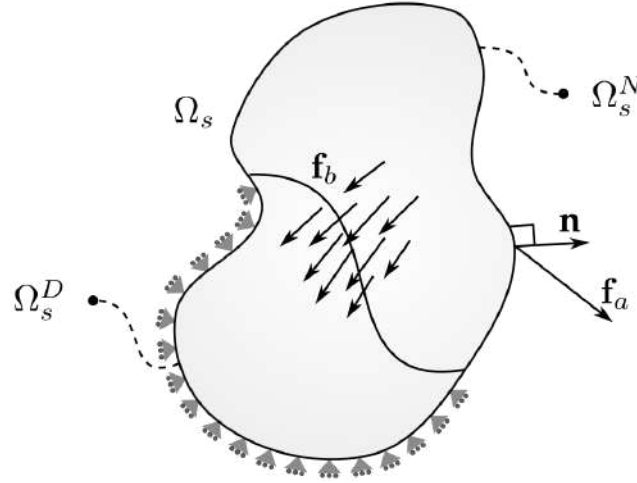


Figura A.3: Esquema del cuerpo en la configuración Ω , con restricciones cinemáticas bilaterales en la frontera de Dirichlet ($\partial\Omega^D$) y bajo dos tipos de esfuerzos externos: una fuerza de volumen (b) en la región Ω y una fuerza de superficie (a) en la frontera de Neumann ($\partial\Omega^N$).

Finalmente, el principio de potencia virtual, para el caso particular bajo consideración, adopta la siguiente forma:

$$\int_{\Omega} \mathbf{T} \cdot \text{grad}^S \hat{\mathbf{v}} dV - \int_{\Omega} \mathbf{b} \cdot \hat{\mathbf{v}} dV - \int_{\partial\Omega^N} \mathbf{a} \cdot \hat{\mathbf{v}} dS = 0 \quad \forall \hat{\mathbf{v}} \in \text{Var}_{\mathbf{v}} \quad (\text{A.33})$$

A.5. Linealización

A.5.1. Expresión del PPV en la configuración material

Hasta aquí se presentó el PPV en la configuración en que se encuentra realmente definido, es decir, en la configuración actual o espacial. Sin embargo, como es usual en la mecánica, se desea resolver el campo de desplazamientos a partir de conocer la configuración material.

Para ello, se hace uso de las siguientes relaciones:

$$(dV)_m = \det \mathbf{F} dV_m \quad (\text{A.34})$$

$$(dS)_m = \det \mathbf{F} \|\mathbf{F}^{-T} \mathbf{N}\| dS_m \quad (\text{A.35})$$

$$\mathbf{n}_m = \frac{\mathbf{F}^{-T} \mathbf{N}}{\|\mathbf{F}^{-T} \mathbf{N}\|} \quad (\text{A.36})$$

$$\mathbf{S} = \det \mathbf{F} \mathbf{F}^{-1} \mathbf{T} \mathbf{F}^{-T} \quad (\text{A.37})$$

donde \mathbf{N} es el versor normal a la superficie $\partial\Omega_m^N$, \mathbf{S} el tensor de tensiones de Piola-Kirchhoff de segunda especie y el subíndice m indica que se expresan en términos de las coordenadas materiales (\mathbf{X}), variables que naturalmente están dadas en términos de las coordenadas espaciales (\mathbf{x}).

Luego, el problema mecánico puede expresarse equivalentemente de la siguiente manera: encontrar $\mathbf{U} \in \text{Kin}_{\mathbf{U}}$ tal que

$$\begin{aligned} \int_{\Omega_m} \mathbf{S}(\mathbf{E}(\mathbf{U})) \cdot (\mathbf{F}^T \nabla \hat{\mathbf{V}})^S dV_m - \int_{\partial\Omega_m^N} \mathbf{b}_m \cdot \hat{\mathbf{V}} \det \mathbf{F} dS_m \\ - \int_{\partial\Omega_m^N} \mathbf{a}_m \cdot \hat{\mathbf{V}} \det \mathbf{F} \|\mathbf{F}^{-T} \mathbf{N}\| dS_m = 0 \quad \forall \hat{\mathbf{V}} \in \text{Var}_{\mathbf{V}} \end{aligned} \quad (\text{A.38})$$

donde $\hat{\mathbf{V}} = \hat{\mathbf{v}}_m$ y $\text{Var}_{\mathbf{V}} = (\text{Var}_{\mathbf{v}})_m$.

Por practicidad, en adelante se expresará (A.38) en forma compacta como sigue:

$$\left\langle \mathcal{R}_m(\mathbf{U}), \hat{\mathbf{V}} \right\rangle_{\Omega_m} = 0 \quad \forall \hat{\mathbf{V}} \in \text{Var}_{\mathbf{V}} \quad (\text{A.39})$$

A.5.2. Linealización

Una vez definida la expresión del PPV en la configuración material (conocida), se plantea el método de Newton-Raphson como la siguiente aproximación: dada una configuración $\mathbf{U}^k \in \text{Kin}_{\mathbf{U}}$, hallar el incremento $\delta\mathbf{U} \in \text{Var}_{\mathbf{V}}$ tal que

$$\begin{aligned} \left\langle \mathcal{R}_m(\mathbf{U}^k), \hat{\mathbf{V}} \right\rangle_{\Omega_m} \\ + \frac{d}{d\tau} \left\langle \mathcal{R}_m(\mathbf{U}^k + \tau\delta\mathbf{U}), \hat{\mathbf{V}} \right\rangle_{\Omega_m} \Big|_{\tau=0} = 0 \quad \forall \hat{\mathbf{V}} \in \text{Var}_{\mathbf{V}} \end{aligned} \quad (\text{A.40})$$

donde el operador $\frac{d}{d\tau}(\cdot)|_{\tau=0}$ es la conocida derivada de Gateaux.

En consecuencia PPV linealizado en la configuración material queda:

$$\begin{aligned}
& \int_{\Omega_m} \mathbf{S} \cdot \left(\mathbf{F}^T \nabla \hat{\mathbf{V}} \right)^S dV_m - \int_{\partial\Omega_m^N} \mathbf{b}_m \cdot \hat{\mathbf{V}} \det \mathbf{F} dS_m \\
& - \int_{\partial\Omega_m^N} \mathbf{a}_m \cdot \hat{\mathbf{V}} \det \mathbf{F} \|\mathbf{F}^{-T} \mathbf{N}\| dS_m \\
& + \int_{\Omega_m} \left(\frac{\partial \mathbf{S}}{\partial \mathbf{E}} \right) (\mathbf{F}^T \nabla \delta \mathbf{U})^S \cdot \left(\mathbf{F}^{-T} \nabla \hat{\mathbf{V}} \right) dV_m \\
& - \int_{\Omega_m} \mathbf{b}_m \cdot \hat{\mathbf{V}} (\mathbf{F}^{-T} \cdot \nabla \delta \mathbf{U}) \det \mathbf{F} dV_m \\
& - \int_{\partial\Omega_m^N} \mathbf{a}_m \cdot \hat{\mathbf{V}} [(\nabla \delta \mathbf{U} \mathbf{F}^{-1}) \cdot \mathbf{P}_m^t] \det \mathbf{F} \|\mathbf{F}^{-T} \mathbf{N}\| dS_m \\
& = 0 \quad \forall \hat{\mathbf{V}} \in \text{Var}_{\mathbf{v}}
\end{aligned} \tag{A.41}$$

donde $\mathbf{P}_m^t = \left(\mathbf{I} - \frac{\mathbf{F}^{-T} \mathbf{N}}{\|\mathbf{F}^{-T} \mathbf{N}\|} \otimes \frac{\mathbf{F}^{-T} \mathbf{N}}{\|\mathbf{F}^{-T} \mathbf{N}\|} \right)$ es el tensor proyección tangencial en términos de variables materiales.

Es importante tener en cuenta que si bien en la expresión anterior se ha dejado implícita la dependencia de \mathbf{U}^k para facilitar la lectura, se debe tener en cuenta que donde se lee \mathbf{S} y \mathbf{F} , se trata de $\mathbf{S}(\mathbf{E}(\mathbf{U}^k))$ y $\mathbf{F}(\mathbf{U}^k)$, respectivamente.

Finalmente, es posible reescribir el PPV linealizado nuevamente en la configuración espacial. Esto presenta la ventaja de mejorar la precisión con la que se evalúan los términos en la frontera en esquemas discretos, por no intervenir el tensor \mathbf{F} en su cálculo:

$$\begin{aligned}
& \int_{\Omega} \left[\frac{1}{\det \mathbf{F}} \mathbf{F} \mathbf{S} \mathbf{F} \right]_e \cdot (\text{grad} \hat{\mathbf{v}})^S dV - \int_{\Omega} \mathbf{b} \cdot \hat{\mathbf{v}} dV - \int_{\partial\Omega^N} \mathbf{a} \cdot \hat{\mathbf{v}} dS \\
& + \int_{\Omega} \mathbf{D}_e (\text{grad} \delta \mathbf{u})^S \cdot \text{grad} \hat{\mathbf{v}} dV - \int_{\Omega} \mathbf{b} \cdot \hat{\mathbf{v}} (\text{div} \delta \mathbf{u}) dV \\
& - \int_{\partial\Omega^N} \mathbf{a} \cdot \hat{\mathbf{v}} (\text{grad} \delta \mathbf{u} \cdot \mathbf{P}^t) dS = 0 \quad \forall \hat{\mathbf{v}} \in \text{Var}_{\mathbf{v}}
\end{aligned} \tag{A.42}$$

donde $\mathbf{P}^t = (\mathbf{I} - \mathbf{n} \otimes \mathbf{n})$ es el tensor proyección tangencial.

Apéndice B

Código desarrollado

B.1. RVE de celdas triangulares

```

1
2 PROGRAM TrianglesRVE
3   USE MOD_Programs, ONLY : Haz_Curva, RVE, RVE_Optimizar
4   USE MOD_RVE, ONLY : RVE_Curva_Simple, RVE_Curva_Biaxial
5   USE MOD_Auxiliar, ONLY : FindStringInFile
6   ! = = = = =
7   IMPLICIT NONE
8   ! = = = = =
9   CHARACTER (LEN=120) :: configFile
10  CHARACTER (LEN=120) :: outFile
11  ! = = = = =
12  ! Current working directory
13  CHARACTER (LEN=255) :: cwd
14  ! = = = = =
15  INTEGER :: fid
16  INTEGER :: iStatus
17  CHARACTER (LEN=10) :: instruccion
18  ! = = = = =
19
20
21  CALL GETCWD (cwd)
22
23  configFile = '0d.config'
24  fid = 11
25  OPEN (UNIT=fid, FILE=TRIM(configFile), STATUS="OLD")
26  iStatus = FindStringInFile("CONTROL", fid, .TRUE.)
27  READ (fid,*) instruccion
28  READ (fid,*) outFile
29  CLOSE (UNIT=fid)
30
31
32  IF (TRIM(instruccion) == "computar") THEN
33    CALL RVE (RVE_Curva_Simple, configFile, outFile)
34  ELSEIF (TRIM(instruccion) == "optimizar") THEN
35    CALL RVE_Optimizar (RVE_Curva_Simple, configFile, outFile)
36  ELSEIF (TRIM(instruccion) == "curva_haz") THEN
37    CALL Haz_Curva (configFile, outFile)
38  ELSE
39    WRITE (*,*) "instruccion_erronea,_no_se_hace_nada"
40  END IF
41
42  STOP
43
44 END PROGRAM TrianglesRVE

```

```

1 ! = = = = =
2 MODULE MOD_Programs
3

```

```

4      ! -----
5      IMPLICIT NONE
6      PRIVATE ! NOTE_avoid_public_variables_if_possible
7      ! -----
8      PUBLIC :: RVE
9      PUBLIC :: Haz_Curva
10     PUBLIC :: RVE_Optimizar
11     ! -----
12
13     ! =====
14     CONTAINS
15     ! =====
16
17
18     ! =====
19     SUBROUTINE Haz_Curva(configurationFile, outputFile)
20     ! -----
21     USE MOD_Bundle, ONLY : Get_CurvaConstitutivaHaz
22     USE MOD_Auxiliar, ONLY : FindStringInFile
23     IMPLICIT NONE
24     ! -----
25     INTEGER, PARAMETER :: nDim = 2
26     ! -----
27     CHARACTER(LEN=*), INTENT(IN) :: configurationFile
28     CHARACTER(LEN=*), INTENT(IN) :: outputFile
29     ! -----
30     ! Elastic parameters
31     REAL(8) :: Et
32     REAL(8) :: Eb
33     ! Bundle parameters
34     REAL(8) :: lamr0, lamrS, lamr_min, lamr_max
35     ! Parametros haz - discretizacion curva constitutiva
36     INTEGER :: CC_nPuntos, CC_precision
37     REAL(8) :: CC_lam_min, CC_lam_max
38     ! Curva constitutiva
39     REAL(8), ALLOCATABLE :: CC_lam(:), CC_ten(:)
40     ! RVE parameters
41     INTEGER :: nBundlesRVE
42     REAL(8), ALLOCATABLE :: bundles_v0(:, :)
43     REAL(8) :: angleRVE
44     ! Mat parameters
45     REAL(8) :: volFraction
46     ! -----
47     ! Counter
48     INTEGER :: last, i
49     ! Reading status
50     INTEGER :: iStatus
51     ! File ID
52     INTEGER, PARAMETER :: fid1 = 11
53     ! Current working directory
54     CHARACTER(LEN=255) :: cwd
55     ! -----
56     ! Arrays for optimization
57     INTEGER :: numParFix
58     REAL(8), ALLOCATABLE :: ParFix(:)
59     INTEGER :: numParFit
60     REAL(8), ALLOCATABLE :: ParFit(:)
61     ! Fitting
62     REAL(8) :: MEA, TSS, SSR, R2
63     ! -----
64
65     ! -----
66     WRITE(*,*) "Configuracion_en:_", TRIM(configurationFile)
67     WRITE(*,*) "Salida_en:_", TRIM(outputFile)
68     ! -----
69     ! Leer parametros
70     OPEN(UNIT=fid1, FILE=TRIM(configurationFile), STATUS="OLD")
71     iStatus = FindStringInFile("FIXPAR", fid1, .TRUE.)
72     READ(fid1,*) numParFix
73     ALLOCATE( ParFix(numParFix) )

```

```

74     READ(fidl,*) ParFix
75     iStatus = FindStringInFile("FITPAR", fidl, .TRUE.)
76     READ(fidl,*) numParFit
77     ALLOCATE( ParFit(numParFit) )
78     READ(fidl,*) ParFit
79     CLOSE(UNIT=fid1)
80     ! - - - - -
81     ! Parametros
82     nBundlesRVE = NINT(ParFix(1))
83     ALLOCATE( bundles_v0(nDim, nBundlesRVE) )
84     bundles_v0 = RESHAPE( ParFix(2:1+nDim*nBundlesRVE), SHAPE(bundles_v0) )
85     last = 1 + nDim*nBundlesRVE
86     !
87     CC_nPuntos = ParFix(last+1)
88     CC_lam_min = ParFix(last+2)
89     CC_lam_max = ParFix(last+3)
90     CC_precision = ParFix(last+4)
91     !
92     Et = ParFit(1)
93     Eb = ParFit(2)
94     lamr0 = ParFit(4)
95     lamrS = ParFit(5)
96     lamr_min = ParFit(6)
97     lamr_max = ParFit(7)
98     ! - - - - -
99     ! Calcular curva constitutiva de un haz
100    CALL Get_CurvaConstitutivaHaz &
101    (CC_nPuntos, CC_lam_min, CC_lam_max, &
102    Et, Eb, lamr0, lamrS, lamr_min, lamr_max, &
103    CC_precision, &
104    CC_lam, CC_ten)
105    ! - - - - -
106    OPEN(UNIT=fid1,FILE=outputFile,STATUS="replace")
107    WRITE(fid1, *) CC_nPuntos
108    DO i=1,CC_nPuntos
109        WRITE(fid1,'(2E20.8E3)') CC_lam(i), CC_ten(i)
110    END DO
111    CLOSE(fid1)
112    ! - - - - -
113
114
115    ! - - - - -
116    END SUBROUTINE Haz_Curva
117    ! = = = = =
118
119
120    ! = = = = =
121    SUBROUTINE RVE(ExtFun_Curva, configurationFile, outputFile)
122        ! - - - - -
123        ! Esta subrutina computa y escribe en archivo la curva constitutiva de
124        ! un RVE, el tipo de deformacion aplicado viene dado por la subrutina
125        ! externa ExtFun_Curva. Puede ser uniaxial, biaxial, simple. (Ver ejem-
126        ! plos en el modulo MOD_RVE)
127        ! - - - - -
128        USE MOD_Auxiliar, ONLY : FindStringInFile, Compute_SSR
129        IMPLICIT NONE
130        ! - - - - -
131        INTEGER, PARAMETER :: nDim = 2
132        ! - - - - -
133        EXTERNAL :: ExtFun_Curva
134        INTERFACE
135            SUBROUTINE ExtFun_Curva(nPuntos, lam_array, nPar1, Par1, nPar2, Par2, P)
136                INTEGER, PARAMETER :: nDim = 2
137                INTEGER, INTENT(IN) :: nPuntos
138                REAL(8), INTENT(IN) :: lam_array(nPuntos)
139                INTEGER, INTENT(IN) :: nPar1
140                REAL(8), INTENT(IN) :: Par1(nPar1)
141                INTEGER, INTENT(IN) :: nPar2
142                REAL(8), INTENT(IN) :: Par2(nPar2)
143                REAL(8), INTENT(OUT) :: P(nDim,nDim,nPuntos)

```

```

144         END SUBROUTINE
145     END INTERFACE
146     CHARACTER(LEN=*) , INTENT(IN) :: configurationFile
147     CHARACTER(LEN=*) , INTENT(IN) :: outputFile
148     ! - - - - -
149     ! Counter
150     INTEGER :: last, i
151     ! Reading status
152     INTEGER :: iStatus
153     ! Data arrays
154     INTEGER :: numExpDataPoints, lambdas_n
155     REAL(8) :: lambdas_ini, lambdas_fin, lambdas_delta
156     REAL(8), ALLOCATABLE :: exp_lam(:), exp_ten(:)
157     !
158     REAL(8), ALLOCATABLE :: sim_stress(:, :, :)
159     ! File ID
160     INTEGER, PARAMETER :: fid1 = 11, fid2=12
161     ! Current working directory
162     CHARACTER(LEN=255) :: cwd
163     ! - - - - -
164     ! Arrays for optimization
165     INTEGER :: numParFix
166     REAL(8), ALLOCATABLE :: ParFix(:)
167     INTEGER :: numParFit
168     REAL(8), ALLOCATABLE :: ParFit(:)
169     ! Fitting
170     REAL(8) :: MEA, TSS, SSR, Residuo
171     ! - - - - -
172
173     ! - - - - -
174     WRITE(*,*) "Configuracion_en:_", TRIM(configurationFile)
175     WRITE(*,*) "Salida_en:_", TRIM(outputFile)
176     ! - - - - -
177     ! LEER PARAMETROS
178     OPEN(UNIT=fid1, FILE=TRIM(configurationFile), STATUS="OLD")
179     ! parametros fijos
180     iStatus = FindStringInFile("FIXPAR", fid1, .TRUE.)
181     READ(fid1,*) numParFix
182     ALLOCATE( ParFix(numParFix) )
183     READ(fid1,*) ParFix
184     ! parametros a estimar
185     iStatus = FindStringInFile("FITPAR", fid1, .TRUE.)
186     READ(fid1,*) numParFit
187     ALLOCATE( ParFit(numParFit) )
188     READ(fid1,*) ParFit
189     ! - - - - -
190     ! LEER DEFORMACIONES Y TENSIONES
191     ! chequear si los lambdas se dan en 0d.config
192     iStatus = FindStringInFile("LAMBAS", fid1, .FALSE.)
193     IF (iStatus == 0) THEN
194         ! si se dan ahí se ensambla el array de lambdas a partir de unos pocos parametros
195         ! y a la tension se asigna un array de ceros
196         READ(fid1,*) lambdas_ini, lambdas_fin, lambdas_n
197         ! Ensamblar array de deformaciones para computar tensiones
198         ALLOCATE( exp_lam(lambdas_n) )
199         ALLOCATE( exp_ten(lambdas_n) )
200         exp_ten = 0.0d0
201         exp_lam(1) = lambdas_ini
202         lambdas_delta = (lambdas_fin-lambdas_ini)/DFLOAT(lambdas_n-1)
203         DO i=2,lambdas_n
204             exp_lam(i) = exp_lam(i-1)+lambdas_delta
205         END DO
206     ELSE IF (iStatus < 0) THEN
207         ! si no se dan en 0d.config entonces se lee de una curva experimental
208         OPEN( UNIT=fid2, FILE="curva_experimental.txt", STATUS="old")
209         READ(fid2,*) numExpDataPoints
210         lambdas_n = numExpDataPoints
211         ALLOCATE( exp_lam(lambdas_n) )
212         ALLOCATE( exp_ten(lambdas_n) )
213         DO i=1,lambdas_n

```

```

214         READ(fid2, *) exp_lam(i), exp_ten(i)
215     END DO
216     CLOSE(UNIT=fid2)
217     ! Mean average and total sum of squares
218     MEA = SUM(exp_ten) / lambdas_n
219     TSS = SUM( (exp_lam-MEA)*(exp_lam-MEA) )
220 ELSE
221     WRITE(*,*) "Error_leyendo_archivo, iStatus=", iStatus
222     STOP
223 END IF
224
225 CLOSE(UNIT=fid1)
226 ! - - - - -
227
228 ! - - - - -
229 ! COMPUTAR CURVA CONSTITUTIVA TENSION-DEFORMACION
230 ALLOCATE( sim_stress(nDim, nDim, lambdas_n), STAT=iStatus)
231 CALL ExtFun_Curva &
232 (lambdas_n, exp_lam, &
233 numParFix, ParFix, &
234 numParFit, ParFit, &
235 sim_stress)
236 ! - - - - -
237 ! ESCRIBIR CURVA CONSTITUTIVA
238 OPEN(UNIT=fid1, FILE=outputFile, STATUS="replace")
239 IF (iStatus<0) THEN
240     ! Residuo
241     SSR = Compute_SSR(exp_ten, sim_stress(1,1,:), lambdas_n)
242     Residuo = SSR/TSS
243     WRITE(*,*) "Residuo:", Residuo
244 END IF
245 WRITE(fid1, "(6A20)") "exp_lambda", "exp_stress", "P11", "P21", "P12", "P22"
246 DO i=1, lambdas_n
247     WRITE(fid1, '(6E20.8E3)') exp_lam(i), exp_ten(i), sim_stress(:, :, i)
248 END DO
249 CLOSE(fid1)
250 ! - - - - -
251
252
253 ! - - - - -
254 END SUBROUTINE RVE
255 ! = = = = =
256
257
258 ! = = = = =
259 SUBROUTINE RVE_Optimizar(ExtFun_Curva, configurationFile, outputFile)
260 ! - - - - -
261 USE MOD_Optimization, ONLY : BruteForceOptimization
262 USE MOD_Auxiliar, ONLY : FindStringInFile
263 IMPLICIT NONE
264 ! - - - - -
265 INTEGER, PARAMETER :: nDim = 2
266 ! - - - - -
267 EXTERNAL :: ExtFun_Curva
268 INTERFACE
269     SUBROUTINE ExtFun_Curva(nPuntos, lam_array, nPar1, Par1, nPar2, Par2, P)
270         INTEGER, PARAMETER :: nDim = 2
271         INTEGER, INTENT(IN) :: nPuntos
272         REAL(8), INTENT(IN) :: lam_array(nPuntos)
273         INTEGER, INTENT(IN) :: nPar1
274         REAL(8), INTENT(IN) :: Par1(nPar1)
275         INTEGER, INTENT(IN) :: nPar2
276         REAL(8), INTENT(IN) :: Par2(nPar2)
277         REAL(8), INTENT(OUT) :: P(nDim, nDim, nPuntos)
278     END SUBROUTINE
279 END INTERFACE
280 CHARACTER(LEN=*), INTENT(IN) :: configurationFile
281 CHARACTER(LEN=*), INTENT(IN) :: outputFile
282 ! - - - - -
283 ! Counter

```

```

284     INTEGER :: i
285     ! Reading Status
286     INTEGER :: iStatus
287     ! Data arrays
288     INTEGER :: numExpDataPoints
289     REAL(8), ALLOCATABLE :: exp_lambdas(:)
290     REAL(8), ALLOCATABLE :: exp_stress(:)
291     !real(8) :: sim_stress(2,2,60)
292     REAL(8), ALLOCATABLE :: sim_P(:, :, :)
293     REAL(8), ALLOCATABLE :: sim_P_old(:, :, :)
294     REAL(8), ALLOCATABLE :: sim_F22(:)
295     ! File ID
296     INTEGER, PARAMETER :: fid1 = 11
297     ! Current working directory
298     CHARACTER(LEN=255) :: cwd
299     ! - - - - -
300     ! Arrays for optimization
301     INTEGER :: numParFix
302     REAL(8), ALLOCATABLE :: ParFix(:)
303     INTEGER :: numParFit
304     REAL(8), ALLOCATABLE :: ParFit(:)
305     REAL(8), ALLOCATABLE :: ParFitUpd(:)
306     REAL(8), ALLOCATABLE :: FitDeltas(:)
307     LOGICAL, ALLOCATABLE :: FitMask(:)
308     INTEGER :: maxiter_opt
309     REAL(8) :: tolerance_opt
310     REAL(8) :: Residuo
311     ! - - - - -
312
313
314     ! - - - - -
315     ! Leer parametros
316     OPEN(UNIT=fid1, FILE=TRIM(configurationFile), STATUS="OLD")
317
318     iStatus = FindStringInFile("FIXPAR", fid1, .TRUE.)
319     READ(fid1,*) numParFix
320     ALLOCATE( ParFix(numParFix) )
321     READ(fid1,*) ParFix
322
323     iStatus = FindStringInFile("FITPAR", fid1, .TRUE.)
324     READ(fid1,*) numParFit
325     ALLOCATE( ParFit(numParFit) )
326     READ(fid1,*) ParFit
327
328     iStatus = FindStringInFile('OPTPAR', fid1, .TRUE.)
329     ALLOCATE( FitDeltas(numParFit) )
330     ALLOCATE( FitMask(numParFit) )
331     READ(fid1,*) maxiter_opt, tolerance_opt
332     READ(fid1,*) FitDeltas
333     READ(fid1,*) FitMask
334     CLOSE(UNIT=fid1)
335     ! - - - - -
336     OPEN(UNIT=fid1, FILE='FitParUpd.txt', STATUS='old')
337     READ(fid1,*) ParFit
338     CLOSE(fid1)
339     ! - - - - -
340
341     ! - - - - -
342     ! Read experimental data
343     OPEN( UNIT=fid1, FILE='curva_experimental.txt', STATUS='old')
344     READ(fid1,*) numExpDataPoints
345     ALLOCATE( exp_lambdas(numExpDataPoints) )
346     ALLOCATE( exp_stress(numExpDataPoints) )
347     DO i=1,numExpDataPoints
348         READ(fid1, *) exp_lambdas(i), exp_stress(i)
349     END DO
350     exp_lambdas = exp_lambdas
351     exp_stress = exp_stress
352     CLOSE(fid1)
353     ! - - - - -

```

```

354
355      ! - - - - -
356      ALLOCATE( ParFitUpd(numParFit) )
357      ! - - - - -
358      CALL BruteForceOptimization(ExtFun_Curva, &
359      numExpDataPoints, exp_lambdas, exp_stress, numParFix, ParFix, numParFit, ParFit, &
360      FitDeltas, FitMask, maxiter_opt, tolerance_opt, .TRUE., 99, &
361      ParFitUpd, Residuo)
362      ! - - - - -
363      OPEN(UNIT=fid1, FILE='FitParUpd.txt', STATUS='replace')
364      WRITE(fid1,'(F20.8,_E20.8,_4F20.8)') ParFitUpd
365      WRITE(fid1,*) Residuo
366      CLOSE(fid1)
367      ! - - - - -
368      ALLOCATE( sim_P_old(nDim, nDim, numExpDataPoints) )
369      CALL ExtFun_Curva(numExpDataPoints, exp_lambdas, numParFix, ParFix, numParFit, ParFit, sim_P_old)
370      ALLOCATE( sim_P(nDim, nDim, numExpDataPoints) )
371      CALL ExtFun_Curva(numExpDataPoints, exp_lambdas, numParFix, ParFix, numParFit, ParFitUpd, sim_P)
372      ! - - - - -
373      OPEN(UNIT=fid1,FILE=outputFile,STATUS='replace')
374      WRITE(fid1,'(10A20)') 'exp_lambda', 'exp_stress', 'P11', 'P21', 'P12', 'P22', 'Pold11', 'Pold21', 'Pold12', '
      ↪ Pold22'
375      DO i=1,numExpDataPoints
376          WRITE(fid1,'(10E20.8E3)') exp_lambdas(i), exp_stress(i), sim_P(:, :,i), sim_P_old(:, :,i)
377      END DO
378      CLOSE(UNIT=fid1)
379      ! - - - - -
380
381
382      ! - - - - -
383      END SUBROUTINE RVE_Optimizar
384      ! = = = = =
385
386
387
388      END MODULE MOD_Programs

```

```

1      ! = = = = =
2      MODULE MOD_RVE
3
4      ! - - - - -
5      IMPLICIT NONE
6      PRIVATE ! NOTE_avoid_public_variables_if_possible
7      ! - - - - -
8      PUBLIC :: RVE_Curva_Biaxial
9      PUBLIC :: RVE_Curva_Simple
10     ! - - - - -
11
12     ! = = = = =
13     CONTAINS
14     ! = = = = =
15
16
17
18     ! = = = = =
19     ! ROUTINE:
20     ! RVE_Fibers_Initialization
21     !
22     ! DESCRIPTION:
23     ! Given the number of fibers that compose the RVE
24     ! returns the fibers initial unity vectors as the columns of an array of size=(2, nFibers)
25     ! Also takes in an optional argument to rotate the entire RVE counter-clock-wise (in degrees)
26     ! = = = = =
27     FUNCTION RVE_Deformation(FF, nMembers, members0) RESULT(lambdas)
28     ! - - - - -
29     IMPLICIT NONE
30     ! - - - - -
31     REAL(8), INTENT(IN) :: FF(2,2) ! Deformation gradient
32     INTEGER, INTENT(IN) :: nMembers ! Number of fibers that compose the RVE
33     REAL(8), INTENT(IN) :: members0(2,nMembers) ! Array with the fibers initial unity vectors as columns

```

```

34      ! - - - - -
35      REAL(8) :: lambdas(nMembers) ! array with the stretch of each fiber of the RVE
36      ! - - - - -
37      INTEGER :: i ! counter
38      REAL(8) :: member(2) ! member deformed vector
39      ! - - - - -
40
41      ! - - - - -
42      DO i=1,nMembers
43          member(1) = FF(1,1)*members0(i,1) + FF(1,2)*members0(i,2)
44          member(2) = FF(2,1)*members0(i,1) + FF(2,2)*members0(i,2)
45          lambdas(i) = DSQRT(SUM(member*member))
46      END DO
47      ! - - - - -
48
49      ! - - - - -
50  END FUNCTION RVE_Deformation
51  ! = = = = =
52
53
54  ! = = = = =
55  ! ROUTINE:
56  ! TODO_function_or_subroutine_name
57  !
58  ! DESCRIPTION:
59  ! TODO_describe_routine_purpose.
60  ! = = = = =
61  FUNCTION RVE_Respuesta(FF, nBundlesRVE, bundles0, CC_n, CC_l, CC_t, volumeFraction, lr0) RESULT(fpkStress)
62      ! - - - - -
63      USE CLASS_Curve, ONLY : Curva
64      USE MOD_Auxiliar, ONLY : OuterProduct_2x2, ComputeFromCurve
65      IMPLICIT NONE
66      ! - - - - -
67      INTEGER, PARAMETER :: nDim = 2
68      ! - - - - -
69      REAL(8), INTENT(IN) :: FF(nDim,nDim) ! Deformation gradient
70      INTEGER, INTENT(IN) :: nBundlesRVE ! Number of members that compose the RVE
71      REAL(8), INTENT(IN) :: bundles0(nDim,nBundlesRVE) ! Array with the initial unity vectors of the fibers
72      INTEGER, INTENT(IN) :: CC_n ! numero de puntos de la curva constitutiva del haz
73      REAL(8), INTENT(IN) :: CC_l(CC_n), CC_t(CC_n) ! arrays de la curva constitutiva del haz (lambdas y tensiones)
74      REAL(8), INTENT(IN) :: volumeFraction ! Volume fraction of the macroscopic material
75      REAL(8), INTENT(IN) :: lr0 ! valor medio de la distribucion de reclutamiento
76      ! - - - - -
77      REAL(8) :: fpkStress(nDim,nDim) ! First Piola Kirchhoff Stress Tensor (average of the fibers)
78      ! - - - - -
79      REAL(8) :: bundle(nDim) ! member deformed vector
80      REAL(8) :: b0xb0(nDim,nDim) ! outer product of a bundle direction with itself
81      REAL(8) :: lambda
82      INTEGER :: i ! counter
83      REAL(8) :: bundleStress
84      ! - - - - -
85
86      ! - - - - -
87      ! RVE Stress as a sum over the RVE members
88      fpkStress = 0.0d0
89      DO i=1,nBundlesRVE
90          ! Affine deformation of each member
91          bundle(1) = FF(1,1)*bundles0(1,i) + FF(1,2)*bundles0(2,i)
92          bundle(2) = FF(2,1)*bundles0(1,i) + FF(2,2)*bundles0(2,i)
93          lambda = DSQRT(SUM(bundle*bundle))
94          ! Stress exerted by the member
95          bundleStress = ComputeFromCurve(lambda, CC_n, CC_l, CC_t)
96          ! Sum bundle stress to the RVE stress
97          b0xb0 = OuterProduct_2x2(bundles0(1,i), bundles0(1,i))
98          fpkStress = fpkStress + bundleStress/lambda * b0xb0
99      END DO
100      ! Now complete the computation of RVE stress (products common to all members)
101  ! WRITE(*,*) fpkStress
102      fpkStress = ( volumeFraction/lr0 ) / nBundlesRVE * MATMUL(FF,fpkStress)
103  ! WRITE(*,*) fpkStress

```

```

104      ! - - - - -
105
106      ! - - - - -
107  END FUNCTION RVE_Respuesta
108  ! = = = = =
109
110
111  ! = = = = =
112  SUBROUTINE RVE_Curva_Simple &
113    (nPoints, lambdaArray, &
114     nParam1, Param1, &
115     nParam2, Param2, &
116     fpkStress_array)
117    ! - - - - -
118    USE CLASS_Curve, ONLY : Curva
119    USE MOD_Bundle, ONLY : Get_BundlesVectors, Get_CurvaConstitutivaHaz
120    ! - - - - -
121    IMPLICIT NONE
122    ! - - - - -
123    INTEGER, PARAMETER :: nDim = 2
124    ! - - - - -
125    INTEGER, INTENT (IN) :: nPoints ! Number of points in the curve
126    REAL(8), INTENT (IN) :: lambdaArray(nPoints) ! Array with the lambda values for the nPoints
127    INTEGER, INTENT (IN) :: nParam1
128    REAL(8), INTENT (IN) :: Param1(nParam1)
129    INTEGER, INTENT (IN) :: nParam2
130    REAL(8), INTENT (IN) :: Param2(nParam2)
131    ! - - - - -
132    REAL(8), INTENT (OUT) :: fpkStress_array(nDim,nDim,nPoints)
133    ! - - - - -
134    ! Parametros RVE
135    INTEGER :: nBundlesRVE
136    REAL(8) :: thetaRVE
137    REAL(8), ALLOCATABLE :: bundles_v0(:, :)
138    REAL(8) :: volFraction
139    ! Parametros haz - elasticos
140    REAL(8) :: Et, Eb
141    ! Parametros haz - distribucion
142    REAL(8) :: lamr0, lamrS, lamr_min, lamr_max
143    ! Parametros haz - discretizacion curva constitutiva
144    INTEGER :: CC_nPuntos ! numero de puntos con los que se discretiza la curva constitutiva
145    INTEGER :: CC_precision ! numero de puntos de la curva de distribucion con los que se computa la curva
146    ↪ constitutiva
147    REAL(8) :: CC_lam_min, CC_lam_max
148    ! Curva constitutiva
149    REAL(8), ALLOCATABLE :: CC_lam(:), CC_ten(:)
150    ! Auxiliares
151    INTEGER :: last, i
152    REAL(8) :: F11
153    REAL(8) :: FF(nDim,nDim)
154    ! - - - - -
155    ! - - - - -
156    ! Parametros
157    nBundlesRVE = NINT(Param1(1))
158    ALLOCATE( bundles_v0(nDim, nBundlesRVE) )
159    !bundles_v0 = RESHAPE( Param1(2:1+nDim*nBundlesRVE), SHAPE(bundles_v0) )
160    !last = 1 + nDim*nBundlesRVE
161    thetaRVE = Param1(2)
162    CALL Get_BundlesVectors(nBundlesRVE, thetaRVE, bundles_v0)
163    last = 2
164    !
165    CC_nPuntos = Param1(last+1)
166    CC_lam_min = Param1(last+2)
167    CC_lam_max = Param1(last+3)
168    CC_precision = Param1(last+4)
169    !
170    volFraction = Param2(1)
171    Et = Param2(2)
172    Eb = Param2(3)

```

```

173     lamr0 = Param2(4)
174     lamrS = Param2(5)
175     lamr_min = Param2(6)
176     lamr_max = Param2(7)
177     ! Hago una correccion: la fraccion de volumen la divido por lamr0 para no modificar la funcion RVE_Respuesta
178     volFraction = volFraction
179
180     ! - - - - -
181     ! Calcular curva constitutiva de un haz
182     CALL Get_CurvaConstitutivaHaz(CC_nPuntos, CC_lam_min, CC_lam_max, &
183     Et, Eb, lamr0, lamrS, lamr_min, lamr_max, &
184     CC_precision, &
185     CC_lam, CC_ten)
186     ! - - - - -
187     ! Computing
188     ! WRITE(*,*) 'Computando curva en RVE_Curva_Simple()'
189     ! WRITE(*,*) 'Numero de puntos: ', nPoints
190     DO i=1,nPoints
191     ! WRITE(*,'(I4)',ADVANCE='NO') i
192         FF = RESHAPE([lambdaArray(i), 0.0d0, 0.0d0, 1.0d0], SHAPE(FF))
193         fpkStress_array(:,i) = RVE_Respuesta(FF, nBundlesRVE, bundles_v0, CC_nPuntos, CC_lam, CC_ten, volFraction,
194         ↪ lamr0)
195     END DO
196     ! WRITE(*,*)
197     ! - - - - -
198     ! - - - - -
199     END SUBROUTINE RVE_Curva_Simple
200     ! = = = = =
201
202     ! = = = = =
203     SUBROUTINE RVE_Curva_Biaxial &
204     (nPoints, lambdaArray, &
205     nParam1, Param1, &
206     nParam2, Param2, &
207     fpkStress_array)
208     ! - - - - -
209     USE CLASS_Curve, ONLY : Curva
210     USE MOD_Bundle, ONLY : Get_CurvaConstitutivaHaz
211     ! - - - - -
212     IMPLICIT NONE
213     ! - - - - -
214     INTEGER, PARAMETER :: nDim = 2
215     ! - - - - -
216     INTEGER, INTENT(IN) :: nPoints ! Number of points in the curve
217     REAL(8), INTENT(IN) :: lambdaArray(nPoints) ! Array with the lambda values for the nPoints
218     INTEGER, INTENT(IN) :: nParam1
219     REAL(8), INTENT(IN) :: Param1(nParam1)
220     INTEGER, INTENT(IN) :: nParam2
221     REAL(8), INTENT(IN) :: Param2(nParam2)
222     ! - - - - -
223     REAL(8), INTENT(OUT) :: fpkStress_array(nDim,nDim,nPoints)
224     ! - - - - -
225     ! Parametros RVE
226     INTEGER :: nBundlesRVE
227     REAL(8), ALLOCATABLE :: bundles_v0(:, :)
228     REAL(8) :: volFraction
229     ! Parametros haz - elasticos
230     REAL(8) :: Et, Eb
231     ! Parametros haz - distribucion
232     REAL(8) :: lamr0, lamrS, lamr_min, lamr_max
233     ! Parametros haz - discretizacion curva constitutiva
234     INTEGER :: CC_nPuntos, CC_precision
235     REAL(8) :: CC_lam_min, CC_lam_max
236     ! Curva constitutiva
237     REAL(8), ALLOCATABLE :: CC_lam(:), CC_ten(:)
238     ! Auxiliares
239     INTEGER :: last, i
240     REAL(8) :: F11
241     REAL(8) :: FF(nDim,nDim)

```

```

242      ! - - - - -
243
244      ! - - - - -
245      ! Parametros
246      nBundlesRVE = NINT(Param1(1))
247      ALLOCATE( bundles_v0(nDim, nBundlesRVE) )
248      bundles_v0 = RESHAPE( Param1(2:1+nDim*nBundlesRVE), SHAPE(bundles_v0) )
249      last = 1 + nDim*nBundlesRVE
250      !
251      CC_nPuntos = Param1(last+1)
252      CC_lam_min = Param1(last+2)
253      CC_lam_max = Param1(last+3)
254      CC_precision = Param1(last+4)
255      !
256      volFraction = Param2(1)
257      Et = Param2(2)
258      Eb = Param2(3)
259      lamr0 = Param2(4)
260      lamrS = Param2(5)
261      lamr_min = Param2(6)
262      lamr_max = Param2(7)
263      ! - - - - -
264      ! Calcular curva constitutiva de un haz
265      CALL Get_CurvaConstitutivaHaz(CC_nPuntos, CC_lam_min, CC_lam_max, &
266      Et, Eb, lamr0, lamrS, lamr_min, lamr_max, &
267      CC_precision, &
268      CC_lam, CC_ten)
269      ! - - - - -
270      ! Computing
271      ! WRITE(*,*) 'Computando curva en RVE_Curva_Biaxial()'
272      ! WRITE(*,*) 'Numero de puntos: ', nPoints
273      DO i=1,nPoints
274      ! WRITE(*,'(I4)',ADVANCE='NO') i
275      FF = RESHAPE([lambdaArray(i), 0.0d0, 0.0d0, lambdaArray(i)], SHAPE(FF))
276      fpkStress_array(:, :, i) = RVE_Respuesta(FF, nBundlesRVE, bundles_v0, CC_nPuntos, CC_lam, CC_ten, volFraction,
277      ↪ lamr0)
278      END DO
279      ! WRITE(*,*)
280
281      ! - - - - -
282      END SUBROUTINE RVE_Curva_Biaxial
283      ! = = = = =
284
285      END MODULE MOD_RVE
286      ! = = = = =

```

```

1      ! = = = = =
2      MODULE MOD_Optimization
3
4      ! - - - - -
5      IMPLICIT NONE
6      PRIVATE ! NOTE_avoid_public_variables_if_possible
7      ! - - - - -
8      PUBLIC :: BruteForceOptimization
9      ! - - - - -
10
11      ! = = = = =
12      CONTAINS
13      ! = = = = =
14
15      ! = = = = =
16      SUBROUTINE BruteForceOptimization &
17      (FITFUN, nExpData, expData_x, expData_y, &
18      nFixPar, FIXPAR, nFitPar, FITPAR, FITDEL, FITMASK, &
19      maxiter, Tolerancia, &
20      verbose, logfileID, &
21      FitParUpd, Residuo)
22      ! - - - - -
23      ! DESCRIPTION:

```

```

24      ! Optimization of parameters to minimize sum of squared deviations
25      ! between FITFUN and experimentalData
26      ! -----
27      USE MOD_Auxiliar, ONLY : DeltaArray, Compute_SSR
28      ! -----
29      IMPLICIT NONE
30      ! -----
31      EXTERNAL :: FITFUN
32      INTERFACE
33          SUBROUTINE FITFUN(nPoints, xValues, nFixParam, FixParam, nFitParam, FitParam, yValues)
34              INTEGER, INTENT (IN) :: nPoints
35              REAL(8), INTENT (IN) :: xValues(nPoints)
36              INTEGER, INTENT (IN) :: nFixParam
37              REAL(8), INTENT (IN) :: FixParam(nFixParam)
38              INTEGER, INTENT (IN) :: nFitParam
39              REAL(8), INTENT (IN) :: FitParam(nFitParam)
40              REAL(8), INTENT (OUT) :: yValues(2,2,nPoints)
41          END SUBROUTINE
42      END INTERFACE
43      INTEGER, INTENT (IN) :: nExpData
44      REAL(8), INTENT (IN) :: expData_x(nExpData)
45      REAL(8), INTENT (IN) :: expData_y(nExpData)
46      INTEGER, INTENT (IN) :: nFixPar
47      REAL(8), INTENT (IN) :: FIXPAR(nFixPar)
48      INTEGER, INTENT (IN) :: nFitPar
49      REAL(8), INTENT (IN) :: FITPAR(nFitPar)
50      REAL(8), INTENT (IN) :: FITDEL(nFitPar)
51      LOGICAL, INTENT (IN) :: FITMASK(nFitPar)
52      INTEGER, INTENT (IN) :: maxiter
53      REAL(8), INTENT (IN) :: Tolerancia
54      LOGICAL, INTENT (IN) :: verbose
55      INTEGER, INTENT (IN) :: logfileID
56      ! -----
57      REAL(8), INTENT (OUT) :: FitParUpd(nFitPar) ! Fitting parameters updated
58      REAL(8), INTENT (OUT) :: Residuo
59      ! -----
60      REAL(8) :: MEA ! Mean of experimental array
61      REAL(8) :: TSS ! Total sum of squares
62      REAL(8) :: SSR ! Sum of squared deviations
63      REAL(8) :: SSR_plus
64      REAL(8) :: SSR_minus
65      INTEGER :: i, j
66      REAL(8) :: simData_y_full(2,2,nExpData)
67      REAL(8) :: simData_y(nExpData)
68      REAL(8) :: FitParVar(nFitPar) ! Fitting parameters variated
69      INTEGER :: min_index
70      INTEGER :: FitParChange(nFitPar) ! Change in fitting parameters per iteration
71      LOGICAL :: FitSuccess ! Dictates if optimization was succesfull
72      ! -----
73
74      ! -----
75      FitSuccess = .FALSE.
76      FitParUpd = FITPAR
77      ! -----
78      MEA = SUM(expData_y) / nExpData
79      TSS = SUM((expData_y - MEA)*(expData_y - MEA))
80      ! Centered value of SSR
81      CALL FITFUN(nExpData, expData_x, nFixPar, FIXPAR, nFitPar, FitParUpd, simData_y_full)
82      simData_y = simData_y_full(1,1,:)
83      SSR = Compute_SSR(expData_y, simData_y, nExpData)
84      Residuo = SSR/TSS
85      WRITE(*, '(A30)') 'Starting_with_parameters:_'
86      WRITE(*,*) FitParUpd
87      WRITE(*,*) 'Residuo:_', Residuo
88      ! -----
89      DO i=1,maxiter
90          ! Check if tolerance is met
91          IF ( Residuo < Tolerancia ) THEN
92              WRITE(*,*) 'Achieved_Residuo_tolerance'
93              FitSuccess = .TRUE.

```

```

94      EXIT
95  END IF
96  DO j=1,nFitPar
97      WRITE(*,'(A14,I4,A3)', ADVANCE='NO') 'Parameter: ', j, '->'
98      ! Check if the parameter is to be optimized
99      IF ( .NOT. FITMASK(j) ) THEN
100         WRITE(*,'(A15)') '-----.'
101         FitParChange(j) = 0
102         CYCLE
103     END IF
104     ! Plus value of SSR
105     FitParVar = FitParUpd + FITDEL(j)*DeltaArray(nFitPar,j)
106     CALL FITFUN(nExpData, expData_x, nFixPar, FIXPAR, nFitPar, FitParVar, simData_y_full)
107     simData_y = simData_y_full(1,1,:)
108     SSR_plus = Compute_SSR(expData_y, simData_y, nExpData)
109     ! Minus value of SSR
110     FitParVar = FitParUpd - FITDEL(j)*DeltaArray(nFitPar,j)
111     CALL FITFUN(nExpData, expData_x, nFixPar, FIXPAR, nFitPar, FitParVar, simData_y_full)
112     simData_y = simData_y_full(1,1,:)
113     SSR_minus = Compute_SSR(expData_y, simData_y, nExpData)
114     ! Move along the direction which SSR is minimum
115     min_index = MINLOC( [SSR, SSR_plus, SSR_minus], DIM=1 )
116     SELECT CASE (min_index)
117     CASE (1)
118         WRITE(*,'(A15)') 'Unchanged.'
119         FitParChange(j) = 0
120     CASE (2)
121         WRITE(*,'(A15)') 'Incremented.'
122         FitParChange(j) = 1
123     CASE (3)
124         WRITE(*,'(A15)') 'Decrementated.'
125         FitParChange(j) = -1
126     CASE DEFAULT
127         WRITE(*,'(A50)') 'Error_in_searching_of_a_minimum_for_parameter.'
128         STOP
129     END SELECT
130 END DO
131 ! Updated fitting parameters
132 FitParUpd = FitParUpd + FitParChange*FITDEL
133 ! Centered value of SSR
134 CALL FITFUN(nExpData, expData_x, nFixPar, FIXPAR, nFitPar, FitParUpd, simData_y_full)
135 simData_y = simData_y_full(1,1,:)
136 SSR = Compute_SSR(expData_y, simData_y, nExpData)
137 Residuo = SSR/TSS
138 ! Check if there is some change
139 WRITE(*,'(A12,I7,A30)') 'Iteration ', i, 'complete_with_parameters:'
140 WRITE(*,*) FitParUpd
141 WRITE(*,*) 'Residuo: ', Residuo
142 IF ( ALL(FitParChange == 0) ) THEN
143     WRITE(*,*) 'No_change_in_parameters,_local_minimum_found.'
144     FitSuccess = .TRUE.
145     EXIT
146 END IF
147 END DO
148 ! - - - - -
149 WRITE(*,*) 'Optimization_ended_with_succes_status: ', FitSuccess
150 ! - - - - -
151
152 ! - - - - -
153 END SUBROUTINE BruteForceOptimization
154 ! = = = = =
155
156
157 ! = = = = =
158 SUBROUTINE ConjugateGradientOptimization &
159 (FITFUN, nExpData, expData_x, expData_y, &
160 nFixPar, FIXPAR, nFitPar, FITPAR, FITDEL, FITMASK, &
161 maxiter, R2tolerance, &
162 verbose, logfileID, &
163 FitParUpd, R2)

```

```

164      ! - - - - -
165      ! DESCRIPTION:
166      ! Optimization of parameters to minimize sum of squared deviations
167      ! between FITFUN and experimentalData
168      ! - - - - -
169      USE MOD_Auxiliar, ONLY : DeltaArray, VxV_rR, TxV_rV, VxTxV_rR, Compute_SSR
170      ! - - - - -
171      IMPLICIT NONE
172      ! - - - - -
173      EXTERNAL :: FITFUN
174      INTERFACE
175          FUNCTION FITFUN(nPoints, xValues, nFixParam, FixParam, nFitParam, FitParam) RESULT(yValues)
176              INTEGER, INTENT(IN) :: nPoints
177              REAL(8), INTENT(IN) :: xValues(nPoints)
178              INTEGER, INTENT(IN) :: nFixParam
179              REAL(8), INTENT(IN) :: FixParam(nFixParam)
180              INTEGER, INTENT(IN) :: nFitParam
181              REAL(8), INTENT(IN) :: FitParam(nFitParam)
182              REAL(8) :: yValues(nPoints)
183          END FUNCTION
184      END INTERFACE
185      INTEGER, INTENT(IN) :: nExpData
186      REAL(8), INTENT(IN) :: expData_x(nExpData)
187      REAL(8), INTENT(IN) :: expData_y(nExpData)
188      INTEGER, INTENT(IN) :: nFixPar
189      REAL(8), INTENT(IN) :: FIXPAR(nFixPar)
190      INTEGER, INTENT(IN) :: nFitPar
191      REAL(8), INTENT(IN) :: FITPAR(nFitPar)
192      REAL(8), INTENT(IN) :: FITDEL(nFitPar)
193      LOGICAL, INTENT(IN) :: FITMASK(nFitPar)
194      INTEGER, INTENT(IN) :: maxiter
195      REAL(8), INTENT(IN) :: R2tolerance
196      LOGICAL, INTENT(IN) :: verbose
197      INTEGER, INTENT(IN) :: logfileID
198      ! - - - - -
199      REAL(8), INTENT(OUT) :: FitParUpd(nFitPar) ! Fitting parameters updated
200      REAL(8), INTENT(OUT) :: R2
201      ! - - - - -
202      REAL(8) :: MEA ! Mean of experimental array
203      REAL(8) :: TSS ! Total sum of squares
204      REAL(8) :: SSR ! Sum of squared deviations
205      REAL(8) :: SSR_p(nFitPar)
206      REAL(8) :: SSR_m(nFitPar)
207      REAL(8) :: SSR_pp
208      REAL(8) :: SSR_mm
209      INTEGER :: i, j, k
210      REAL(8) :: simData_y(nExpData)
211      REAL(8) :: FitParVar(nFitPar) ! Fitting parameters varied
212      INTEGER :: min_index
213      INTEGER :: FitParChange(nFitPar) ! Change in fitting parameters per iteration
214      LOGICAL :: FitSuccess ! Dictates if optimization was successful
215      ! - - - - -
216      REAL(8) :: Jacobian(nFitPar)
217      REAL(8) :: Hessian(nFitPar, nFitPar)
218      REAL(8) :: alpha
219      REAL(8) :: aux1, aux2
220      ! - - - - -
221
222      ! - - - - -
223      FitSuccess = .FALSE.
224      FitParUpd = FITPAR
225      ! - - - - -
226      MEA = SUM(expData_y) / nExpData
227      TSS = SUM((expData_y - MEA)*(expData_y - MEA))
228      ! Centered value of SSR
229      simData_y = FITFUN(nExpData, expData_x, nFixPar, FIXPAR, nFitPar, FitParUpd)
230      SSR = Compute_SSR(expData_y, simData_y, nExpData)
231      R2 = 1 - SSR/TSS
232      WRITE(*, '(A30)') 'Starting_with_parameters:_'
233      WRITE(*, *) FitParUpd

```

```

234 WRITE(*,*) 'R2:_', R2
235 ! - - - - -
236 DO i=1,maxiter
237     ! Check if tolerance is met
238     IF ( R2 > R2tolerance ) THEN
239         WRITE(*,*) 'Achieved_R2_tolerance'
240         FitSuccess = .TRUE.
241         EXIT
242     END IF
243
244     DO j=1,nFitPar
245         ! Plus value of SSR
246         FitParVar = FitParUpd + FITDEL(j)*DeltaArray(nFitPar,j)
247         simData_y = FITFUN(nExpData, expData_x, nFixPar, FIXPAR, nFitPar, FitParVar)
248         SSR_p(j) = Compute_SSR(expData_y, simData_y, nExpData)
249         ! Minus value of SSR
250         FitParVar = FitParUpd - FITDEL(j)*DeltaArray(nFitPar,j)
251         simData_y = FITFUN(nExpData, expData_x, nFixPar, FIXPAR, nFitPar, FitParVar)
252         SSR_m(j) = Compute_SSR(expData_y, simData_y, nExpData)
253     END DO
254
255     DO j=1,nFitPar
256         ! Jacobian values
257         Jacobian(j) = (SSR_p(j) - SSR_m(j)) / ( 2.0d0 * FITDEL(j) )
258         ! Hessian diagonal values
259         Hessian(j,j) = ( SSR_p(j) - 2*SSR + SSR_m(j) ) / ( FITDEL(j)**2 )
260     DO k=j+1,nFitPar
261         ! Plus value of SSR
262         FitParVar = FitParUpd + FITDEL(j)*DeltaArray(nFitPar,j) + FITDEL(k)*DeltaArray(nFitPar,k)
263         simData_y = FITFUN(nExpData, expData_x, nFixPar, FIXPAR, nFitPar, FitParVar)
264         SSR_pp = Compute_SSR(expData_y, simData_y, nExpData)
265         ! Minus value of SSR
266         FitParVar = FitParUpd - FITDEL(j)*DeltaArray(nFitPar,j) - FITDEL(k)*DeltaArray(nFitPar,k)
267         simData_y = FITFUN(nExpData, expData_x, nFixPar, FIXPAR, nFitPar, FitParVar)
268         SSR_mm = Compute_SSR(expData_y, simData_y, nExpData)
269         ! Hessian non-diagonal values
270         Hessian(j,k) = ( SSR_pp - SSR_p(j) - SSR_p(k) + 2*SSR - SSR_m(j) - SSR_m(k) + SSR_mm ) / ( 2.0d0*FITDEL
                ↪ (j)*FITDEL(k) )
271         Hessian(k,j) = Hessian(j,k)
272     END DO
273     END DO
274
275
276     aux1 = VxV_rR(Jacobian,Jacobian,nFitPar)
277     aux2 = VxTxV_rR(Jacobian, Hessian, Jacobian, nFitPar)
278     alpha = - aux1 / aux2
279
280     FitParUpd = FitParUpd - alpha * Jacobian
281     ! Centered value of SSR
282     simData_y = FITFUN(nExpData, expData_x, nFixPar, FIXPAR, nFitPar, FitParUpd)
283     SSR = Compute_SSR(expData_y, simData_y, nExpData)
284     R2 = 1 - SSR/TSS
285     ! Check if there is some change
286     WRITE(*, '(A12,_,I4,_,A30)') 'Iteration_', i, 'complete_with_parameters:'
287     WRITE(*,*) FitParUpd
288     WRITE(*,*) 'R2:_', R2
289
290     END DO
291     ! - - - - -
292     WRITE(*,*) 'Optimization_ended_with_succes_status:_', FitSuccess
293     ! - - - - -
294
295     ! - - - - -
296     END SUBROUTINE ConjugateGradientOptimization
297     ! = = = = =
298
299     END MODULE MOD_Optimization
300     ! = = = = =

```

```
1 ! = = = = =
```

```

2  MODULE MOD_Bundle
3
4      ! - - - - -
5  IMPLICIT NONE
6  PRIVATE ! NOTE_avoid_public_variables_if_possible
7      ! - - - - -
8  PUBLIC :: Get_CurvaConstitutivaHaz
9  PUBLIC :: Get_BundlesVectors
10     ! - - - - -
11
12     ! = = = = =
13 CONTAINS
14     ! = = = = =
15
16     ! = = = = =
17 SUBROUTINE Get_CurvaConstitutivaHaz &
18     (CCh_nPuntos, lambda_min, lambda_max, &
19     Et, Eb, lamr0, lamrS, lamr_min, lamr_max, &
20     nPuntos_cdnt, &
21     CCh_lambdas, CCh_tensiones)
22     ! - - - - -
23     ! Calcula la curva constitutiva de un haz de fibras en funcion de de los
24     ! parametros constitutivos de una fibra y de los parametros de distribu-
25     ! cion normal.
26     ! Primero calcula la curva de distribucion normal truncada y normalizada
27     ! discreta, luego calcula el valor de tension realizando la integral dis-
28     ! creta para cada valor de deformacion del haz segun:
29     !
30     ! s_haz = int_-lam_min^+lam_max tf(lam, lamr)*n(lamr)*dlamr
31     !
32     ! donde: s_haz es la tension desarrollada por el haz
33     ! tf es la tension de la fibra
34     ! lam es la elongacion del haz
35     ! lamr es el valor de enrulamiento de cada fibra
36     ! n(lamr) es la densidad de probabilidad normal
37     !
38     !
39     !
40     ! notar: 1) que se suponen infinitas fibras en el haz
41     ! 2) que E es distinto a la traccion que a la flexion, por lo
42     ! que hay que desdoblarse la integral en dos.
43     !
44     ! Ver apunte "haz_curvaconstitutiva_corregido"
45     ! Daniel Enrique Caballero - danielcaballero88@gmail.com
46     ! - - - - -
47     USE MOD_Auxiliar, ONLY : Get_CurvaDistribucionNormalTruncada, IntegCumTrapz, ComputeFromCurve
48     ! - - - - -
49     IMPLICIT NONE
50     ! - - - - -
51     INTEGER, INTENT(IN) :: CCh_nPuntos! cantidad de puntos de la curva constitutiva
52     REAL(8), INTENT(IN) :: lambda_min, lambda_max
53     REAL(8), INTENT(IN) :: Et, Eb, lamr0, lamrS, lamr_min, lamr_max
54     INTEGER, INTENT(IN) :: nPuntos_cdnt ! cantidad de puntos de la curva distribucion normal truncada
55     ! - - - - -
56     REAL(8), ALLOCATABLE, INTENT(OUT) :: CCh_lambdas(:)
57     REAL(8), ALLOCATABLE, INTENT(OUT) :: CCh_tensiones(:)
58     ! - - - - -
59     ! curva distribucion normal truncada y normalizada
60     REAL(8) :: lamr(nPuntos_cdnt), pdf1(nPuntos_cdnt), cdf1(nPuntos_cdnt)
61     ! integrandos e integrados de la curva de distribucion:
62     REAL(8) :: pdf2(nPuntos_cdnt), cdf2(nPuntos_cdnt), pdf3(nPuntos_cdnt), cdf3(nPuntos_cdnt)
63     ! auxiliares
64     REAL(8) :: dlambda
65     INTEGER :: ii
66     REAL(8) :: lambda_i, C1, C2, C3, tension_i
67     ! - - - - -
68
69     ! - - - - -
70     ALLOCATE( CCh_lambdas(CCh_nPuntos) )
71     ALLOCATE( CCh_tensiones(CCh_nPuntos) )

```

```

72      ! - - - - -
73      dlambda = (lambda_max-lambda_min)/DFLOAT(CCh_nPuntos-1)
74      ! - - - - -
75      CALL Get_CurvaDistribucionNormalTruncada(lamr0, lamrS, nPuntos_cdnt, lamr_min, lamr_max, lamr, pdf1, cdf1)
76      ! - - - - -
77      pdf2 = pdf1 * lamr
78      pdf3 = pdf1 / lamr
79      cdf2 = IntegCumTrapz(nPuntos_cdnt, lamr, pdf2)
80      cdf3 = IntegCumTrapz(nPuntos_cdnt, lamr, pdf3)
81      DO ii=1,CCh_nPuntos
82          lambda_i = lambda_min + DFLOAT(ii-1)*dlambda
83          C1 = ComputeFromCurve(lambda_i, nPuntos_cdnt, lamr, cdf1, .TRUE.)
84          C2 = ComputeFromCurve(lambda_i, nPuntos_cdnt, lamr, cdf2, .TRUE.)
85          C3 = ComputeFromCurve(lambda_i, nPuntos_cdnt, lamr, cdf3, .TRUE.)
86          tension_i = Eb*(lambda_i-1.0d0)*(1.0d0 - C1) + Eb*(C2-C1) + Et*(lambda_i*C3-C1)
87          CCh_lambdas(ii) = lambda_i
88          CCh_tensiones(ii) = tension_i
89      END DO
90      ! - - - - -
91
92      ! - - - - -
93      END SUBROUTINE Get_CurvaConstitutivaHaz
94      ! = = = = =
95
96      ! = = = = =
97      SUBROUTINE Get_BundlesVectors(nBundles, angulo_gra, b0)
98      ! - - - - -
99      ! Given: the number of bundles in the RVE
100     ! and the orientation angle in degrees
101     ! Returns: the unit vectors of the bundles of the RVE
102     ! - - - - -
103     IMPLICIT NONE
104     ! - - - - -
105     REAL(8), PARAMETER :: PI = 4.0d0*ATAN(1.0d0)
106     ! - - - - -
107     INTEGER, INTENT(IN) :: nBundles
108     REAL(8), INTENT(IN) :: angulo_gra
109     REAL(8), INTENT(OUT) :: b0(2,nBundles)
110     ! - - - - -
111     REAL(8) :: angulo
112     REAL(8) :: dang
113     INTEGER :: ii
114     REAL(8) :: angulo_ii
115     ! - - - - -
116
117     ! - - - - -
118     angulo = angulo_gra * PI / 180.0d0
119     dang = PI/DFLOAT(nBundles)
120     ! - - - - -
121     DO ii=1,nBundles
122         angulo_ii = angulo + DFLOAT(ii-1)*dang
123         b0(1,ii) = DCOS(angulo_ii)
124         b0(2,ii) = DSIN(angulo_ii)
125     END DO
126     ! - - - - -
127
128     ! - - - - -
129     END SUBROUTINE
130     ! = = = = =
131
132
133     END MODULE MOD_Bundle
134     ! = = = = =

```

```

1     ! = = = = =
2     MODULE MOD_Auxiliar
3
4     ! - - - - -
5     IMPLICIT NONE
6     PRIVATE ! NOTE_avoid_public_variables_if_possible

```

```

7      ! - - - - -
8      PUBLIC :: ComputeFromCurve
9      PUBLIC :: OuterProduct_2x2
10     PUBLIC :: FindStringInFile
11     PUBLIC :: DeltaArray
12     PUBLIC :: TxV_rV
13     PUBLIC :: VxTxV_rR
14     PUBLIC :: VxV_rR
15     PUBLIC :: Compute_SSR
16     PUBLIC :: Get_CurvaDistribucionNormalTruncada
17     PUBLIC :: IntegCumTrapz
18     ! - - - - -
19
20     ! = = = = =
21     CONTAINS
22     ! = = = = =
23
24
25     ! = = = = =
26     FUNCTION ComputeFromCurve(x, nPoints, xArray, yArray, extrapolar_IN) RESULT(y)
27     ! - - - - -
28     ! Esta funcion calcula el valor y=f(x) de una curva f(x) discreta
29     ! INPUT:
30     ! x= valor de variable independiente
31     ! nPoints= numero de puntos en la curva discreta
32     ! xArray= valores de x de la curva discreta
33     ! yArray= valores de y de la curva discreta
34     ! extrapolar_IN= opcional, indica si se extrapola en caso de que
35     ! x caiga fuera de xArray. Se interpola con los
36     ! valores de los extremos
37     ! - - - - -
38     IMPLICIT NONE
39     ! - - - - -
40     REAL(8), INTENT(IN) :: x
41     INTEGER, INTENT(IN) :: nPoints
42     REAL(8), INTENT(IN) :: xArray(nPoints)
43     REAL(8), INTENT(IN) :: yArray(nPoints)
44     LOGICAL, OPTIONAL, INTENT(IN) :: extrapolar_IN
45     ! - - - - -
46     REAL(8) :: y
47     ! - - - - -
48     LOGICAL :: extrapolar
49     LOGICAL :: fd1, fd2 ! logicals "fuera de intervalo"
50     INTEGER :: i_pre ! indice del valor previo a x en xArray
51     REAL(8) :: slope
52     ! - - - - -
53
54     ! - - - - -
55     extrapolar = .FALSE.
56     IF ( PRESENT(extrapolar_IN) ) THEN
57         extrapolar = extrapolar_IN
58     END IF
59     ! - - - - -
60     fd1 = ( x < xArray(1) )
61     fd2 = ( x > xArray(nPoints) )
62     IF ( (fd1) .OR. (fd2) ) THEN
63         IF ( extrapolar ) THEN
64             IF (fd1) THEN
65                 y = yArray(1)
66             ELSE
67                 y = yArray(nPoints)
68             END IF
69         ELSE
70             WRITE(*,*) 'Error, trying to compute out of bounds. _ComputeFromCurve()'
71             WRITE(*,*) 'xmin, xmax, x:', x, xArray(1), xArray(nPoints), x
72             STOP
73         END IF
74     ELSE
75         DO i_pre=2, nPoints
76             IF ( x < xArray(i_pre) ) THEN

```

```

77         EXIT
78     END IF
79     END DO
80     i_pre = i_pre - 1
81     ! linear interpolation within the sub-interval
82     slope = ( yArray(i_pre+1) - yArray(i_pre) ) / ( xArray(i_pre+1) - xArray(i_pre) )
83     y = yArray(i_pre) + slope * ( x - xArray(i_pre) )
84     END IF
85     ! - - - - -
86
87     ! - - - - -
88     END FUNCTION ComputeFromCurve
89     ! = = = = =
90
91
92     ! = = = = =
93     FUNCTION OuterProduct_2x2(x, y) RESULT(outer) ! Producto tensorial entre 2 vectores
94     ! - - - - -
95     IMPLICIT NONE
96     ! - - - - -
97     ! Parameters
98     INTEGER, PARAMETER :: nDim = 2
99     ! - - - - -
100    ! Arguments
101    REAL(8), INTENT(IN) :: x(nDim), y(nDim) !vectors of size nDim
102    ! - - - - -
103    ! Result
104    REAL(8) :: outer(nDim,nDim)
105    ! - - - - -
106    ! Locals
107    INTEGER :: i, j
108    ! - - - - -
109
110    ! - - - - -
111    DO i=1,nDim
112        DO j=1,nDim
113            outer(i, j) = x(i)*y(j)
114        END DO
115    END DO
116    ! - - - - -
117
118    ! - - - - -
119    END FUNCTION
120    ! =====
121
122
123    ! = = = = =
124    ! = = = = =
125    FUNCTION FindStringInFile(Str, ioUnit, Mandatory) RESULT (iError)
126    ! = = = = =
127    ! Busca un String en un archivo (STR), sino lo encuentra rebovina el archivo
128    ! y pone iError < 0 como indicador de no hallazgo
129    ! Str: String to find, ioUnit: Unit assigned to Input File; iError: Error Status variable
130    ! = = = = =
131    IMPLICIT NONE
132    ! = = = = =
133    ! Parameters
134    LOGICAL, PARAMETER :: Segui=.True.
135    ! = = = = =
136    ! Arguments
137    CHARACTER(*), INTENT(IN) :: Str
138    INTEGER, INTENT (IN) :: ioUnit
139    LOGICAL, OPTIONAL, INTENT(IN) :: Mandatory
140    ! = = = = =
141    ! Locals
142    LOGICAL :: MandatoryL
143    CHARACTER(LEN=120) :: DummyString
144    CHARACTER(LEN=120) :: upStr
145    INTEGER :: iError
146    INTEGER :: Leng

```

```

147      ! = = = = =
148
149      ! = = = =
150      IF ( PRESENT(Mandatory) ) THEN
151          MandatoryL = Mandatory
152      ELSE
153          MandatoryL = .FALSE.
154      END IF
155      ! = = = =
156      iError=0
157      Leng = LEN_TRIM(Str)
158      upStr = Upper_Case(Str) ! Line added by NB. Converts Str to Upper Case string
159      ! = = = =
160      REWIND(ioUnit)
161      Search_Loop: DO WHILE (seguir)
162          READ(ioUnit,'(1A120)',IOSTAT=iError) DummyString
163          DummyString = Upper_Case(DummyString) ! line added by NB
164          ! if (iError==59) backspace(ioUnit)
165          IF (iError.lt.0) THEN
166              REWIND (ioUnit)
167              EXIT Search_Loop
168          END IF
169          IF ( DummyString(1:1) /= '*' ) CYCLE Search_Loop
170          IF ( DummyString(1:Leng) == upStr(1:Leng) ) EXIT Search_Loop
171      END DO Search_Loop
172      ! = = = =
173      IF (MandatoryL) THEN
174          IF ( .NOT. ( iError == 0 ) ) THEN
175              WRITE(*,*) upStr, 'NOT_FOUND'
176              STOP
177          END IF
178      END IF
179      ! = = = =
180
181      END FUNCTION FindStringInFile
182      ! = = = =
183      ! = = = =
184
185
186      ! = = = =
187      ! = = = =
188      FUNCTION Upper_Case(string)
189
190          !-----
191          !! The Upper_Case function converts the lower case characters of a string to upper case one.
192          !! Use this function in order to achieve case-insensitive: all character variables used
193          !! are pre-processed by Uppper_Case function before these variables are used. So the users
194          !! can call functions without pay attention of case of the keywords passed to the functions.
195          !-----
196
197          IMPLICIT NONE
198
199          !-----
200          CHARACTER(LEN=*), INTENT(IN):: string ! string to be converted
201          CHARACTER(LEN=LEN(string)):: Upper_Case ! converted string
202          INTEGER:: n1 ! characters counter
203          !-----
204
205          Upper_Case = string
206          DO n1=1,LEN(string)
207              SELECT CASE (ICHAR(string(n1:n1)))
208                  CASE (97:122)
209                      Upper_Case(n1:n1)=CHAR (ICHAR(string(n1:n1))-32) ! Upper case conversion
210              END SELECT
211          ENDDO
212          RETURN
213
214          !-----
215      END FUNCTION Upper_Case
216      ! = = = =

```

```

217      ! = = = = =
218
219
220      ! = = = = =
221      FUNCTION DeltaArray(n,i) RESULT(d)
222          ! - - - - -
223          IMPLICIT NONE
224          ! - - - - -
225          INTEGER, INTENT(IN) :: n,i
226          REAL(8) :: d(n)
227          ! - - - - -
228
229          ! - - - - -
230          d=0.0d0
231          d(i) = 1.0d0
232          ! - - - - -
233
234          ! - - - - -
235      END FUNCTION
236      ! = = = = =
237
238
239      ! = = = = =
240      FUNCTION VxV_rR(v1, v2, n) RESULT(r)
241          IMPLICIT NONE
242          REAL(8), INTENT(IN) :: v1(n), v2(n)
243          INTEGER, INTENT(IN) :: n
244          REAL(8) :: r
245          INTEGER :: i
246
247          r = 0.0d0
248          DO i=1,n
249              r = r + v1(i)*v2(i)
250          END DO
251
252      END FUNCTION
253      ! = = = = =
254
255
256      ! = = = = =
257      FUNCTION TxV_rV(T, v, n) RESULT(w)
258          IMPLICIT NONE
259          REAL(8), INTENT(IN) :: T(n,n), v(n)
260          INTEGER, INTENT(IN) :: n
261          REAL(8) :: w(n)
262          INTEGER :: i, j
263
264          w = 0.0d0
265          DO i=1,n
266              DO j=1,n
267                  w(i) = w(i) + T(i,j)*v(j)
268              END DO
269          END DO
270
271      END FUNCTION
272      ! = = = = =
273
274
275      ! = = = = =
276      FUNCTION VxTxV_rR(v1, T, v2, n) RESULT(r)
277          IMPLICIT NONE
278          REAL(8), INTENT(IN) :: v1(n), T(n,n), v2(n)
279          INTEGER, INTENT(IN) :: n
280          REAL(8) :: r
281          REAL(8) :: w(n)
282          INTEGER :: i, j
283
284          w = TxV_rV(T, v2, n)
285          r = VxV_rR(v1, w, n)
286

```

```

287  END FUNCTION
288  ! = = = = =
289
290
291  ! = = = = =
292  FUNCTION Compute_SSR(expArray, simArray, n) RESULT(SSR)
293  ! - - - - -
294  ! Calculo de residuo global como suma de residuos cuadrados
295  ! (sum of squared residuals: SSR)
296  ! - - - - -
297  IMPLICIT NONE
298  REAL(8), INTENT(IN) :: expArray(n), simArray(n)
299  INTEGER, INTENT(IN) :: n
300  REAL(8) :: SSR
301
302  SSR = SUM((simArray- expArray)*(simArray- expArray))
303  !SSR = SSR + 100.d0*simArray(1)*simArray(1)
304  !SSR = SSR + 1000.d0*SUM(simArray(1:5)*simArray(1:5))
305
306  END FUNCTION
307  ! = = = = =
308
309
310  ! = = = = =
311  SUBROUTINE Get_CurvaDistribucionNormal(mu, sigma, nPuntos, xx, pdf, cdf)
312  ! - - - - -
313  ! Devuelve una curva de distribucion normal
314  ! mu = valor medio
315  ! sigma = desviacion estandar
316  ! npuntos = numero de puntos de los arrays de la curva
317  ! xx = array de valores de abscisas
318  ! pdf = array de distribucion normal
319  ! cdf = array de distribucion normal acumulada
320  !
321  ! NOTA: la curva esta truncada en "mu-10*sigma" y "mu+10*sigma"
322  ! - - - - -
323  IMPLICIT NONE
324  ! - - - - -
325  REAL(8), PARAMETER :: PI = 4.0d0*DATAN(1.0d0)
326  ! - - - - -
327  REAL(8), INTENT(IN) :: mu, sigma
328  INTEGER, INTENT(IN) :: nPuntos
329  REAL(8), INTENT(OUT) :: xx(nPuntos), pdf(nPuntos), cdf(nPuntos)
330  ! - - - - -
331  REAL(8) :: x_ini, x_fin, dx, x
332  INTEGER :: ii
333  ! - - - - -
334
335  ! - - - - -
336  x_ini = mu - 10.0d0*sigma
337  x_fin = mu + 10.0d0*sigma
338  dx = (x_fin - x_ini) / DFLOAT(nPuntos-1)
339  ! - - - - -
340  DO ii=1,nPuntos
341  x = x_ini + DFLOAT(ii-1)*dx
342  xx(ii) = x
343  pdf(ii) = (1.0d0 / DSQRT(2.0d0*PI*sigma**2)) * DEXP( - (x-mu)**2 / (2.0d0*sigma**2) )
344  cdf(ii) = 0.5d0 * ( 1.0d0 + ERF( (x-mu) / (DSQRT(2.0d0)*sigma) ) )
345  END DO
346  ! - - - - -
347
348  ! - - - - -
349  END SUBROUTINE Get_CurvaDistribucionNormal
350  ! = = = = =
351
352
353  ! = = = = =
354  SUBROUTINE Get_CurvaDistribucionNormalTruncada(mu, sigma, nPuntos, x_min, x_max, xx, pdf, cdf)
355  ! - - - - -
356  ! Devuelve una curva de distribucion normal

```

```

357      ! la curva esta truncada entre "x_min" y "x_max"
358      ! y renormalizada para que el area bajo la curva sea 1
359      !
360      ! mu = valor medio
361      ! sigma = desviacion estandar
362      ! npuntos = numero de puntos de los arrays de la curva
363      ! xx = array de valores de abscisas
364      ! pdf = array de distribucion normal
365      ! cdf = array de distribucion normal acumulada
366      ! -----
367      IMPLICIT NONE
368      ! -----
369      REAL(8), PARAMETER :: PI = 4.0d0*DATAN(1.0d0)
370      ! -----
371      REAL(8), INTENT(IN) :: mu, sigma
372      INTEGER, INTENT(IN) :: nPuntos
373      REAL(8), INTENT(IN) :: x_min, x_max ! limites donde se trunca la distribucion normal
374      REAL(8), INTENT(OUT) :: xx(nPuntos), pdf(nPuntos), cdf(nPuntos)
375      ! -----
376      REAL(8) :: dx, x
377      INTEGER :: ii
378      REAL(8) :: aux
379      ! -----
380
381      ! -----
382      ! calculo el valor de espaciado entre puntos
383      dx = (x_max - x_min) / DFLOAT(nPuntos-1)
384      ! -----
385      ! ensamble el array de abscisas (xx) y el de ordenadas (pdf)
386      DO ii=1,nPuntos
387         x = x_min + DFLOAT(ii-1)*dx
388         xx(ii) = x
389         pdf(ii) = (1.0d0 / DSQRT(2.0d0*PI*sigma**2)) * DEXP( - (x-mu)**2 / (2.0d0*sigma**2) )
390      END DO
391      ! -----
392      ! computo el array de distribucion acumulada sin normalizar (cdf)
393      cdf = IntegCumTrapz(nPuntos, xx, pdf)
394      ! normalizo las curvas
395      aux = cdf(nPuntos)
396      DO ii=1,nPuntos
397         pdf(ii) = pdf(ii) / aux
398         cdf(ii) = cdf(ii) / aux
399      END DO
400      ! -----
401
402      ! -----
403      END SUBROUTINE Get_CurvaDistribucionNormalTruncada
404      ! = = = = =
405
406
407      ! = = = = =
408      FUNCTION IntegCumTrapz(nn, xx, yy) RESULT(yy_acum)
409      ! -----
410      ! Integral Cumulative Trapezoidal
411      ! Regla de integracion trapezoidal para una curva discreta
412      !
413      ! nn: numero de puntos de la curva de entrada
414      ! xx: valores de abscisas
415      ! yy: valores de ordenadas
416      ! yy_acum: valores de la integral a medida que se acumula
417      ! -----
418      IMPLICIT NONE
419      ! -----
420      INTEGER, INTENT(IN) :: nn
421      REAL(8), INTENT(IN) :: xx(nn), yy(nn)
422      ! -----
423      REAL(8) :: yy_acum(nn)
424      ! -----
425      INTEGER :: ii
426      REAL(8) :: y_medio, delta_x

```

```

427      ! - - - - -
428
429      ! - - - - -
430      yy_acum(1) = 0.0d0
431      DO ii=2,nn
432          y_medio = 0.5d0 * ( yy(ii-1) + yy(ii) )
433          delta_x = xx(ii) - xx(ii-1)
434          yy_acum(ii) = yy_acum(ii-1) + y_medio*delta_x
435      END DO
436      ! - - - - -
437
438      ! - - - - -
439      END FUNCTION IntegCumTrapz
440      ! = = = = =
441
442
443      END MODULE MOD_Auxiliar
444      ! = = = = =

```

```

1      ! = = = = =
2      MODULE CLASS_Curva
3      ! = = = = =
4
5      ! Modulo para tener variables globales accesibles
6      ! Por ej: curva de deformacion-tension del material
7
8      IMPLICIT NONE
9      PRIVATE
10
11      PUBLIC :: Curva
12
13      TYPE Curva
14          INTEGER :: n
15          REAL(8), ALLOCATABLE :: x(:)
16          REAL(8), ALLOCATABLE :: y(:)
17      CONTAINS
18          PROCEDURE :: iniciar => IniciarCurva
19          PROCEDURE :: asignar => AsignarPunto
20          PROCEDURE :: leer => LeerCurva
21          PROCEDURE :: calcular => CalcularValor
22      END TYPE
23
24      ! = = = = =
25      CONTAINS
26      ! = = = = =
27
28      ! = = = = =
29      SUBROUTINE IniciarCurva(self, nPoints)
30          ! - - - - -
31          IMPLICIT NONE
32          CLASS(Curva), INTENT(INOUT) :: self
33          INTEGER, INTENT(IN) :: nPoints
34          ! - - - - -
35          self%n = nPoints
36          ALLOCATE( self%x(nPoints) )
37          ALLOCATE( self%y(nPoints) )
38          ! - - - - -
39      END SUBROUTINE
40      ! = = = = =
41
42      ! = = = = =
43      SUBROUTINE AsignarCurva(self, xdata, ydata)
44          ! - - - - -
45          IMPLICIT NONE
46          CLASS(Curva), INTENT(INOUT) :: self
47          REAL(8), INTENT(IN) :: xdata(self%n)
48          REAL(8), INTENT(IN) :: ydata(self%n)
49          ! - - - - -
50          self%x = xdata
51          self%y = ydata

```

```

52      ! - - - - -
53      END SUBROUTINE
54      ! = = = = =
55
56      ! = = = = =
57      SUBROUTINE AsignarPunto(self, i, xval, yval)
58      ! - - - - -
59      IMPLICIT NONE
60      CLASS(Curva), INTENT(INOUT) :: self
61      INTEGER, INTENT(IN) :: i
62      REAL(8), INTENT(IN) :: xval
63      REAL(8), INTENT(IN) :: yval
64      ! - - - - -
65      self%x(i) = xval
66      self%y(i) = yval
67      ! - - - - -
68      END SUBROUTINE
69      ! = = = = =
70
71      ! = = = = =
72      SUBROUTINE LeerCurva(self, archivo)
73      ! - - - - -
74      IMPLICIT NONE
75      CLASS(Curva), INTENT(INOUT) :: self
76      CHARACTER(LEN=260), INTENT(IN) :: archivo
77      INTEGER :: fid, nn, ii
78      ! - - - - -
79      fid = 99
80      OPEN(UNIT=fid, FILE=TRIM(archivo), STATUS='OLD')
81      READ(fid,*) nn
82      CALL IniciarCurva(self,nn)
83      DO ii=1,nn
84         READ(fid,*) self%x(ii), self%y(ii)
85      END DO
86      CLOSE(fid)
87      ! - - - - -
88      END SUBROUTINE LeerCurva
89      ! = = = = =
90
91
92      ! = = = = =
93      FUNCTION CalcularValor(self, xval, extrapolar_IN) RESULT(yval)
94      ! - - - - -
95      IMPLICIT NONE
96      ! - - - - -
97      CLASS(Curva), INTENT(IN) :: self
98      REAL(8), INTENT(IN) :: xval
99      LOGICAL, OPTIONAL, INTENT(IN) :: extrapolar_IN
100     ! - - - - -
101     REAL(8) :: yval
102     ! - - - - -
103     LOGICAL :: extrapolar
104     LOGICAL :: fdi1, fdi2 ! logicals "fuera de intervalo"
105     INTEGER :: iSI ! index of sub-interval where x lands in self%x (array of x values of discrete curve)
106     REAL(8) :: slope
107     ! - - - - -
108
109     ! - - - - -
110     extrapolar = .FALSE.
111     IF ( PRESENT(extrapolar_IN) ) THEN
112        extrapolar = extrapolar_IN
113     END IF
114     ! - - - - -
115     fdi1 = ( xval < self%x(1) )
116     fdi2 = ( xval > self%x(self%n) )
117     IF ( (fdi1) .OR. (fdi2) ) THEN
118        IF ( extrapolar ) THEN
119           IF (fdi1) THEN
120              yval = self%y(1)
121           ELSE

```

```

122         yval = self%y(self%n)
123     END IF
124     ELSE
125         WRITE(*,*) 'Error,_fuera_de_rango_al_CalcularValor()_de_curva'
126         STOP
127     END IF
128 END IF
129 iSI = MINLOC(self%x, DIM=1, MASK=(self%x>=xval)) - 1
130 ! linear interpolation within the sub-interval
131 slope = ( self%y(iSI+1) - self%y(iSI) ) / ( self%x(iSI+1) - self%x(iSI) )
132 yval = self%y(iSI) + slope * (xval - self%x(iSI))
133 ! -----
134
135 ! -----
136 END FUNCTION CalcularValor
137 ! =====
138
139 ! =====
140 END MODULE CLASS_Curve
141 ! =====

```

B.2. Deposición virtual de fibras

```

1  """
2  Modulo para ensamblar una malla de fibras con intersecciones
3  La malla tiene tres especies: fibras, segmentos y nodos.
4  Los segmentos se componen de dos nodos
5  Las fibras se componen de muchos segmentos (random walk)
6  Cada especie tiene una numeracion global
7  Las fibras tienen una conectividad que son los indices de los segmentos que la componen
8  Los segmentos tienen una conectividad dada por los indices de los dos nodos que lo componen
9  Los nodos tienen coordenadas y tipo (0=continuacion, 1=frontera, 2=interseccion)
10 """
11
12 import numpy as np
13 from matplotlib import pyplot as plt
14 import matplotlib.colors as colors
15 from Aux import iguales, calcular_interseccion_entre_segmentos as calcular_interseccion, find_string_in_file
16 from Aux import calcular_longitud_de_segmento
17 from Aux import calcular_angulo_de_segmento
18
19 class Nodos(object):
20     def __init__(self):
21         self.r = list() # coordenadas de los nodos
22         self.tipos = list() # lista de tipos (0=cont, 1=fron, 2=inter)
23
24     def add_nodo(self, r_nodo, tipo):
25         self.r.append(r_nodo)
26         self.tipos.append(tipo)
27
28     def get_r(self, i_nodo):
29         return self.r[i_nodo]
30
31     def __len__(self):
32         return len(self.r)
33
34
35 class Segmentos(object):
36     def __init__(self):
37         self.con = list() # lista de listas de dos nodos (indices)
38         self.thetas = list()
39         self.longs = list()
40
41     def __len__(self):
42         return len(self.con)

```

```

43
44 def add_segmento(self, seg_con, coors):
45     """
46     aca las coordenadas las necesito para calcularle a cada segmento su longitud y angulo
47     seg_con es la conectividad (2 nodos) del segmento
48     coors son las coordenadas (lista de listas de a dos floats) de todos los nodos
49     (con todos los nodos hasta el momento de crear este segmento esta bien,
50     alcanza con que esten presentes en la lista los dos nodos de seg_con)
51     intersec indica si el segmento ha sido intersectado aun o no"""
52     self.con.append(seg_con)
53     try:
54         longitud, angulo = self.calcular_long_y_theta(seg_con, coors)
55     except ValueError:
56         raise ValueError("Error, _segmento_de_longitud_nula!!")
57     self.thetas.append(angulo)
58     self.longs.append(longitud)
59
60 def actualizar_segmento(self, j, coors):
61     """ en caso de que se mueva un nodo y haya que actualizar theta y longitud """
62     long, ang = self.calcular_long_y_theta(self.con[j], coors)
63     self.thetas[j] = ang
64     self.longs[j] = long
65
66 def mover_nodo(self, j, n, coors, new_r):
67     """ mueve un nodo del segmento
68     coors es una lista, es un objeto mutable
69     por lo que al salir de este metodo se va ver modificada
70     es decir, es un puntero
71     j es el indice del segmento a moverle un nodo
72     n es el indice del nodo para el segmento: 0 es inicial, 1 es final """
73     assert n in (0,1)
74     nglobal = self.con[j][n]
75     coors[nglobal] = new_r # se lo modifica resida donde resida (normalmente en un objeto nodos)
76     self.actualizar_segmento(j, coors)
77
78 def cambiar_conectividad(self, j, new_con, coors):
79     """ se modifica la conectividad de un segmento (j) de la lista
80     se le da la nueva conectividad new_con
81     y por lo tanto se vuelve a calcular su angulo y longitud
82     (util para dividir segmentos en 2) """
83     self.con[j] = new_con
84     longitud, angulo = self.calcular_long_y_theta(new_con, coors)
85     self.thetas[j] = angulo
86     self.longs[j] = longitud
87
88 @staticmethod
89 def calcular_long_y_theta(seg, coors):
90     n0 = seg[0]
91     n1 = seg[1]
92     dx = coors[n1][0] - coors[n0][0]
93     dy = coors[n1][1] - coors[n0][1]
94     long = np.sqrt( dx*dx + dy*dy )
95     # ahora theta
96     if iguales(dx,0.0):
97         # segmento vertical
98         if iguales(dy,0.0,1.0e-12):
99             raise ValueError("Error, _segmento_de_longitud_nula!!")
100         elif dy>0:
101             theta = np.pi*.5
102         else:
103             theta = 1.5*np.pi
104     elif iguales(dy,0):
105         # segmento horizontal
106         if dx>0:
107             theta = 0.0
108         else:
109             theta = np.pi
110     else:
111         # segmento oblicuo
112         if dx<0:

```

```

113         # segundo o tercer cuadrante
114         theta = np.pi + np.arctan(dy/dx)
115     elif dy>0:
116         # primer cuadrante (dx>0)
117         theta = np.arctan(dy/dx)
118     else:
119         # dx>0 and dy<0
120         # cuarto cuadrante
121         theta = 2.0*np.pi + np.arctan(dy/dx)
122     return long, theta
123
124 def get_right(self, j, coors):
125     n0 = self.con[j][0]
126     n1 = self.con[j][1]
127     x0 = coors[n0][0]
128     x1 = coors[n1][0]
129     return np.maximum(x0,x1)
130
131 def get_left(self, j, coors):
132     n0 = self.con[j][0]
133     n1 = self.con[j][1]
134     x0 = coors[n0][0]
135     x1 = coors[n1][0]
136     return np.minimum(x0,x1)
137
138 def get_top(self, j, coors):
139     n0 = self.con[j][0]
140     n1 = self.con[j][1]
141     y0 = coors[n0][1]
142     y1 = coors[n1][1]
143     return np.maximum(y0,y1)
144
145 def get_bottom(self, j, coors):
146     n0 = self.con[j][0]
147     n1 = self.con[j][1]
148     y0 = coors[n0][1]
149     y1 = coors[n1][1]
150     return np.minimum(y0,y1)
151
152 def get_dx(self, j, coors):
153     n0 = self.con[j][0]
154     n1 = self.con[j][1]
155     x0 = coors[n0][0]
156     x1 = coors[n1][0]
157     return x1-x0
158
159 def get_dy(self, j, coors):
160     n0 = self.con[j][0]
161     n1 = self.con[j][1]
162     y0 = coors[n0][1]
163     y1 = coors[n1][1]
164     return y1-y0
165
166 def get_dx_dy_brtl(self, j, coors):
167     n0 = self.con[j][0]
168     n1 = self.con[j][1]
169     x0 = coors[n0][0]
170     y0 = coors[n0][1]
171     x1 = coors[n1][0]
172     y1 = coors[n1][1]
173     return x1-x0, y1-y0, np.minimum(y0,y1), np.maximum(x0,x1), np.maximum(y0,y1), np.minimum(x0,x1)
174
175
176 class Fibras(object):
177     """ es algo como una lista con algunas funciones particulares
178     tiene un atributo con (conectividad) que es una lista
179     pero la propia instancia se comporta como la lista """
180     def __init__(self):
181         self.con = list() # conectividad: va a ser una lista de listas de segmentos (sus indices nada mas), cada
182             ↪ segmento debe ser una lista de 2 nodos

```

```

182     self.dls = list()
183     self.ds = list()
184     self.dthetas = list()
185
186     def add_fibra(self, fib_con, dl, d, dtheta):
187         self.con.append(fib_con)
188         self.dls.append(dl)
189         self.ds.append(d)
190         self.dthetas.append(dtheta)
191
192     def insertar_segmento(self, j, k, s):
193         """ inserta un segmento en la conectividad de una fibra
194         j: indice de la fibra
195         k: indice donde se inserta el nuevo segmento
196         s: indice del nuevo segmento para agregar a la conectividad """
197         self.con[j].insert(k,s)
198
199     class Capas(object):
200         """ es como una lista de fibras que compone cada capa """
201         def __init__(self):
202             self.con = list()
203
204         def set_capas_listoflists(self, capas_con):
205             self.__init__()
206             for capa_con in capas_con:
207                 self.add_capa(capa_con)
208
209         def add_capa(self, cap_con):
210             self.con.append(cap_con)
211
212         def add_fibra_a_capa(self, capa, fibra):
213             """ capa y fibra son los indices """
214             self.con[capa].append(fibra)
215
216
217     class Malla(object):
218         def __init__(self, L, Dm, volfrac, ls, devangmax, fundisor=None):
219             self.L = L
220             self.Dm = Dm # diametro medio de fibras y espesor de las capas
221             self.volfrac = volfrac # si es float < 1 es volfrac, si es > 1 es num de fibras por capa
222             self.ls = ls
223             self.devangmax = devangmax
224             self.fundisor = fundisor # tiene que ser una funcion (or callable object) que devuelve un valor de orientacion
225             self.caps = Capas() # lista vacia
226             self.fibs = Fibras() # lista vacia
227             self.segs = Segmentos() # lista vacia
228             self.nods = Nodos() # tiene dos listas vacias
229             self.bordes_n = Nodos() # lista de coordenadas con los 4 nodos del borde
230             self.bordes_s = Segmentos() # lista con los segmentos con los 4 nodos del borde
231             self.calcular_marco()
232             self.pregraficado = False
233             self.fig = None
234             self.ax = None
235
236
237         def calcular_marco(self):
238             # agrego los 4 nodos
239             self.bordes_n.add_nodo([0., 0.], 1)
240             self.bordes_n.add_nodo([self.L, 0.], 1)
241             self.bordes_n.add_nodo([self.L, self.L], 1)
242             self.bordes_n.add_nodo([0., self.L], 1)
243             # agrego los 4 segmentos
244             self.bordes_s.add_segmento([0,1], self.bordes_n.r)
245             self.bordes_s.add_segmento([1,2], self.bordes_n.r)
246             self.bordes_s.add_segmento([2,3], self.bordes_n.r)
247             self.bordes_s.add_segmento([3,0], self.bordes_n.r)
248
249         def make_capa(self, dl=None, d=None, dtheta=None, volfraction=None, orient_distr=None):
250             """
251             armo una capa con fibras, todas van a armarse con los

```

```

252     mismos parametros dl y dtheta (se debe modificar para usar distribuciones)
253     se depositan fibras hasta que se supera la fraccion de volumen dictada
254     """
255     # si volfraction es int estoy dando el numero de fibras!
256     if isinstance(volfraction,int):
257         cond_fin_n = True
258         n_final = volfraction
259     else:
260         cond_fin_n = False
261         volc = self.L*self.L*self.Dm # volumen de la capa
262         vols_final = volfraction*volc # volumen de solido (ocupado por fibras) a alcanzar
263     # chequeo si uso los parametros globales de la malla o si di parametros diferentes para esta capa
264     if dl is None:
265         dl = self.ls
266     if d is None:
267         d = self.Dm
268     if dtheta is None:
269         dtheta = self.devangmax
270     if volfraction is None:
271         volfraction = self.volfrac
272     if orient_distr is None:
273         orient_distr = self.fundisor
274     # --
275     ncapas = len(self.caps.con)
276     capa_con = list()
277     i = 0
278     vols = 0. # volumen de solido actual
279     while True:
280         i += 1
281         j = self.make_fibra(dl, d, dtheta, orient_distr)
282         if j == -1:
283             i -= 1
284         else:
285             volf = self.calcular_volumen_de_una_fibra(j)
286             vols += volf
287             capa_con.append(j)
288             # me fijo si complete la capa
289             if cond_fin_n:
290                 if i == n_final:
291                     break
292             else:
293                 if vols >= vols_final:
294                     break
295     self.caps.add_capa(capa_con)
296
297     def calcular_loco_de_una_fibra(self, f):
298         """ calcula la longitud de contorno de una fibra """
299         nsegs = len(self.fibs.con[f])
300         loco = 0.
301         for seg in self.fibs.con[f]:
302             n0, n1 = self.segs.con[seg]
303             r0 = self.nods.r[n0]
304             r1 = self.nods.r[n1]
305             lseg = calcular_longitud_de_segmento(r0,r1)
306             loco += lseg
307         return loco
308
309     def calcular_volumen_de_una_fibra(self, f):
310         """ calcula el volumen ocupado por una fibra """
311         loco = self.calcular_loco_de_una_fibra(f)
312         dl = self.fibs.dls[f]
313         d = self.fibs.ds[f]
314         return loco*np.pi*d*d/4.
315
316
317     def calcular_fraccion_de_volumen_de_una_capa(self, capcon):
318         """ calcula la fraccion de volumen de una capa como
319         el volumen ocupado por fibras
320         dividido el volumen total de la capa """
321         volfs = 0

```

```

322     for f in capcon: # recorro las fibras de la capa
323         volf = self.calcular_volumen_de_una_fibra(f)
324         volfs += volf
325     # el volumen total de la capa es:
326     volc = self.L*self.L*self.Dm
327     # luego la fraccion de volumen
328     fracvol = volfs / volc
329     return fracvol
330
331 def calcular_orientacion_de_una_fibra(self, f):
332     """ calcula la orientacion de una fibra como el promedio
333     de las orientacions de sus segmentos
334     cada orientacion es un angulo en [0,pi) """
335     fcon = self.fibs.con[f]
336     nsegs = len(fcon)
337     theta_f = 0.
338     for s in fcon:
339         # s es un indice de segmento
340         theta_s = self.segs.thetas[s]
341         # theta_s esta en [0,pi)
342         if theta_s > np.pi:
343             theta_s = theta_s - np.pi
344         if theta_s < 0:
345             pass
346         # ahora voy haciendo el promedio
347         theta_f += theta_s
348     theta_f = theta_f / float(nsegs)
349     return theta_f
350
351 def calcular_orientacion_extremo_extremo_de_una_fibra(self, f):
352     fcon = self.fibs.con[f]
353     s0 = fcon[0]
354     s1 = fcon[1]
355     n0 = self.segs.con[s0][0]
356     n1 = self.segs.con[s1][1]
357     r0 = self.nods.r[n0]
358     r1 = self.nods.r[n1]
359     theta_2pi = calcular_angulo_de_segmento(r0, r1)
360     if theta_2pi >= np.pi:
361         theta = theta_2pi - np.pi
362     else:
363         theta = theta_2pi
364     if theta_2pi < 0.:
365         raise ValueError
366     return theta
367
368 def make_fibra(self, dl, d, dtheta, orient_distr=None):
369     """ tengo que armar una lista de segmentos
370     nota: todos los indices (de nodos, segmentos y fibras)
371     son globales en la malla, cada nodo nuevo tiene un indice +1 del anterior
372     idem para segmentos y fibras
373     los indices de los nodos, de los segmentos y de las fibras van por separado
374     es decir que hay un nodo 1, un segmento 1 y una fibra 1
375     pero no hay dos de misma especie que compartan indice """
376     # ---
377     # primero hago un segmento solo
378     # para eso pongo un punto sobre la frontera del rve y el otro lo armo con un desplazamiento recto
379     # tomo un angulo random entre 0 y pi, saliente del borde hacia adentro del rve
380     # eso me da un nuevo segmento
381     # agrego todas las conectividades
382     # ---
383     # Voy a ir guardando en una lista las coordenadas de los nodos
384     coors = list()
385     # Armo el primer segmento
386     # primero busco un nodo en el contorno
387     x0, y0, b0 = self.get_punto_sobre_frontera()
388     if orient_distr is None:
389         theta_abs = np.random.rand() * np.pi
390     else:
391         theta_abs = orient_distr()

```

```

392     # theta_abs = 179. * np.pi/180.
393     if theta_abs == np.pi:
394         theta_abs = 0.
395     elif theta_abs > np.pi:
396         raise ValueError("theta_abs_de_una_fibra_no_comprendido_en_[0,pi]")
397     # veo el cuadrante
398     if theta_abs < np.pi*1.0e-8:
399         cuad = -1 # direccion horizontal
400     elif np.abs(theta_abs-np.pi*0.5) < 1.0e-8:
401         cuad = -2 # direccion vertical
402     elif theta_abs < np.pi*0.5:
403         cuad = 1 # primer cuadrante
404     else:
405         cuad = 2 # segundo cuadrante
406     # ahora me fijo la relacion entre cuadrante y borde
407     if cuad == -1: # fibra horizontal
408         if b0 in (0,2):
409             return -1 # esta fibra no vale, es horizontal sobre un borde horizontal
410         elif b0 == 1:
411             theta = np.pi
412         else: #b0 == 3
413             theta = 0.
414     elif cuad == -2: # fibra vertical
415         if b0 in (1,3):
416             return -1
417         elif b0 == 0:
418             theta = 0.5*np.pi
419         else: # b0 == 2
420             theta = 1.5*np.pi
421     elif cuad == 1: # primer cuadrante
422         if b0 in (0,3):
423             theta = theta_abs
424         else: #b0 in(1,2)
425             theta = theta_abs + np.pi
426     else: # cuad == 2 segundo cuadrante
427         if b0 in (0,1):
428             theta = theta_abs
429         else: # b0 in (2,3)
430             theta = theta_abs + np.pi
431     # ya tengo el angulo del segmento
432     dx = dl * np.cos(theta)
433     dy = dl * np.sin(theta)
434     coors.append( [x0,y0] )
435     coors.append( [x0+dx, y0+dy] )
436     # ahora agrego nuevos nodos en un bucle
437     # cada iteracion corresponde a depositar un nuevo segmento
438     n = 1
439     while True:
440         # si el nodo anterior ha caido fuera del rve ya esta la fibra
441         if self.check_fuera_del_RVE(coors[-1]):
442             break
443         n += 1
444         # de lo contrario armo un nuevo segmento a partir del ultimo nodo
445         # el angulo puede sufrir variacion
446         theta = theta + dtheta * (2.0*np.random.rand() - 1.0)
447         # desplazamiento:
448         dx = dl * np.cos(theta)
449         dy = dl * np.sin(theta)
450         # nuevo nodo
451         x = coors[-1][0] + dx
452         y = coors[-1][1] + dy
453         coors.append( [x,y] )
454     # -
455     # Aqui termine de obtener las coordenadas de los nodos que componen la fibra
456     # si la fibra es muy corta la voy a descartar
457     # para eso calculo su longitud de contorno
458     loco = dl*float(len(coors)-1) # esto es aproximado porque el ultimo segmento se recorta
459     if loco < 0.3*self.L:
460         return -1
461     # Voy a ensamblar la fibra como concatenacion de segmentos, que a su vez son concatenacion de dos nodos

```

```

462     f_con = list()
463     # agrego el primer nodo a la conectividad de nodos
464     self.nods.add_nodo(coors[0], 1)
465     for coor in coors[1:]: # recorro los nodos desde el nodo 1 (segundo nodo)
466         self.nods.add_nodo(coor, 0)
467         nnods = len(self.nods)
468         s0 = [nnods-2, nnods-1]
469         self.segs.add_segmento(s0, self.nods.r)
470         nsegs = len(self.segs)
471         f_con.append(nsegs-1)
472     # al final recorto la fibra y la almaceno
473     self.nods.tipos[-1] = 1
474     self.trim_fibra_at_frontera(f_con) # lo comento porque a veces quedan segmentos super pequenos
475     self.fibs.add_fibra(f_con, dl, d, dtheta)
476     return len(self.fibs.con) - 1 # devuelvo el indice de la fibra
477
478
479 def get_punto_sobre_frontera(self):
480     boundary = np.random.randint(4)
481     d = np.random.rand() * self.L
482     if boundary==0:
483         x = d
484         y = 0.0
485     elif boundary==1:
486         x = self.L
487         y = d
488     elif boundary==2:
489         x = self.L - d
490         y = self.L
491     elif boundary==3:
492         x = 0.0
493         y = self.L - d
494     return x, y, float(boundary)
495
496 def check_fuera_del_RVE(self, r):
497     x = r[0]
498     y = r[1]
499     if x<=0 or x>=self.L or y<=0 or y>=self.L:
500         return True
501     else:
502         return False
503
504 def trim_fibra_at_frontera(self, fib_con):
505     """ subrutina para cortar la fibra que ha salido del rve """
506     # debo cortar la ultima fibra en su interseccion por el rve
507     # para eso calculo las intersecciones de los nodos con los bordes
508     # coordenadas del ultimo segmento de la fibra de conectividad fib_con
509     s = fib_con[-1]
510     rs0 = self.nods.r[ self.segs.con[s][0] ] # coordenadas xy del nodo 0 del segmento s
511     rs1 = self.nods.r[ self.segs.con[s][1] ] # coordenadas xy del nodo 1 del segmento s
512     # pruebo con cada borde
513     for b in range( len(self.bordes_s.con) ): # recorro los 4 bordes
514         # puntos del borde en cuestion
515         rb0 = self.bordes_n.r[ self.bordes_s.con[b][0] ] # coordenadas xy del nodo 0 del borde b
516         rb1 = self.bordes_n.r[ self.bordes_s.con[b][1] ] # coordenadas xy del nodo 1 del borde b
517         interseccion = calcular_interseccion(rs0, rs1, rb0, rb1)
518         if interseccion is None: # no hubo interseccion
519             continue # con este borde no hay interseccion, paso al que sigue
520         else: # hubo interseccion
521             in_r, in_tipo, in_seg0, in_seg1 = interseccion
522             if in_tipo==2: # interseccion en el medio
523                 try: # tengo que mover el ultimo nodo y por lo tanto cambia el segmento
524                     self.segs.mover_nodo(s, 1, self.nods.r, in_r)
525                     rs1 = in_r
526                 except ValueError as e:
527                     print "error"
528                     print fib_con, b, interseccion
529                     quit()
530             else: # interseccion coincide con uno o dos extremos
531                 # en este caso solo me importa el segundo nodo del primer segmento (seg 0)

```

```

532         # porque el segmento 1 es el borde, y el primer nodo del seg 0 siempre deberia estar dentro del rve
533         # (o en el borde a lo sumo si se trata de una fibra de un solo segmento)
534         # y en ese caso no hay nada que hacer! puesto que el nodo ya esta en el borde
535         pass
536
537     def cambiar_capas(self, new_ncapas):
538         """ un mapeo de las fibras en un numero de capas diferente """
539         # me fijo cuantas fibras van a entrar en cada capa
540         nfibras = len(self.fibs.con)
541         nf_x_capa = int(nfibras / new_ncapas)
542         # armo una nueva conectividad de capas
543         capas_con = list()
544         for c in range(new_ncapas-1): # -1 porque la ultima capa la hare aparte
545             print c
546             capa_con = range(c*nf_x_capa, (c+1)*nf_x_capa)
547             capas_con.append(capa_con)
548             # la ultima capa puede tener alguna fibra de mas
549             c = new_ncapas - 1
550             capa_con = range(c*nf_x_capa, (c+1)*nf_x_capa)
551             capas_con.append(capa_con)
552             self.caps.set_capas_listoflists(capas_con)
553
554     def calcular_conectividad_de_interfibras(self):
555         """ ojo son diferentes a las subfibras de una malla simplificada
556         aqui las interfibras son concatenaciones de segmentos entre nodos interseccion
557         en una ms las subfibras son una simplificacion de una fibra dando solamente los nodos extremos y enrulamiento
558         ↪ """
559         infbs_con = list() # conectividad: lista de listas de segmentos
560         for f, fcon in enumerate(self.fibs.con): # recorro las fibras
561             # cada fibra que empieza implica una nueva interfibra
562             infb = list() # conectividad de la interfibra: lista de segmentos
563             # tengo que ir agregando segmentos hasta toparme con un nodo interseccion o frontera
564             for s in fcon: # recorro los segmentos de la fibra f
565                 scon = self.segs.con[s]
566                 n0, n1 = scon
567                 # agrego el segmento s a la interfibra
568                 infb.append(s)
569                 # si el ultimo nodo de s es interseccion o frontera aqui termina la interfibra
570                 if self.nods.tipos[n1] in (1,2):
571                     infbs_con.append(infb) # agrego la interfibra a la conectividad
572                     infb = list() # preparo una nueva interfibra vacia para continuar agregando segmentos
573             # aqui ya deberia tener una conectividad terminada
574             return infbs_con
575
576     def calcular_orientaciones(self):
577         """ calcular las orientaciones de las fibras de toda la malla """
578         thetas_f = list()
579         for f, fcon in enumerate(self.fibs.con):
580             # theta_f = self.calcular_orientacion_de_una_fibra(f)
581             theta_f = self.calcular_orientacion_extremo_extremo_de_una_fibra(f)
582             thetas_f.append(theta_f)
583         return thetas_f
584
585     def calcular_distribucion_de_orientaciones(self, rec_orientaciones=None, n=10):
586         """ calcula la distribucion de orientaciones en la malla
587         contando las frecuencias en los bins """
588         # obtengo las orientaciones de todas las fibras
589         if rec_orientaciones is None:
590             phis = self.calcular_orientaciones()
591         else:
592             phis = rec_orientaciones
593         phis = np.array(phis, dtype=float)
594         #
595         conteo, x_edges = np.histogram(phis, bins=n, range=(0., np.pi))
596         delta = (np.pi - 0.) / float(n)
597         # pdf = conteo / float(np.sum(conteo)) / delta
598         x = x_edges[:-1] + 0.5*delta
599         return x, delta, conteo
600
601     def calcular_enrulamientos(self):

```

```

601     """ calcular para todas las fibras sus longitudes de contorno y
602     sus longitudes extremo a extremos (loco y lete)
603     y calcula el enrollamiento como lamr=loco/lete """
604     lamsr = []
605     for fcon in self.fibs.con: # recorro las fibras del rve
606         loco = 0.
607         for s in fcon: # recorro los segmentos de cada fibra
608             scon = self.segs.con[s]
609             n0, n1 = scon
610             r0 = self.nods.r[n0]
611             r1 = self.nods.r[n1]
612             try:
613                 loco += calcular_longitud_de_segmento(r0, r1)
614             except ValueError:
615                 raise ValueError("Error, segmento de longitud nula!!")
616             n_ini = self.segs.con[fcon[0]][0]
617             n_fin = self.segs.con[fcon[-1]][1]
618             r_ini = self.nods.r[n_ini]
619             r_fin = self.nods.r[n_fin]
620             try:
621                 lete = calcular_longitud_de_segmento(r_ini, r_fin)
622             except ValueError:
623                 raise ValueError("Error, lete de longitud nula!!")
624             lamsr.append( loco/lete )
625     return lamsr
626
627 def calcular_distribucion_de_enrollamiento(self, rec_lamsr=None, lamr_min=None, lamr_max=None, n=10, binwidth=None):
628     """ calcular la distribucion de enrollamientos (pdf)
629     para eso calculo el histograma y luego normalizo con el area
630     parametros de entrada
631     rec_lamsr: valores de lamsr para todas las fibras (por si ya lo tengo asi no lo calculo al dope de nuevo)
632     lamr_min: valor minimo de lamr para hacer el histograma (ojo pueden quedar fibras afuera)
633     lamr_max: valor maximo de lamr para hacer el histograma (ojo pueden quedar fibras afuera)
634     n: numero de bins
635     parametros de salida: x, delta, pdf
636     x: valores medios de cada bin
637     delta: ancho de cada bin (son todos iguales)
638     pdf: valor de pdf
639     """
640     if rec_lamsr is None:
641         lamsr = self.calcular_enrollamientos()
642     else:
643         lamsr = rec_lamsr
644     lamsr = np.array(lamsr, dtype=float)
645     if lamr_min is None:
646         lamr_min = np.min(lamsr)
647     if lamr_max is None:
648         lamr_max = np.max(lamsr)
649     # me fijo si hay imposicion de ancho de bin, entonces calculo con eso el numero de bins
650     if binwidth is not None:
651         n = int((lamr_max - lamr_min) / binwidth + 0.5) # es el entero mas cercano
652     conteo, x_edges = np.histogram(lamsr, bins=n, range=(lamr_min, lamr_max))
653     delta = (lamr_max - lamr_min) / n
654     # pdf = conteo / float(np.sum(conteo)) / delta
655     x = x_edges[:-1] + 0.5*delta
656     return x, delta, conteo
657
658 def get_histograma_lamr(self, lamr_min=None, lamr_max=None, nbins=5, binwidth=None, opcion="fibras"):
659     if opcion=="fibras":
660         lamsr = self.calcular_enrollamientos()
661     elif opcion=="interfibras":
662         lamsr = self.calcular_enrollamientos_de_interfibras()
663     else:
664         raise ValueError
665     #
666     lrs, dlr, conteo = self.calcular_distribucion_de_enrollamiento(rec_lamsr=lamsr, lamr_min=lamr_min, lamr_max=
667         ↪ lamr_max, n=nbins, binwidth=binwidth)
668     frecs = np.array(conteo, dtype=float) / float(np.sum(conteo))
669     pdf = frecs / dlr
670     return lrs, dlr, conteo, frecs, pdf

```

```

670
671 def get_histograma_orientaciones(self, nbins=5, opcion="fibras"):
672     if opcion=="fibras":
673         rec_thetas = self.calcular_orientaciones() # todos los angulos de las fibras
674         # thetas a continuacion son los angulos medio de cada bin
675     elif opcion=="interfibras":
676         raise NotImplementedError
677     else:
678         raise ValueError
679     #
680     thetas, dth, conteo = self.calcular_distribucion_de_orientaciones(rec_orientaciones=rec_thetas, n=nbins)
681     frecs = np.array(conteo, dtype=float) / float(np.sum(conteo))
682     pdf = frecs / dth
683     return thetas, dth, conteo, frecs, pdf
684
685 def calcular_enrullamientos_de_interfibras(self):
686     """ calcular para todas las interfibras sus longitudes de contorno y
687     sus longitudes extremo a extremos (loco y lete)
688     y calcula el enrullamiento como lamr=loco/lete """
689     lamsr = []
690     infbs_con = self.calcular_conectividad_de_interfibras()
691     for infb_con in infbs_con: # recorro las interfibras (fibras interectadas) del rve
692         loco = 0.
693         for s in infb_con: # recorro los segmentos de cada interfibra
694             scon = self.segs.con[s]
695             n0, n1 = scon
696             r0 = self.nods.r[n0]
697             r1 = self.nods.r[n1]
698             loco += calcular_longitud_de_segmento(r0, r1)
699             n_ini = self.segs.con[infb_con[0]][0]
700             n_fin = self.segs.con[infb_con[-1]][1]
701             r_ini = self.nods.r[n_ini]
702             r_fin = self.nods.r[n_fin]
703             lete = calcular_longitud_de_segmento(r_ini, r_fin)
704             lamsr.append( loco/lete )
705     return lamsr
706
707 def calcular_distribucion_de_enrullamiento_de_interfibras(self, rec_lamsr=None, lamr_min=None, lamr_max=None, n=10):
708     """ calcular la distribucion de enrullamientos (pdf)
709     para eso calculo el histograma y luego normalizo con el area
710     parametros de entrada
711     rec_lamsr: valores de lamsr para todas las fibras (por si ya lo tengo asi no lo calculo al dope de nuevo)
712     lamr_min: valor minimo de lamr para hacer el histograma (ojo pueden quedar fibras afuera)
713     lamr_max: valor maximo de lamr para hacer el histograma (ojo pueden quedar fibras afuera)
714     n: numero de bins
715     parametros de salida: x, delta, pdf
716     x: valores medios de cada bin
717     delta: ancho de cada bin (son todos iguales)
718     pdf: valor de pdf
719     """
720     if rec_lamsr is None:
721         lamsr = self.calcular_enrullamientos_de_interfibras()
722     else:
723         lamsr = rec_lamsr
724     lamsr = np.array(lamsr, dtype=float)
725     if lamr_min is None:
726         lamr_min = np.min(lamsr)
727     if lamr_max is None:
728         lamr_max = np.max(lamsr)
729     delta = (lamr_max - lamr_min) / n
730     conteo, x_edges = np.histogram(lamsr, bins=n, range=(lamr_min, lamr_max))
731     delta = (lamr_max - lamr_min) / n
732     pdf = conteo / float(np.sum(conteo)) / delta
733     x = x_edges[:-1] + 0.5*delta
734     return x, delta, pdf
735
736 def guardar_en_archivo(self, archivo="Malla.txt"):
737     fid = open(archivo, "w")
738     # ---
739     # primero escribo L, dl y dtheta

```

```

740     fid.write("*Parametros_(L,_Dm,_volfrac,_ls,_devangmax)_\n")
741     fid.write("{:20.8f}\n".format(self.L))
742     fid.write("{:20.8f}\n".format(self.Dm))
743     fid.write("{:20.8f}\n".format(self.volfrac))
744     fid.write("{:20.8f}\n".format(self.ls))
745     fid.write("{:20.8f}\n".format(self.devangmax*180./np.pi)) # lo escribo en grados
746     # ---
747     # escribo los nodos: indice, tipo, y coordenadas
748     dString = "*Coordenadas_\n" + str(len(self.nods.r)) + "\n"
749     fid.write(dString)
750     for n in range( len(self.nods.r) ):
751         dString = "{:12d}".format(n)
752         dString += "{:2d}".format(self.nods.tipos[n])
753         dString += ".join( "{:17.8e}".format(val) for val in self.nods.r[n] ) + "\n"
754         fid.write(dString)
755     # ---
756     # sigo con los segmentos: indice, nodo inicial y nodo final
757     dString = "*Segmentos_\n" + str( len(self.segs.con) ) + "\n"
758     fid.write(dString)
759     for s in range( len(self.segs.con) ):
760         n0, n1 = self.segs.con[s] # conectividad del segmento (nodo inicial n0 y nodo final n1)
761         fmt = "{:12d}"*3
762         dString = fmt.format(s, n0, n1) + "\n"
763         fid.write(dString)
764     # ---
765     # sigo con las fibras: indice, dl, d, dtheta, nsegs_f, y segmentos (conectividad)
766     dString = "*Fibras_\n" + str( len(self.fibs.con) ) + "\n"
767     fid.write(dString)
768     for f, fcon in enumerate(self.fibs.con):
769         dString = "{:12d}".format(f) # indice
770         dString += "{:17.8e}{:17.8e}{:17.8e}".format(self.fibs.dls[f], self.fibs.ds[f], self.fibs.dthetas[f]) # dl, d
771         ↪ y dtheta
772         dString += "{:12d}".format(len(fcon)) # indice
773         dString += ".join( "{:12d}".format(val) for val in fcon ) + "\n" # conectividad
774         fid.write(dString)
775     # termino con las capas: indice y fibras (conectividad):
776     dString = "*Capas_\n" + str( len(self.caps.con) ) + "\n"
777     fid.write(dString)
778     for c, ccon in enumerate(self.caps.con):
779         dString = "{:12d}".format(c) # indice
780         dString += "{:12d}".format(len(ccon)) # indice
781         dString += ".join( "{:12d}".format(val) for val in ccon ) + "\n" # conectividad
782         fid.write(dString)
783     # ---
784     # termine
785     fid.close()
786
787 @classmethod
788 def leer_de_archivo(cls, archivo="Malla.txt"):
789     fid = open(archivo, "r")
790     # primero leo los parametros
791     target = "*parametros"
792     ierr = find_string_in_file(fid, target, True)
793     L = float( fid.next() )
794     Dm = float( fid.next() )
795     volfrac = float( fid.next() )
796     if volfrac > 1.:
797         volfrac = int(volfrac +.5)
798     ls = float( fid.next() )
799     devangmax = float( fid.next() ) # en grados
800     devangmax = devangmax * np.pi / 180.
801     # luego busco coordenadas
802     target = "*coordenadas"
803     ierr = find_string_in_file(fid, target, True)
804     num_r = int( fid.next() )
805     coors = list()
806     tipos = list()
807     for i in range(num_r):
808         j, t, x, y = (float(val) for val in fid.next().split())
809         tipos.append(int(t))

```

```

809         coors.append([x,y])
810     # luego los segmentos
811     target = "*segmentos"
812     ierr = find_string_in_file(fid, target, True)
813     num_s = int(fid.next())
814     segs = list()
815     for i in range(num_s):
816         j, n0, n1 = (int(val) for val in fid.next().split())
817         segs.append([n0,n1])
818     # luego las fibras
819     target = "*fibras"
820     ierr = find_string_in_file(fid, target, True)
821     num_f = int(fid.next())
822     fibs = list()
823     dls = list()
824     ds = list()
825     dthetas = list()
826     for i in range(num_f):
827         svals = fid.next().split()
828         j = int(svals[0])
829         dl = float(svals[1])
830         d = float(svals[2])
831         dtheta = float(svals[3])
832         nsegsf = int(svals[4])
833         fcon = [int(val) for val in svals[5:]]
834         fibs.append(fcon)
835         dls.append(dl)
836         ds.append(d)
837         dthetas.append(dtheta)
838     # luego la capas
839     target = "*capas"
840     ierr = find_string_in_file(fid, target, True)
841     num_c = int(fid.next())
842     caps = list()
843     for c in range(num_c):
844         svals = fid.next().split()
845         j = int(svals[0])
846         nfibsc = int(svals[1])
847         ccon = [int(val) for val in svals[2:]]
848         caps.append(ccon)
849     # ahora que tengo todo armo el objeto
850     malla = cls(L, Dm, volfrac, ls, devangmax)
851     # le asigno los nodos
852     for i in range(num_r):
853         malla.nods.add_nodo(coors[i], tipos[i])
854     # le asigno los segmentos
855     for i in range(num_s):
856         s_con = segs[i]
857         try:
858             malla.segs.add_segmento(s_con, coors)
859         except ValueError:
860             print "Segmento_de_long_nula"
861             # raise ValueError("Error, segmento de longitud nula!!")
862     # le asigno las fibras
863     for i in range(num_f):
864         f_con = fibs[i]
865         dl = dls[i]
866         d = ds[i]
867         dtheta = dthetas[i]
868         malla.fibs.add_fibra(f_con, dl, d, dtheta)
869     # le asigno las capas
870     for c in range(num_c):
871         c_con = caps[c]
872         malla.caps.add_capa(c_con)
873     # listo
874     return malla
875
876 def pre_graficar_bordes(self, fig, ax, byn=False):
877     # seteo
878     margen = 0.1*self.L

```

```

879     ax.set_xlim(left=0-margen, right=self.L+margen)
880     ax.set_ylim(bottom=0-margen, top=self.L+margen)
881     # dibujo los bordes del rve
882     fron = []
883     fron.append( [[0,self.L], [0,0]] )
884     fron.append( [[0,0], [self.L,0]] )
885     fron.append( [[0,self.L], [self.L,self.L]] )
886     fron.append( [[self.L,self.L], [self.L,0]] )
887     plt_fron0 = ax.plot(fron[0][0], fron[0][1], linestyle=":", c="gray")
888     plt_fron1 = ax.plot(fron[1][0], fron[1][1], linestyle=":", c="gray")
889     plt_fron2 = ax.plot(fron[2][0], fron[2][1], linestyle=":", c="gray")
890     plt_fron3 = ax.plot(fron[3][0], fron[3][1], linestyle=":", c="gray")
891
892
893 def pre_graficar_capas(self, fig, ax, byn=True):
894     nc = len(self.caps.con)
895     if byn:
896         mi_colormap = plt.cm.gray
897     else:
898         mi_colormap = plt.cm.rainbow
899     sm = plt.cm.ScalarMappable(cmap=mi_colormap, norm=plt.Normalize(vmin=0, vmax=nc-1))
900     # dibujo las fibras (los segmentos)
901     # preparo las listas, una lista para cada fibra
902     xx = [ list() for f in self.fibs.con ]
903     yy = [ list() for f in self.fibs.con ]
904     grafs = list()
905     for c, c_con in enumerate(self.caps.con): # recorro las capas
906         for f in c_con: # recorro las fibra de la capa
907             f_con = self.fibs.con[f]
908             # antes de recorrer los segmentos de cada fibra
909             # el primer nodo del primer segmento lo agrego antes del bucle
910             s = f_con[0] # primer segmento de la fibra f
911             n = self.segs.con[s][0] # primer nodo del segmento s
912             r = self.nods.r[n] # coordenadas de ese nodo
913             xx[f].append(r[0])
914             yy[f].append(r[1])
915             for s in f_con: # recorro los segmentos de la fibra f
916                 s_con = self.segs.con[s]
917                 n = s_con[1] # ultimo nodo del segmento s
918                 r = self.nods.r[n] # coordenadas de ese nodo
919                 xx[f].append(r[0])
920                 yy[f].append(r[1])
921             grafs.append( ax.plot(xx[f], yy[f], linestyle="-", marker="o", label=str(f), color=sm.to_rgba(nc-1-c) ) )
922     sm._A = []
923     fig.colorbar(sm)
924
925 @staticmethod
926 def truncate_colormap(cmap, minval=0.0, maxval=1.0, n=100):
927     new_cmap = colors.LinearSegmentedColormap.from_list(
928         'trunc({n},{a:.2f},{b:.2f})'.format(n=cmap.name, a=minval, b=maxval),
929         cmap(np.linspace(minval, maxval, n)))
930     return new_cmap
931
932 def pre_graficar_fibras(self, fig, ax, ncapas=None, lamr_min=None, lamr_max=None, byn=False, barracolor=True,
933     ↪ color_por="nada", linewidth=2, colores_cm=None, ncolores_cm=20):
934     # preparo un mapa de colores mapeable por escalar
935     lamrs = self.calcular_enrullamientos()
936     if byn:
937         mi_colormap = plt.cm.gray_r
938         # lo trunco para que no incluya el cero (blanco puro que no hace contraste con el fondo)
939         mi_colormap = self.truncate_colormap(mi_colormap, 0.1, 0.5)
940     else:
941         mi_colormap = plt.cm.jet
942         if colores_cm is not None:
943             mi_colormap = colors.LinearSegmentedColormap.from_list("mi_colormap", colores_cm, N=ncolores_cm)
944     if color_por == "lamr":
945         if lamr_min is None:
946             lamr_min = np.min(lamrs)
947         if lamr_max is None:
948             lamr_max = np.max(lamrs)

```

```

948     sm = plt.cm.ScalarMappable(cmap=mi_colormap, norm=plt.Normalize(vmin=lamr_min, vmax=lamr_max))
949     elif color_por == "fibra":
950         sm = plt.cm.ScalarMappable(cmap=mi_colormap, norm=plt.Normalize(vmin=0, vmax=len(self.fibs.con)-1))
951     elif color_por == "capa":
952         sm = plt.cm.ScalarMappable(cmap=mi_colormap, norm=plt.Normalize(vmin=0, vmax=len(self.caps.con)-1))
953     elif color_por == "angulo":
954         sm = plt.cm.ScalarMappable(cmap=mi_colormap, norm=plt.Normalize(vmin=0, vmax=np.pi))
955     # dibujo las fibras (los segmentos)
956     # preparo las listas, una lista para cada fibra
957     xx = [ list() for f in self.fibs.con ]
958     yy = [ list() for f in self.fibs.con ]
959     grafos = list()
960     if ncapas is None:
961         caps_con = self.caps.con
962     else:
963         caps_con = self.caps.con[:ncapas]
964     for c, c_con in enumerate(caps_con): # recorro las capas
965         for f in c_con: # recorro las fibra de la capa
966             f_con = self.fibs.con[f]
967             # antes de recorrer los segmentos de cada fibra
968             # el primer nodo del primer segmento lo agrego antes del bucle
969             s = f_con[0] # primer segmento de la fibra f
970             n = self.segs.con[s][0] # primer nodo del segmento s
971             r = self.nods.r[n] # coordenadas de ese nodo
972             xx[f].append(r[0])
973             yy[f].append(r[1])
974             for s in f_con: # recorro los segmentos de la fibra f
975                 s_con = self.segs.con[s]
976                 n = s_con[1] # ultimo nodo del segmento s
977                 r = self.nods.r[n] # coordenadas de ese nodo
978                 xx[f].append(r[0])
979                 yy[f].append(r[1])
980             if color_por == "lamr":
981                 col = sm.to_rgba(lamrs[f])
982             elif color_por == "fibra":
983                 col = sm.to_rgba(f)
984             elif color_por == "capa":
985                 col = sm.to_rgba(c)
986             elif color_por == "angulo":
987                 theta = self.calcular_orientacion_extremo_extremo_de_una_fibra(f)
988                 col = sm.to_rgba(theta)
989             elif color_por == "nada":
990                 col = "k"
991             grafos.append( ax.plot(xx[f], yy[f], linestyle="-", marker="o", label=str(f), color=col, linewidth=linewidth
992                               ↪ ) )
993     if barracolor and color_por not in ("nada", "fibra"):
994         sm._A = []
995         cbar = fig.colorbar(sm)
996         if color_por == "capa":
997             cbar.set_ticks(range(len(self.caps.con)))
998
999     def pre_graficar_interfibras(self, fig, ax, lamr_min=None, lamr_max=None, byn=False, barracolor=True, color_por="
1000       ↪ nada", colormap="jet", colores_cm=None, ncolores_cm=20):
1001         # preparo un mapa de colores mapeable por escalar
1002         infbs_con = self.calcular_conectividad_de_interfibras()
1003         lamrs = self.calcular_enrullamientos_de_interfibras()
1004         if byn:
1005             mi_colormap = plt.cm.gray_r
1006             # lo trunco para que no incluya el cero (blanco puro que no hace contraste con el fondo)
1007             mi_colormap = self.truncate_colormap(mi_colormap, 0.4, 1.0)
1008         else:
1009             if colores_cm is not None:
1010                 mi_colormap = colors.LinearSegmentedColormap.from_list("mi_colormap", colores_cm, N=ncolores_cm)
1011             elif colormap == "jet":
1012                 mi_colormap = plt.cm.jet
1013             elif colormap == "prism":
1014                 mi_colormap = plt.cm.prism
1015             elif colormap == "Dark2":
1016                 mi_colormap = plt.cm.Dark2

```

```

1016     if color_por == "lamr":
1017         if lamr_min is None:
1018             lamr_min = np.min(lamsr)
1019         if lamr_max is None:
1020             lamr_max = np.max(lamsr)
1021         sm = plt.cm.ScalarMappable(cmap=mi_colormap, norm=plt.Normalize(vmin=lamr_min, vmax=lamr_max))
1022     elif color_por == "interfibra":
1023         sm = plt.cm.ScalarMappable(cmap=mi_colormap, norm=plt.Normalize(vmin=0, vmax=len(infbs_con)-1))
1024     elif color_por == "nada":
1025         sm = plt.cm.ScalarMappable(cmap=mi_colormap, norm=plt.Normalize(vmin=0, vmax=len(infbs_con)-1))
1026     # dibujo las fibras (los segmentos)
1027     # preparo las listas, una lista para cada fibra
1028     xx = [ list() for infb_con in infbs_con ]
1029     yy = [ list() for infb_con in infbs_con ]
1030     grafs = list()
1031     print "-"
1032     print "graficando_interfibras"
1033     pcc = 0.
1034     nif = float(len(infbs_con))
1035     pctp = np.arange(0., 101., 10.).tolist()
1036     pcpd = np.zeros(len(pctp), dtype=bool).tolist()
1037     for i, infb_con in enumerate(infbs_con): # recorro las interfibras
1038         pc = round(float(i)/nif * 100.,0)
1039         if pc in pctp:
1040             ipc = pctp.index(pc)
1041             if not pcpd[ipc]:
1042                 print "{:4.0f} %_".format(pc),
1043                 pcpd[ipc] = True
1044             # antes de recorrer los segmentos de cada interfibra
1045             # el primer nodo del primer segmento lo agrego antes del bucle
1046             s = infb_con[0] # primer segmento de la interfibra i
1047             n = self.segs.con[s][0] # primer nodo del segmento s
1048             r = self.nods.r[n] # coordenadas de ese nodo
1049             xx[i].append(r[0])
1050             yy[i].append(r[1])
1051             for s in infb_con: # recorro los segmentos de la interfibra i
1052                 s_con = self.segs.con[s]
1053                 n = s_con[1] # ultimo nodo del segmento s
1054                 r = self.nods.r[n] # coordenadas de ese nodo
1055                 xx[i].append(r[0])
1056                 yy[i].append(r[1])
1057             if color_por == "lamr":
1058                 col = sm.to_rgba(lamsr[i])
1059             elif color_por == "interfibra":
1060                 col = sm.to_rgba(i)
1061             elif color_por == "nada":
1062                 col = "k"
1063             grafs.append( ax.plot(xx[i], yy[i], linestyle="--", marker="k", label=str(i), color=col) )
1064     print "-"
1065     if not byn and barracolor:
1066         sm._A = []
1067         fig.colorbar(sm)
1068
1069     def pre_graficar_nodos_frontera(self, fig, ax, markersize=8):
1070         # dibujo las fibras (los segmentos)
1071         # preparo las listas, una lista para cada fibra
1072         xx = [ list() for f in self.fibs.con ]
1073         yy = [ list() for f in self.fibs.con ]
1074         # grafs = list() # un plot para cada fibra
1075         for f in range(len(self.fibs.con)): # f es un indice
1076             # el primer nodo y el ultimo de cada fibra son fronteras
1077             s = self.fibs.con[f][0] # obtengo el indice del primer segmento de la fibra numero f
1078             n = self.segs.con[s][0] # obtengo el indice del primer nodo del segmento numero s
1079             r = self.nods.r[n] # obtengo las coordenadas del nodo numero n
1080             xx[f].append(r[0])
1081             yy[f].append(r[1])
1082             s = self.fibs.con[f][-1] # obtengo el indice del ultimo segmento de la fibra numero f
1083             n = self.segs.con[s][1] # obtengo el indice del segundo nodo del ultimo segmento s
1084             r = self.nods.r[n] # obtengo las coordenadas del nodo numero n
1085             xx[f].append(r[0])

```

```

1086         yy[f].append(r[1])
1087         # grafs.append( ax.plot(xx[f], yy[f], linewidth=0, marker="x", mec="k", markersize=markersize) )
1088         ax.plot(xx, yy, linewidth=0, marker="o", mec="k", mfc="w", markersize=markersize)
1089
1090     def pre_graficar_nodos_interseccion(self, fig, ax, markersize=8):
1091         # dibujo las fibras (los segmentos)
1092         # preparo las listas, una lista para cada fibra
1093         xx = list()
1094         yy = list()
1095         # grafs = list() # un plot para cada fibra
1096         for n in range(len(self.nods.r)):
1097             if self.nods.tipos[n] == 2:
1098                 xx.append(self.nods.r[n][0])
1099                 yy.append(self.nods.r[n][1])
1100         ax.plot(xx, yy, linewidth=0, marker="o", mec="k", mfc="w", markersize=markersize)
1101
1102     def pre_graficar_nodos_internos(self, fig, ax):
1103         # dibujo las fibras (los segmentos)
1104         # preparo las listas, una lista para cada fibra
1105         xx = list()
1106         yy = list()
1107         grafs = list() # un plot para cada fibra
1108         for n in range(len(self.nods.r)):
1109             if self.nods.tipos[n] == 0:
1110                 xx.append(self.nods.r[n][0])
1111                 yy.append(self.nods.r[n][1])
1112         ax.plot(xx, yy, linewidth=0, marker=".", markersize=1)
1113
1114     def pre_graficar(self, fig, ax, lamr_min = None, lamr_max = None, byn = False):
1115         self.pre_graficar_bordes(fig, ax, byn)
1116         self.pre_graficar_nodos_frontera(fig, ax)
1117         self.pre_graficar_nodos_interseccion(fig, ax)
1118         self.pre_graficar_nodos_internos(fig, ax)
1119         self.pre_graficar_fibras(fig, ax, lamr_min=lamr_min, lamr_max=lamr_max, byn=byn)
1120         #ax.legend(loc="upper left", numpoints=1, prop={"size":6})
1121
1122     def graficar(self, fig=None, ax=None, lamr_min=None, lamr_max=None, byn=False):
1123         if ax is None:
1124             fig, ax = plt.subplots()
1125         self.pre_graficar(fig, ax, lamr_min, lamr_max, byn)
1126         plt.show()

```

```

1  """ modulo de funciones auxiliares """
2
3  import numpy as np
4  from scipy import stats
5
6  def find_string_in_file(fid, target, mandatory=False):
7      fid.seek(0) # rewind
8      target = target.lower()
9      len_target = len(target)
10     for linea in fid:
11         if target == linea[:len_target].lower():
12             ierr = 0
13             break
14     else:
15         if mandatory:
16             raise EOFError("final_de_archivo_sin_encontrar_target_string")
17         ierr = 1
18     return ierr
19
20 def iguales(x, y, tol=1.0e-8):
21     """ returns True if x is equal to y, both floats """
22     return np.abs(x-y)<tol
23
24 def calcular_longitud_de_segmento(r0, r1):
25     """ dados dos nodos de un segmento
26     r0: coordenadas "xy" del nodo 0
27     r1: coordenadas "xy" del nodo 1
28     calcula el largo del segmento """

```

```

29     dx = r1[0] - r0[0]
30     dy = r1[1] - r0[1]
31     return np.sqrt(dx*dx + dy*dy)
32
33 def calcular_angulo_de_segmento(r0, r1):
34     """ dados dos nodos de un segmento
35     r0: coordenadas "xy" del nodo 0
36     r1: coordenadas "xy" del nodo 1
37     calcula el angulo que forman con el eje horizontal """
38     dx = r1[0] - r0[0]
39     dy = r1[1] - r0[1]
40     if iguales(dx,0.): # segmento vertical
41         if iguales(dy,0.): # segmento nulo
42             raise ValueError("Error,_segmento_de_longitud_nula!!")
43         elif dy > 0.: # segmento hacia arriba
44             return 0.5*np.pi
45         else: # segmento hacia abajo
46             return -0.5*np.pi
47     elif iguales(dy,0.): # segmento horizontal
48         if dx>0.: # hacia derecha
49             return 0.
50         else: # hacia izquierda
51             return np.pi
52     else: # segmento oblicuo
53         if dx<0.: # segundo o tercer cuadrante
54             return np.pi + np.arctan(dy/dx)
55         elif dy>0.: # primer cuadrante
56             return np.arctan(dy/dx)
57         else: # cuarto cuadrante
58             return 2.*np.pi + np.arctan(dy/dx)
59
60 def compute_from_curve(x, xx, yy, extrapolar=False):
61     # primero chequeo si x cae fuera de intervalo
62     if x<xx[0] or x>xx[-1]:
63         if extrapolar:
64             if x<xx[0]:
65                 return yy[0]
66             else:
67                 return yy[-1]
68     # de lo contrario tengo que calcularlo dentro de intervalo interpolando linealmente
69     nx = len(xx)
70     for i in range(1,nx):
71         if x<xx[i]:
72             slope = ( yy[i] - yy[i-1] ) / ( xx[i] - xx[i-1] )
73             return yy[i-1] + slope * ( x - xx[i-1] )
74
75 def compute_discrete_normal_distribution(mu=1.0, sigma=1.0, n=1001):
76     from scipy.stats import norm
77     x = np.linspace(mu-10.*sigma, mu+10.*sigma, num=n)
78     y = norm.pdf(x)
79     Y = norm.cdf(x)
80     return x, y, Y
81
82 class Discrete_normal_distribution(object):
83     def __init__(self, mu=0., sigma=1., n=1001):
84         # armo curva discreta
85         self.x = np.linspace(mu - 10.*sigma, mu+10.*sigma, n)
86         self.y = stats.norm.pdf(self.x, mu, sigma)
87         self.Y = stats.norm.cdf(self.x, mu, sigma)
88
89     def get_sample(self):
90         r = np.random.random()
91         x = compute_from_curve(r, self.Y, self.x, True)
92         return x

```

B.3. Cálculo de intersecciones, simplificación y equilibrio

```

1
2 program Malla_Nanofibras_Fortran
3   USE class_malla_completa
4   use class_mallita
5   USE Aux
6   use programs
7   implicit none
8   ! =====
9   ! =====
10  ! Current working directory
11  CHARACTER(LEN=255) :: cwd
12  ! =====
13  TYPE(MallaCom) :: MC, MC2
14  TYPE(MallaSim) :: ms, ms2
15  CHARACTER(LEN=120) :: configfile
16  integer :: fid_cf
17  integer :: fid_lista_mallas
18  integer :: nmallas
19  integer :: num_instruc
20  integer, allocatable :: lista_instruc(:)
21  integer :: i_etiqueta
22  character(len=3) :: str_etiqueta
23  character(len=120) :: str_instruccion
24  integer :: j_instr
25  ! -----
26  ! variables para instruccion "Intersectar"
27  integer :: opcion_archivo
28  character(len=120) :: nombre_archivo, nombre_malla
29  integer :: num_pasadas
30  logical :: period_intersec
31  integer :: j_malla
32  ! -----
33  ! variables para instruccion "Simplificar"
34  integer :: numparam
35  real(8), allocatable :: param(:)
36  ! -----
37  ! variables para instruccion "Equilibrar"
38  integer :: opcion_Fmacro
39  character(len=120) :: archivo_Fmacro
40  integer :: fid_Fmacro
41  real(8) :: Fmacro(2,2)
42  integer :: num_pasos_vibracion
43  integer, allocatable :: vec_veces(:)
44  real(8), allocatable :: vec_drmags(:)
45  real(8) :: fuerza_ref, fuerza_tol
46  integer :: num_Fmacro
47  real(8), allocatable :: vec_Fmacro(:, :, :)
48  integer :: j_F
49  character(len=8) :: str_j_F
50  ! variables para instruccion "Traccion"
51  real(8) :: delta_t, dot_F11, dot_F22, F11_fin
52  CHARACTER(LEN=120) :: filename_curvacon
53  integer :: opcion_guardar
54  real(8) :: dF_guardar
55  ! -----
56  CHARACTER(LEN=120) :: filename, mallaname
57  integer :: i, j, k, n, m
58  INTEGER :: iStat, iStat1, iStat2
59  real(8), allocatable :: r1(:, :), Ag(:, :), bg(:), dr(:, :)
60  character(len=120) :: formato
61  real(8), allocatable :: fuerzas_f(:, :), fuerzas_n(:, :)
62  integer :: opcion ! 1=intersectar, 2=simplificar, 3=equilibrio
63  ! =====
64
65  ! -----
66  ! Imprimo carpeta de trabajo actual
67  print *, "Multiscale_Nanofibers_Mesh_RVE_2.0"

```

```

68 CALL GETCWD(cwd)
69 PRINT *, "Current_Working_Directory:", cwd
70 ! -----
71 ! Leer ConfigurationFile.txt para obtener instrucciones
72 configfile = "ConfigurationFile.txt"
73 fid_cf = get_file_unit()
74 OPEN(unit=fid_cf, file=trim(configfile), status="old")
75 iStat = FindStringInFile("*_Numero_de_acciones", fid_cf, .true.)
76 read(fid_cf,*) num_instruc
77 allocate( lista_instruc(num_instruc) )
78 read(fid_cf,*) lista_instruc
79 ! Ya que estamos tambien busco y leo los parametros constitutivos
80 iStat = FindStringInFile("*_Parametros_Constitutivos", fid_cf, .false.)
81 if (iStat==0) then
82     read(fid_cf,*) numparam
83     allocate( param(numparam) )
84     read(fid_cf,*) param
85 end if
86 CLOSE(unit=fid_cf)
87 ! -----
88 ! Recorro las etiquetas de las instrucciones a realizar
89 do j_instr=1,num_instruc
90     ! -----
91     ! Busco cada etiqueta en configfile y leo la string de instruccion (es el identificador: Intersectar,
92     ! ↪ Simplificar o Equilibrar)
93     i_etiqueta = lista_instruc(j_instr)
94     WRITE(str_etiqueta,'(A2,I1)') " *_", i_etiqueta
95     OPEN(unit=fid_cf, file=trim(configfile), status="old")
96     iStat = FindStringInFile(str_etiqueta, fid_cf, .true.)
97     read(fid_cf,*) str_instruccion
98     ! -----
99     ! Luego, segun la instruccion me fijo que hay que hacer
100     select case (trim(str_instruccion))
101     ! -----
102     case ("Intersectar")
103         ! Leo los parametros de configuracion
104         read(fid_cf,*) opcion_archivo, nombre_archivo
105         read(fid_cf,*) num_pasadas
106         read(fid_cf,*) period_intersec
107         ! Comienzo a intersectar
108         if (opcion_archivo==1) then
109             ! Caso de una sola malla a intersectar
110             call main_intersectar(nombre_archivo, num_pasadas, period_intersec)
111         elseif (opcion_archivo==2) then
112             ! Caso de una lista de mallas a intersectar, la lista se da en un archivo
113             fid_lista_mallas = get_file_unit()
114             open(unit=fid_lista_mallas, file=trim(nombre_archivo), status="old")
115             read(fid_lista_mallas,*) nmallas
116             ! Recorro las mallas de la lista, calculando las intersecciones para cada una
117             do j_malla=1,nmallas
118                 read(fid_lista_mallas,*) nombre_malla
119                 write(*,*) "Intersectando_malla:"
120                 write(*,*) nombre_malla
121                 call main_intersectar(nombre_malla, num_pasadas, period_intersec)
122             end do
123             ! Cierro el archivo de la lista de mallas
124             close(unit=fid_lista_mallas)
125         else
126             ! Si no encuentre opcion 1 o 2, entonces hay algun error!!!
127             write(*,*) "Error,_para_Intersectar,_opcion_archivo_debe_ser_1_o_2,_Y_es:_", opcion_archivo
128             write(*,*) "En_etiqueta:_", str_etiqueta
129             write(*,*) "En_Instruccion:_", str_instruccion
130             stop
131         end if
132     ! FIN INTERSECTAR
133     ! -----
134     case ("Simplificar")
135         ! Leo los parametros de configuracion

```

```

137     read(fid_cf,*) opcion_archivo, nombre_archivo
138     ! Comienzo a simplificar
139     if (opcion_archivo==1) then
140         ! Caso de una sola malla
141         call main_simplificar(nombre_archivo, numparam, param)
142     elseif (opcion_archivo==2) then
143         ! Caso de una lista de mallas en un archivo
144         fid_lista_mallas = get_file_unit()
145         open(unit=fid_lista_mallas, file=trim(nombre_archivo), status="old")
146         read(fid_lista_mallas,*) nmallas
147         ! Recorro las mallas de la lista
148         do j_malla=1,nmallas
149             read(fid_lista_mallas,*) nombre_malla
150             write(*,*) "Simplificando_malla:"
151             write(*,*) nombre_malla
152             call main_simplificar(nombre_malla, numparam, param)
153         end do
154         ! Cierro el archivo de la lista de mallas
155         close(unit=fid_lista_mallas)
156     else
157         ! Si no encuentre opcion 1 o 2, entonces hay algun error!!!
158         write(*,*) "Error_para_Simplificar,_opcion_archivo_debe_ser_1_o_2,_y_es:_", opcion_archivo
159         write(*,*) "En_etiqueta:_", str_etiqueta
160         write(*,*) "En_instruccion:_", str_instruccion
161         stop
162     end if
163 ! FIN SIMPLIFICAR
164 ! -----
165 ! EQUILIBRAR
166 case ("Equilibrar")
167     ! Leo parametros
168     read(fid_cf,*) opcion_archivo, nombre_archivo
169     read(fid_cf,*) num_pasos_vibracion
170     if (allocated(vec_veces)) deallocate(vec_veces)
171     if (allocated(vec_drmags)) deallocate(vec_drmags)
172     if (num_pasos_vibracion>0) then
173         allocate( vec_veces(num_pasos_vibracion) )
174         allocate( vec_drmags(num_pasos_vibracion) )
175     end if
176     read(fid_cf,*) vec_veces
177     read(fid_cf,*) vec_drmags
178     read(fid_cf,*) fuerza_ref, fuerza_tol
179     read(fid_cf,*) opcion_Fmacro
180     ! Armo array de deformaciones
181     if (opcion_Fmacro==1) then
182         ! Caso de un solo Fmacro
183         read(fid_cf,*) Fmacro
184         allocate( vec_Fmacro(2,2,1) )
185         vec_Fmacro(:,,1) = Fmacro
186     elseif (opcion_Fmacro==2) then
187         ! Caso de un archivo con una lista de deformaciones
188         read(fid_cf,*) archivo_Fmacro
189         fid_Fmacro = get_file_unit()
190         open(unit=fid_Fmacro, file=trim(archivo_Fmacro), status="old")
191         read(fid_Fmacro,*) num_Fmacro
192         allocate( vec_Fmacro(2,2,num_Fmacro) )
193         do j_F=1,num_Fmacro
194             read(fid_Fmacro,*) vec_Fmacro(:,,j_F)
195         end do
196     else
197         write(*,*) "Error_en_opcion_Fmacro,_deberia_ser_1_o_2,_y_es:_", opcion_Fmacro
198         write(*,*) "En_etiqueta:_", str_etiqueta
199         write(*,*) "En_instruccion:_", str_instruccion
200         stop
201     end if
202     ! Ahora resuelvo el equilibrio para las deformaciones que tengo
203     if (opcion_archivo==1) then
204         ! Caso de una sola malla
205         ! Recorro los Fmacro de la lista para hacer todos los equilibrios
206         do j_F=1,num_Fmacro

```

```

207     Fmacro = vec_Fmacro(:, :, j_F)
208     write(str_j_F, "(A1,I7.7)") "_", j_F ! 7.7 indica que el campo es de 7 y se usan como minimo 7,
      ↪ entonces imprime los ceros
209     call main_equilibrar(nombre_archivo, numparam, param, Fmacro, num_pasos_vibracion, vec_veces,
      ↪ vec_drmags, fuerza_ref, fuerza_tol, str_j_F)

210   end do
211   elseif (opcion_archivo==2) then
212     ! Caso de una lista de mallas en un archivo
213     fid_lista_mallas = get_file_unit()
214     open(unit=fid_lista_mallas, file=trim(nombre_archivo), status="old")
215     read(fid_lista_mallas, *) nmallas
216     ! Recorro las mallas de la lista
217     do j_malla=1, nmallas
218       read(fid_lista_mallas, *) nombre_malla
219       write(*, *) "Equilibrando_malla:"
220       write(*, *) nombre_malla
221       ! Recorro los Fmacro de la lista para hacer todos los equilibrios
222       do j_F=1, num_Fmacro
223         Fmacro = vec_Fmacro(:, :, j_F)
224         write(str_j_F, "(A1,I7.7)") "_", j_F ! 7.7 indica que el campo es de 7 y se usan como minimo 7,
          ↪ entonces imprime los ceros
225         call main_equilibrar(nombre_archivo, numparam, param, Fmacro, num_pasos_vibracion, vec_veces,
          ↪ vec_drmags, fuerza_ref, fuerza_tol, str_j_F)
226       end do
227     end do
228     ! Cierro el archivo de la lista de mallas
229     close(unit=fid_lista_mallas)
230   else
231     ! Si no encuentre opcion 1 o 2, entonces hay algun error!!!
232     write(*, *) "Error, opcion_archivo_debe_ser_1_o_2, yes:_", opcion_archivo
233     write(*, *) "En_etiqueta:_", str_etiqueta
234     write(*, *) "En_instruccion:_", str_instruccion
235     stop
236   end if
237   ! Cierro archivo de deformaciones
238   close(unit=fid_Fmacro)
239   ! FIN EQUILIBRAR
240   ! -----
241   ! TRACCION
242   case ("Traccion")
243     ! Leo parametros
244     read(fid_cf, *) opcion_archivo, nombre_archivo
245     read(fid_cf, *) num_pasos_vibracion
246     if (allocated(vec_veces)) deallocate(vec_veces)
247     if (allocated(vec_drmags)) deallocate(vec_drmags)
248     if (num_pasos_vibracion>0) then
249       allocate( vec_veces(num_pasos_vibracion) )
250       allocate( vec_drmags(num_pasos_vibracion) )
251     end if
252     read(fid_cf, *) vec_veces
253     read(fid_cf, *) vec_drmags
254     read(fid_cf, *) fuerza_ref, fuerza_tol
255     read(fid_cf, *) delta_t, dot_F11, dot_F22, F11_fin
256     read(fid_cf, *) filename_curvacon
257     read(fid_cf, *) opcion_guardar, dF_guardar
258     !
259     if (opcion_archivo==1) then
260       ! Caso de una sola malla
261       ! Recorro los Fmacro de la lista para hacer todos los equilibrios
262       call main_traccion(nombre_archivo, numparam, param, num_pasos_vibracion, vec_veces, vec_drmags, fuerza_ref
          ↪ , fuerza_tol, delta_t, dot_F11, dot_F22, F11_fin, filename_curvacon, opcion_guardar, dF_guardar)
263   ! elseif (opcion_archivo==2) then
264   ! stop
265   else
266     ! Si no encuentre opcion 1 o 2, entonces hay algun error!!!
267     write(*, *) "Error, opcion_archivo_debe_ser_1, yes:_", opcion_archivo
268     write(*, *) "En_etiqueta:_", str_etiqueta
269     write(*, *) "En_instruccion:_", str_instruccion
270     stop
271   end if

```

```

272      ! FIN TRACCION
273      ! -----
274      ! UNIAXIAL
275      case ("Uniaxial")
276          ! Leo parametros
277          read(fid_cf,*) opcion_archivo, nombre_archivo
278          read(fid_cf,*) num_pasos_vibracion
279          if (allocated(vec_veces)) deallocate(vec_veces)
280          if (allocated(vec_drmags)) deallocate(vec_drmags)
281          if (num_pasos_vibracion>0) then
282              allocate( vec_veces(num_pasos_vibracion) )
283              allocate( vec_drmags(num_pasos_vibracion) )
284          end if
285          read(fid_cf,*) vec_veces
286          read(fid_cf,*) vec_drmags
287          read(fid_cf,*) fuerza_ref, fuerza_tol
288          read(fid_cf,*) delta_t, dot_F11, dot_F22, F11_fin
289          read(fid_cf,*) filename_curvacon
290          read(fid_cf,*) opcion_guardar, dF_guardar
291          !
292          if (opcion_archivo==1) then
293              ! Caso de una sola malla
294              ! Recorro los Fmacro de la lista para hacer todos los equilibrios
295              call main_uniaxial(nombre_archivo, numparam, param, num_pasos_vibracion, vec_veces, vec_drmags, fuerza_ref
296                  ↪ , fuerza_tol, delta_t, dot_F11, dot_F22, F11_fin, filename_curvacon, opcion_guardar, dF_guardar)
297          ! elseif (opcion_archivo==2) then
298          ! stop
299          else
300              ! Si no encuentre opcion 1 o 2, entonces hay algun error!!!
301              write(*,*) "Error,_opcion_archivo_debe_ser_1,_y_es:_", opcion_archivo
302              write(*,*) "En_etiqueta:_", str_etiqueta
303              write(*,*) "En_instruccion:_", str_instruccion
304              stop
305          end if
306          ! FIN UNIAXIAL
307          ! -----
308          case default
309              write(*,*) "Instruccion_desconocida:_", str_instruccion
310              write(*,*) "En_etiqueta:_", str_etiqueta
311              stop
312          ! -----
313          end select
314          ! -----
315          close(unit=fid_cf)
316      end do
317      ! -----
318
319
320  end program Malla_Nanofibras_Fortran
321  ! =====
322  ! =====
323  ! =====

```

```

1  module programs
2
3  use Aux
4  USE class_malla_completa, ONLY : MallaCom
5  use class_mallita, only : MallaSim
6
7  contains
8
9  ! =====
10 subroutine main_interseccion(filename_malla_in, npasadas, periodicidad)
11     use class_malla_completa
12     implicit none
13     CHARACTER (LEN=120), intent(in) :: filename_malla_in
14     integer, intent(in) :: npasadas
15     logical, intent(in) :: periodicidad
16     character(len=120) :: filename_malla_in2, filename_malla_out

```

```

17  TYPE(MallaCom) :: MC, MC2
18  integer :: i
19  integer :: iStat1, iStat2
20
21  if (trim(filename_malla_in) == "default") then
22      filename_malla_in2 = "Malla.txt"
23  else
24      filename_malla_in2 = filename_malla_in
25  end if
26
27  write(*,*) "Leer_malla,_interseccion_fibras_y_reescribir:"
28  CALL leer_malla(MC, filename_malla_in2)
29  ! if (MC%sidelen > 99.d0) then
30  ! write(*,*) "malla con problema"
31  ! end if
32  ! Hago la interseccion muchas veces porque cada vez tengo la limitacion de no cortar al mismo segmento dos veces
33  i = 0
34  write(*,*) "Intersectando_fibras"
35  iStat1 = 0
36  iStat2 = 0
37  write(*,*) mc%nsegs
38  DO WHILE (.true.)
39      i = i+1
40      WRITE(*,'(I4)', ADVANCE='no') i
41      CALL interseccion_fibras(MC, MC2, .FALSE., periodicidad, iStat1) ! dentro de la misma capa
42      MC = MC2
43      CALL interseccion_fibras(MC, MC2, .TRUE., periodicidad, iStat2) ! con capas adyacentes
44      MC = MC2
45      write(*,*) mc%nsegs
46      IF ( (iStat1 == 1) .AND. (iStat2 == 1) ) EXIT
47      if (i==npsadas) exit
48  END DO
49  write(*,*)
50
51  write(*,*) "Escribiendo_malla_intersectada"
52  filename_malla_out = "_i"
53  call modify_txt_filename(filename_malla_in2, filename_malla_out)
54  CALL escribir_malla(mc, filename_malla_out)
55  write(*,*) "Malla_intersectada_OK"
56
57  end subroutine main_interseccion
58  ! =====
59
60  ! =====
61  subroutine main_simplificar(filename_malla_in, nparamcon, paramcon)
62  use class_malla_completa
63  use class_mallita
64  implicit none
65  CHARACTER (LEN=120), intent(in) :: filename_malla_in
66  integer, intent(in) :: nparamcon
67  real(8), intent(in) :: paramcon(nparamcon)
68  character(len=120) :: filename_malla_in2, filename_malla_out
69  type(MallaCom) :: mc
70  type(MallaSim) :: ms
71
72  if (trim(filename_malla_in) == "default") then
73      filename_malla_in2 = "Malla_i.txt"
74  else
75      filename_malla_in2 = "_i"
76      call modify_txt_filename(filename_malla_in, filename_malla_in2)
77  end if
78
79
80  write(*,*) "Leer_malla_intersectada_y_generar_malla_simplificada:"
81  call leer_malla(mc, filename_malla_in2)
82  call Desde_MallaCom(mc, ms, nparamcon, paramcon)
83
84  write(*,*) "Escribiendo_mallita"
85  filename_malla_out = "_s"
86  call modify_txt_filename(filename_malla_in2, filename_malla_out)

```

```

87     CALL escribir_mallita(ms, filename_malla_out)
88     write(*,*) "Malla_simplificada_OK"
89
90 end subroutine main_simplificar
91 ! =====
92
93 ! =====
94 subroutine main_equilibrar(filename_malla_in, nparcon, parcon, Fmacro, num_pasos, lista_veces, lista_drmags, fzaref,
    <math>\leftrightarrow</math> fzatol, str_num_output_opt)
95     ! Calcula el equilibrio elastico de una malla dado un tensor F macroscopico (Fmacro)
96     ! -----
97     use class_mallita
98     implicit none
99     ! -----
100    CHARACTER(LEN=120), intent(in) :: filename_malla_in
101    integer, intent(in) :: nparcon
102    real(8), intent(in) :: parcon(nparcon)
103    real(8), intent(in) :: Fmacro(2,2)
104    integer, intent(in) :: num_pasos
105    integer, intent(in) :: lista_veces(num_pasos)
106    real(8), intent(in) :: lista_drmags(num_pasos)
107    real(8), intent(in) :: fzaref
108    real(8), intent(in) :: fzatol
109    character(len=8), intent(in), optional :: str_num_output_opt
110    ! -----
111    character(len=120) :: filename_malla_in2, filename_malla_out, aux_string
112    type(MallaSim) :: ms
113    integer :: n, iStat1
114    ! -----
115
116    if (trim(filename_malla_in) == "default") then
117        filename_malla_in2 = "Malla_i_s.txt"
118    else
119        filename_malla_in2 = "_i_s"
120        call modify_txt_filename(filename_malla_in, filename_malla_in2)
121    end if
122
123    write(*,*) "Calculando_equilibrio"
124    call leer_mallita(ms, filename_malla_in2, nparcon, parcon)
125    n = ms%nndots
126
127    call calcular_equilibrio(ms, num_pasos, lista_veces, lista_drmags, fzaref, fzatol, Fmacro)
128
129    filename_malla_out = "_e"
130    call modify_txt_filename(filename_malla_in2, filename_malla_out)
131    if (present(str_num_output_opt)) then
132        aux_string = str_num_output_opt
133        call modify_txt_filename(filename_malla_out, aux_string)
134        filename_malla_out = aux_string
135    end if
136    call escribir_mallita(ms, filename_malla_out)
137    write(*,*) "Equilibrio_calculado_OK"
138
139    ! -----
140 end subroutine main_equilibrar
141 ! =====
142
143 ! =====
144
145 subroutine main_traccion(filename_malla_in, nparcon, parcon, num_pasos, lista_veces, lista_drmags, fzaref, fzatol,
    <math>\leftrightarrow</math> dttime, dotF11, dotF22, F11fin, filename_curva, opcion_save, dF_save)
146     ! Simula un ensayo de traccion con un esquema explicito
147     ! imponiendo tasas de deformacion axial y transversal
148     ! -----
149     use class_mallita
150     implicit none
151     ! -----
152    CHARACTER(LEN=120), intent(in) :: filename_malla_in
153    integer, intent(in) :: nparcon
154    real(8), intent(in) :: parcon(nparcon)

```

```

155 integer, intent(in) :: num_pasos
156 integer, intent(in) :: lista_veces(num_pasos)
157 real(8), intent(in) :: lista_drmags(num_pasos)
158 real(8), intent(in) :: fzaref
159 real(8), intent(in) :: fzzatol
160 real(8), intent(in) :: dtime
161 real(8), intent(in) :: dotF11
162 real(8), intent(in) :: dotF22
163 real(8), intent(in) :: F11fin
164 CHARACTER(LEN=120), intent(in) :: filename_curva
165 integer, intent(in) :: opcion_save
166 real(8), intent(in) :: dF_save
167 ! -----
168 character(len=120) :: filename_malla_in2, filename_malla_out
169 real(8) :: F11ini
170 integer :: fid_curva
171 real(8) :: time
172 real(8) :: Fmacro(2,2)
173 real(8) :: lamps
174 type(MallaSim) :: ms
175 integer :: nsaves
176 real(8), allocatable :: lista_saves_F(:)
177 logical, allocatable :: lista_saves_if(:)
178 logical :: listo_saves = .false.
179 integer :: isave
180 ! -----
181 integer :: f
182 ! -----
183
184 write(*,*) "Empezando_Traccion"
185 ! Preparo la lista de saves si es que hay
186 if (opcion_save==1) then
187     nsaves = int((F11fin-1.0d0) / dF_save) + 1
188     allocate( lista_saves_F(nsaves) )
189     allocate( lista_saves_if(nsaves) )
190     do isave=1,nsaves
191         lista_saves_F(isave) = 1. + dfloat(isave - 1)*dF_save
192     end do
193     lista_saves_if = .false.
194 end if
195 ! Leo la malla
196 write(*,*) "Leyendo_Malla:"
197 if (trim(filename_malla_in) == "default") then
198     filename_malla_in2 = "Malla_i_s.txt"
199 else
200     filename_malla_in2 = trim(filename_malla_in)
201 end if
202 write(*,*) "archivo:_", filename_malla_in2
203 call leer_mallita(ms, filename_malla_in2, nparcon, parcon)
204 if (ms%status_deformed) then
205     ! Si la malla esta previamente deformada, empiezo a trabajar desde alli
206     Fmacro = ms%Fmacro
207     F11ini = Fmacro(1,1)
208     lista_saves_if = (F11ini > lista_saves_F)
209     isave = count(lista_saves_if) + 1
210     ! Abro un archivo viejo para continuar la curva constitutiva
211     fid_curva = get_file_unit()
212     open(unit=fid_curva, file=trim(filename_curva), status="old", position="append", action="write")
213 else
214     ! Si la malla esta virge, empiezo desde deformacion nula
215     Fmacro = reshape(source=[1.d0, 0.d0, 0.d0, 1.d0], shape=shape(Fmacro))
216     isave = 1
217     ! Abro un archivo nuevo para escribir la curva constitutiva
218     fid_curva = get_file_unit()
219     open(unit=fid_curva, file=trim(filename_curva), status="replace")
220 end if
221
222 ! Comienzo esquema temporal
223 time = 0.d0
224 do while ( Fmacro(1,1) .le. F11fin )

```

```

225      ! Calculo el equilibrio de la malla para el Fmacro dado en este paso de tiempo
226      call calcular_equilibrio(ms, num_pasos, lista_veces, lista_drmags, fzaref, fzatol, Fmacro)
227      ! Guardo en archivo la informacion constitutiva para este step
228      write(*, "(2E20.8E4)") Fmacro(1,1), ms%Tmacro(1,1)
229      write(fid_curva, "(8E20.8E4)") Fmacro, ms%Tmacro
230      ! Calculo plasticidad y/o rotura de fibras
231      call calcular_plasticidad_rotura(ms, dtime)
232      ! Me fijo si guardo la malla o no
233      if (.not. listo_saves) then
234          if ( dabs( Fmacro(1,1) - lista_saves_F(isave) ) < dotF11*dtime ) then
235              write(filename_malla_out, "(A6,I4.4)") "_save_", isave
236              call modify_txt_filename(filename_malla_in2, filename_malla_out)
237              call escribir_mallita(ms, filename_malla_out)
238              isave = isave + 1
239              if (isave > nsaves) listo_saves = .true.
240          end if
241      end if
242      ! Incremento tiempo y deformacion para siguiente paso
243      Fmacro(1,1) = Fmacro(1,1) + dotF11*dtime
244      Fmacro(2,2) = Fmacro(2,2) + dotF22*dtime
245      time = time + dtime
246      end do
247      ! Cierro el archivo donde guarda la curva constitutiva
248      close(unit=fid_curva)
249
250      ! -----
251      end subroutine main_traccion
252      ! =====
253
254
255      ! -----
256      subroutine main_uniaxial(filename_malla_in, nparcon, parcon, num_pasos, lista_veces, lista_drmags, fzaref, fzatol,
257          ↪ dtime, dotF11, T22, F11fin, filename_curva, opcion_save, dF_save)
258      ! Simula un ensayo de traccion con un esquema explicito
259      ! imponiendo tasas de deformacion axial y transversal
260      ! -----
261      use class_mallita
262      implicit none
263      ! -----
264      CHARACTER (LEN=120), intent(in) :: filename_malla_in
265      integer, intent(in) :: nparcon
266      real(8), intent(in) :: parcon(nparcon)
267      integer, intent(in) :: num_pasos
268      integer, intent(in) :: lista_veces(num_pasos)
269      real(8), intent(in) :: lista_drmags(num_pasos)
270      real(8), intent(in) :: fzaref
271      real(8), intent(in) :: fzatol
272      real(8), intent(in) :: dtime
273      real(8), intent(in) :: dotF11
274      real(8), intent(in) :: T22 ! tension contra la cual contraer (en uniaxial verdadero seria cero)
275      real(8), intent(in) :: F11fin
276      CHARACTER (LEN=120), intent(in) :: filename_curva
277      integer, intent(in) :: opcion_save
278      real(8), intent(in) :: dF_save
279      ! -----
280      character(len=120) :: filename_malla_in2, filename_malla_out
281      real(8) :: F11ini
282      integer :: fid_curva
283      real(8) :: time
284      real(8) :: Fmacro(2,2)
285      real(8) :: lamps
286      type(MallaSim) :: ms
287      integer :: nsaves
288      real(8), allocatable :: lista_saves_F(:)
289      logical, allocatable :: lista_saves_if(:)
290      logical :: listo_saves = .false.
291      integer :: isave
292      ! -----
293      integer :: f, k, maxk=100
294      real(8) :: dF22 = 0.001d0

```

```

294 ! -----
295
296 write(*,*) "Empezando_Uniaxial"
297 ! Preparo la lista de saves si es que hay
298 if (opcion_save==1) then
299     nsaves = int((F1lfin-1.0d0) / dF_save) + 1
300     allocate( lista_saves_F(nsaves) )
301     allocate( lista_saves_if(nsaves) )
302     do isave=1,nsaves
303         lista_saves_F(isave) = 1. + dfloat(isave - 1)*dF_save
304     end do
305     lista_saves_if = .false.
306 end if
307 ! Leo la malla
308 write(*,*) "Leyendo_Malla:"
309 if (trim(filename_malla_in) == "default") then
310     filename_malla_in2 = "Malla_i_s.txt"
311 else
312     ! filename_malla_in2 = "_i_s"
313     ! call modify_txt_filename(filename_malla_in, filename_malla_in2)
314     filename_malla_in2 = trim(filename_malla_in)
315 end if
316 write(*,*) "archivo:_", filename_malla_in2
317 call leer_mallita(ms, filename_malla_in2, nparcon, parcon)
318 if (ms%status_deformed) then
319     ! Si la malla esta previamente deformada, empiezo a trabajar desde alli
320     Fmacro = ms%Fmacro
321     F1lini = Fmacro(1,1)
322     lista_saves_if = (F1lini > lista_saves_F)
323     isave = count(lista_saves_if) + 1
324     ! Abro un archivo viejo para continuar la curva constitutiva
325     fid_curva = get_file_unit()
326     open(unit=fid_curva, file=trim(filename_curva), status="old", position="append", action="write")
327 else
328     ! Si la malla esta virge, empiezo desde deformacion nula
329     Fmacro = reshape(source=[1.d0, 0.d0, 0.d0, 1.d0], shape=shape(Fmacro))
330     isave = 1
331     ! Abro un archivo nuevo para escribir la curva constitutiva
332     fid_curva = get_file_unit()
333     open(unit=fid_curva, file=trim(filename_curva), status="replace")
334 end if
335
336 ! Comienzo esquema temporal
337 time = 0.d0
338 do while ( Fmacro(1,1) .le. F1lfin )
339     ! Calculo el equilibrio de la malla para el Fmacro dado en este paso de tiempo y F22 de la iteracion anterior
340     do k=1,maxk
341         call calcular_equilibrio(ms, num_pasos, lista_veces, lista_drmags, fzaref, fzatol, Fmacro)
342         if (ms%Tmacro(2,2)>T22) then
343             Fmacro(2,2) = Fmacro(2,2) - dF22
344         else if (ms%Tmacro(2,2) < T22) then
345             Fmacro(2,2) = Fmacro(2,2) + dF22
346         exit
347     else
348         exit
349     end if
350 end do
351 ! Guardo en archivo la informacion constitutiva para este step
352 write(*, "(4E20.8E4)") Fmacro(1,1), ms%Tmacro(1,1), Fmacro(2,2), ms%Tmacro(2,2)
353 write(fid_curva, "(8E20.8E4)") Fmacro, ms%Tmacro
354 ! Calculo plasticidad y/o rotura de fibras
355 call calcular_plasticidad_rotura(ms, dtime)
356 ! Me fijo si guardo la malla o no
357 if (.not. listo_saves) then
358     if ( dabs( Fmacro(1,1) - lista_saves_F(isave) ) < dotF11*dtime ) then
359         write(filename_malla_out, "(A7,_,I4.4)") "_uniax_", isave
360         call modify_txt_filename(filename_malla_in2, filename_malla_out)
361         call escribir_mallita(ms, filename_malla_out)
362         isave = isave + 1
363         if (isave > nsaves) listo_saves = .true.

```

```

364         end if
365     end if
366     ! Incremento tiempo y deformacion para siguiente paso
367     Fmacro(1,1) = Fmacro(1,1) + dotF11*dtime
368     time = time + dtime
369 end do
370 ! Cierro el archivo donde guarda la curva constitutiva
371 close(unit=fid_curva)
372
373 ! -----
374 end subroutine main_uniaxial
375 ! =====
376
377 end module

```

```

1 ! =====
2 MODULE class_malla_completa
3 ! =====
4     USE Aux
5     IMPLICIT NONE
6
7     !PRIVATE
8     !PUBLIC :: MallaCom
9     !PUBLIC :: leer_malla
10
11     TYPE MallaCom
12         ! dimensiones generales
13         REAL(8) :: sidelen
14         REAL(8) :: diamed
15         real(8) :: volfrac
16         real(8) :: lenseg
17         real(8) :: themax
18         ! nodos
19         INTEGER :: nnods
20         INTEGER, ALLOCATABLE :: tipos(:)
21         REAL(8), ALLOCATABLE :: rnods(:, :)
22         ! segmentos
23         INTEGER :: nsegs
24         INTEGER, ALLOCATABLE :: segs(:, :)
25         ! fibras
26         INTEGER :: nfibs
27         INTEGER :: lenfibsje
28         INTEGER, ALLOCATABLE :: fibsne(:), fibsie(:), fibsje(:)
29         REAL(8), ALLOCATABLE :: fibsds(:), fibsdls(:), fibsdths(:)
30         ! capas
31         INTEGER :: ncaps
32         INTEGER :: lencapsje
33         INTEGER, ALLOCATABLE :: capsne(:), capsie(:), capsje(:)
34     CONTAINS
35         !
36     END TYPE MallaCom
37
38     TYPE Interseccion
39         INTEGER :: tipo
40         INTEGER :: fibs(2)
41         INTEGER :: segs(2)
42         INTEGER :: segs_f(2)
43         INTEGER :: seg1(2)
44         INTEGER :: seg2(2)
45         INTEGER :: inewseg1
46         INTEGER :: inewseg2
47         INTEGER :: inewnod
48         REAL(8) :: newnodr(2)
49     CONTAINS
50         !
51     END TYPE Interseccion
52
53 ! =====
54 CONTAINS
55 ! =====

```

```

56
57
58 ! =====
59 ! =====
60 SUBROUTINE leer_malla(malla, nomarch)
61   IMPLICIT NONE
62   CHARACTER (LEN=120), INTENT (IN) :: nomarch
63   TYPE (MallaCom), INTENT (INOUT) :: malla
64   !
65   INTEGER :: fid, iStatus
66   INTEGER :: i, j, k
67   INTEGER :: tipo
68   REAL (8) :: r(2)
69   INTEGER :: seg(2)
70   REAL (8) :: dl, d, dth
71   INTEGER :: nfibsegs, lenfibsje
72   INTEGER :: ncapfibs, lencapsje
73   INTEGER :: ie0, ie1
74
75   ! -----
76   fid = get_file_unit()
77   OPEN (UNIT=fid, FILE=TRIM(nomarch), STATUS="OLD")
78   ! -----
79   iStatus = FindStringInFile("*parametros", fid, .TRUE.)
80   READ (fid,*) malla%sidelen ! viene em micrones
81   READ (fid,*) malla%diamed ! viene em micrones
82   READ (fid,*) malla%volfrac
83   READ (fid,*) malla%lenseg ! viene en micrones
84   READ (fid,*) malla%themax ! lo leo en grados
85   malla%themax = malla%themax * PI / 180.d0 ! lo paso a radianes
86   ! -----
87   iStatus = FindStringInFile("*coordenadas", fid, .TRUE.)
88   READ (fid,*) malla%nnods
89   ALLOCATE ( malla%rnods(2,malla%nnods) )
90   ALLOCATE ( malla%tipos(malla%nnods) )
91   DO i=1,malla%nnods
92     READ (fid,*) j, tipo, r ! los leo en micrones
93     malla%rnods(:,i) = r
94     malla%tipos(i) = tipo
95   END DO
96   ! -----
97   iStatus = FindStringInFile("*segmentos", fid, .TRUE.)
98   READ (fid,*) malla%nsegs
99   ALLOCATE ( malla%segs(2,malla%nsegs) )
100  DO i=1,malla%nsegs
101    READ (fid,*) j, seg
102    malla%segs(:,i) = seg + 1 ! sumo uno porque vengo de python con base 0
103  END DO
104  ! -----
105  iStatus = FindStringInFile("*fibras", fid, .TRUE.)
106  READ (fid,*) malla%nfibs
107  ALLOCATE ( malla%fibsdls(malla%nfibs) )
108  ALLOCATE ( malla%fibsdls(malla%nfibs) )
109  ALLOCATE ( malla%fibsdths(malla%nfibs) )
110  ALLOCATE ( malla%fibsdths(malla%nfibs) )
111  ALLOCATE ( malla%fibsdths(malla%nfibs) )
112  ALLOCATE ( malla%fibsdths(malla%nfibs + 1) )
113  ! Recorro dos veces las fibras
114  ! la primera guardo el ne y calculo lenfibsje (cant total de segs)
115  ! la segunda calculo el ie y guardo el je
116  ! notar que el lenje de las fibras deberia ser el numero total de segmentos
117  ! porque cada segmento solo pertenece a una fibra, y el total de fibras contienen a todos los segmentos
118  lenfibsje = 0
119  DO i=1,malla%nfibs
120    READ (fid,*) j, dl, d, dth, nfibsegs
121    malla%fibsdths(i) = nfibsegs
122    lenfibsje = lenfibsje + nfibsegs
123  END DO
124  malla%lenfibsje = lenfibsje
125  iStatus = FindStringInFile("*fibras", fid, .TRUE.)
126  READ (fid,*) malla%nfibs ! redundante pero necesario leer algo

```

```

126  ALLOCATE( malla%fibsjje(lenfibsjje) )
127  malla%fibsjje(1) = 1
128  DO i=1,malla%nfibs
129      malla%fibsjje(i+1) = malla%fibsjje(i) + malla%fibsjne(i)
130      ie0 = malla%fibsjje(i)
131      ie1 = malla%fibsjje(i+1)
132      READ(fid,*) j, dl, d, dth, nfibsegs, malla%fibsjje(ie0:ie1-1)
133      malla%fibsjje(ie0:ie1-1) = malla%fibsjje(ie0:ie1-1) + 1 ! necesario porque vengo de python con base 0
134      malla%fibsdls(i) = dl
135      malla%fibsdss(i) = d
136      malla%fibsdths(i) = dth
137  END DO
138  ! -----
139  iStatus = FindStringInFile("capas", fid, .TRUE.)
140  READ(fid,*) malla%ncaps
141  ALLOCATE( malla%capsne(malla%ncaps) )
142  ALLOCATE( malla%capsie(malla%ncaps + 1) )
143  ! Recorro dos veces las capas
144  ! la primera guardo el ne y calculo lenje (cant total de fibras)
145  ! la segunda calculo el ie y guardo el je
146  ! notar que el lenje de las capas deberia ser el numero total de fibras
147  ! porque cada fibra solo pertenece a una capa, y el total de capas contienen a todas las fibras
148  lencapsje = 0
149  DO i=1,malla%ncaps
150      READ(fid,*) j, ncapfibs
151      malla%capsne(i) = ncapfibs
152      lencapsje = lencapsje + ncapfibs
153  END DO
154  malla%lencapsje = lencapsje
155  iStatus = FindStringInFile("capas", fid, .TRUE.)
156  READ(fid,*) malla%ncaps ! redundante pero necesario leer algo
157  ALLOCATE( malla%capsje(lencapsje) )
158  malla%capsie(1) = 1
159  DO i=1,malla%ncaps
160      malla%capsie(i+1) = malla%capsie(i) + malla%capsne(i)
161      ie0 = malla%capsie(i)
162      ie1 = malla%capsie(i+1)
163      READ(fid,*) j, ncapfibs, malla%capsje(ie0:ie1-1)
164      malla%capsje(ie0:ie1-1) = malla%capsje(ie0:ie1-1) + 1 ! vengo de python con base 0
165  END DO
166  ! -----
167  CLOSE(fid)
168  ! -----
169
170
171  END SUBROUTINE leer_malla
172  ! =====
173  ! =====
174
175
176  ! =====
177  ! =====
178  SUBROUTINE escribir_malla(malla, nomarch)
179  IMPLICIT NONE
180  CHARACTER(LEN=120), INTENT(IN) :: nomarch
181  TYPE(MallaCom), INTENT(INOUT) :: malla
182  !
183  INTEGER :: fid
184  INTEGER :: i
185  CHARACTER(LEN=120) :: formato
186
187  ! -----
188  fid = get_file_unit()
189  OPEN(UNIT=fid, FILE=TRIM(nomarch), STATUS="REPLACE")
190  ! -----
191  ! Parametros
192  WRITE(fid,'(A1)') "*Parametros"
193  WRITE(fid,'(E20.8E4)') malla%sidelen
194  WRITE(fid,'(E20.8E4)') malla%diamed
195  WRITE(fid,'(E20.8E4)') malla%volfrac

```

```

196 WRITE(fid,'(E20.8E4)') malla%lenseg
197 WRITE(fid,'(E20.8E4)') malla%themax * 180.d0 / PI ! lo guardo en grados
198 ! -----
199 ! Nodos
200 WRITE(fid,'(A12)') "*Coordenadas"
201 WRITE(fid,'(I12)') malla%nnods
202 DO i=1,malla%nnods
203   WRITE(fid,'(I12,I2,2E20.8E4)') i-1, malla%tipos(i), malla%rnods(:,i)
204 END DO
205 ! -----
206 ! Segmentos
207 WRITE(fid,'(A10)') "*Segmentos"
208 WRITE(fid,'(I12)') malla%nsegs
209 DO i=1,malla%nsegs
210   WRITE(fid,'(I12,_2I12)') i-1, malla%segs(:,i) - 1
211 END DO
212 ! -----
213 ! Fibras
214 WRITE(fid,'(A7)') "*Fibras"
215 WRITE(fid,'(I12)') malla%nfibs
216 DO i=1,malla%nfibs
217   WRITE(formato,'(A18,I0,A4)') "(I12,3E20.8E4,I12,",malla%fibsne(i),"I12)"
218   WRITE(fid,formato) i-1, malla%fibsdls(i), malla%fibsdls(i), malla%fibsdths(i), malla%fibsne(i), malla%fibsje(
     ↪ malla%fibsie(i):malla%fibsie(i+1)-1) - 1
219 END DO
220 ! -----
221 ! Capas
222 WRITE(fid,'(A6)') "*Capas"
223 WRITE(fid,'(I12)') malla%ncaps
224 DO i=1,malla%ncaps
225   WRITE(formato,'(A6,I0,A4)') "(2I12,",malla%capsne(i),"I12)"
226   WRITE(fid,formato) i-1, malla%capsne(i), malla%capsje(malla%capsie(i):malla%capsie(i+1)-1) - 1
227 END DO
228 ! -----
229 CLOSE(fid)
230 ! -----
231
232
233 END SUBROUTINE escribir_malla
234 ! =====
235 ! =====
236
237
238 ! =====
239 ! =====
240 SUBROUTINE interseccion_fibras(m_in, m_out, label_intercapas, label_periodicidad, iStatus)
241 ! voy a recorrer m_in, sus capas y fibras, encontrando intersecciones entre fibras
242 ! como resultado la malla de salida es una malla aumentada porque tiene mas nodos y mas segmentos
243 ! en primera instancia la voy a sobredimensionar en memoria
244 ! luego readjudico la memoria correcta
245 IMPLICIT NONE
246 TYPE(MallaCom), INTENT(IN) :: m_in
247 TYPE(MallaCom), INTENT(OUT) :: m_out
248 LOGICAL, INTENT(IN) :: label_intercapas
249 logical, intent(in) :: label_periodicidad
250 INTEGER, INTENT(OUT) :: iStatus
251 !
252 INTEGER :: c1, c2 ! numeracion de capas
253 INTEGER :: f1_c1, f1 ! numeracion de fibra 1: local dentro de la capa c1 y global
254 INTEGER :: s1_f1, s1 ! numeracion de segmento 1: local dentro de la fibra f1 y global
255 INTEGER :: f2_c1, f2 ! numeracion de fibra 2: local y global
256 INTEGER :: s2_f2, s2 ! numeracion de segmento 2: local y global
257 INTEGER :: n11, n12, n21, n22
258 REAL(8) :: r11(2), r12(2), r21(2), r22(2)
259 INTEGER :: iStat
260 REAL(8) :: rin(2)
261 !
262 INTEGER :: ilfibs1, nfibs1
263 INTEGER, ALLOCATABLE :: fibs1(:)
264 !

```

```

265 ! preadjudico las variables con el doble de tamaño para que sobre
266 INTEGER :: nins ! numero de intersecciones
267 TYPE(Interseccion) :: ins(100000) ! preadjudicado grande para que sobre
268 INTEGER :: nfibins(m_in%nfibins) ! aqui guardo la cantidad de intersecciones sobre cada fibra
269 INTEGER :: ifibins(10000, m_in%nfibins) ! aqui guardo en que indice local de cada fibra colocar los segmentos nuevos
    ↪ (i_ins, j_fib)
270 INTEGER :: jfibins(10000, m_in%nfibins) ! aqui guardo el indice global de cada segmento nuevo de cada fibra (i_ins,
    ↪ j_fib)
271 INTEGER :: nsegin(m_in%nsegs) ! cantidad de intersecciones por cada segmento
272 INTEGER :: isegins(100, m_in%nsegs) ! nodo viejo para cada interseccion para cada segmento (i_ins, j_seg)
273 INTEGER :: jsegin(100, m_in%nsegs) ! nodo nuevo para cada interseccion para cada segmento (i_ins, j_seg)
274 INTEGER :: newsegin(m_in%nsegs) ! indice nuevo del ultimo segmento creado debido a una interseccion del segmento
    ↪ i_seg

275 !
276 INTEGER :: i, j
277 INTEGER :: m_in_fie0, m_in_fie1, m_out_fie0, m_out_fie1
278 INTEGER :: nins2
279 INTEGER :: aux1, aux2, aux3, aux4
280 INTEGER :: inews1, inews2, inewn
281 !
282
283
284 ! -----
285 ! inicializo algunos arrays
286 nins = 0
287 nfibins = 0
288 nsegin = 0
289 DO i=1,m_in%nsegs
290     newsegin(i) = i
291 END DO
292 ! -----
293 ! recorro las capas e intersecciono fibras dentro de cada capa y con capas adyacentes
294 DO c1 = 1,m_in%ncaps
295     ! recorro las fibras de la capa c1
296     DO f1_c1 = 1,m_in%capsne(c1)
297         f1 = m_in%capsje( m_in%capsie(c1)-1 + f1_c1 )
298         ! recorro los segmentos de la fibra f1
299         DO s1_f1 = 1,m_in%fibsne(f1)
300             s1 = m_in%fibsje( m_in%fibsie(f1)-1 + s1_f1 )
301         ! if (s1==1) then
302         ! write(*,*) s1
303         ! end if
304         ! si el segmento s1 ya sufrio una interseccion paso al siguiente
305         n11 = m_in%segs(1,s1)
306         n12 = m_in%segs(2,s1)
307         r11 = m_in%rnods(:,n11)
308         r12 = m_in%rnods(:,n12)
309         ! puedo estar buscando intersecciones dentro de la misma capa
310         ! o entre capas
311         IF (ALLOCATED(fibs1)) DEALLOCATE( fibs1 )
312         IF (label_intercapas) THEN
313             ! recorro las fibras de la capa siguiente
314             ! o sea que si estoy en la ultima capa, no lo hago
315             IF (c1==m_in%ncaps) THEN
316                 if (.not. label_periodicidad) CYCLE ! si activo esto la ultima capa no intersecciona con la primera
317                 ifibsl = 1
318                 nfibsl = m_in%capsne(1) ! voy a chequear la ultima capa con la primera
319                 allocate( fibs1(nfibsl) )
320                 fibs1 = m_in%capsje( m_in%capsie(1) : m_in%capsie(1)-1 + nfibsl )
321             else
322                 ifibsl = 1
323                 nfibsl = m_in%capsne(c1+1)
324                 ALLOCATE( fibs1(nfibsl) )
325                 fibs1 = m_in%capsje( m_in%capsie(c1+1) : m_in%capsie(c1+1)-1 + nfibsl )
326             END IF
327         ELSE
328             ! recorro las fibras restantes de la capa c1 para interseccionar
329             ifibsl = f1_c1 + 1
330             nfibsl = m_in%capsne(c1)
331             ALLOCATE( fibs1(nfibsl) )

```

```

332      fibs1 = m_in%capsje( m_in%capsie(c1) : m_in%capsie(c1)-1 + nfibs1 )
333  END IF
334  DO f2_c1 = ifibs1,nfibs1
335      f2 = fibs1(f2_c1)
336      ! recorro los segmentos de la fibra f2
337  DO s2_f2 = 1,m_in%fibsne(f2)
338      s2 = m_in%fibsje( m_in%fibsie(f2)-1 + s2_f2 )
339      ! si el segmento s2 ya sufrio una interseccion paso al siguiente
340      IF ( (nsegins(s2)>0) .OR. (nsegins(s1)>0) ) THEN
341          CYCLE
342      END IF
343      n21 = m_in%segs(1,s2)
344      n22 = m_in%segs(2,s2)
345      r21 = m_in%rnods(:,n21)
346      r22 = m_in%rnods(:,n22)
347      CALL intersectar_segmentos(r11, r12, r21, r22, rin, iStat)
348      IF (iStat == 2) THEN ! 2 es interseccion tipo medio-medio
349          nins = nins + 1
350          inewn = m_in%nnods + nins
351          inews1 = m_in%nsegs + 2*nins - 1
352          inews2 = inews1 + 1
353          nsegins(s1) = nsegins(s1) + 1
354          nsegins(s2) = nsegins(s2) + 1
355          isegins(nsegins(s1),s1) = inews1
356          jsegins(nsegins(s1),s1) = inewn
357          isegins(nsegins(s2),s2) = inews2
358          jsegins(nsegins(s2),s2) = inewn
359          nfibins(f1) = nfibins(f1) + 1
360          nfibins(f2) = nfibins(f2) + 1
361          ifibins(nfibins(f1),f1) = s1_f1 + 1
362          ifibins(nfibins(f2),f2) = s2_f2 + 1
363          jfibins(nfibins(f1),f1) = inews1
364          jfibins(nfibins(f2),f2) = inews2
365          ins(nins) %tipo = iStat ! ojo que no es el tipo de nodo, sino el tipo de interseccion (aunque
366              ↪ coincide que es un 2 de tuje)
367          ins(nins) %fibs = [f1,f2] ! fibras que participan en la interseccion
368          ins(nins) %segs_f = [s1_f1, s2_f2] ! indices locales de los segmentos dentro de sus fibras
369          ins(nins) %seg1 = [n11, n12]
370          ins(nins) %seg2 = [n21, n22]
371          ins(nins) %inewseg1 = inews1
372          ins(nins) %inewseg2 = inews2
373          ins(nins) %inewnod = inewn
374          ins(nins) %newnodr = rin
375          newisegins(s1) = inews1 ! en caso de que vuelva a tener alguna interseccion
376          newisegins(s2) = inews2 ! en caso de que vuelva a tener alguna interseccion
377      END IF
378  END DO
379  END DO
380  END DO
381  END DO
382  END DO
383  ! -----
384
385  IF (nins==0) THEN
386      iStatus = 1
387      m_out = m_in
388      RETURN
389  END IF
390
391  ! -----
392  ! aqui ya tengo todas las intersecciones guardadas, ahora tengo que crear la nueva malla
393  ! dimensiones generales
394  m_out %sidelen = m_in %sidelen
395  m_out %diamed = m_in %diamed
396  m_out %volfrac = m_in %volfrac
397  m_out %lenseg = m_in %lenseg
398  m_out %themax = m_in %themax
399  ! -----
400  ! nodos

```

```

401 m_out %nnods = m_in %nnods + nins ! cada interseccion implica un nuevo nodo
402 ALLOCATE( m_out %tipos(m_out %nnods) ) ! adjudico
403 ALLOCATE( m_out %rnods(2,m_out %nnods) ) ! adjudico
404 m_out %tipos(1:m_in %nnods) = m_in %tipos ! copio los tipos viejos en los tipos nuevos
405 m_out %tipos(m_in %nnods+1:m_out %nnods) = 2 ! los tipos nuevos extras son todos tipo interseccion
406 m_out %rnods(:,1:m_in %nnods) = m_in %rnods ! copio coordenadas de los nodos viejos en los nodos nuevos
407 DO i=1,nins ! copio coordenadas de los nodos interseccion en los nodos nuevos
408     m_out %rnods(:,m_in %nnods+i) = ins(i) %newnodr(:)
409 END DO
410 ! -----
411 ! segmentos
412 m_out %nsegs = m_in %nsegs + 2*nins ! cada interseccion implica dos nuevos segmentos
413 ALLOCATE( m_out %segs(2,m_out %nsegs) ) ! adjudico
414 m_out %segs(:,1:m_in %nsegs) = m_in %segs ! copio los segmentos viejos en los segmentos nuevos
415 ! (los segmentos quedan incompletos, hay que modificarlos luego en un bucle sobre las intersecciones)
416 DO i=1,nins
417     s1 = ins(i) %segs(1)
418     s2 = ins(i) %segs(2)
419     n11 = m_in %segs(1,s1)
420     n12 = m_in %segs(2,s1)
421     n21 = m_in %segs(1,s2)
422     n22 = m_in %segs(2,s2)
423     inews1 = ins(i) %inewseg1
424     inews2 = ins(i) %inewseg2
425     inewn = ins(i) %inewnod
426     ! cambio la conectividad de los dos segmentos viejos
427     ! y agrego los dos segmentos nuevos
428     m_out %segs(2,s1) = inewn
429     m_out %segs(2,s2) = inewn
430     m_out %segs(:,inews1) = [inewn, n12]
431     m_out %segs(:,inews2) = [inewn, n22]
432 END DO
433 ! -----
434 ! fibras
435 m_out %nfibs = m_in %nfibs
436 m_out %lenfibsje = m_in %lenfibsje + 2*nins ! tengo dos nuevos elemento en la conectividad de las fibras por cada
437     ↪ interseccion
438 ALLOCATE( m_out %fibsds(m_out %nfibs) )
439 ALLOCATE( m_out %fibsdl(m_out %nfibs) )
440 ALLOCATE( m_out %fibsdt(m_out %nfibs) )
441 ALLOCATE( m_out %fibsne(m_out %nfibs) )
442 ALLOCATE( m_out %fibsie(m_out %nfibs + 1) )
443 ALLOCATE( m_out %fibsje(m_out %lenfibsje) )
444 m_out %fibsds = m_in %fibsds
445 m_out %fibsdl = m_in %fibsdl
446 m_out %fibsdt = m_in %fibsdt
447 m_out %fibsie(1) = 1
448 ! primero copio la conectividad vieja en la conectividad nueva
449 ! teniendo cuidado de donde va cada fibra
450 m_out %fibsje = -1 ! inicializo en -1 indicando lugares libres (sin segmento asignado)
451 DO i=1,m_in %nfibs
452     m_out %fibsne(i) = m_in %fibsne(i) + nfibs(i)
453     m_out %fibsie(i+1) = m_out %fibsie(i) + m_out %fibsne(i)
454 END DO
455 !
456 m_out %fibsje(1:m_in %lenfibsje) = m_in %fibsje
457 ! ahora divido cada segmento en dos recorriendo el je de las fibras
458 nins2 = 0
459 DO i=1,m_in %lenfibsje
460     s1 = m_in %fibsje(i)
461     IF (nsegs(s1)>0) THEN
462         ! este segmento fue intersectado, hay que partirlo en dos
463         nins2 = nins2 + 1
464         inews1 = isegins(1,s1) ! nodo nuevo generado al partir al segmento s1 en dos
465         ! le hago lugar al nuevo segmento desplazando la segunda parte de la conectividad hacia adelante
466         m_out %fibsje(i+nins2+1:m_in %lenfibsje+nins2) = m_out %fibsje(i+nins2:m_in %lenfibsje+nins2-1)
467         ! pongo el segmento nuevo
468         m_out %fibsje(i+nins2) = inews1
469     END IF
470 END DO

```

```

470      ! -----
471      ! capas
472      m_out%ncaps = m_in%ncaps
473      m_out%lencapsje = m_in%lencapsje
474      ALLOCATE( m_out%capsne(m_out%ncaps) )
475      ALLOCATE( m_out%capsie(m_out%ncaps + 1) )
476      ALLOCATE( m_out%capsje(m_out%lencapsje) )
477      m_out%capsne = m_in%capsne
478      m_out%capsie = m_in%capsie
479      m_out%capsje = m_in%capsje
480      ! -----
481
482      istatus = 0
483
484
485      END SUBROUTINE intersectar_fibras
486      ! =====
487      ! =====
488
489
490      ! =====
491      END MODULE class_malla_completa
492      ! =====

```

```

1      ! =====
2      MODULE class_mallita
3      ! =====
4      USE Aux
5      USE class_malla_completa, ONLY : MallaCom
6      IMPLICIT NONE
7
8      real(8), parameter :: delta = 1.d-4
9      real(8), parameter :: delta21 = 1.d0 / (2.d0 * delta)
10     real(8), parameter :: deltax(2) = delta * [1.d0, 0.d0]
11     real(8), parameter :: deltay(2) = delta * [0.d0, 1.d0]
12
13     !PRIVATE
14     !PUBLIC :: MallaCom
15     !PUBLIC :: leer_malla
16
17     TYPE MallaSim
18     ! dimensiones generales
19     REAL(8) :: sidelen
20     real(8) :: diamed
21     integer :: ncapas
22     ! nodos
23     INTEGER :: nnods
24     INTEGER, ALLOCATABLE :: tipos(:)
25     REAL(8), ALLOCATABLE :: rnodes0(:, :), rnodes(:, :)
26     LOGICAL, ALLOCATABLE :: mf(:, :), mi(:, :)
27     ! fibras
28     INTEGER :: nfibs
29     INTEGER, ALLOCATABLE :: fibs(:, :)
30     REAL(8), ALLOCATABLE :: letes0(:)
31     REAL(8), ALLOCATABLE :: lamsr(:)
32     real(8), allocatable :: lamps(:)
33     logical, allocatable :: broken(:)
34     REAL(8), ALLOCATABLE :: diams(:)
35     ! parametros constitutivos
36     INTEGER :: nparam
37     REAL(8), ALLOCATABLE :: param(:) ! por ahora son los mismos para todas las fibras
38     ! informacion de deformacion y tension
39     logical :: status_deformed = .false.
40     real(8) :: Fmacro(2,2)
41     real(8), allocatable :: lams(:)
42     real(8), allocatable :: tens(:)
43     real(8) :: Tmacro(2,2)
44     CONTAINS
45     !
46     END TYPE MallaSim

```

```

47
48 ! =====
49 CONTAINS
50 ! =====
51
52
53 ! =====
54 ! =====
55 SUBROUTINE Desde_MallaCom(macom, masim, nparcon, parcon)
56 ! -----
57 IMPLICIT NONE
58 TYPE(MallaCom), INTENT(IN) :: macom
59 TYPE(MallaSim), INTENT(OUT) :: masim
60 integer, intent(in) :: nparcon
61 real(8), intent(in) :: parcon(nparcon)
62 ! -----
63 INTEGER :: i,j,k ! contadors
64 INTEGER :: f,s,n,n1,n2 ! indices de fibras, segmentos, nodos
65 INTEGER :: nins_f ! para contar el numero de intersecciones por fibra
66 integer :: nfibs ! numero de fibras en la malla simplificada
67 integer :: nnods ! numero de nodos en la malla simplificada
68 integer :: ifib, inod
69 integer, allocatable :: oldnods(:) ! array para saber como se conectan los nodos de macom y de masim
70 real(8) :: r1(2), r2(2), dr(2), loco0_s, loco0, lete0
71 logical :: cond
72 real(8) :: L_2
73 ! -----
74
75 ! -----
76 ! parametros
77 masim%sidelen = macom%sidelen
78 masim%diamed = macom%diamed
79 masim%ncapas = macom%ncaps
80 ! -----
81 write(*,*) "Contando_el_numero_de_nodos_y_fibras_en_la_malla_simplificada"
82 ! primero voy a contar el numero de intersecciones en cada fibra de la malla completa
83 ! para saber el numero de fibras y de nodos en la malla simplificada
84 nfibs = 0
85 nnods = 0
86 allocate( oldnods(macom%nnods) ) ! aca voy chequeando si a cada nodo ya lo considere o si es una nueva interseccion
87 oldnods = 0
88 do f=1,macom%nfibs
89     nins_f = 0
90     ! el primer nodo de cada fibra siempre es un nodo nuevo de masim
91     nnods = nnods + 1
92     do j=1,macom%fibsne(f)-1 ! el ultimo no lo tengo en cuenta porque el ultimo nodo siempre es frontera, nunca
93         ↪ interseccion
94         s = macom%fibsje(macom%fibsie(f)-1+j)
95         n1 = macom%segs(1,s)
96         n2 = macom%segs(2,s)
97         if (macom%tipos(n2) == 2) THEN
98             nins_f = nins_f + 1
99             ! chequeo si ya esta considerado o aun no
100             if (oldnods(n2)==0) then
101                 ! este nodo no lo sume aun a los nodos de masim
102                 oldnods(n2) = 1
103                 nnods = nnods + 1
104             ! else
105             ! ! este nodo ya lo tuve en cuenta, no hace falta hacer nada
106             end if
107         end if
108     end do
109     ! sumo las fibras de masim que salen de esta fibra de macom segun las intersecciones que tuvo
110     nfibs = nfibs + 1 + nins_f
111     ! y sumo el ultimo nodo de la fibra que siempre es un nodo nuevo de masim
112     nnods = nnods + 1
113 end do
114 write(*,*) "nnods:_", nnods, "_nfibs:", nfibs
115 ! -----
116 ! ahora que se cuantas fibras y nodos voy a tener, adjudico memoria

```

```

116   masim%nnods = nnods
117   masim%nfibs = nfibs
118   allocate( masim%tipos(nnods) )
119   allocate( masim%rnods0(2,nnods) )
120   allocate( masim%mf(nnods) )
121   allocate( masim%mi(nnods) )
122   allocate( masim%fibs(2,nfibs) )
123   allocate( masim%letes0(nfibs) )
124   allocate( masim%lamsr(nfibs) )
125   allocate( masim%lamps(nfibs) )
126   allocate( masim%brokens(nfibs) )
127   allocate( masim%diams(nfibs) )
128   ! allocate( masim%param(10,nfibs) )
129   ! -----
130   write(*,*) "Construyendo_malla_simplificada"
131   ! ahora voy llenando los valores
132   ifib = 0
133   inod = 0
134   oldnods = 0
135   do f=1,macom%nfibs
136     ! siempre que empieza una fibra de macom, empieza una nueva fibra de masim
137     ifib = ifib + 1
138     loco0 = 0.d0
139     ! identifico el primer nodo de la fibra antes de hacer un loop por los demas segmentos
140     s = macom%fibsje(macom%fibsie(f))
141     n1 = macom%segs(1,s)
142     ! este nodo siempre es un nodo nuevo de masim, entonces
143     ! sumo este nodo a los nodos de masim y a la conectividad de la nueva fibra de masim
144     inod = inod + 1
145     masim%tipos(inod) = 1 ! frontera
146     masim%rnods0(:,inod) = macom%rnods(:,n1)
147     oldnods(n1) = inod ! guardo el indice que este nodo tendra en masim
148     masim%fibs(1,ifib) = inod
149     masim%diams(ifib) = macom%fibsds(f)
150     ! ahora recorro todos los segmentos para ir chequeando todos los n1, asi comprendo todos los nodos de la fibra
151     do j=1,macom%fibsne(f)
152       ! identifico el segmento y sus nodos en macom
153       s = macom%fibsje(macom%fibsie(f)-1+j)
154       n1 = macom%segs(1,s)
155       n2 = macom%segs(2,s)
156       ! calculo long de seg para sumar a la long de contorno (loco0)
157       r1 = macom%rnods(:,n1)
158       r2 = macom%rnods(:,n2)
159       dr = r2-r1
160       loco0_s = dsqrt(sum(dr*dr))
161       cond = iguales(loco0_s,0.d0)
162       if (cond) then
163         write(*,*) "longitud_de_segmento_nula"
164         stop
165       end if
166       loco0 = loco0 + loco0_s
167       ! me fijo si llegue al final de la fibra de masim (si encuentro una interseccion o una frontera)
168       if ((macom%tipos(n2) == 2) .or. (macom%tipos(n2)==1)) THEN
169         ! me tengo que fijar si este nodo que encuentre ya lo tengo presente en oldnods
170         if (oldnods(n2)==0) then
171           ! si no esta presente tengo que agregarlo a los nodos de masim
172           inod = inod + 1 !nuevo nodo de masim
173           masim%tipos(inod) = macom%tipos(n2) ! interseccion
174           masim%rnods0(:,inod) = macom%rnods(:,n2)
175           oldnods(n2) = inod
176         end if
177         ! estuviera ya presente o no, lo agrego a la conectividad de la fibra
178         masim%fibs(2,ifib) = oldnods(n2)
179         ! calculo la longitud extremo-extremo de la fibra sim (lete0)
180         r1 = masim%rnods0(:,masim%fibs(1,ifib))
181         r2 = masim%rnods0(:,masim%fibs(2,ifib))
182         dr = r2-r1
183         lete0 = dsqrt(sum(dr*dr))
184         masim%letes0(ifib) = lete0
185         masim%lamsr(ifib) = loco0 / lete0

```

```

186         ! si no llegue a un nodo frontera, comienzo una nueva fibra
187         if (macom%tipos(n2)==2) then
188             ifib = ifib + 1
189             loco0 = 0.d0
190             masim%fibs(1,ifib) = oldnods(n2)
191             masim%diams(ifib) = macom%fibsds(f)
192         end if
193     end if
194 end do
195     nfibs = nfibs + 1 + nins_f
196     nnods = nnods + 2 + nins_f
197 end do
198     ! tambien agrego informacion sobre deformacion plastica y rotura de fibras
199     masim%lamps = 1.d0 ! sin plasticidad
200     masim%brokens = .false. ! todas sanas
201     ! -----
202     ! ya tengo los nodos (tipos y coordenadas), ahora hago las masks
203     masim%mf = masim%tipos == 1
204     masim%mi = masim%tipos == 2
205     ! Desplazo las coordenadas para dejar el cero en el medio del rve
206     L_2 = 0.5d0 * masim%sidelen
207     masim%rnods0 = masim%rnods0 - L_2
208     ! y copio rnods0 a rnods
209     allocate( masim%rnods(2,nnods) )
210     masim%rnods = masim%rnods0
211     ! -----
212     ! parametros constitutivos
213     allocate( masim%param(nparcon) )
214     masim%nparam = nparcon
215     masim%param = parcon
216     ! -----
217     ! -----
218     write(*,*) "Malla_simplificada_lista"
219
220     ! -----
221 END SUBROUTINE Desde_MallaCom
222     ! =====
223     ! =====
224
225
226     ! =====
227     ! =====
228 SUBROUTINE leer_mallita(masim, nomarch, numparamcon, paramcon)
229     IMPLICIT NONE
230     CHARACTER (LEN=120), INTENT(IN) :: nomarch
231     TYPE(MallaSim), INTENT(OUT) :: masim
232     integer, intent(in) :: numparamcon
233     real(8), intent(in) :: paramcon(numparamcon)
234     !
235     INTEGER :: fid
236     integer :: iStatus
237     INTEGER :: i,j,k
238     integer :: tipo
239     real(8) :: r0(2), r(2)
240     real(8) :: diam, lete0, lamr, lamp
241     logical :: broken
242     integer :: n0, n1
243     real(8) :: L_2
244     ! -----
245     fid = get_file_unit()
246     OPEN(UNIT=fid, FILE=TRIM(nomarch), STATUS="OLD")
247     ! -----
248     ! Parametros
249     iStatus = FindStringInFile("parametros", fid, .TRUE.)
250     READ(fid,*) masim%sidelen
251     READ(fid,*) masim%diamed
252     read(fid,*) masim%ncapas
253     if (.false.) then !Codigo viejo que estoy reemplazando
254         READ(fid,*) masim%nparam
255         allocate( masim%param(masim%nparam) )

```

```

256     read(fid,*) masim%param
257 end if
258 masim%nparam = numparamcon
259 allocate( masim%param(masim%nparam) )
260 masim%param = paramcon
261 ! -----
262 ! Deformacion (puede no estar)
263 iStatus = FindStringInFile("deformacion", fid, .false.)
264 if (iStatus == 0) then
265     masim%status_deformed = .true.
266     read(fid,*) masim%Fmacro
267     read(fid,*) masim%Tmacro
268 end if
269 ! -----
270 ! Nodos
271 iStatus = FindStringInFile("coordenadas", fid, .TRUE.)
272 READ(fid,*) masim%nnods
273 ALLOCATE( masim%rnods0(2,masim%nnods) )
274 ALLOCATE( masim%rnods(2,masim%nnods) )
275 ALLOCATE( masim%tipos(masim%nnods) )
276 DO i=1,masim%nnods
277     READ(fid,*) j, tipo, r0, r
278     masim%rnods0(:,i) = r0
279     masim%rnods(:,i) = r
280     masim%tipos(i) = tipo
281 END DO
282 ! Cambio coordenadas para tener el cero en el centro del RVE
283 ! OJO por ahora si hay distorsion (F12 o F21) esto no anda tan facil
284 L_2 = 0.5d0 * masim%sidelen
285 masim%rnods0 = masim%rnods0 - L_2
286 if (masim%status_deformed) then
287     L_2 = 0.5d0 * masim%sidelen * masim%Fmacro(1,1)
288     masim%rnods(1,:) = masim%rnods(1,:) - L_2
289     L_2 = 0.5d0 * masim%sidelen * masim%Fmacro(2,2)
290     masim%rnods(2,:) = masim%rnods(2,:) - L_2
291 else
292     masim%rnods = masim%rnods0
293 end if
294 ! -----
295 ! Fibras
296 iStatus = FindStringInFile("fibras", fid, .TRUE.)
297 READ(fid,*) masim%nfibs
298 allocate( masim%fibs(2,masim%nfibs) )
299 allocate( masim%diams(masim%nfibs) )
300 allocate( masim%letes0(masim%nfibs) )
301 allocate( masim%lamsr(masim%nfibs) )
302 allocate( masim%lamps(masim%nfibs) )
303 allocate( masim%brokens(masim%nfibs) )
304 DO i=1,masim%nfibs
305     READ(fid,*) j, diam, lete0, lamr, lamp, broken, n0, n1
306     masim%diams(i) = diam
307     masim%letes0(i) = lete0
308     masim%lamsr(i) = lamr
309     masim%lamps(i) = lamp
310     masim%brokens(i) = broken
311     masim%fibs(1,i) = n0+1 !+1 porque vengo de python que tiene base 0
312     masim%fibs(2,i) = n1+1
313 END DO
314 ! -----
315 CLOSE(fid)
316 ! -----
317
318
319 END SUBROUTINE leer_mallita
320 ! =====
321 ! =====
322
323
324
325 ! =====

```

```

326 ! =====
327 SUBROUTINE escribir_mallita(masim, nomarch)
328   IMPLICIT NONE
329   CHARACTER(LEN=120), INTENT(IN) :: nomarch
330   TYPE(MallaSim), INTENT(IN) :: masim
331   !
332   INTEGER :: fid
333   INTEGER :: i
334   CHARACTER(LEN=120) :: formato
335   real(8) :: L_2, r0(2,masim%nnodes), r1(2,masim%nnodes)
336   ! -----
337   fid = get_file_unit()
338   OPEN(UNIT=fid, FILE=TRIM(nomarch), STATUS="REPLACE")
339   ! -----
340   ! Parametros
341   WRITE(fid,'(A11)') "*Parametros"
342   WRITE(fid,'(E20.8E4)') masim%sidelen
343   WRITE(fid,'(E20.8E4)') masim%diamed
344   WRITE(fid,'(I10)') masim%ncapas
345   WRITE(fid,'(I10)') masim%nparam
346   WRITE(formato,'(A1,I0,A8)') "(", masim%nparam, "E20.8E4)"
347   WRITE(fid,formato) masim%param
348   ! -----
349   ! Deformacion
350   if (masim%status_deformed) then
351     write(fid,'(A12)') "*Deformacion"
352     WRITE(fid,'(4E20.8E4)') masim%Fmacro
353     WRITE(fid,'(4E20.8E4)') masim%Tmacro
354   end if
355   ! -----
356   ! Nodos
357   WRITE(fid,'(A12)') "*Coordenadas"
358   WRITE(fid,'(I12)') masim%nnodes
359   DO i=1,masim%nnodes
360     ! Tengo que escribir las coordenadas con el cero en el vertice inferior izquierdo
361     L_2 = 0.5d0 * masim%sidelen
362     r0 = masim%rnods0 + L_2
363     if (masim%status_deformed) then
364       L_2 = 0.5d0 * masim%sidelen * masim%Fmacro(1,1)
365       r1(1,:) = masim%rnods(1,:) + L_2
366       L_2 = 0.5d0 * masim%sidelen * masim%Fmacro(2,2)
367       r1(2,:) = masim%rnods(2,:) + L_2
368     else
369       r1 = r0
370     end if
371     WRITE(fid,'(I12,I2,4E20.8E4)') i-1, masim%tipos(i), r0(:,i), r1(:,i)
372   END DO
373   ! -----
374   ! Fibras
375   WRITE(fid,'(A7)') "*Fibras"
376   WRITE(fid,'(I12)') masim%nfibs
377   DO i=1,masim%nfibs
378     WRITE(fid,'(I12,4E20.8E4,4E20.8E4,2I12)') i-1, masim%diams(i), masim%letes0(i), masim%lamsr(i), masim%lamps(i),
379     ↪ masim%brokens(i), masim%fibs(:,i) - 1
380   END DO
381   ! -----
382   CLOSE(fid)
383   ! -----
384
385 END SUBROUTINE escribir_mallita
386 ! =====
387 ! =====
388
389
390
391 ! =====
392 ! =====
393 subroutine deformar_afin(masim, FF, r1, axis)
394   ! Deforma la mallita de manera Afin: r = F r0

```

```

395 ! input: FF (tensor gradiente de deformaciones 2x2)
396 !
397 implicit none
398 ! -----
399 type(MallaSim), intent(inout) :: masim
400 real(8), intent(in) :: FF(2,2) ! tensor de deformaciones
401 real(8), intent(inout) :: r1(2,masim%nods)
402 integer, optional, intent(in) :: axis ! eje que se deforma afin: 0= los dos, 1= x, 2=y
403 ! -----
404 integer :: i,j,k
405 integer :: axisL
406 ! -----
407
408 ! Chequeo si se da eje
409 axisL = 0
410 if (present(axis)) axisL=axis
411
412
413 ! -----
414 if (axisL==0) then
415 ! Deformo de manera afin ambos ejes
416 do k=1,masim%nods
417 r1(:,k) = 0.d0 ! lo hago cero antes de empezar la sumatoria
418 do i=1,2
419 do j=1,2
420 r1(i,k) = r1(i,k) + FF(i,j)*masim%nods0(j,k)
421 end do
422 end do
423 end do
424 else if (axisL==1) then
425 ! Solamente deformato de manera afin en x (y queda igual)
426 do k=1,masim%nods
427 i=1
428 r1(i,k) = 0.d0
429 do j=1,2
430 r1(i,k) = r1(i,k) + FF(i,j)*masim%nods0(j,k)
431 end do
432 end do
433 else if (axisL==2) then
434 ! Solamente deformato de manera afin en y (x queda igual)
435 do k=1,masim%nods
436 i=2
437 r1(i,k) = 0.d0
438 do j=1,2
439 r1(i,k) = r1(i,k) + FF(i,j)*masim%nods0(j,k)
440 end do
441 end do
442 else
443 print *, "Mal_valor_de_axisL"
444 stop
445 end if
446 ! -----
447 ! masim%nods = r1
448 ! -----
449
450 ! -----
451 end subroutine deformar_afin
452 ! =====
453 ! =====
454
455 ! =====
456 ! =====
457
458 subroutine deformar_afin_frontera(masim, FF, r1)
459 ! Toma un array de coordenadas r1
460 ! Y a los nodos de la frontera le aplica la deformacion afin
461 ! Al resto los deja como estaban
462 ! input: FF (tensor gradiente de deformaciones 2x2)
463 !
464 implicit none

```

```

465 ! -----
466 type (MallaSim), intent (inout) :: masim
467 real (8), intent (in) :: FF(2,2) ! tensor de deformaciones
468 real (8), intent (inout) :: r1(2,masim%nods)
469 ! -----
470 integer :: i,j,k
471 ! -----
472
473 ! -----
474 do k=1,masim%nods
475   if (masim%tipos(k)==1) then
476     r1(:,k) = 0.d0
477     do i=1,2
478       do j=1,2
479         r1(i,k) = r1(i,k) + FF(i,j)*masim%nods0(j,k)
480       end do
481     end do
482   end if
483 end do
484 ! -----
485 ! masim%nods = r1
486 ! -----
487
488 ! -----
489 end subroutine deformar_afin_frontera
490 ! =====
491 ! =====
492
493
494 ! =====
495 ! =====
496 subroutine calcular_tension_fibra(masim, f, dr_f, tension, fuerzav)
497 ! Calcula la tension ingenieril de una fibra (identificada mediante numeracion f)
498 ! y la fuerza como vector (yendo del nodo inicial de la fibra al nodo final)
499 ! dr_f es el vector de la fibra desde r_n0 hasta r_n1 (desde nodo inicial hasta nodo final)
500 ! -----
501 implicit none
502 type (MallaSim), intent (in) :: masim
503 integer, intent (in) :: f
504 real (8), intent (in) :: dr_f(2)
505 real (8), intent (out) :: tension ! tension ingenieril de la fibra (escalar, >0 elongacion, <0 compresion)
506 real (8), intent (out) :: fuerzav(2) ! fuerza de la fibra, vector desde nodo inicial hacia nodo final
507 ! -----
508 integer :: selector
509 integer :: last
510 ! ---
511 real (8) :: k1 ! Constante elastica (en fuerza) de fibra recta a la traccion
512 real (8) :: k2 ! Constante elastica (en fuerza) de fibra enrollada
513 real (8) :: Et ! Modulo elastico de fibra recta a la traccion
514 real (8) :: Eb_Et ! Eb/Et
515 real (8) :: Eb ! Modulo elastico de fibra enrollada
516 real (8) :: Ep_Et ! Ep/Et
517 real (8) :: Ep ! Modulo elastico para simular plasticidad
518 real (8) :: lamp0_lamr ! lamp0/lamr
519 real (8) :: lamp0 ! lamp0 = valor de lam al cual empezaria la plasticidad
520 real (8) :: diam ! diametro inicial de la fibra
521 real (8) :: lete0 ! longitud extremo-extremo inicial de la fibra
522 real (8) :: lamr ! valor de reclutamiento de la fibra
523 real (8) :: lamp
524 real (8) :: lamrp ! valor de reclutamiento aumentado por la plasticidad
525 logical :: broken
526 real (8) :: area ! area inicial de la fibra (seccion transversal)
527 real (8) :: lete ! longitud extremo-extremo actual
528 real (8) :: lam ! elongacion extremo-extremo = lete/lete0
529 real (8) :: fuerza ! fuerza actual (modulo) de la fibra
530 real (8) :: fuerzar ! fuerza de la fibra para la cual se recluta
531 real (8) :: tensionr ! tension de la fibra para la cual se recluta
532 real (8) :: tensiony ! tension de la fibra para la cual plastifica
533 ! -----
534

```

```

535 ! -----
536 ! Por ahora tengo un param con 3 valores: selector, k1 o Et, k2 o Eb
537 selector = nint( masim%param(1) )
538 last = 1
539 select case (selector)
540
541 case (1) ! se dan k1 y k2 para calcular la fuerza directamente
542   k1 = masim%param(last+1)
543   k2 = masim%param(last+2)
544   diam = masim%diams(f)
545   area = pi * diam * diam / 4.d0
546   lete0 = masim%letes0(f)
547   lamr = masim%lamsr(f)
548   lete = dsqrt(sum(dr_f*dr_f))
549   lam = lete / lete0
550   if ( lam <= lamr ) then
551     fuerza = k2*(lam - 1.0d0)
552   else
553     fuerzar = k2 * (lamr - 1.0d0)
554     fuerza = fuerzar + k1 * (lam/lamr - 1.0d0)
555   end if
556   tension = fuerza / area
557   fuerzav = fuerza * dr_f / lete
558 case (2) ! se dan Et y Eb para calcular la tension ingenieril
559   Et = masim%param(last+1)
560   Eb_Et = masim%param(last+2)
561   Eb = Eb_Et*Et
562   lamr = masim%lamsr(f)
563   diam = masim%diams(f)
564   area = pi * diam * diam / 4.d0
565   lete0 = masim%letes0(f)
566   lete = dsqrt(sum(dr_f*dr_f))
567   lam = lete / lete0
568   if ( lam <= lamr ) then
569     tension = Eb*(lam - 1.0d0) * diam
570   else
571     tensionr = Eb * (lamr - 1.0d0)
572     tension = tensionr + Et * (lam/lamr - 1.0d0)
573   end if
574   fuerza = tension * area
575   fuerzav = fuerza * dr_f / lete
576 case (3) ! doy Et, Eb y Ep, es una ley trilineal para simular a grosso modo una respuesta con deformacion plastica
577   Et = masim%param(last+1)
578   Eb_Et = masim%param(last+2)
579   Eb = Eb_Et*Et
580   Ep_Et = masim%param(last+3)
581   Ep = Ep_Et*Et
582   lamp0_lamr = masim%param(last+4)
583   lamr = masim%lamsr(f)
584   lamp0 = lamp0_lamr*lamr
585   diam = masim%diams(f)
586   area = pi * diam * diam / 4.d0
587   lete0 = masim%letes0(f)
588   lete = dsqrt(sum(dr_f*dr_f))
589   lam = lete / lete0
590   if ( lam <= lamr ) then
591     tension = Eb*(lam - 1.0d0) * diam
592   else if ( lam <= lamp0 ) then
593     tensionr = Eb * (lamr - 1.0d0)
594     tension = tensionr + Et * (lam/lamr - 1.0d0)
595   else ! simulando plasticidad en la respuesta
596     tensionr = Eb * (lamr - 1.0d0)
597     tensiony = tensionr + Et * (lamp0/lamr - 1.0d0)
598     tension = tensionr + tensiony + Ep*(lam/lamp0 - 1.0d0)
599   end if
600   fuerza = tension * area
601   fuerzav = fuerza * dr_f / lete
602 case (4) ! Ecuacion con plasticidad
603   Et = masim%param(last+1)
604   Eb_Et = masim%param(last+2)

```

```

605     Eb = Eb_Et*Et
606     lamr = masim%lamsr(f)
607     lamp = masim%lamps(f)
608     lamrp = lamr*lamp
609     broken = masim%brokens(f)
610     diam = masim%diams(f)
611     area = pi * diam * diam / 4.d0
612     lete0 = masim%letes0(f)
613     lete = dsqrt(sum(dr_f*dr_f))
614     lam = lete / lete0
615     ! Ahora si calculo la tension
616     if (broken) then
617         tension = 0.d0
618     elseif ( lam <= lamrp ) then
619         tension = Eb*(lam/lamp - 1.0d0) * diam
620     else
621         tensionr = Eb * (lamrp - 1.0d0)
622         tension = tensionr + Et * (lam/lamrp - 1.0d0)
623     end if
624     fuerza = tension * area
625     fuerzav = fuerza * dr_f / lete
626     case default
627         write(*,*) "Ley constitutiva desconocida, selector: ", selector
628     end select
629
630     ! -----
631
632     ! -----
633 end subroutine calcular_tension_fibra
634 ! =====
635 ! =====
636
637
638 ! =====
639 ! =====
640 subroutine calcular_tensiones_fibras(masim, r1, lams_fibs, tens_fibs)
641     ! calcula las fuerzas de las fibras y las fuerzas nodales (resultantes)
642     ! se calculan las fuerzas como vectores, entonces las dimensiones son (2,nfibs) y (2,nnods)
643     implicit none
644     type(MallaSim), intent(in) :: masim
645     real(8), intent(in) :: r1(2,masim%nnods)
646     real(8), intent(out) :: lams_fibs(masim%nfibs)
647     real(8), intent(out) :: tens_fibs(masim%nfibs)
648     integer :: f
649     integer :: n1f, n2f
650     real(8) :: rn1f(2), rn2f(2), drf(2)
651     real(8) :: lamf, tenf, fzafv(2)
652
653     do f=1,masim%nfibs
654         ! nodos de la fibra f
655         n1f = masim%fibs(1,f)
656         n2f = masim%fibs(2,f)
657         ! posiciones de esos nodos
658         rn1f = r1(:,n1f)
659         rn2f = r1(:,n2f)
660         ! vector fibra
661         drf = rn2f - rn1f
662         ! fuerza
663         call calcular_tension_fibra(masim, f, drf, tenf, fzafv)
664         tens_fibs(f) = tenf
665         ! elongacion
666         lamf = dsqrt(sum(drf*drf)) / masim%letes0(f)
667         lams_fibs(f) = lamf
668     end do
669
670 end subroutine calcular_tensiones_fibras
671 ! =====
672 ! =====
673
674

```

```

675 ! =====
676 ! =====
677 subroutine calcular_fuerzas(masim, r1, fzas_fibs, fzas_nods)
678   ! calcula las fuerzas de las fibras y las fuerzas nodales (resultantes)
679   ! se calculan las fuerzas como vectores, entonces las dimensiones son (2,nfibs) y (2,nnods)
680   implicit none
681   type(MallaSim), intent(in) :: masim
682   real(8), intent(inout) :: r1(2,masim%nnods)
683   real(8), intent(out) :: fzas_fibs(2,masim%nfibs)
684   real(8), intent(out) :: fzas_nods(2,masim%nnods)
685   integer :: f
686   integer :: n1f, n2f
687   real(8) :: rn1f(2), rn2f(2), drf(2)
688   real(8) :: tenf, fzafv(2)
689
690   fzas_nods = 0.d0
691   do f=1,masim%nfibs
692     ! nodos de la fibra f
693     n1f = masim%fibs(1,f)
694     n2f = masim%fibs(2,f)
695     ! posiciones de esos nodos
696     rn1f = r1(:,n1f)
697     rn2f = r1(:,n2f)
698     ! vector fibra
699     drf = rn2f - rn1f
700     ! fuerza
701     call calcular_tension_fibra(masim, f, drf, tenf, fzafv)
702     fzas_fibs(:,f) = fzafv
703     fzas_nods(:,n1f) = fzas_nods(:,n1f) + fzafv
704     fzas_nods(:,n2f) = fzas_nods(:,n2f) - fzafv
705   end do
706
707 end subroutine calcular_fuerzas
708 ! =====
709 ! =====
710
711
712 ! =====
713 ! =====
714 subroutine desplazar_nodos_malla(masim, nveces, drmag, fza_ref, fza_tol, r1, balanced)
715   ! Mueve los nodos nveces segun la direccion de la resultante
716   ! Todos los nodos se mueven segun el valor drmag
717   ! Cada vez se calculan las fuerzas de las fibras y la resultante
718   ! Entonces la malla va "vibrando" hasta su posicion de equilibrio
719   ! -----
720   implicit none
721   ! -----
722   type(MallaSim), intent(inout) :: masim
723   integer, intent(in) :: nveces
724   real(8), intent(in) :: drmag
725   real(8), intent(in) :: fza_ref
726   real(8), intent(in) :: fza_tol
727   real(8), intent(inout) :: r1(2,masim%nnods)
728   logical, intent(out) :: balanced(masim%nnods)
729   ! -----
730   real(8) :: fzas_fibs(2,masim%nfibs)
731   real(8) :: fzas_nods(2,masim%nnods)
732   real(8) :: fzas_nods_mags(masim%nnods)
733   integer :: vez, n
734   real(8) :: fza_n(2), fza_n_mag, dr_n(2)
735   ! -----
736
737   balanced = .false.
738   do vez=1,nveces
739     call calcular_fuerzas(masim, r1, fzas_fibs, fzas_nods)
740     do n=1,masim%nnods
741       if (masim%tipos(n) == 1) then
742         ! nodo de frontera = nodo de Dirichlet
743         r1(:,n) = r1(:,n) ! sentencia innecesaria pero por ahora la dejo para que quede claro
744         fzas_nods_mags(n) = 0.d0

```

```

745         balanced(n) = .true.
746     else
747         fza_n = fzas_nods(:,n)
748         fza_n_mag = dsqrt(sum(fza_n*fza_n))
749         fzas_nods_mags(n) = fza_n_mag
750         if (fza_n_mag < fza_tol) then
751             dr_n = 0.d0
752             balanced(n) = .true.
753         else
754             dr_n = drmag * fza_n / fza_ref
755             balanced(n) = .false.
756         end if
757         r1(:,n) = r1(:,n) + dr_n(:)
758     end if
759 end do
760 if ( all(balanced) ) then
761     write(*,*) "balanced!", vez
762     exit
763 end if
764 end do
765 if ( .not. all(balanced) ) then
766     write(*,*) "maxres:_", maxval( fzas_nods_mags )
767 end if
768
769 ! -----
770 end subroutine desplazar_nodos_malla
771 ! =====
772 ! =====
773
774
775 ! =====
776 ! =====
777 subroutine calcular_equilibrio(masim, npasos, vec_veces, vec_drmags, f_ref, f_tol, Fmacro)
778     ! Forma de calcular el equilibrio moviendo los nodos de forma iterativa segun
779     ! la direccion de la resultante en un valor prescripto de desplazamiento (drmag)
780     ! Se hace de forma progresiva empezando con drmag grande y terminando con drmag chico
781     ! -----
782     implicit none
783     ! -----
784     type(MallaSim), intent(inout) :: masim
785     integer, intent(in) :: npasos
786     integer, intent(in) :: vec_veces(npasos)
787     real(8), intent(in) :: vec_drmags(npasos)
788     real(8), intent(in) :: f_ref
789     real(8), intent(in) :: f_tol
790     real(8), intent(in) :: Fmacro(2,2)
791     ! -----
792     real(8) :: r1(2,masim%nnods)
793     integer :: paso
794     integer :: nveces
795     real(8) :: drmag
796     ! -----
797     real(8) :: lams_fibras(masim%nfibs)
798     real(8) :: tens_fibras(masim%nfibs)
799     real(8) :: Tmacro(2,2)
800     logical :: equilibrio(masim%nnods)
801     ! -----
802
803     ! deformato afin
804     if (npasos==0) then
805         ! Deformato toda la malla afin antes de comenzar la vibracion
806         call deformar_afin(masim, Fmacro, r1)
807     else
808         ! Deformato solamente la frontera de forma afin
809         r1 = masim%rnods
810         call deformar_afin_frontera(masim, Fmacro, r1)
811     ! call deformar_afin(masim, Fmacro, r1, axis=2)
812     end if
813     ! Comienzo a mover los nodos segun las resultantes nodales
814     do paso=1,npasos

```

```

815     nveces = vec_veces(paso)
816     drmag = vec_drmags(paso)
817     call desplazar_nodos_malla(masim, nveces, drmag, f_ref, f_tol, r1, equilibrio)
818     ! chequeo equilibrio
819     if ( all(equilibrio) ) then
820         exit
821     end if
822 end do
823 ! recalculo el equilibrio para tener las tensiones
824 call calcular_tensiones_fibras(masim, r1, lams_fibras, tens_fibras)
825 call homogeneizacion(masim, r1, Tmacro)
826 ! guardo la deformacion en la malla
827 masim%rnods = r1
828 masim%status_deformed = .true.
829 masim%Fmacro = Fmacro
830 masim%lams = lams_fibras
831 masim%tens = tens_fibras
832 masim%Tmacro = Tmacro
833 ! y voila
834
835 ! -----
836 end subroutine calcular_equilibrio
837 ! =====
838 ! =====
839
840
841 ! =====
842 ! =====
843 subroutine calcular_plasticidad_rotura(masim, dt)
844     ! Ante una deformacion dada (masim%rnods) calcula la deformacion plastica
845     ! que sufren las fibras. Son dos valores:
846     ! dotlamp = tasa de deformacion plastica
847     ! broken = indicador de si la fibra se rompe o no
848     ! -----
849     implicit none
850     ! -----
851     type(MallaSim), intent(inout) :: masim
852     real(8), intent(in) :: dt
853     ! -----
854     logical :: brokens(masim%nfibs)
855     real(8) :: dotlamps(masim%nfibs)
856     ! parametros constitutivos de plasticidad y rotura
857     real(8) :: doteps0 ! parametro dimensional proporcional de plasticidad
858     real(8) :: s0 ! resistencia a la fluencia inicial
859     real(8) :: nhard ! parametro de endurecimiento por deformacion plastica
860     real(8) :: elonlimit ! limite de rotura por elongacion
861     ! resto
862     integer :: f
863     real(8) :: d_f
864     real(8) :: Area_f
865     real(8) :: lete0_f
866     real(8) :: Vol_f
867     integer :: n1_f, n2_f
868     real(8) :: r_n1_f(2), r_n2_f(2)
869     real(8) :: dr_f(2)
870     real(8) :: lete_f
871     real(8) :: lam_f
872     real(8) :: a_f(2)
873     real(8) :: ten_f, vfza_f(2)
874     real(8) :: lamp_f
875     real(8) :: lamr_f
876     real(8) :: lamef_f ! es un valor de elongacion efectiva, o elongacion elastica (la que va con la tension) = lam/
877     ↪ lamr/lamp
878     ! -----
879     real(8) :: s_f
880     real(8) :: dotlamp_f
881     logical :: broken_f
882     ! -----
883     ! Parametros constitutivos importantes para plasticidad y rotura

```

```

884 doteps0 = masim%param(4)
885 s0 = masim%param(5)
886 nhard = masim%param(6)
887 elonlimit = masim%param(7)
888 ! Bucle por las fibras para ir calculando tensiones actuales
889 do f=1,masim%nfibs
890   ! Guardo informacion en variables mas sencillas
891   d_f = masim%diams(f) ! Diametro inicial de la fibra f
892   Area_f = pi * d_f * d_f / 4.d0 ! Seccion transversal inicial de la fibra f
893   lete0_f = masim%letes0(f) ! Longitud extremo-extremo inicial de la fibra f
894   Vol_f = Area_f * lete0_f ! Volumen de la fibra f
895   n1_f = masim%fibs(1,f) ! Nodo inicial de la fibra f
896   n2_f = masim%fibs(2,f) ! Nodo final de la fibra f
897   r_n1_f = masim%rnods(:,n1_f) ! Posicion actual de n1_f
898   r_n2_f = masim%rnods(:,n2_f) ! Posicion actual de n2_f
899   dr_f = r_n2_f - r_n1_f ! Vector fibra: apunta de nodo inicial a nodo final y su magnitud es la longitud actual
900   lete_f = dsqrt(sum(dr_f*dr_f)) ! Longitud extremo-extremo actual
901   lam_f = lete_f / lete0_f ! Elongacion extremo-extremo
902   lamr_f = masim%lamsr(f)
903   a_f = dr_f/lete_f * lam_f ! Vector orientacion de la fibra, su magnitud es la elongacion lam_f
904   ! Calculo las tensiones
905   call calcular_tension_fibra(masim, f, dr_f, ten_f, vfza_f)
906   ! Calculo la plasticidad
907   broken_f = masim%brokens(f)
908   lamp_f = masim%lamps(f)
909   lamef_f = lam_f / lamp_f / lamr_f
910   if (broken_f) then
911     ! esta fibra esta rota y no deforma mas, su plasticidad queda constante
912     dotlamp_f = 0.d0
913   else
914     ! esta fibra puede romperse o plastificar
915     if (ten_f>elonlimit) then
916       ! se rompe
917       broken_f = .true.
918       dotlamp_f = 0.d0
919     else
920       ! plastifica poco o mucho
921       s_f = s0 * lamp_f**nhard
922       dotlamp_f = doteps0 * dsinh(ten_f/s_f)
923     end if
924   end if
925   brokens(f) = broken_f
926   dotlamps(f) = dotlamp_f
927   lamp_f = lamp_f + dotlamp_f*dt
928   if ( (lam_f>1.d0) .and. (lamp_f > lam_f) ) then
929     !print *, "lamp_f>lam_f en fibra: ", f, lam_f, lamp_f
930     if (lamp_f > elonlimit) then
931       print *, "Tac!", lam_f, lamp_f
932       !call escribir_mallita(masim, "malla_con_error.txt"//repeat(" ", 120))
933       brokens(f) = .true.
934       dotlamps(f) = 0.d0 !
935       lamp_f = masim%lamps(f) ! no plastifico, porque rompi
936     end if
937   end if
938   ! Actualizo informacion en la propia malla
939   masim%brokens(f) = broken_f
940   masim%lamps(f) = lamp_f
941 end do
942 ! Actualizo la propia malla
943
944 ! -----
945 end subroutine calcular_plasticidad_rotura
946 ! =====
947 ! =====
948
949
950 ! =====
951 ! =====
952 subroutine homogeneizacion(masim, r1, Tmacro)
953 ! Calcula el tensor de tensiones como producto de la homogeneizacion de las

```

```

954   ! tensiones de las fibras.
955   ! -----
956   implicit none
957   ! -----
958   type (MallaSim), intent (in) :: masim
959   real (8), intent (in) :: r1 (2,masim%nods)
960   real (8), intent (out) :: Tmacro (2,2) ! tension macroscopica de Cauchy
961   ! -----
962   integer :: f
963   real (8) :: d_f
964   real (8) :: Area_f
965   real (8) :: lete0_f
966   real (8) :: Vol_f
967   integer :: n1_f, n2_f
968   real (8) :: r_n1_f (2), r_n2_f (2)
969   real (8) :: dr_f (2)
970   real (8) :: lete_f
971   real (8) :: lam_f
972   real (8) :: a_f (2)
973   real (8) :: ten_f, vfza_f (2)
974   real (8) :: Vol_RVE
975   ! -----
976
977   Tmacro = 0.d0
978   do f=1,masim%nfibs
979     d_f = masim%diams (f)
980     Area_f = pi * d_f * d_f / 4.d0
981     lete0_f = masim%letes0 (f)
982     Vol_f = Area_f * lete0_f
983     ! nodos de la fibra f
984     n1_f = masim%fibs (1,f)
985     n2_f = masim%fibs (2,f)
986     ! posiciones de esos nodos
987     r_n1_f = r1 (:,n1_f)
988     r_n2_f = r1 (:,n2_f)
989     ! vector fibra
990     dr_f = r_n2_f - r_n1_f
991     ! elongacion fibra (extremo-extremo)
992     lete_f = dsqrt (sum (dr_f*dr_f))
993     lam_f = lete_f / lete0_f
994     ! vector orientacion de la fibra
995     a_f = dr_f/lete_f * lam_f
996     ! tension fibra
997     call calcular_tension_fibra (masim, f, dr_f, ten_f, vfza_f)
998     ! homogeneizacion (queda poco eficiente, a mejorar luego de que funcione si hace falta)
999     Tmacro (1,1) = Tmacro (1,1) + ten_f/lam_f * a_f (1) * a_f (1) * Vol_f
1000    Tmacro (1,2) = Tmacro (1,2) + ten_f/lam_f * a_f (1) * a_f (2) * Vol_f
1001    Tmacro (2,1) = Tmacro (2,1) + ten_f/lam_f * a_f (2) * a_f (1) * Vol_f
1002    Tmacro (2,2) = Tmacro (2,2) + ten_f/lam_f * a_f (2) * a_f (2) * Vol_f
1003  end do
1004  ! termino de acomodar la tension
1005  Vol_RVE = masim%ncapas * masim%diamed * masim%sidelen * masim%sidelen
1006  Tmacro = Tmacro / Vol_RVE
1007
1008  ! -----
1009  end subroutine homogeneizacion
1010  ! =====
1011  ! =====
1012
1013
1014  ! =====
1015  END MODULE class_mallita
1016  ! =====

```

```

1  MODULE Aux
2
3
4  real (8), parameter :: pi = 3.1415926536
5  REAL (8), PARAMETER :: pi2 = pi*2.0d0, pi15 = pi*1.5d0, pi05 = pi*0.5d0
6  real (8), parameter :: e = 2.7182818285

```

```

7
8
9 CONTAINS
10
11 ! =====
12 ! =====
13 FUNCTION FindStringInFile(Str, ioUnit, Mandatory) RESULT (iError)
14 ! =====
15 ! Busca un String en un archivo (STR), sino lo encuentra rebovina el archivo
16 ! y pone iError < 0 como indicador de no hallazgo
17 ! Str: String to find, ioUnit: Unit assigned to Input File; iError: Error Status variable
18 ! =====
19 IMPLICIT NONE
20 ! =====
21 ! Parameters
22 LOGICAL, PARAMETER :: Segui=.True.
23 ! =====
24 ! Arguments
25 CHARACTER(*), INTENT(IN) :: Str
26 INTEGER, INTENT (IN) :: ioUnit
27 LOGICAL, OPTIONAL, INTENT(IN) :: Mandatory
28 ! =====
29 ! Locals
30 LOGICAL :: MandatoryL
31 CHARACTER (LEN=120) :: DummyString
32 CHARACTER (LEN=120) :: upStr
33 INTEGER :: iError
34 INTEGER :: Leng
35 ! =====
36
37 ! =====
38 IF ( PRESENT(Mandatory) ) THEN
39     MandatoryL = Mandatory
40 ELSE
41     MandatoryL = .FALSE.
42 END IF
43 ! =====
44 iError=0
45 Leng = LEN_TRIM(Str)
46 upStr = Upper_Case(Str) ! Line added by NB. Converts Str to Upper Case string
47 ! =====
48 REWIND(ioUnit)
49 Search_Loop: DO WHILE (segui)
50     READ(ioUnit,'(1A120)',IOSTAT=iError) DummyString ! iError es 0 si lee con éxito, >0 si hay error y <0 si es end
51     ↵ of file.
52     DummyString = Upper_Case(DummyString) ! line added by NB
53     ! if (iError==59) backspace(ioUnit)
54     IF (iError.lt.0) THEN
55         REWIND (ioUnit)
56         EXIT Search_Loop
57     END IF
58     IF ( DummyString(1:1) /= '*' ) CYCLE Search_Loop
59     IF ( DummyString(1:Leng) == upStr(1:Leng) ) EXIT Search_Loop
60 END DO Search_Loop
61 ! =====
62 IF (MandatoryL) THEN
63     IF ( .NOT. ( iError == 0 ) ) THEN
64         WRITE(*,*) upStr, 'NOT_FOUND'
65         STOP
66     END IF
67 END IF
68 ! =====
69 END FUNCTION FindStringInFile
70 ! =====
71 ! =====
72
73
74 !! =====
75 !! =====

```

```

76 !subroutine read_instruction(configfilename)
77 !
78 !end subroutine
79 !! =====
80 !! =====
81
82
83 ! =====
84 ! =====
85 FUNCTION Upper_Case(string)
86
87 !-----
88 !! The Upper_Case function converts the lower case characters of a string to upper case one.
89 !! Use this function in order to achieve case-insensitive: all character variables used
90 !! are pre-processed by Upper_Case function before these variables are used. So the users
91 !! can call functions without pay attention of case of the keywords passed to the functions.
92 !-----
93
94 IMPLICIT NONE
95
96 !-----
97 CHARACTER (LEN=*) , INTENT (IN):: string ! string to be converted
98 CHARACTER (LEN=LEN(string)):: Upper_Case ! converted string
99 INTEGER:: n1 ! characters counter
100 !-----
101
102 Upper_Case = string
103 DO n1=1,LEN(string)
104     SELECT CASE (ICHAR(string(n1:n1)))
105         CASE (97:122)
106             Upper_Case(n1:n1)=CHAR(ICHAR(string(n1:n1))-32) ! Upper case conversion
107         END SELECT
108     ENDDO
109     RETURN
110
111 !-----
112 END FUNCTION Upper_Case
113 ! =====
114 ! =====
115
116
117
118 ! =====
119 ! =====
120 FUNCTION get_file_unit() RESULT(lu)
121 ! =====
122 ! get_file_unit returns a unit number that is not in use
123 ! =====
124 INTEGER :: lu_max, lu, checkIOSTAT
125 LOGICAL checkOPENED
126 INTEGER, PARAMETER :: m = 99
127 !
128 DO lu = m,1,-1
129     INQUIRE (UNIT=lu, OPENED=checkOPENED, IOSTAT=checkIOSTAT)
130     IF (checkIOSTAT.ne.0) CYCLE
131     IF (.NOT.checkOPENED) EXIT
132 END DO
133 !
134
135 RETURN
136 END FUNCTION get_file_unit
137 ! =====
138 ! =====
139
140
141 ! =====
142 ! =====
143 subroutine modify_txt_filename(txt_filename_in, txt_filename_out)
144     ! Agrego caracteres a un archivo txt antes de la extension ".txt"7
145     ! El nombre original del archivo viene en txt_filename_in, que se mantiene sin modificar

```

```

146      ! Los caracteres a agregar van en la variable txt_filename_out
147      ! que es donde tambien se guarda el nombre modificado del archivo
148      implicit none
149      character(len=120), intent(in) :: txt_filename_in
150      character(len=120), intent(inout) :: txt_filename_out
151      integer :: nchars
152
153      nchars = len(trim(txt_filename_in))
154      txt_filename_out = trim(txt_filename_in(1:nchars-4)) // trim(txt_filename_out) // ".txt"
155
156  end subroutine modify_txt_filename
157  ! =====
158  ! =====
159
160
161  ! =====
162  ! =====
163  SUBROUTINE angulo_de_segmento(r0, r1, th, iError)
164      IMPLICIT NONE
165      REAL(8), INTENT(IN) :: r0(2), r1(2)
166      REAL(8), INTENT(OUT) :: th ! angulo
167      INTEGER, INTENT(OUT) :: iError ! -1: No hay interseccion, 0: hay interseccion en el medio, 1: hay interseccion en
168      !      ↪ un punto extremo de uno de los segmentos
169      REAL(8) :: dr(2), dx, dy
170
171
172      iError = 0
173      ! -----
174      dr = r1 - r0
175      dx = dr(1)
176      dy = dr(2)
177      IF (iguales(dx,0.d0)) THEN ! segmento vertical
178          IF (iguales(dy,0.d0)) THEN ! segmento nulo
179              WRITE(*,*) "Error,_segmento_nulo!"
180              STOP
181          ELSE IF (dy>0.d0) THEN ! vertical hacia arriba
182              th = pi05
183              RETURN
184          ELSE ! vertical hacia abajo
185              th = pi15
186              RETURN
187          END IF
188      ELSE IF (iguales(dy,0.d0)) THEN ! segmento horizontal
189          IF (dx>0.d0) THEN ! segmento hacia derecha
190              th = 0.d0
191              RETURN
192          ELSE ! segmento hacia izquierda
193              th = pi
194              RETURN
195          END IF
196      ELSE ! segmento oblicuo
197          IF (dx<0) THEN ! segundo o tercer cuadrante
198              th = pi + DATAN(dy/dx)
199              RETURN
200          ELSE IF (dy>0) THEN ! primer cuadrante
201              th = DATAN(dy/dx)
202              RETURN
203          ELSE ! cuarto cuadrante
204              th = pi2 + DATAN(dy/dx)
205              RETURN
206          END IF
207      END IF
208      ! -----
209      th = 0.d0
210      iError = 1 ! si llegamos hasta aca estamos mal
211      WRITE(*,*) "Error_calculando_el_angulo_de_un_segmento!"
212      STOP
213
214

```

```

215 END SUBROUTINE angulo_de_segmento
216 ! =====
217 ! =====
218
219
220 ! =====
221 ! =====
222 SUBROUTINE interseccion_segmentos(rs1n1, rs1n2, rs2n1, rs2n2, r_in, iStatus)
223 ! Busca interseccion entre dos segmentos
224 ! devuelve iStatus >= 0 si hay interseccion, -1 si no hay interseccion
225 ! r_in son las coordenadas de la interseccion
226 IMPLICIT NONE
227 REAL(8), INTENT(IN) :: rs1n1(2), rs1n2(2), rs2n1(2), rs2n2(2)
228 REAL(8), INTENT(OUT) :: r_in(2)
229 INTEGER, INTENT(OUT) :: iStatus ! -1: No hay interseccion, 0: hay interseccion en el medio, 1: hay interseccion en
    ↪ un punto extremo de uno de los segmentos
230 !
231 INTEGER :: ierr
232 REAL(8) :: th1, th2
233 LOGICAL :: paralelos
234 REAL(8) :: bot1, rig1, topl, lef1, bot2, rig2, top2, lef2
235 REAL(8) :: maxbot, minrig, mintop, maxlef
236 LOGICAL :: lejos
237 REAL(8) :: th2rel
238 LOGICAL :: m2relinf
239 REAL(8) :: cos1, sin1
240 REAL(8) :: A1(2,2) ! matriz de cambio de base con th1
241 REAL(8) :: s12(2), s21(2), s22(2), s_in ! posiciones relativas en el sistema intrinseco al segmento 1 (s11 = [0,0])
242 REAL(8) :: m2rel
243 LOGICAL :: inex11, inex12, inex21, inex22
244 INTEGER :: inex1, inex2 ! interseccion en extremo
245
246
247 ! -----
248 ! chequeo paralelismo (no habria interseccion)
249 CALL angulo_de_segmento(rs1n1, rs1n2, th1, ierr)
250 CALL angulo_de_segmento(rs2n1, rs2n2, th2, ierr)
251 paralelos = iguales(th1, th2, pi*1.d-5)
252 IF (paralelos) THEN
253     iStatus = -1
254     RETURN
255 END IF
256 ! -----
257 ! chequeo lejanía (no habria interseccion)
258 bot1 = MIN(rs1n1(2), rs1n2(2))
259 rig1 = MAX(rs1n1(1), rs1n2(1))
260 topl = MAX(rs1n1(2), rs1n2(2))
261 lef1 = MIN(rs1n1(1), rs1n2(1))
262 bot2 = MIN(rs2n1(2), rs2n2(2))
263 rig2 = MAX(rs2n1(1), rs2n2(1))
264 top2 = MAX(rs2n1(2), rs2n2(2))
265 lef2 = MIN(rs2n1(1), rs2n2(1))
266 ! -----
267 maxbot = MAX(bot1, bot2)
268 minrig = MIN(rig1, rig2)
269 mintop = MIN(top1, top2)
270 maxlef = MAX(lef1, lef2)
271 ! -----
272 lejos = ( ((maxlef-minrig)>1.0d-8) .OR. ((maxbot-mintop)>1.0d-8) )
273 IF (lejos) THEN
274     iStatus = -1
275     RETURN
276 END IF
277 ! -----
278 ! sistema de referencia relativo, intrinseco al segmento 1
279 th2rel = th2 - th1
280 DO WHILE ( (th2rel<0.d0) .OR. (th2rel>=pi2) )
281     IF (th2rel<0.d0) THEN
282         th2rel = th2rel + pi2
283     ELSE IF (th2rel>=pi2) THEN

```

```

284     th2rel = th2rel - pi2
285     END IF
286 END DO
287 ! me fijo si en el sistema intrinseco al segmento 1, el segmento 2 resulta vertical
288 m2relinf = ( (iguales(th2rel,pi05,pi*1.d-5)) .OR. (iguales(th2rel,pi15,pi*1.d-5)) ) ! guardo esa informacion
289 ! coseno y seno de th1
290 cos1 = DCOS(th1)
291 sin1 = DSIN(th1)
292 A1 = RESHAPE( [cos1, -sin1, sin1, cos1], [2,2] )
293 s12 = MATMUL(A1,rsln2-rsin1)
294 s21 = MATMUL(A1,rs2n1-rsin1)
295 s22 = MATMUL(A1,rs2n2-rsin1)
296 ! -----
297 ! chequeo que el segmento 2 corte al eje del segmento 1
298 IF ( NINT(SIGN(1.0d0,s21(2))) == NINT(SIGN(1.0d0,s22(2))) ) THEN
299     iStatus = -1
300     RETURN
301 END IF
302 ! -----
303 ! calculo a que distancia sobre el eje del segmento 1 se produce la posible interseccion
304 IF (m2relinf) THEN ! si el segmento 2 es perpendicular al 1
305     s_in = s21(1)
306 ELSE ! si es oblicuo
307     m2rel = DTAN(th2rel)
308     s_in = s21(1) - s21(2)/m2rel
309 END IF
310 ! -----
311 ! ahora chequeo si la interseccion se produjo por fuera del segmento 1
312 IF ((s_in<0.d0) .OR. (s_in>s12(1))) THEN
313     iStatus = -1
314     RETURN
315 END IF
316 ! -----
317 ! HAY INTERSECCION
318 ! me fijo si ocurre en el medio de los segmentos, o si coincide con los nodos ya existentes (extremos de segmentos)
319 inex11 = iguales(s_in, 0.d0, tol_in=1.d-2)
320 inex12 = iguales(s_in,s12(1), tol_in=1.d-2)
321 inex21 = iguales(s21(2),0.d0, tol_in=1.d-2)
322 inex22 = iguales(s22(2),0.d0, tol_in=1.d-2)
323 ! HAY VARIAS POSIBILIDADES
324 ! 4: extremo-extremo
325 IF ((inex11 .OR. inex12) .AND. (inex21 .OR. inex22)) THEN
326     ! Interseccion extremo-extremo, ocurre rara vez
327 ! WRITE(*,*) " Interseccion tipo extremo-extremo. Por ahora no esta implementada."
328     iStatus = -1
329     RETURN
330 END IF
331 ! 3: extremo-medio
332 IF ((inex11 .OR. inex12) .OR. (inex21 .OR. inex22)) THEN
333     ! Interseccion extremo-medio, ocurre rara vez
334 ! WRITE(*,*) " Interseccion tipo extremo-medio. Por ahora no esta implementada."
335     iStatus = -1
336     RETURN
337 END IF
338 ! 2: medio-medio
339 ! la inmensa mayoria de las intersecciones
340 ! chequeo redundante
341 IF ( (s_in>0.d0) .AND. (s_in<s12(1)) ) THEN
342     iStatus = 2
343     r_in = rsln1 + s_in * [cos1, sin1]
344     RETURN
345 END IF
346 ! -----
347 ! si llegue hasta aca hay algo mal
348 WRITE(*,*) "Error_en_subrutina_calcular_interseccion_entre_segmentos!"
349 STOP
350 ! -----
351
352
353

```

```

354 END SUBROUTINE interseccionar_segmentos
355 ! =====
356 ! =====
357
358
359 ! =====
360 ! =====
361 FUNCTION iguales(x,y,tol_in) RESULT(igual)
362 IMPLICIT NONE
363 REAL(8), INTENT(IN) :: x,y
364 REAL(8), OPTIONAL, INTENT(IN) :: tol_in
365 LOGICAL :: igual
366 REAL(8) :: tol
367
368 IF (PRESENT(tol_in)) THEN
369     tol = tol_in
370 ELSE
371     tol = 1.d-10
372 END IF
373
374 igual = DABS(x-y)<tol
375
376 END FUNCTION
377 ! =====
378 ! =====
379
380
381 ! =====
382 ! =====
383 subroutine diagonal_iterativo(n, A, b, x, iStatus)
384 ! -----
385 implicit none
386 integer, intent(in) :: n
387 real(8), intent(in) :: A(n,n), b(n)
388 real(8), intent(out) :: x(n)
389 integer, intent(out) :: iStatus
390 ! -----
391 integer, parameter :: maxiter = 100
392 real(8), parameter :: tol = 1.d-6
393 ! -----
394 real(8) :: x1(n)
395 real(8) :: tmp
396 integer i,j,k
397 real(8) :: error_dx
398 ! -----
399
400 ! -----
401 ! valor semilla
402 x(:) = 0.d0
403 x1(:) = x(:)
404 ! -----
405 ! iteraciones
406 do k=1,maxiter
407     ! hago la sumatoria de A(i,j)*x(j) exceptuando la diagonal
408     do i=1,n
409         ! calculo cada valor de x
410         x(i) = b(i) / A(i,i)
411     end do
412     ! chequeo error y convergencia
413     error_dx = maxval(dabs(x-x1))
414     if (error_dx<tol) then
415         iStatus = 0
416         return
417     end if
418     ! actualizo el valor de la iteracion anterior
419     x1(:) = x(:)
420 end do
421 ! -----
422 ! si llegue hasta aca es porque llegue a maxiter
423 write(*,*) "WARNING:_maxiter_alcanzado_en_metodo_diagonal_iterativo"

```

```

424     iStatus = 1
425     ! -----
426
427     ! -----
428 end subroutine diagonal_iterativo
429 ! =====
430 ! =====
431
432
433 ! =====
434 ! =====
435 subroutine jacobi(n, A, b, x, iStatus)
436     ! -----
437     implicit none
438     integer, intent(in) :: n
439     real(8), intent(in) :: A(n,n), b(n)
440     real(8), intent(out) :: x(n)
441     integer, intent(out) :: iStatus
442     ! -----
443     integer, parameter :: maxiter = 100
444     real(8), parameter :: tol = 1.d-6
445     ! -----
446     real(8) :: x1(n)
447     real(8) :: tmp
448     integer i,j,k
449     real(8) :: error_dx
450     ! -----
451
452     ! -----
453     ! valor semilla
454     x(:) = 0.d0
455     x1(:) = x(:)
456     ! -----
457     ! iteraciones de gauss-seidel
458     do k=1,maxiter
459         ! hago la sumatoria de A(i,j)*x(j) exceptuando la diagonal
460         do i=1,n
461             tmp = 0
462             do j=1,n
463                 if (j<i) then
464                     tmp = tmp + A(i,j)*x1(j)
465                 else if (j>i) then
466                     tmp = tmp + A(i,j)*x1(j)
467                 end if
468             end do
469             ! calculo cada valor de x
470             x(i) = (b(i)-tmp) / A(i,i)
471         end do
472         ! chequeo error y convergencia
473         error_dx = maxval(dabs(x-x1))
474         if (error_dx<tol) then
475             iStatus = 0
476             return
477         end if
478         ! actualizo el valor de la iteracion anterior
479         x1(:) = x(:)
480     end do
481     ! -----
482     ! si llegue hasta aca es porque llegue a maxiter
483     write(*,*) "WARNING:_maxiter_alcanzado_en_metodo_jacobi"
484     iStatus = 1
485     ! -----
486
487     ! -----
488 end subroutine jacobi
489 ! =====
490 ! =====
491
492
493 ! =====

```

```

494 ! =====
495 subroutine gauss_seidel(n, A, b, x, maxiter, tol, iStatus)
496 ! -----
497 implicit none
498 integer, intent(in) :: n
499 real(8), intent(inout) :: A(n,n), b(n)
500 real(8), intent(out) :: x(n)
501 integer, intent(out) :: iStatus
502 integer, intent(in) :: maxiter
503 real(8), intent(in) :: tol
504 ! -----
505 real(8) :: x1(n)
506 real(8) :: tmp, mintmp, maxtmp
507 integer i,j,k
508 real(8) :: error_dx
509 ! -----
510
511 ! -----
512 ! valor semilla
513 x(:) = 0.d0
514 x1(:) = x(:)
515 ! -----
516 ! divido cada fila de matriz y vector por el valor de la diagonal
517 ! ojo que no deberia ser un valor muy pequeno porque error
518 ! mintmp = dabs( A(1,1) )
519 ! maxtmp = dabs( A(1,1) )
520 ! do i=1,n
521 ! tmp = 1.d0 / dabs(A(i,i))
522 ! A(i,:) = A(i,:) * tmp
523 ! b(i) = b(i) * tmp
524 ! if (tmp<mintmp) mintmp = tmp
525 ! if (tmp>maxtmp) maxtmp = tmp
526 ! end do
527 ! -----
528 ! iteraciones de gauss-seidel
529 do k=1,maxiter
530 ! hago la sumatoria de A(i,j)*x(j) exceptuando la diagonal
531 do i=1,n
532 tmp = 0
533 do j=1,n
534 if (j<i) then
535 tmp = tmp + A(i,j)*x(j)
536 else if (j>i) then
537 tmp = tmp + A(i,j)*x1(j)
538 end if
539 end do
540 ! calculo cada valor de x
541 x(i) = (b(i)-tmp) / A(i,i)
542 end do
543 ! chequeo error y convergencia
544 error_dx = maxval(dabs(x-x1))
545 write(*,*) "k=", k, "error_dx=", error_dx, "/_tol=", tol
546 if (error_dx<tol) then
547 write(*,*) "Gauss-Seidel_converge"
548 iStatus = 0
549 return
550 end if
551 ! actualizo el valor de la iteracion anterior
552 x1(:) = x(:)
553 end do
554 ! -----
555 ! si llegue hasta aca es porque llegue a maxiter
556 write(*,*) "WARNING:_maxiter_alcanzado_en_metodo_gauss_seidel:_", maxiter
557 iStatus = 1
558 ! -----
559
560 ! -----
561 end subroutine gauss_seidel
562 ! =====
563 ! =====

```

```

564
565 ! =====
566 ! =====
567 subroutine directo(n, A, b, x, iStatus)
568 ! -----
569   implicit none
570   integer, intent(in) :: n
571   real(8), intent(in) :: A(n,n), b(n)
572   real(8), intent(out) :: x(n)
573   integer, intent(out) :: iStatus
574   ! -----
575   integer, parameter :: maxiter = 100
576   real(8), parameter :: tol = 1.d-6
577   ! -----
578   real(8) :: A1(n,n)
579   real(8) :: residuo(n)
580   real(8) :: tmp
581   integer i,j,k
582   real(8) :: error_dx
583   ! -----
584
585
586   ! invierto la matriz A
587   A1 = matinv(A)
588   ! calculo x haciendo x=A1 b
589   do i=1,n
590     x(i) = 0.d0
591     do j=1,n
592       x(i) = x(i) + A1(i,j)*b(j)
593     end do
594   end do
595   iStatus = 0
596
597   ! -----
598 end subroutine directo
599 ! =====
600 ! =====
601
602 function matinv(A) result(Ainv)
603 real(8), dimension(:, :), intent(in) :: A
604 real(8), dimension(size(A,1), size(A,2)) :: Ainv
605
606 real(8), dimension(size(A,1)) :: work ! work array for LAPACK
607 integer, dimension(size(A,1)) :: ipiv ! pivot indices
608 integer :: n, info
609
610 ! External procedures defined in LAPACK
611 external DGETRF
612 external DGETRI
613
614 ! Store A in Ainv to prevent it from being overwritten by LAPACK
615 Ainv = A
616 n = size(A,1)
617
618 ! DGETRF computes an LU factorization of a general M-by-N matrix A
619 ! using partial pivoting with row interchanges.
620 call DGETRF(n, n, Ainv, n, ipiv, info)
621
622 if (info /= 0) then
623   stop 'Matrix_is_numerically_singular!'
624 end if
625
626 ! DGETRI computes the inverse of a matrix using the LU factorization
627 ! computed by DGETRF.
628 call DGETRI(n, Ainv, n, ipiv, work, n, info)
629
630 if (info /= 0) then
631   stop 'Matrix_inversion_failed!'
632 end if
633 end function matinv

```

634
635
636
637

END MODULE Aux